

195884

**BAZI
1-[(N,N-DİSÜBSTİTÜETİYOKARBONİL
-TİYO)ASETİL]-3-(2-TİYENİL)-5-ARİL-2-
PİRAZOLİN TÜREVLERİİNİN
SENTEZLERİ VE ANTİFUNGAL,
ANTİBAKTERİYEL ETKİLERİNİN
ARAŞTIRILMASI**

**Uzm. Ecz. Ahmet ÖZDEMİR
Doktora Tezi**

**Sağlık Bilimleri Enstitüsü
Farmasötik Kimya Anabilim Dalı
Mayıs - 2004**

JÜRİ VE ENSTİTÜ ONAYI

Ahmet ÖZDEMİR'in "Bazı 1-[(N,N-disübstitüe tiyokarboniltiyo)asetil]-3-(2-tiyenil)-5-aryl-2-pirazolin türevlerinin sentezleri ve antifungal, antibakteriyel etkilerinin araştırılması" başlıklı Farmasötik Kimya Anabilim Dalındaki, Doktora tezi 10.05.2004 tarihinde, aşağıdaki juri tarafından Anadolu Üniversitesi Lisansüstü Eğitim-Öğretim ve Sınav Yönetmeliğinin ilgili maddeleri uyarınca değerlendirilerek kabul edilmiştir.

Adı Soyadı

İmza

Üye (Tez Danışmanı): Prof.Dr. Gülbahar TURAN

Üye : Prof.Dr. Cihat SAFAK

Üye : Prof.Dr. Ümit UÇLUÇU

Üye : Prof.Dr. Seret DEMİRAYAK

Üye : Yard.Doc.Dr. Bülent ERGÜN

Anadolu Üniversitesi Sağlık Bilimleri Enstitüsü Yönetim
Kurulu'nun 29.04.2004 tarih ve15/1..... sayılı kararıyla
onaylanmıştır.

Enstitü Müdürü



..... *EFE*'ye

ÖZET

Doktora Tezi

BAZI 1-[(N,N-DİSÜBSTİTÜETİYOKARBONİLTİYO)ASETİL]- 3-(2-TİYENİL)-5-ARİL-2-PİRAZOLİN TÜREVLERİNİN SENTEZLERİ VE ANTİFUNGAL, ANTİBAKTERİYEL ETKİLERİNİN ARAŞTIRILMASI

Uzm. Ecz. Ahmet ÖZDEMİR

**Anadolu Üniversitesi
Sağlık Bilimleri Enstitüsü
Farmasötik Kimya Anabilim Dalı**

Danışman: Prof. Dr. Gülhan TURAN

2004

Ditiyokarbamat türevlerinin önemli antifungal ve antibakteriyel aktivitelere sahip oldukları literatür araştırmalarında gözlenmiştir. Pirazolin türevlerinin de antifungal ve antibakteriyel aktivite gösterdikleri bilinmektedir.

Çalışmamızda bu yapıları içeren yeni bazı 1-[(N,N-disübstitüte-aminotiyokarboniltiyo)asetil]-3-(2-tiyenil)-5-aryl-2-pirazolin türevi bileşiklerin elde edilmesi ve bunların antifungal, antibakteriyel aktivitelerinin araştırılması amaçlanmıştır.

Başlangıç maddeleri olan, 1-(2-kloroasetil)-3-(2-tiyenil)-5-aryl-2-pirazolin türevleri ile ditiyokarbamat türevleri reaksiyona sokularak amaçlanan orijinal yirmisekiz tane orijinal bileşik sentezlenmiştir.

Elde edilen bileşiklerin fiziksel özellikleri, ince tabaka kromatografisinde R_f değerleri, yüksek basınçlı sıvı kromatografisinde R_t ve UV absorbsiyon özellikleri saptanmış, yapıları IR, 1H -NMR, kütle spektroskopisi ve elementel analiz verileri ile aydınlatılmıştır.

Bazı başlangıç ve sonuç bileşiklerini içeren onsekiz adet bileşiğin yapılan *in-vitro* antifungal ve antibakteriyel aktivite çalışmalarında olumlu sonuçlar elde edilmiştir.

Anahtar Kelimeler: Ditiyokarbamat, 2-Pirazolin, Antifungal aktivite, Antibakteriyel aktivite

ABSTRACT

PhD. Thesis

SYNTHESIS OF SOME

**1-[(N, N-DISUBSTITUTED THIOCARBONYLTHIO) ACETYL]-
3-(2-THIENYL)-5-ARYL-2-PYRAZOLINE DERIVATIVES AND
INVESTIGATION OF THEIR ANTIFUNGAL, ANTIBACTERIAL
ACTIVITIES**

Msc. Pharm. Ahmet ÖZDEMİR

**Anadolu University
Institute of Health Sciences
Department of Pharmaceutical Chemistry**

Supervisor: Prof. Dr. Gülhan TURAN

2004

The literature research on dithiocarbamate derivatives showed that these compounds have antifungal and antibacterial activities. It is also well known that pyrazoline derivatives show antibacterial and antifungal activities.

In our study, it has been aimed that the synthesis and antimicrobial evaluation of new 1-[$(N,N$ -disubstituted thiocarbamoylthio)acetyl]-3-(2-thienyl)-5-aryl-2-pyrazoline derivatives which include dithiocarbamate and pyrazoline moieties.

Desired original twenty-eight compounds were synthesized by reacting 1-(2-chloroacetyl)-3-(2-thienyl)-5-aryl-2-pyrazoline derivatives with dithiocarbamates having initial substances.

Physical properties, R_f values on thin layer chromatography, R_t values on high pressure liquid chromatography and UV absorption properties of the compounds have been determined and their structure has been elucidated by IR, 1H -NMR, MS spectra and elemental analysis.

Promising results have been obtained from the *in-vitro* antifungal and antibacterial activities of eighteen compounds, which include some of the starting and resulted compounds.

Key Words: Dithiocarbamate, 2-Pyrazoline, Antifungal activity, Antibacterial activity

TEŞEKKÜR

Kıymetli bilgi, eleştiri ve yönlendirmelerini esirgemeyerek, anlayış ve hoşgörüsü ile çalışmalarımı destekleyen tez danışmanım Sayın Hocam Prof. Dr. Gülhan TURAN'a,

Çalışmalarım boyunca her zaman desteğini ve yardımını gördüğüm Sayın Dekanım, Prof. Dr. Ümit UÇUCU'ya,

Akademik çalışmalarım boyunca yardım ve desteklerini gördüğüm, Sayın Hocam Prof. Dr. Şeref DEMİRAYAK olmak üzere Farmasötik Kimya Anabilim Dalı'ndaki tüm hocalarına ve çalışma arkadaşlarına,

Spektroskopik analizleri gerçekleştiren Fransa Montpellier Üniversitesi Eczacılık Fakültesi Farmasötik Kimya ABD. Öğretim üyesi Sayın Dr. Pierre CHEVALLET'ye,

Antifungal ve antibakteriyel aktivite testlerini gerçekleştiren Fen Fakültesi Biyoloji Bölümü Anabilim Dalı Başkanı Prof. Dr. Merih KIVANÇ'a ve Araştırma Görevlisi Meral YILMAZ'a,

Her türlü desteği, güveni ve sevgisinden dolayı değerli eşim Fulya ÖZDEMİR'e ve şahsında bütün aileme en içten teşekkürlerimi sunarım.

İÇİNDEKİLER

ÖZET	i
ABSTRACT	iii
TEŞEKKÜR	v
İÇİNDEKİLER	vi
TABLO VE ŞEKİLLER	x
SİMGELER VE KISALTMALAR	xi
1. GİRİŞ VE AMAÇ	1
2. KAYNAK BİLGİSİ	5
2.1. Ditiyokarbamat türevlerinin sentez yöntemleri	5
2.2. Ditiyokarbamat türevleri üzerine yapılmış antimikrobiyal aktivite çalışmaları	6
2.3. Pirazolin halka yapısı hakkında genel bilgiler	13
2.4. Pirazolin halkasının genel sentez yöntemleri	15
2.5. Pirazolin türevleri üzerine yapılmış antimikrobiyal aktivite çalışmaları	17
2.6. Tiyofen halka sistemi üzerine genel bilgiler	28
3. GEREÇ VE YÖNTEMLER	30
3.1. Kullanılan kimyasal madde ve aletler	30
3.1.1. Kullanılan aletler	30
3.1.2. Kullanılan kimyasal maddeler	31
3.1.3. Sentezlenen bileşiklerin analizi	32
4. DENEYSEL KISIM	34
4.1. Bileşiklerin sentezleri	34
4.1.1. 1-(2-Tiyenil)-3-aryl-2-propen-1-on türevlerinin genel sentez yöntemi	34
4.1.2. 3-(2-Tiyenil)-5-aryl-2-pirazolin türevlerinin genel sentez yöntemi	37
4.1.3. 1-(2-Kloroasetil)-3-(2-tiyenil)-5-aryl-2-pirazolin türevlerinin genel sentez yöntemi (A)	41
4.1.4. N,N-Disübstitüe ditiyokarbamik asidlerin sodyum tuzlarının genel sentez yöntemi	49

4.1.5. 1-[(N,N-Disübstitüetiyokarboniltiyo)asetil]-3-(2-tiyenil)-5-aryl -2-pirazolin türevlerinin (B) elde edilişleri	51
4.2. Antimikrobiyal etki çalışmaları	86
4.2.1. Antimikrobiyal testler için mikroorganizmaların canlandırılması	86
4.2.2. Agar difüzyon tekniği	86
4.2.2.1. Bakteri ve mayalar	86
4.2.2.2. Filamentli funguslar	87
4.2.3. Antimikrobiyal testlerde kullanılan mikroorganizmalar	89
5. SONUÇ VE TARTIŞMA	90
5.1. Bileşiklerin sentezi	90
5.1.1 1-(2-Tiyenil)-3-aryl-2-propen-1-on genel sentez yöntemi	90
5.1.2. 3-(2-Tiyenil)-5-aryl-2-pirazolin türevlerinin genel sentez yöntemi	91
5.1.3. 1-(2-Kloroasetil)-3-(2-tiyenil)-5-aryl-2-pirazolin türevlerinin genel sentez yöntemi (A)	93
5.1.4. N,N-Disübstitüte dityokarbamik asid tuzlarının genel sentez yöntemi	95
5.1.5. 1-[(N,N-Disübstitüetiyokarboniltiyo)asetil]-3-(2-tiyenil)-5-aryl-2- pirazolin türevlerinin genel sentez yöntemi (B)	95
5.2. Spektral verilerin değerlendirilmesi	98
5.2.1. UV spektrumlarının değerlendirilmesi	98
5.2.2. IR spektrumlarının değerlendirilmesi	98
5.2.3. ¹ H-NMR spektrumlarının değerlendirilmesi	98
5.2.4. Kütle (FAB) spektrumlarının değerlendirilmesi	101
5.3. Antibakteriyel ve antifungal aktivite sonuçlarının değerlendirilmesi	101
6. KAYNAKLAR	104
7. EKLER	125
Ek 1. Bileşik A-1'e ait IR spektrumu	125
Ek 2. Bileşik A-2'ye ait IR spektrumu	126
Ek 3. Bileşik A-3'e ait IR spektrumu	127
Ek 4. Bileşik A-4'e ait IR spektrumu	127
Ek 5. Bileşik A-5'e ait IR spektrumu	128
Ek 6. Bileşik A-6'ya ait IR spektrumu	129
Ek 7. Bileşik A-7'ye ait IR spektrumu	129

Ek 8.	Bileşik B-1'e ait IR spektrumu	130
Ek 9.	Bileşik B-2'ye ait IR spektrumu	130
Ek 10.	Bileşik B-3'e ait IR spektrumu	131
Ek 11.	Bileşik B-4'e ait IR spektrumu	131
Ek 12.	Bileşik B-5'e ait IR spektrumu	132
Ek 13.	Bileşik B-6'ya ait IR spektrumu	132
Ek 14.	Bileşik B-7'ye ait IR spektrumu	133
Ek 15.	Bileşik B-8'e ait IR spektrumu	134
Ek 16.	Bileşik B-9'a ait IR spektrumu	134
Ek 17.	Bileşik B-10'a ait IR spektrumu	135
Ek 18.	Bileşik B-11'e ait IR spektrumu	136
Ek 19.	Bileşik B-12'ye ait IR spektrumu	136
Ek 20.	Bileşik B-13'e ait IR spektrumu	137
Ek 21.	Bileşik B-14'e ait IR spektrumu	137
Ek 22.	Bileşik B-15'e ait IR spektrumu	138
Ek 23.	Bileşik B-16'ya ait IR spektrumu	138
Ek 24.	Bileşik B-17'ye ait IR spektrumu	139
Ek 25.	Bileşik B-18'e ait IR spektrumu	139
Ek 26.	Bileşik B-19'a ait IR spektrumu	140
Ek 27.	Bileşik B-20'ye ait IR spektrumu	141
Ek 28.	Bileşik B-21'e ait IR spektrumu	142
Ek 29.	Bileşik B-22'ye ait IR spektrumu	143
Ek 30.	Bileşik B-23'e ait IR spektrumu	143
Ek 31.	Bileşik B-24'e ait IR spektrumu	144
Ek 32.	Bileşik B-25'e ait IR spektrumu	144
Ek 33.	Bileşik B-26'ya ait IR spektrumu	145
Ek 34.	Bileşik B-27'ye ait IR spektrumu	145
Ek 35.	Bileşik B-28'e ait IR spektrumu	146
Ek 36.	Bileşik A-2'ye ait NMR spektrumu	147
Ek 37.	Bileşik A-4'e ait NMR spektrumu	148
Ek 38.	Bileşik A-6'ya ait NMR spektrumu	150
Ek 39.	Bileşik A-7'ye ait NMR spektrumu	151

Ek 40. Bileşik B-1'e ait NMR spektrumu	152
Ek 41. Bileşik B-2'ye ait NMR spektrumu	153
Ek 42. Bileşik B-3'e ait NMR spektrumu	154
Ek 43. Bileşik B-4'e ait NMR spektrumu	155
Ek 44. Bileşik B-6'ya ait NMR spektrumu	156
Ek 45. Bileşik B-7'ye ait NMR spektrumu	157
Ek 46. Bileşik B-8'e ait NMR spektrumu	158
Ek 47. Bileşik B-9'a ait NMR spektrumu	159
Ek 48. Bileşik B-10'a ait NMR spektrumu	160
Ek 49. Bileşik B-12'ye ait NMR spektrumu	161
Ek 50. Bileşik B-13'e ait NMR spektrumu	162
Ek 51. Bileşik B-16'ya ait NMR spektrumu	164
Ek 52. Bileşik B-18'e ait NMR spektrumu	166
Ek 53. Bileşik B-19'a ait NMR spektrumu	167
Ek 54. Bileşik B-20'ye ait NMR spektrumu	168
Ek 55. Bileşik B-21'e ait NMR spektrumu	169
Ek 56. Bileşik B-24'e ait NMR spektrumu	170
Ek 57. Bileşik B-25'e ait NMR spektrumu	171
Ek 58. Bileşik B-26'ya ait NMR spektrumu	172
Ek 59. Bileşik B-28'e ait NMR spektrumu	173
Ek 60. Bileşik A-2'ye ait kütle spektrumu	174
Ek 61. Bileşik A-4'e ait kütle spektrumu	175
Ek 62. Bileşik A-6'ya ait kütle spektrumu	176
Ek 63. Bileşik A-7'ye ait kütle spektrumu	177
Ek 64. Bileşik B-1'e ait kütle spektrumu	178
Ek 65. Bileşik B-2'ye ait kütle spektrumu	179
Ek 66. Bileşik B-3'e ait kütle spektrumu	180
Ek 67. Bileşik B-4'e ait kütle spektrumu	181
Ek 68. Bileşik B-6'ya ait kütle spektrumu	182
Ek 69. Bileşik B-7'ye ait kütle spektrumu	183
Ek 70. Bileşik B-8'e ait kütle spektrumu	184
Ek 71. Bileşik B-9'a ait kütle spektrumu	185

Ek 72. Bileşik B-10'a ait kütle spektrumu	186
Ek 73. Bileşik B-12'ye ait kütle spektrumu	187
Ek 74. Bileşik B-13'e ait kütle spektrumu	188
Ek 75. Bileşik B-16'ya ait kütle spektrumu	189
Ek 76. Bileşik B-18'e ait kütle spektrumu	190
Ek 77. Bileşik B-19'a ait kütle spektrumu	191
Ek 78. Bileşik B-20'ye ait kütle spektrumu	192
Ek 79. Bileşik B-21'e ait kütle spektrumu	193
Ek 80. Bileşik B-24'e ait kütle spektrumu	194
Ek 81. Bileşik B-25'e ait kütle spektrumu	195
Ek 82. Bileşik B-26'ya ait kütle spektrumu	196
Ek 83. Bileşik B-27'ye ait kütle spektrumu	197
Ek 84. Bileşik B-28'e ait kütle spektrumu	198
 8. ÖZGEÇMİŞ	199

TABLO VE ŞEKİLLER

Tablo 1. A grubu bileşikler	3
Tablo 2. B grubu bileşikler	4
Tablo 3. Antimikrobiyal aktivite testlerinde kullanılan mikroorganizmalar	89
Tablo 4. A Grubu bileşiklerin kapalı formülleri, molekül ağırlıkları, erime dereceleri ve % verimleri	94
Tablo 5. B Grubu bileşiklerin kapalı formülleri, molekül ağırlıkları, erime dereceleri ve % verimleri	97
Tablo 6. Antibakteriyel ve antifungal aktivite sonuçları ($\mu\text{g/mL}$)	103

Şema 1.	1-(2-Tiyenil)-3-aryl-2-propen-1-on türevlerinin elde edilişleri için önerilen mekanizma	90
Şema 2.	3-(2-Tiyenil)-5-aryl-2-pirazolin türevlerinin elde edilişleri için önerilen mekanizma	92
Şema 3.	1-(2-Kloroasetil)-3-(2-tiyenil)-5-aryl-2-pirazolin türevlerinin elde edilişleri için önerilen mekanizma	93
Şema 4.	N,N-Disübstitütediyokarbamik asid sodyum tuzu türevlerinin elde edilişleri için önerilen mekanizma	95
Şema 5.	1-[(N,N-Disübstitütetiyokarboniltiyo)asetil]-3-(2-tiyenil)-5-aryl-2-pirazolin türevlerinin elde edilişleri için önerilen mekanizma	96

SİMGELER VE KISALTMALAR

sit-P450 : Sitokrom-P450 (enzim)

$\mu\text{g/mL}$: Mikrogram / mililitre

DMSO : Dimetilsülfoksit

MİK : Minimal İnhibisyon Konsantrasyonu

İTK : İnce Tabaka Kromatografisi

R_f : Retention Factor (Alikonma Faktörü)

DMF : Dimetilformamit

TBAI : Tetrabütilamonyum İyodür

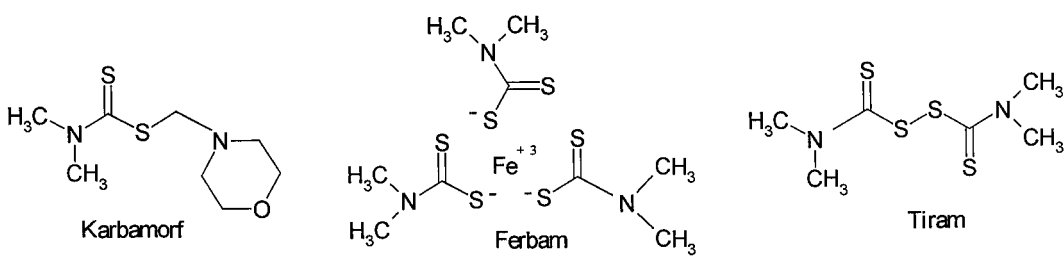
1. GİRİŞ VE AMAÇ

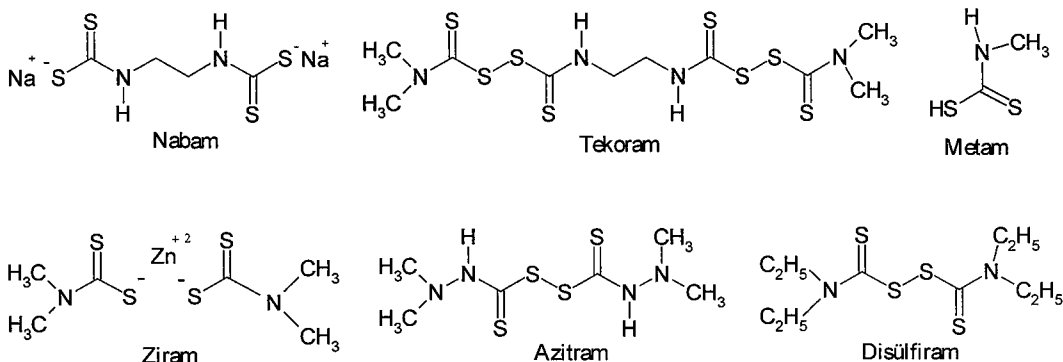
Funguslar, fotosentetik olmayan tek hücreli koloniler (maya) veya filamentli çok hücreli agregatlar (küf) halinde üreyen ökaryotlardır. Fungusların çoğu toprak veya bitkilerde yaşayan saprofitlerdir. Az sayıda fungus, insan ve hayvanlarda hastalığa yol açar.

Mikotik (fungal) infeksiyonlar antifungal ilaçlarla tedavi edilirler. Bu ajanlar, fungusit veya fungustatik olabilirler ve tip, tarım ve veteriner hekimlikte geniş kullanım alanları vardır [1]. Son yirmi-otuz yıllık süreçte sistemik fungal infeksiyonlarda artma meydana gelmiştir. Bu artışta rol oynayan bir faktör, bağırsağın patojen olmayan florasını ortadan kaldırın genis spektrumlu antibiyotiklerin yoğun bir şekilde kullanılmasıdır. Diğer bir faktör ise, insan immün yetmezlik virüsüne (HIV), immünosupresan ilaçlara ve kanser kemoterapisinde kullanılan ilaçlara bağlı olarak, immün yanıtları azalan bireylerin sayısındaki artmadır. Bu faktörler, fırsatçı fungal enfeksiyonlarının meydana gelmesini kolaylaştırmaktadır.

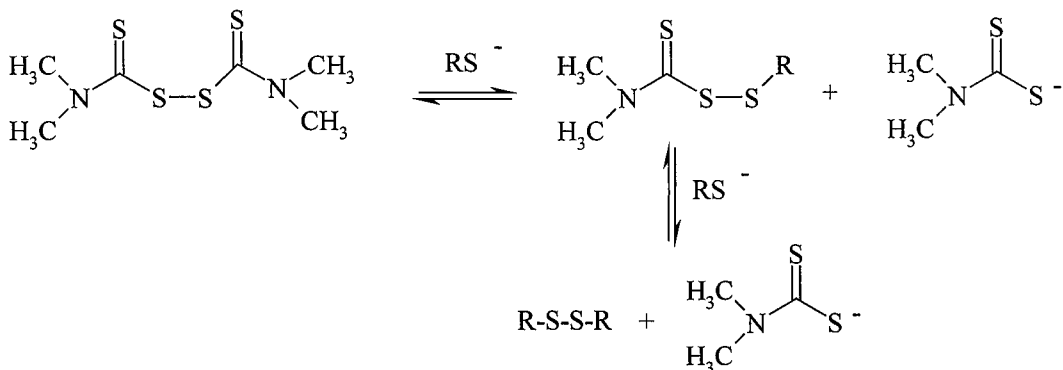
Tarih boyunca kükürt ve bazı kükürtlü bileşiklerin fungal enfeksiyonlarının tedavisinde kullanıldığı bilinmektedir. Kükürtlü bileşiklerden en yaygın kullanılanları, ditiyokarbamat türevleridir.

Tarım alanında kullanılan ditiyokarbamat fungisidler; azitram, karbamorf, kufraneb, kuprobam, disülfiram, ferbam, metam, nabam, tekoram, tiram, ziram'dır. Bu bileşikler, fungusit olarak bitkilerin tohumlarını, meyvalarını ve yapraklarını korumak amacıyla kullanılırlar [2-3].

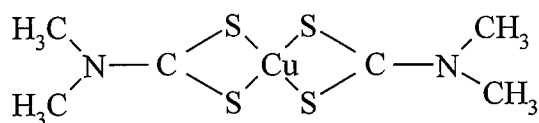




Tiyokarbonil bileşiklerin etki mekanizmaları incelendiğinde, fungusların hücre duvarı sentezinde kullandıkları sitokrom P-450 enzimini, yarışmalı olarak inhibe ederek etki gösterdikleri düşünülmektedir [4]. Ayrıca sülfidril grubu taşıyan enzim veya koenzimlerle etkileşerek fungus metabolizmasını inhibe ettikleri ileri sürülmektedir [1].

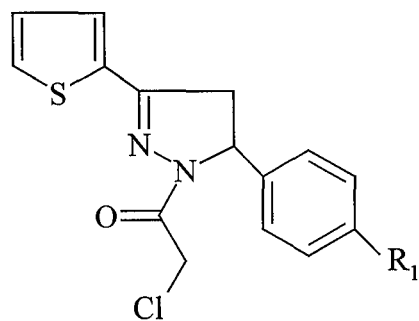


Bununla birlikte tiyokarbamatların bazıları, yapısında metal de bulunan çok sayıda enzimi inhibe ederler. Bu durumda, tiyokarbamatların etki yoresinin hücre membranındaki metal atomları olduğu ve muhtemelen katyonik kompleksler oluşturdukları da düşünülmektedir [1].



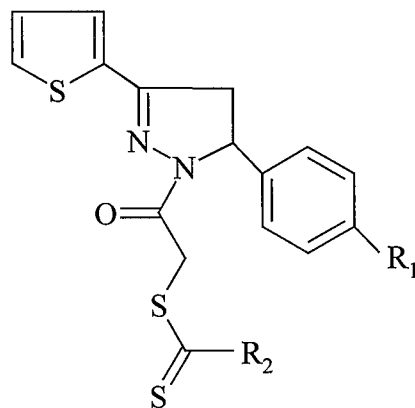
Ditiyokarbamatların sahip oldukları bu çok yönlü fungusit etki, çalışmanın oluşturulmasında önemli ipuçları vermiştir.

Bu amaçla ditiyokarbamat yapısı, antimikrobiyal aktivitesi yönünden önemli bir yapı olan 1-(2-kloroasetil)-3-(2-tiyenil)-5-aryl-2-pirazolin türevleriyle (A grubu bileşikler) kondanse edilerek yeni 1-[(N,N-disübstitüe-tiyokarboniltiyo)asetil]-3-(2-tiyenil)-5-aryl-2-pirazolin türevi bileşikler (B grubu bileşikler) elde edilmiştir. Elde edilen yeni bileşiklerin yapıları spektroskopik yöntemlerle aydınlatılmış ve bileşiklerin antifungal ve antibakteriyel aktiviteleri araştırılmıştır.



Tablo 1. A grubu bileşikler

No	R ₁	E.D.(°C) Deneysel	E.D.(°C) Literatür	Verim (%)
1	H	126	-	76
2	CH ₃	130	-	62
3	N(CH ₃) ₂	145	-	78
4	OH	250	-	69
5	OCH ₃	120	124 [143]	68
6	F	143-144	-	64
7	Cl	118	148 [143]	73



Tablo 2. B grubu bileşikler

No	R ₁	R ₂	E.D.(°C)	Verim (%)
B-1	H	Pirolidin-1-il	149	45
B-2	H	Piperidin-1-il	105-106	52
B-3	H	Morfolin-1-il	144	48
B-4	H	Tiyomorfolin-1-il	161	50
B-5	CH ₃	Pirolidin-1-il	98	41
B-6	CH ₃	Piperidin-1-il	110-113	47
B-7	CH ₃	Morfolin-1-il	116-118	49
B-8	CH ₃	Tiyomorfolin-1-il	91-93	51
B-9	N(CH ₃) ₂	Pirolidin-1-il	83-84	65
B-10	N(CH ₃) ₂	Piperidin-1-il	89	68
B-11	N(CH ₃) ₂	Morfolin-1-il	86	69
B-12	N(CH ₃) ₂	Tiyomorfolin-1-il	87	71
B-13	OH	Pirolidin-1-il	121-123	49
B-14	OH	Piperidin-1-il	180-182	50
B-15	OH	Morfolin-1-il	203	56
B-16	OH	Tiyomorfolin-1-il	208	58
B-17	OCH ₃	Pirolidin-1-il	73	56
B-18	OCH ₃	Piperidin-1-il	79	53
B-19	OCH ₃	Morfolin-1-il	84	57
B-20	OCH ₃	Tiyomorfolin-1-il	168	59
B-21	F	Pirolidin-1-il	139	49
B-22	F	Piperidin-1-il	77-80	51
B-23	F	Morfolin-1-il	119	53
B-24	F	Tiyomorfolin-1-il	171-172	56
B-25	Cl	Pirolidin-1-il	108	64
B-26	Cl	Piperidin-1-il	108-109	63
B-27	Cl	Morfolin-1-il	89-92	66
B-28	Cl	Tiyomorfolin-1-il	166	67

2. KAYNAK BİLGİSİ

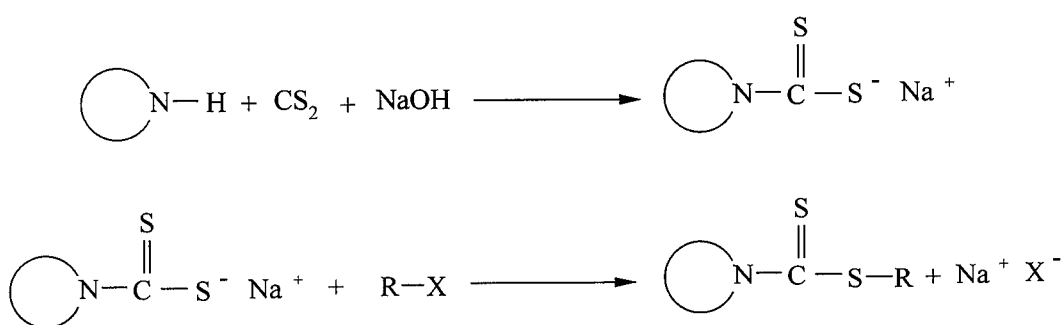
BERNTHSEN ve FRIESE tarafından bilim dünyasına sunulan dityokarbamik asit esterleri, literatürde genellikle esteri oluşturan diğer ana gruplara göre sınıflandırılarak kaydedilmektedir. Bu durum, bu grup bileşiklere yönelik literatür araştırmalarında, bileşiklerin kaydının bulunmasını zorlaştıracı en önemli neden olarak bildirilmiştir [6].

Literatürde N,N-disübstitüe dityokarbamoik asit esterlerinin değişik biyolojik aktivitelerine rastlanmıştır. Bu türevlerin en önemli etkileri, antifungal [4, 5-18, 21-25, 27], antibakteriyel [6, 8-15, 17, 19-24, 26, 27], antiviral [28], antikolinergic [29-35], antihistaminik [31, 35], antiparkinson [36], antihelmentik [37], herbisit ve nematosit [38], antispazmodik [29, 30, 34, 39, 40], antitümör [41-42] ve antihipertansif [43] olarak sayılabilir.

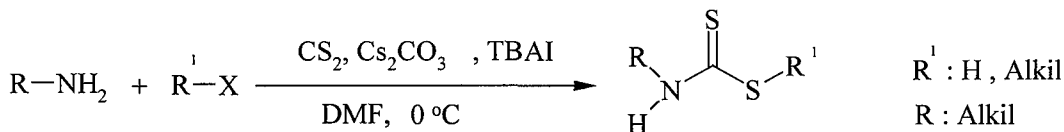
2.1. Dityokarbamat türevlerinin sentez yöntemleri

Disübstitüe dityokarbamik asit esterlerinin elde edilmesinde kullanılan en bilinen yöntem, dityokarbamik asit tuzlarının alkil halojenürlerle verdiği yer değiştirme reaksiyonudur.

BERNTHSEN ve FRIESE, sekonder aminlerin alkali ortamda karbon sülfür ile reaksiyonundan elde ettikleri dityokarbamik asit tuzlarını alkil halojenürlerle reaksiyona sokarak dityokarbamik asit esterlerini elde etmişlerdir [5].

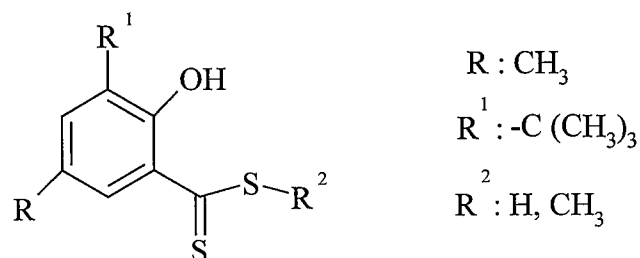


Sezyum karbonatlı ortamda, tetrabütilamonyum iyodür (TBAI), tetrabütilamonyum sülfat, benziltrietilamonyum klorür gibi faz transfer katalizörleri yardımıyla, alkil halojenürlerle karbon sülfürden de yararlanılarak, aminlerin tiyokarbamat dönüşmesi kolaylaşmıştır. Bilinen metodlarla karşılaşıldığında bu yöntemin kolay, seçici ve etkili olduğu görülmektedir [44].

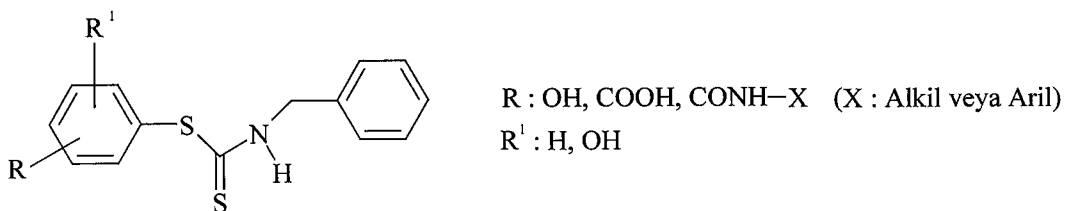


2.2. Ditiyokarbamat türevleri üzerinde yapılan antimikrobiyal aktivite çalışmaları

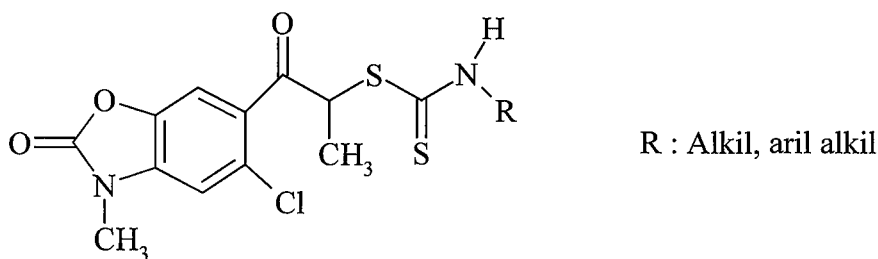
FUCHSMAN ve MEEK [6], metil ditiyosalisilat türevlerini sentezleyerek, antibakteriyel ve antifungal aktivitelerini araştırmıştır.



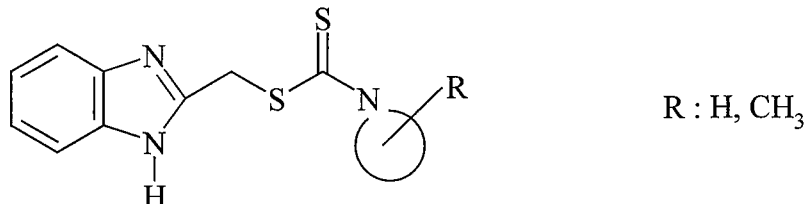
MAZZA ve arkadaşları [7], benzentiyollerle benzil izotiyosiyonatları kondanse ederek N-benzilditiyokarbamik asit aril esteri türevi bileşikleri hazırlayıp bunların antifungal aktivitelerini araştırmışlardır. Bileşiklerin antifungal etki gösterdikleri belirtilmiştir.



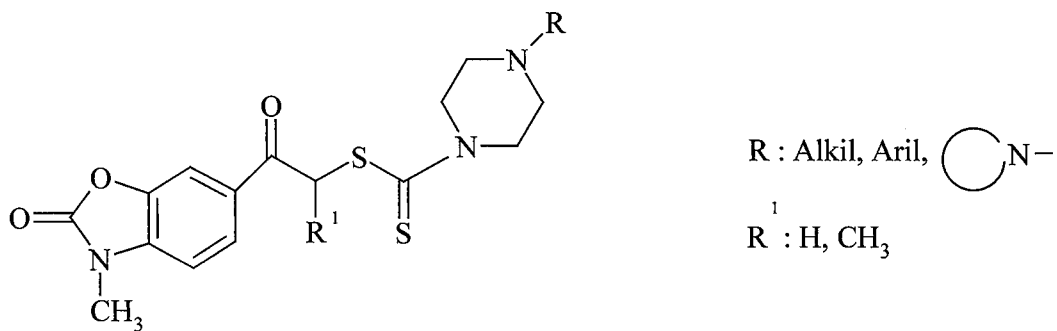
ŞAFAK ve arkadaşları tarafından [8], 3-metil-5-kloro-6-(2-bromopropiyonil)-2-benzoksazolinonla, sübstitüe potasyum ditiyokarbamat türevlerinin reaksiyonu ile 3-metil-5-kloro-6-[2-(N-sübstitüetiyoarboniltiyo)-propiyonil]-2-benzoksazolinon türevleri hazırlanmıştır. Bileşiklerin antibakteriyel ve antifungal aktiviteleri çeşitli mikroorganizmalara karşı araştırılmıştır.



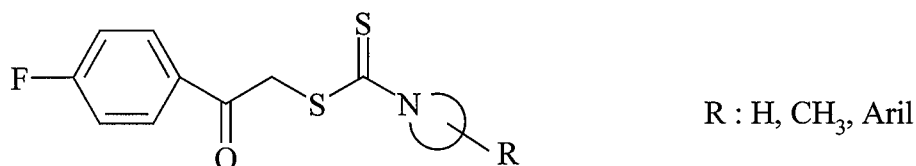
ŞAFAK ve çalışma grubu [9] tarafından, bazı S-(benzimidazol-2-il-metil)-N,N-disübstitüe ditiyokarbamatların sentezleri gerçekleştirilerek, bu türevlerin antibakteriyel ve antifungal aktiviteleri mikrobroth dilüsyon yöntemi kullanılarak araştırılmıştır.



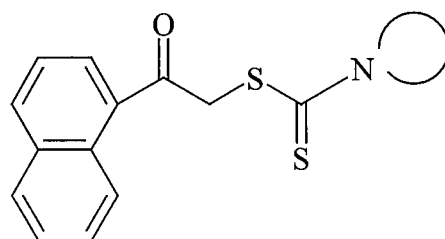
ERDOĞAN ve arkadaşları ile ŞAFAK ve arkadaşları [10, 11], 4-sübstitüe-piperazinoditiyokarbamik asit esterlerini, potasyum 4-sübstitüe-piperazinoditiyokarbamatların 3-metil-6-bromoasetil- ve 3-metil-6-(2-bromopropiyonil)-2- benzoksazolinonlarla reaksiyonu sonucu hazırlamışlardır. Bileşiklerin antibakteriyel ve antifungal aktiviteleri, agar difüzyon metodu kullanılarak incelenmiş, diskler etrafında inhibisyon zonunun oluşmadığı gözlenmiştir.



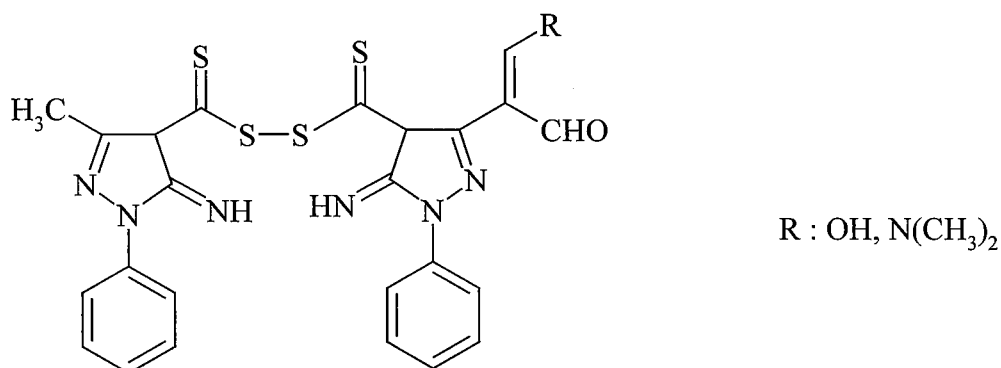
PİLLİ ve çalışma grubu [12], 4-florofenaçil bromürü uygun potasyum ditiyokarbamat türevleri ile reaksiyona sokarak S-(4-florobenzoilmetil)-N,N-disübstitüe ditiyokarbamat türevlerini elde etmiş ve bunların antibakteriyel ile antifungal aktivitelerini incelemiştir.



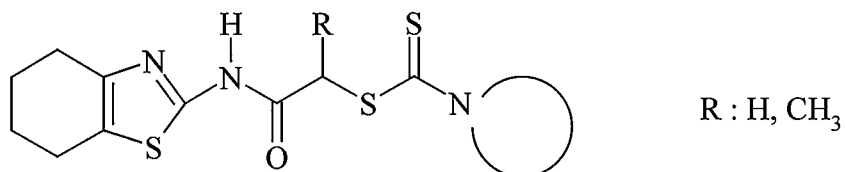
ÖZKANLI ve çalışma grubu [13], 1-(α -bromoasetil)naftalen ile uygun potasyum ditiyokarbamatları reaksiyona sokarak yeni ditiyokarbamat türevi bileşikler sentezlemiştir. Sentezlenen bileşiklerin antibakteriyel ve antifungal aktivitelerini mikrobroth dilüsyon teknigini kullanarak araştırmışlardır.



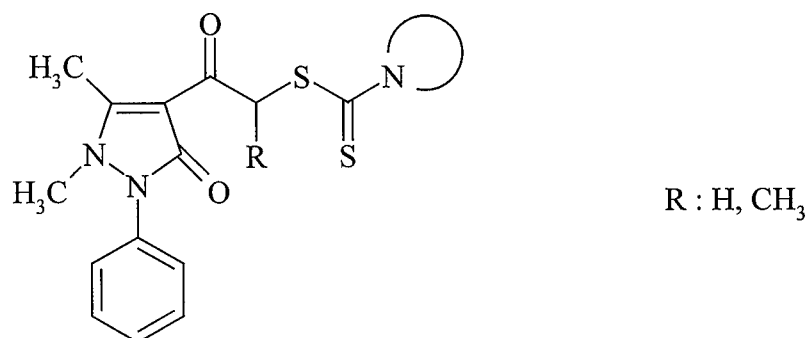
AWAD [14] 1993 yılında, dipirazolino-4,4'-ditiyokarbamat türevlerini sentezleyerek, oluşan ürünlerin antimikrobiyal etkilerini incelemiştir.



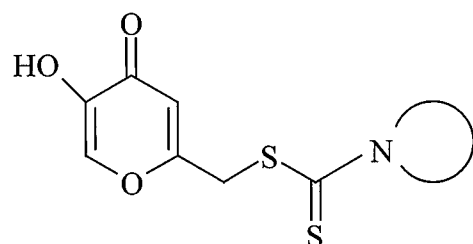
DEMİRAYAK ve YAMAÇ [15], 2-(α -kloro- α -metilasetamido)-4,5,6,7-tetrahidro-1,3-benzotriazol ile uygun N,N-disübstitüediyokarbamik asit sodyum tuzlarını reaksiyona sokarak 2-[α -metil- α -(N,N-dialkilaminotiyokarboniltiyo)-asetamido]-4,5,6,7-tetrahidro-1,3-benzotriazol türevlerini sentezlemiştir. Elde edilen türevlerin antibakteriyel ve antifungal etkileri incelenmiştir.



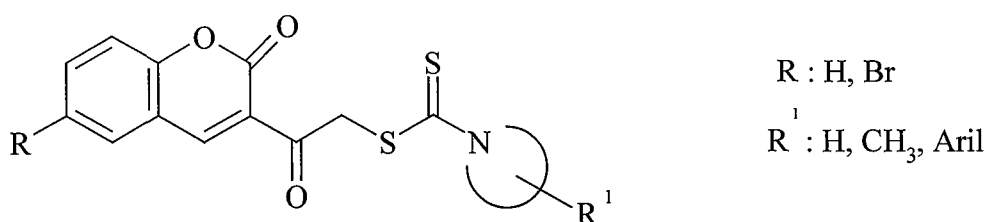
CESUR ve arkadaşları [16] tarafından, 4-(α -kloroasetil)antipirin ve 4-(α -kloropropiyonil)antipirin, N,N-dityokarbamik asit potasyum tuzu ile reaksiyona sokularak 4-[(N,N-disübstitüe tiyokarbamoiltiyo)acil]antipirin yapısında bileşikler sentezlenerek, bunların antifungal aktiviteleri incelenmiştir.



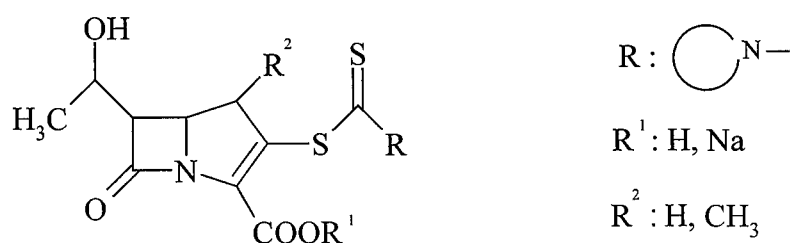
EROL ve çalışma grubu [17], kojik asidin bazı ditiyokarbamat türevlerini hazırlayarak, bu bileşiklerin antibakteriyel ve antifungal aktivitelerini mikrobroth dilüsyon tekniği kullanarak incelemiştir.



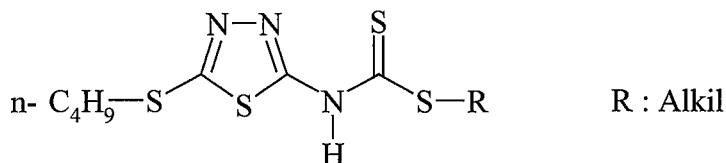
GÜRSOY ve arkadaşları [18] tarafından, 3-[(N,N-disübstitüe-tiyokarbamoiltiyo)asetil]kumarin türevleri sentezlenerek, bunların antifungal aktiviteleri üzerinde araştırmalar yapmışlardır.



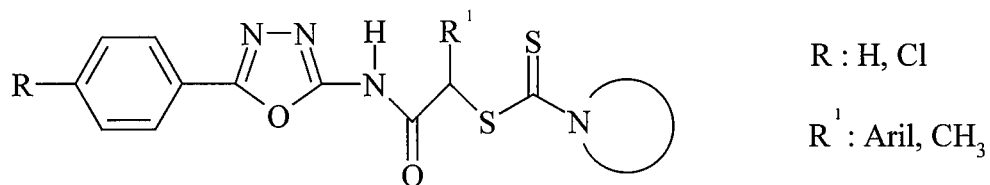
OHTAKE ve çalışma grubu [19, 20], karbapenemlerin 2 nolu konumlarına disübstitüe aminotiyokarboniltiyo grubunu ekleyerek yeni çok sayıda ditiyokarbamat karbapenemleri ve bunların sodyum tuzlarını sentezlemiştir. Sentezlenen bileşiklerin, metisiline direnç kazanmış *Staphylococcus aureus* (MRSA) suçu üzerindeki antibakteriyel etkilerini incelemiştir ve sonuç olarak; sodyum tuzlarının, asit formuna göre daha etkili olduğunu göstermiştir.



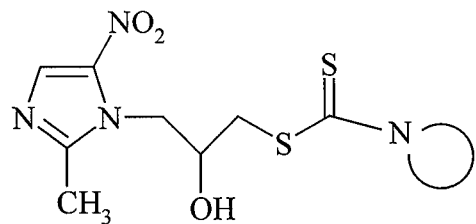
TSOTINIS ve çalışma grubu [21] tarafından, bazı 5-alkiltiyo-1,3,4-тиядиазол-2-ил дитиокарбамік асід естерлерinin, özellikle *Penicillium notatum* ve *Aspergillus niger* suşlarına karşı kuvvetli antifungal aktivitelere sahip olduğu belirtilmiştir. Bununla beraber, *Candida albicans* ve *Saccharomyces cerevisiae* suşlarına karşı ise orta düzeyde aktivite göstermişlerdir.



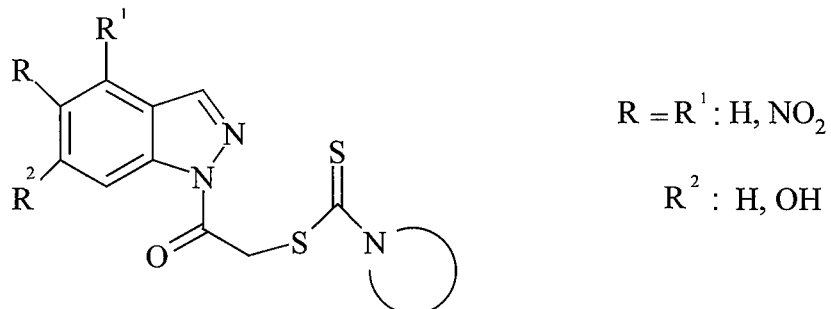
ATEŞ ve arkadaşları [22] tarafından, bazı 5-aryl-2-[(N,N-disübstitüe-тиокарбамоiltiyo)acilamino]-1,3,4-oksadiazoller sentezlenerek, bunların antimikrobiyal aktiviteleri üzerine araştırmalar yapılmıştır. Bileşiklerin antimikrobiyal aktiviteleri mikrobroth dilüsyon tekniği kullanılarak araştırılmıştır.



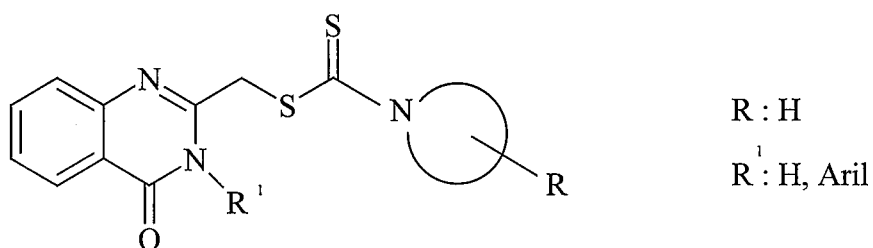
GÜNAY ve çalışma grubu [23] tarafından, 1-[3-[(N,N-disübstitüe-тиокарбонил)tiyo]-2-hidroksipropil]-2-metil-5-nitro-1H-imidazol türevleri sentezlenerek, bunların antifungal ve antibakteriyel aktiviteleri üzerinde çalışılmıştır. 5-Nitroimidazol türevlerinin fungslara karşı etkili olduğu bulunmuştur.



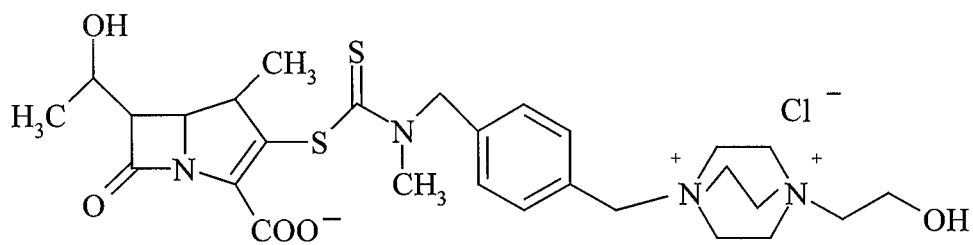
TURAN-ZITOUNI ve arkadaşları [24] tarafından, bazı 1-[$(N,N$ -disübstitüeaminotiyokarboniltiyo)asetil]indazol türevleri sentezlenmiştir. Bileşiklerin antimikrobiyal aktiviteleri incelenmiştir.



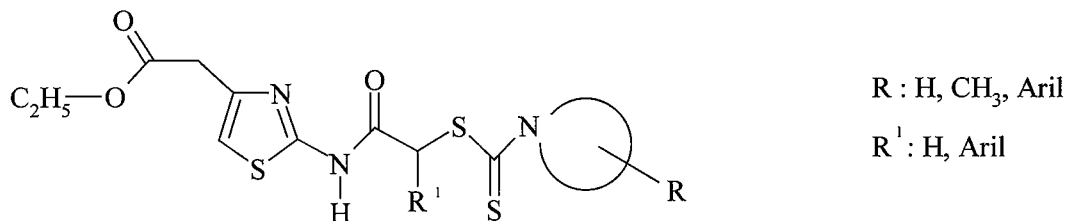
FARGHALY ve çalışma grubu [25] tarafından, N,N -disübstitüe ditiyokarbamoik asid türevlerinin potasyum tuzları, sırasıyla 2-bromometil-4(3H)-kinazolinonlar ve 3-aryl-2-klorometil-4(3H)-kinazolinonlarla reaksiyona sokularak 2-[$(N,N$ -disübstitüetiyokarbamoiltiyo)metil]kinazolinon türevi bileşikler sentezlenmiştir. Elde edilen bileşiklerin antifungal aktiviteleri araştırılmıştır.



IMAMURA ve araştırma grubu [26], 1- β -metilkarbapenemlerin ikinci konumunu disübstitüe aminotiyokarboniltiyo türevleri ile sübstitüe etmişlerdir. Oluşan bu grubu kuaternize ettikleri 1,4-diazabisiklooktan ile sübstitüe ederek, yeni dikatyonik ditiyokarbamat karbapenemleri sentezlemişlerdir. Elde edilen bileşiklerin metisiline direnç kazanmış *Staphylococcus aureus* (MRSA) suşu üzerindeki antibakteriyel etkilerini incelemiştir.

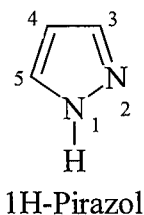


ATEŞ ve arkadaşlarının [27] yaptığı bir araştırmada, N,N-disübstitüeditiyokarbamoik asit türevlerinin potasyum tuzları ile [2-(2-kloroaçil)amino-iyazol-4-il]asetik asit etil esterleri reaksiyona sokularak 2-[2-(N,N-disübstitüetyokarbamoil-sülfanil)acilamino]iyazol-4-il]asetik asit etil esterleri sentezlenmiş ve antimikrobiyal aktiviteleri araştırılmıştır.

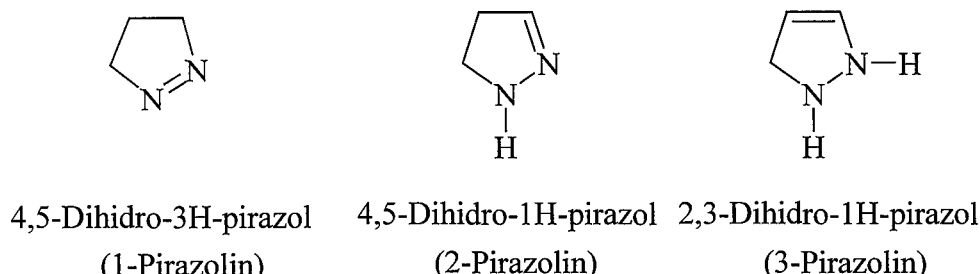


2.3. Pirazolin halka yapısı hakkında genel bilgiler

FISCHER ve KNÖVENAGEL [121] ondokuzuncu yüzyılın sonlarında, akroleinin fenil hidrazin ile reaksiyonunun pirazolin tipi bileşikleri verdiği çalışmalarında göstermişlerdir. Bu araştırmalarda, hidrazin türevi ile α , β -enonun reaksiyonu sonucu pirazolin oluşumunun ilk örneği olarak karşımıza çıkmaktadır. Daha sonra AUWERS ve arkadaşları [45-46], aynı yöntemle 1-fenil-2-pirazolin türevlerini sentezlemiştir.

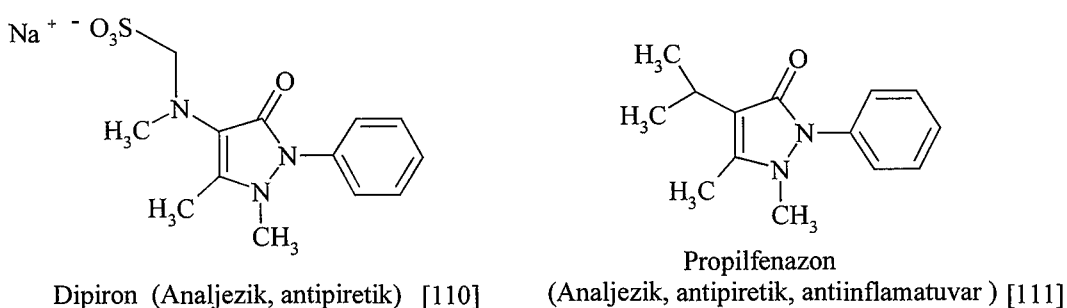


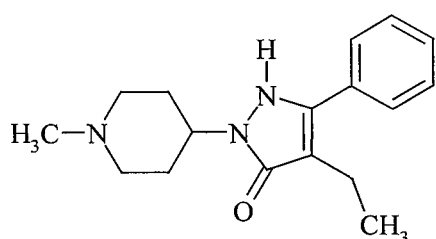
Pirazoldeki çifte bağlardan birinin indirgenip diğer çifte bağın halka içinde farklı konumlarda bulunması sonucu üç adet pirazolin formu oluşmaktadır [47].



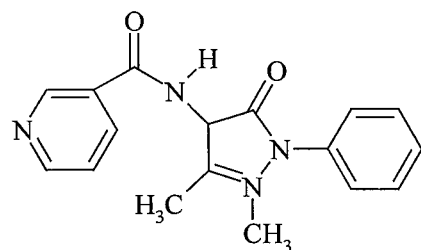
Literatürde pirazolin halkasının sahip olduğu değişik biyolojik aktiviteler üzerine yapılmış çok sayıda çalışma bulunmaktadır. Bu aktiviteler; antimikroiyal [48-78], antidepresan [79-85], nöroprotektif [86-89], antikonvulsan [90-91], antiinflamatuvar [92-100], analjezik [95, 96], antiartrit [97], lokal anestezik [101-102], hipoglisemik [103], hipotansif [104], insektisit [105-107], herbisit [108], mollusidal [109] olarak sıralanabilir.

Günümüzde klinik kullanımına sunulmuş olan ve çeşitli amaçlarla kullanılan pirazolin türevi bileşikler piyasada bulunmaktadır. Bunlardan en bilineni dipirondur. Oral veya parenteral yolla kullanılabilen analjezik bir ilaçtır [110]. Bununla beraber henüz klinik kullanımına sunulmamış diğer pirazolin türevi bileşikler üzerine çalışmalar devam etmektedir.

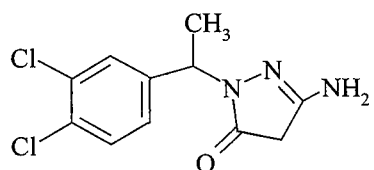




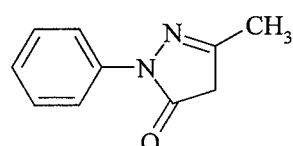
Piperilon (Analjezik) [112]



Nifenazon (Analjezik, antipiretik) [113]

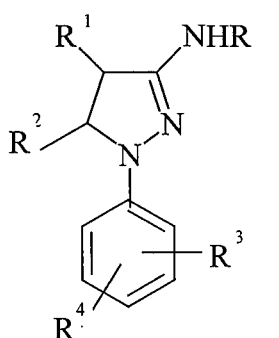


Muzolimin (Diüretik, antihipertansif) [114]



Norfénazon (Felç tedavisinde kullanılır) [115]

Yeni tür antifungal ajanlar üzerine yapılan çalışmalarla, pirazolin yapısı taşıyan bileşiklere de literatürde rastlanmaktadır.



R = H, alkil, asetil, aril

R¹ = R² = H, alkil, aril

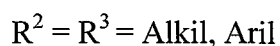
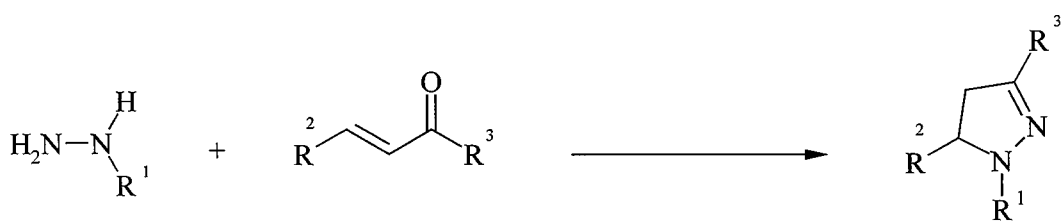
R³ = H, alkil, arilhalojenür

R⁴ = H, halojenür

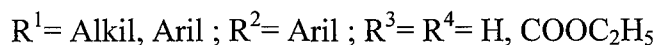
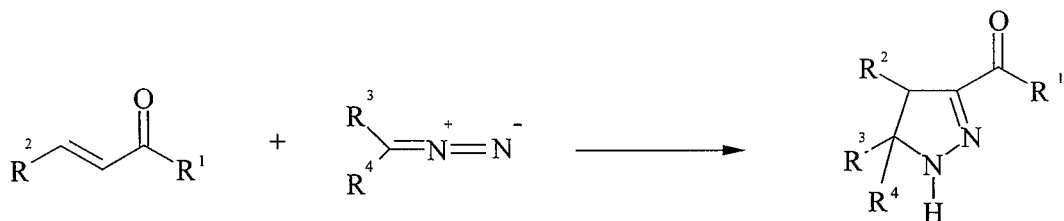
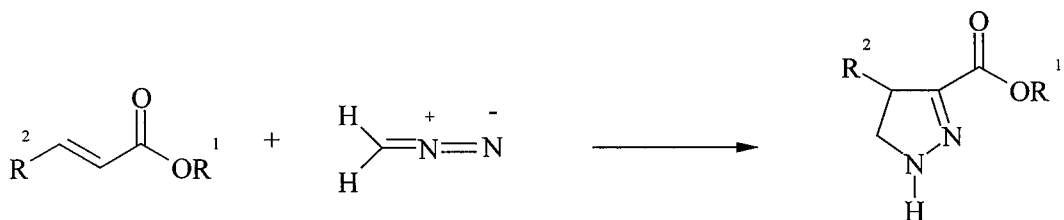
[116-120]

2.4. Pirazolin halkasının genel sentez yöntemleri

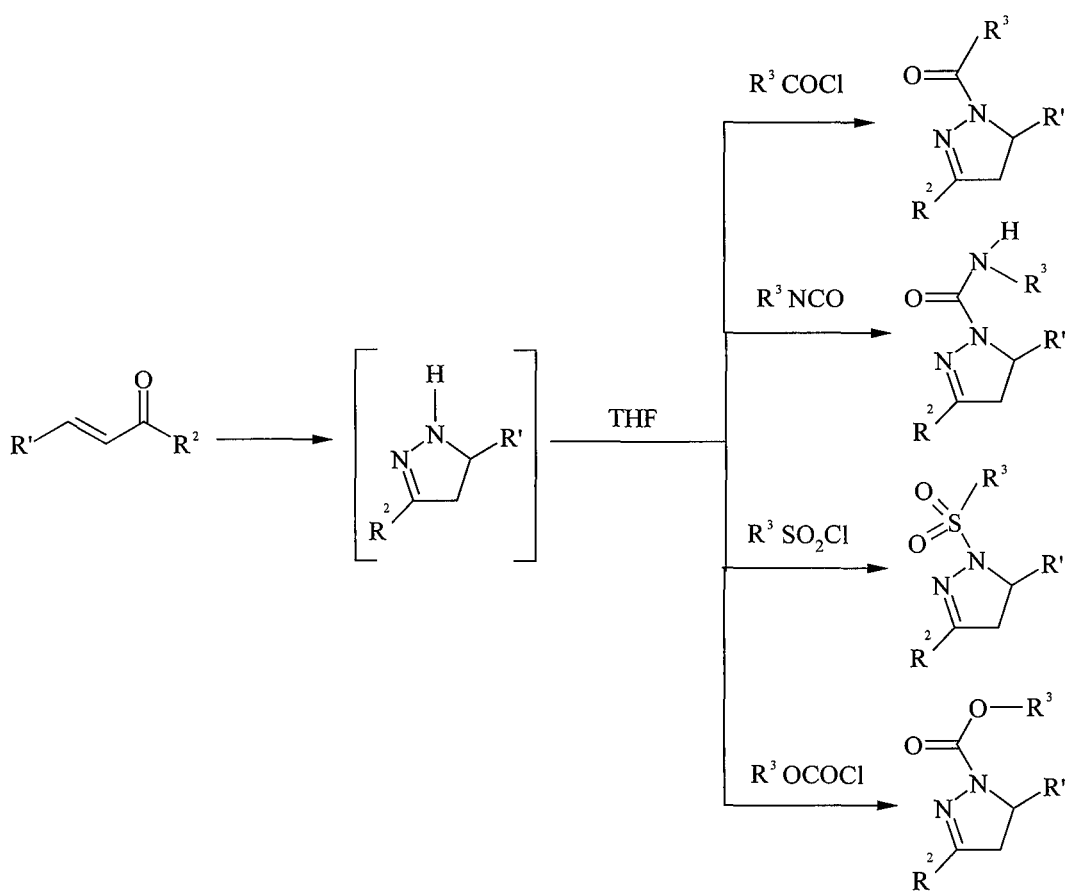
Günümüze kadar α , β -enonlar ile hidrazin türevlerinin reaksiyonu sonucu sayısız 2-pirazolin türevi bileşik sentezlenmiş bulunmaktadır. Bu yöntem, 2-pirazolinlerin hazırlanması için en bilinen metotlardan biri olarak geçerliliğini korumaktadır [121-122].



Yirminci yüzyılın başlarında, α, β -Doymamış karbosiklik asit türevleriyle α, β -enonların diazoalkanlarla reaksiyonunun keşfedilmesi, pirazolinlerin sentezlerinde ikinci bir dönüm noktası olmuştur. Diazometan, pirazolinlerin hazırlanmasına olanak veren en uygun reaktiftir [45-46, 121-122].

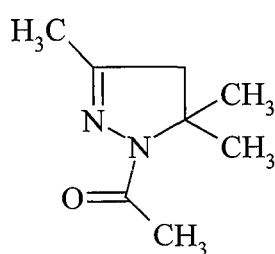


Son zamanlarda, polimer yapılı faz transfer katalizörleri kullanılarak, çok sayıda N-sübstitüe-2-pirazolin türevi bileşik sentezlenmiştir [123-125].

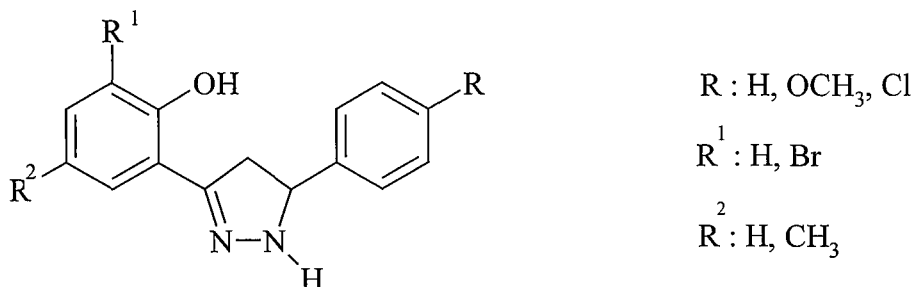


2.5. Pirazolin türevleri üzerine yapılmış antimikrobiyal aktivite çalışmaları

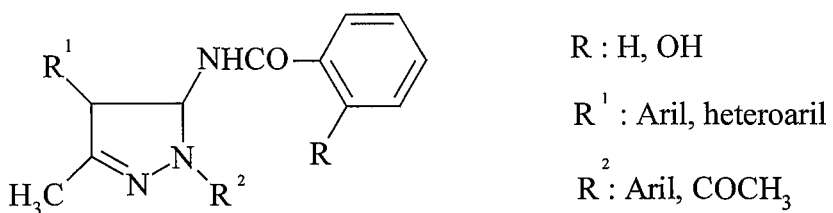
PESHİN ve arkadaşları [48] tarafından 1959 yılında 1-asetil-3,5,5-trimetil-2-pirazolinin bazı maya küf benzeri fungslara karşı etkinliğinin incelenmesi amacı ile başlatılan pirazolin halkasının antimikrobiyal aktivite çalışmaları, günümüze kadar çeşitli araştırmacılar tarafından sürdürülmüştür.



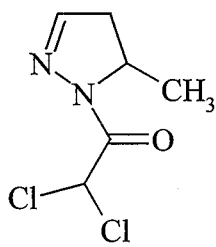
SHARMA ve çalışma grubu [49], 3 ve 5 nolu konumlarından sübstitüe 2-pirazolin türevlerinin antimikroiyal aktivitelerini araştırmışlar ve bileşiklerin çogunun antifungal aktivite gösterdiklerini saptamışlardır. Bileşiklerin antibakteriyel aktivite taşımadıklarını görmüşlerdir.



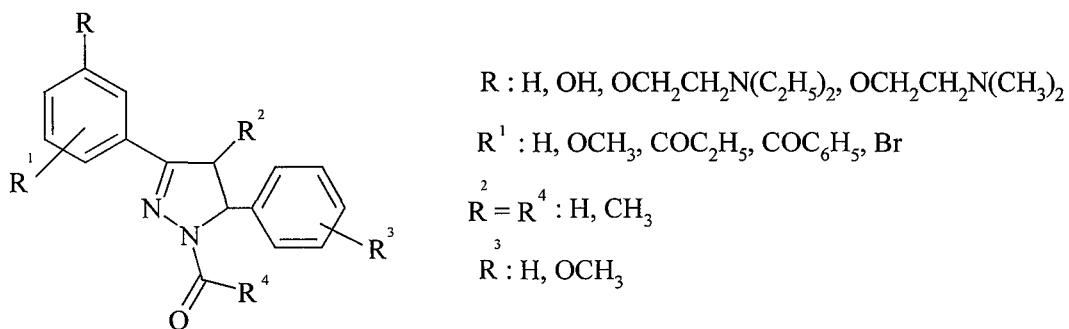
KHALIL ve arkadaşları [50] tarafından, N-(5-metil-3,4-dihidro-2H-pirazol-3-il)benzamid türevleri sentezlenmiş ve bunların antibakteriyel aktiviteleri mikrobroth dilüsyon metodu kullanılarak araştırılmıştır.



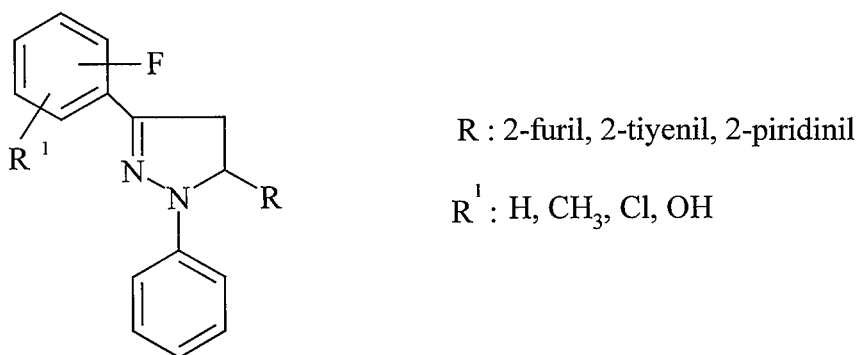
SHOWA [51] tarafından, pirazolin türevi bileşiklerin sentezi yapılarak, bunların fungisit etkileri üzerine çalışmalar yapılmıştır. Özellikle, 1-dikloroasetil-5-metil-2-pirazolin bileşığının antifungal aktiviteleri, zirai bitkilerde etken *Pyricularia oryzae*, *Diaporthe citri*, *Alternaria kikuihana*, *Botrytis cinerea* ve *Colletotrichum lagenarium* filamentli funguslarına karşı araştırılmıştır.



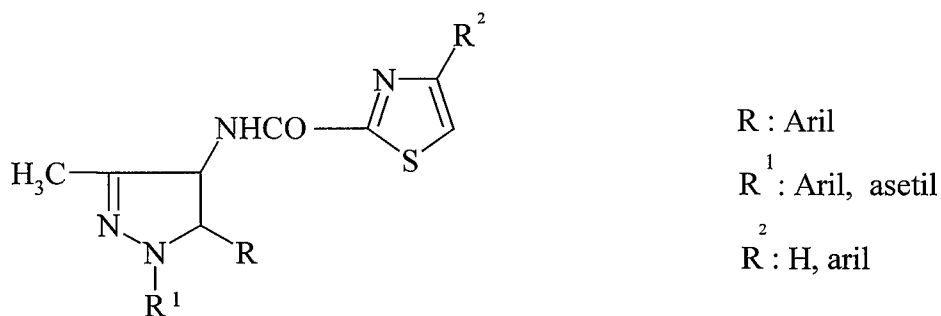
SANGWAN ve çalışma grubu [52], 1,3,4,5 nolu konumlarından sübstidue 2-pirazolin türevlerinin antibakteriyel aktivitelerini, mikrobroth dilüsyon teknigi kullanarak araştırmışlar, ancak önemli bir aktiviteye rastlayamamışlardır.



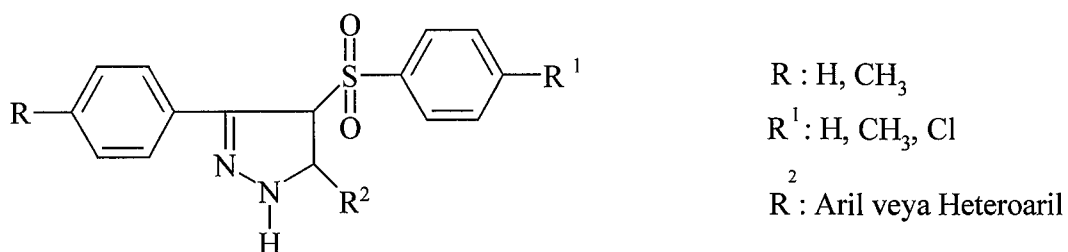
SACHCHAR ve SINGH [53] tarafından, 1,3,5 nolu konumlarından sübstidue 2-pirazolin türevlerinin antimikrobiyal aktiviteleri incelenmiştir.



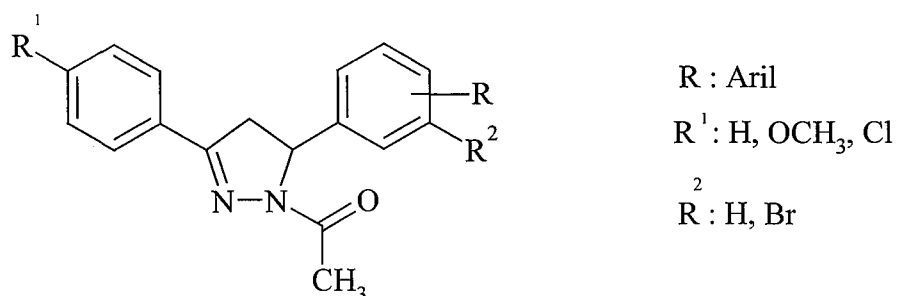
MANDAL ve çalışma grubu [54] tarafından, 1,3,4,5 nolu konumlarından sübstidue 2-pirazolinlerin antibakteriyel aktivitelerini araştırmışlar, ancak önemli bir aktivite gözleyememişlerdir.



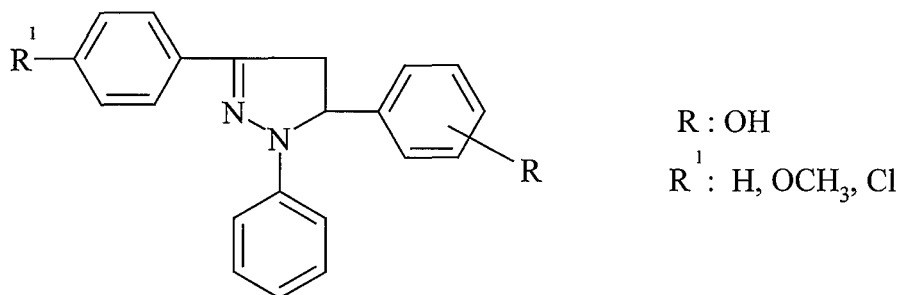
SHINGARE ve SIDDIQUI [55] tarafından, 3,4,5 nolu konumlarından sübstitüe edilmiş 2-pirazolin türevlerinin antimikroiyal aktiviteleri, agar difüzyon tekniği kullanılarak çalışılmış ve bileşiklerin tümünün inaktif olduğu gözlenmiştir.



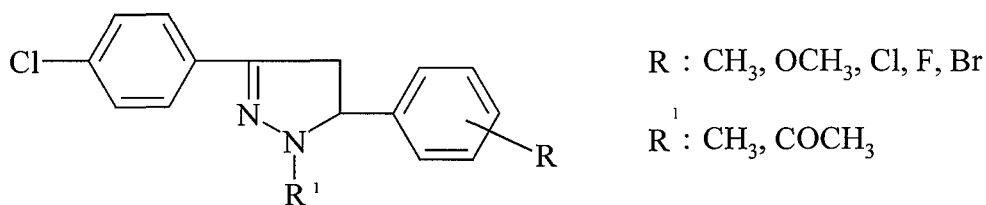
BİLGİN ve çalışma grubu [56-57] tarafından, bazı hidroksişalkon türevlerinin hidrazin hidratla asetik asid içinde reaksiyona sokulması ile, 1-asetil-3,5-difenil-2-pirazolin yapısı elde edilmiştir. Sentezi yapılan bileşiklerin antifungal aktiviteleri, agar difüzyon yöntemi kullanılarak incelenmiştir. Ancak bileşiklerin fungslara karşı dikkate değer bir aktivite göstermedikleri saptanmıştır.



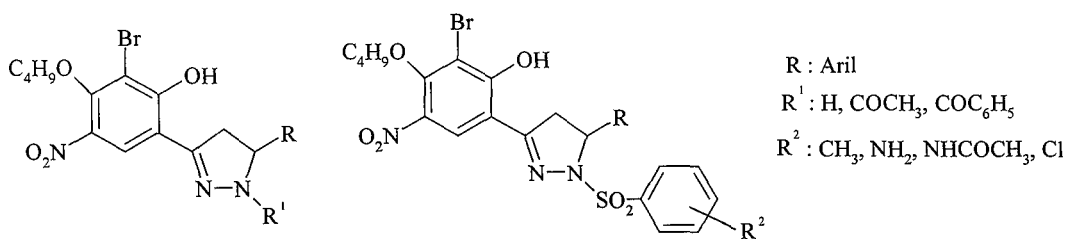
YULUĞ ve arkadaşları [58], bazı 1,3,5-trifenil-2-pirazolin türevlerinin küf benzeri funguslara (*Aspergillus niger*) karşı antifungal etkilerini agar difüzyon tekniğini kullanarak araştırmışlardır.



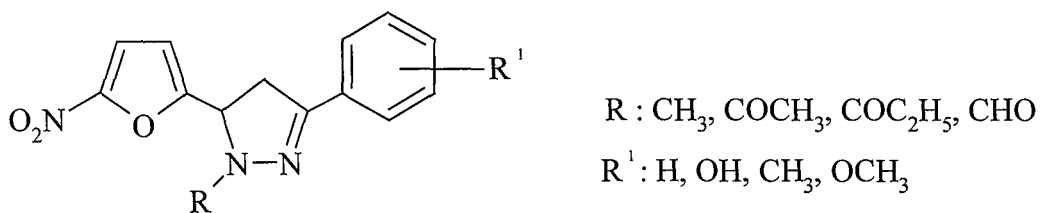
ŞAFAK ve çalışma arkadaşları [59-60] tarafından, 2-pirazolinlerin, 1,3,5 nolu konumlarından sübstitüe türevlerinin antimikrobiyal aktivitelerini, mikrobroth dilüsyon tekniniğini kullanarak incelemiştir ve bileşiklerin minimal inhibisyon konsantrasyon (MİK) değerlerini saptamışlardır.



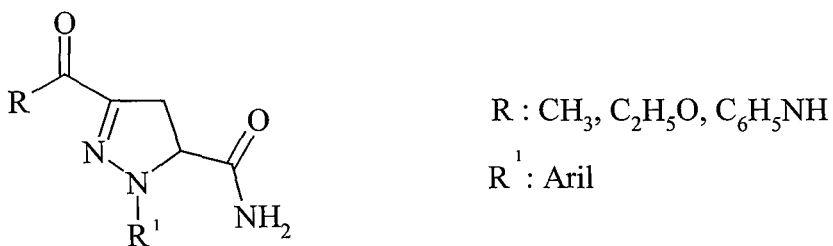
ANKHIWALA [61], 2-pirazolinlerin, 3 nolu konumunda 2-hidroksi-3-bromo-4-bütoksi-5-nitrofenil, 5 nolu konumunda sübstitüe fenil ve aril, 1 nolu pozisyonlarında, asetil, sülfonamit veya benzoil grubu taşıması durumunda antimikrobiyal aktiviteleri, agar difüzyon teknigi kullanılarak çalışılmıştır. Burada sülfonamit türevlerinin benzoil ve asetil türevlerine göre daha aktif olduğu gözlenmiştir.



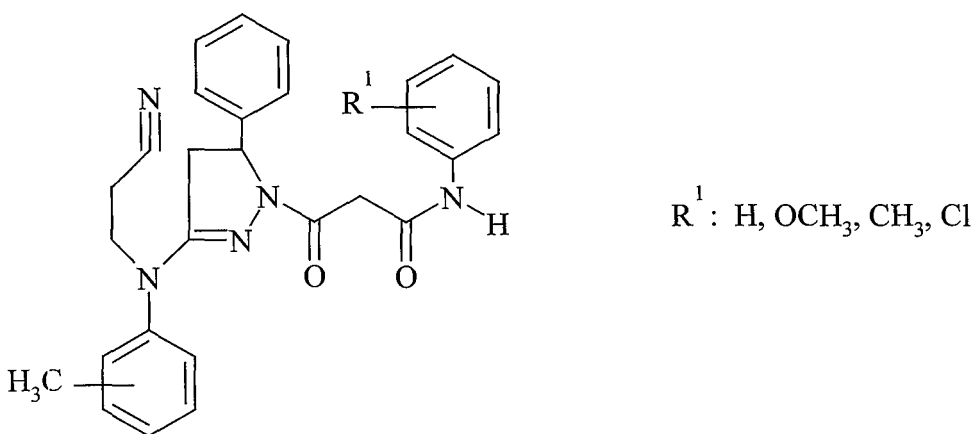
DESCACQ ve çalışma arkadaşları [62] tarafından, nitrofuran arilpirazolinlerin sentezleri gerçekleştirilerek bunların antibakteriyel aktiviteleri incelenmiştir.



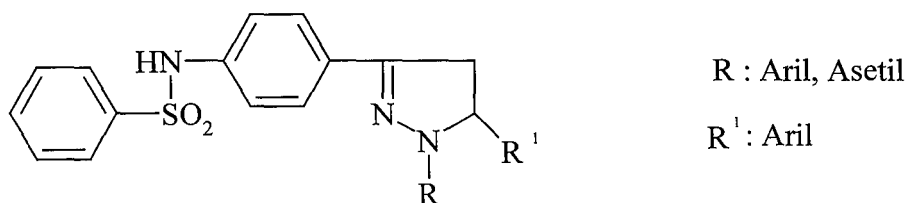
HAMED ve çalışma grubu [63], 1,3,5 nolu konumlarından sübstitüe 2-pirazolin türevlerinin antibakteriyel aktivitelerini incelemiştir ve bileşiklerin tümünün inaktif olduğunu gözlemişlerdir.



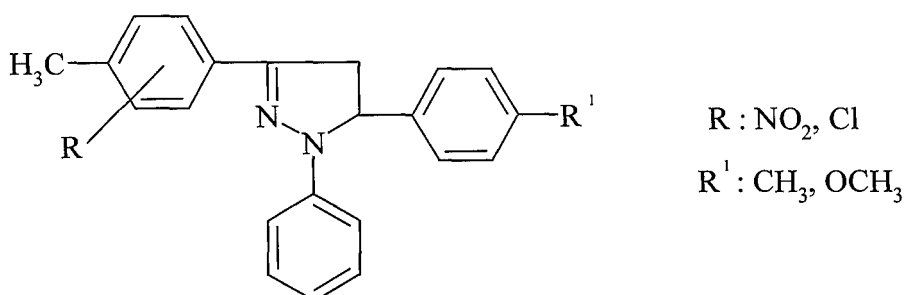
JOLLY ve PATHAK [64] tarafından, 1,3,5 nolu konumlarından sübstitüe 2-pirazolin türevlerinin antimikrobiyal aktivitelerini, agar difüzyon tekniğini kullanarak çalışmışlardır ve bileşiklerin tümünün aktif olduğunu gözlemişlerdir.



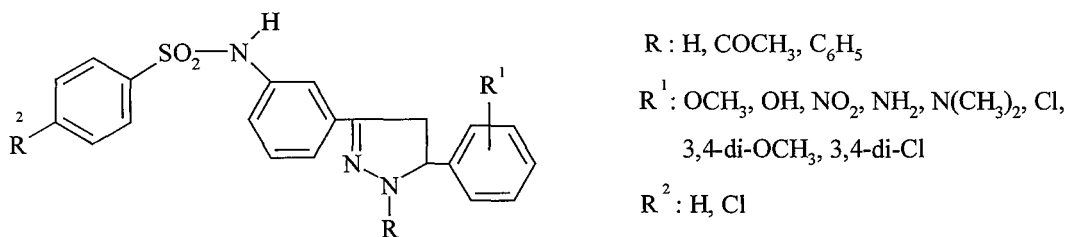
UPADHYAY ve çalışma grubu [65], 1,3,5 nolu konumlarından sübstitüe 2-pirazolin türevlerinin antimikroiyal aktivitelerini araştırmışlar, bileşiklerin çoğunun orta düzeyde aktif olduğunu gözlemlemişlerdir.



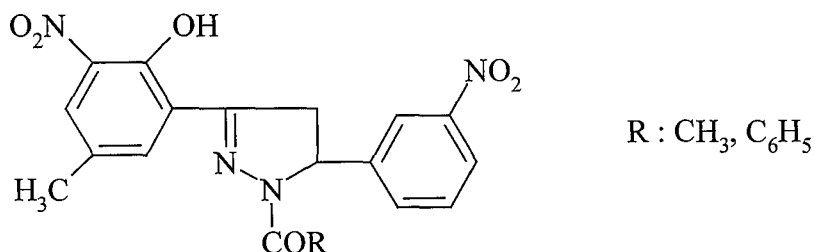
HASHASH ve arkadaşları [66], 1995 yılında 1,3,5 nolu konumlarından sübstitüe 2-pirazolinlerin antimikroiyal aktivitelerini, agar difüzyon tekniğini kullanarak çalışmışlardır. Bu bileşiklerin çok hücreli fungslara karşı (*Fusarium oxysporium*, *Aspergillus fumigatus*) antifungal aktivite gösterdiğini kanıtlamışlardır. Ancak tek hücreli mayalara ve bakterilere karşı bir aktivite göstermediğini bildirmiştirlerdir.



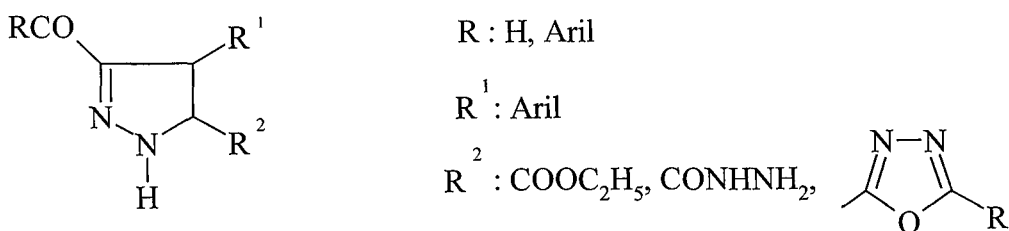
PATEL ve arkadaşları [67] ile 1997 yılında FERNANDES ve PAREKH [68] tarafından, 1,3,5 nolu konumlarından sübstitüe edilmiş 2-pirazolin türevlerinin antimikrobiyal aktiviteleri çalışılmıştır. Bileşiklerin tümünün orta düzeyde aktif olduğu görülmüştür.



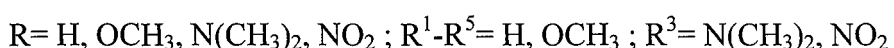
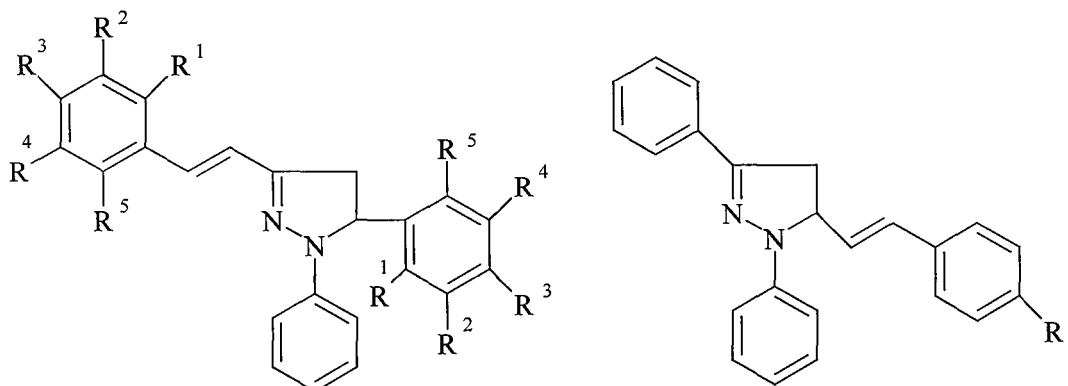
RAGHUWANSI ve DOSHI [69] tarafından, 2-pirazolinlerin, 1,3,5 nolu konumlarından sübstitüe edildiği türevlerin antimikrobiyal aktiviteleri, mikrobroth dilüsyon tekniği kullanılarak çalışılmıştır. Benzoil ve asetil türevlerinin, pirazolin türevlerine göre daha aktif olduğu görülmüştür.



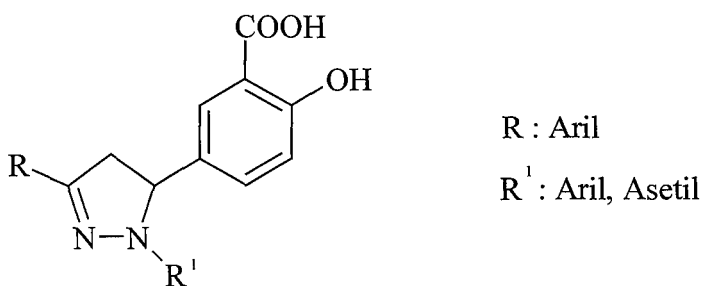
FAIDALLAH ve arkadaşları [70] tarafından, bazı etil 3-aroil-4-aryl-2-pirazolin-5-karboksilatların antifungal ve antibakteriyel aktiviteleri agar difüzyon metodu kullanılarak incelenmiştir. Ancak bileşiklerin önemli bir aktivite göstermedikleri saptanmıştır.



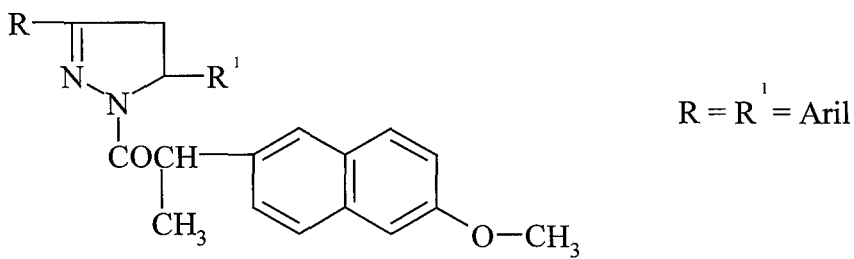
NAUDURI ve REDDY [71] tarafından, 3-steril-1,5-difenil ve 5-steril-1,3-difenil-2-pirazolinlerin farklı türevleri sentezlenmiştir. Bu bileşiklerin Gram (+) ve Gram (-) bakterilere karşı MİK değerlerine bakılarak antibakteriyel aktiviteleri araştırılmış ve sonuç olarak nitro, metoksi, dimetilamino sübstituentlerine sahip olan bileşiklerin, seri içindeki en yüksek aktiviteyi gösterdikleri gözlenmiştir.



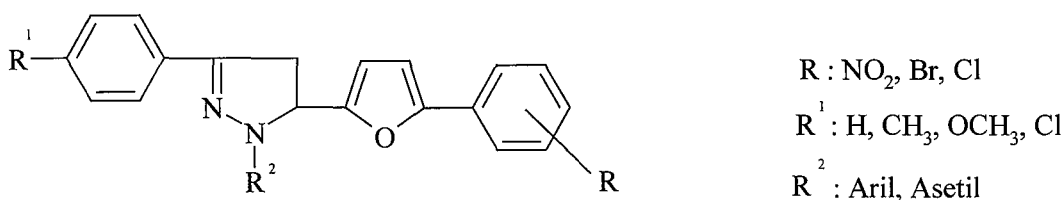
GRANT ve çalışma grubu [72] tarafından, 2-pirazolinlerin; 1,3,5 nolu konumlarından sübstitüe türevlerinin antimikrobiyal aktiviteleri agar difüzyon tekniği kullanılarak incelenmiş ve bileşiklerin tümünün aktif olduğu görülmüştür.



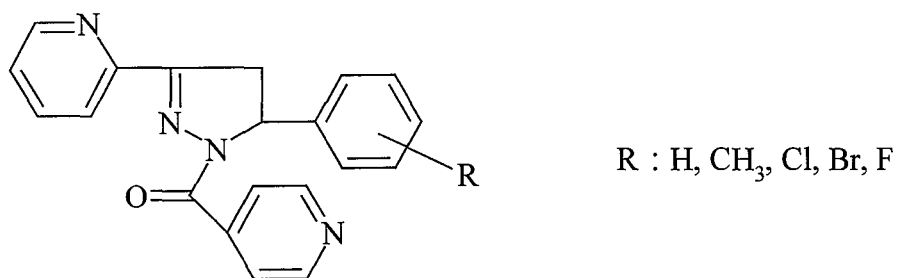
UDUPI ve arkadaşları [73] tarafından, 2-(6-metoksinaftil)propiyonik asidin pirazolin türevleri sentezlenerek, bunların biyolojik aktiviteleri incelenmiş, bileşiklerin önemli antimikrobiyal aktiviteye sahip oldukları görülmüştür.



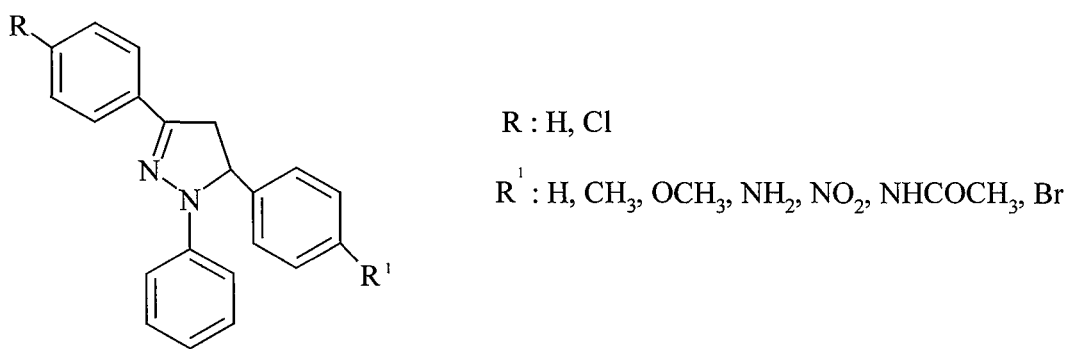
HOLLA ve arkadaşları [74] tarafından, 2-pirazolinlerin, 1, 3 ve 5 nolu konumlarından sübstitüe türevlerinin antibakteriyel aktiviteleri mikrobroth dilüsyon tekniği kullanılarak çalışılmış ve bileşiklerin çoğunun orta derecede antibakteriyel aktivite gösterdiği gözlenmiştir.



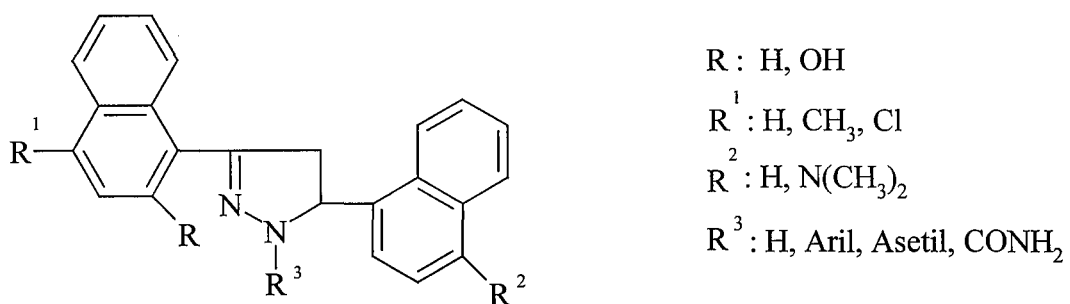
MAMOLO ve çalışma grubu [75], 1,3,5 nolu konumlarından sübstitüe 2-pirazolinlerin antimikobakteriyel aktivitelerini incelemiştir. Bileşiklerin *Mycobacterium tuberculosis* suşuna ve insan *M. tuberculosis* H4 suşuna karşı ilgi çekici aktivite sergiledikleri gözlenmiştir.



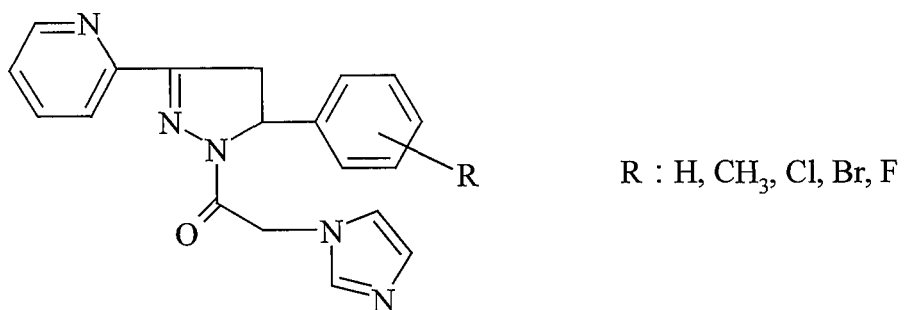
BİLGİN ve arkadaşları [76] tarafından, 1,3,5-trifenil-2-pirazolin türevleri sentezlenmiş ve bunların antifungal aktiviteleri mikrobroth dilüsyon metodu kullanılarak araştırılmıştır.



AZARIFAR ve arkadaşları [77], 2-pirazolinlerin, 3 ve 5 nolu konumlarının naftalen halkası taşıması ve bu naftalen halkasının klor, hidroksil, dimetilamin sübstiyentlerini taşıması durumunda, çok aktif antimikrobiyal aktivite gösteren bileşikler elde etmişlerdir.

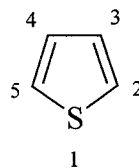


MAMOLO ve çalışma grubu [78] tarafından, 2-pirazolinlerin; 1, 3 ve 5 nolu konumlarından sübstiyüe türevlerinin antifungal aktivitelerini, agar difüzyon metodunu kullanarak incelemiştir. Bileşiklerin orta düzeyde aktif olduklarını gözlemlemiştir.



2.6. Tiyofen halka sistemi üzerine genel bilgiler

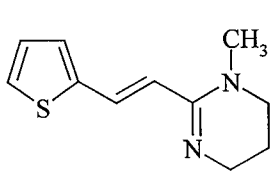
Kükürt atomu taşıyan beş üyeli heterosiklik halka sistemi tiyofen olarak isimlendirilir. Tiyofenin numaralandırılması aşağıdaki gibidir.



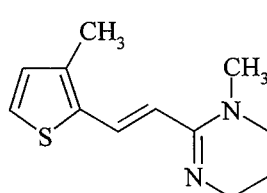
Victor Meyer tarafından, 1882 tarihinde kömür katranından elde edilen tiyofen, kaynama noktası 85°C olan bir sıvıdır. Victor Meyer, benzen halkasına benzer özellikler gösteren bu yapıya ilk kez tiyofen ismini vermiştir.

Tiyofen halka sistemi, hem sentetik yolla hem de doğal kaynaklardan elde edilir. Sentetik ilaç ve boyalı sanayide büyük oranda kullanılmaktadır.

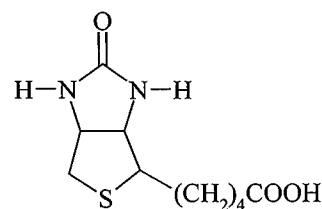
Tiyofen, eczacılık açısından öneme sahip bazı bileşiklerin yapısında da bulunur. Bunlardan; pirantel ve morantel, geniş spektrumlu antihelmentik bileşiklerdir. Biotin (vitamin H), tabiatta doğal olarak bulunan ve tetrahidrotiyofen halkası taşıyan bir yapıdır [126].



Pirantel [Kontil^R, Pirantel^R]

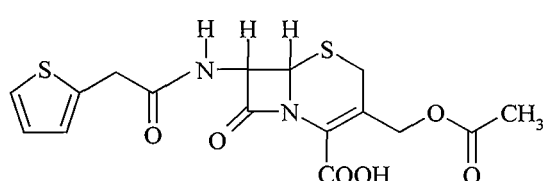


Morantel

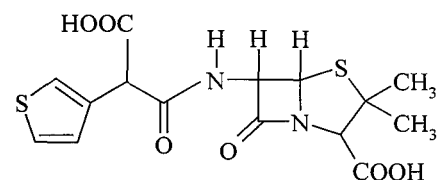


Biotin (Vitamin H)

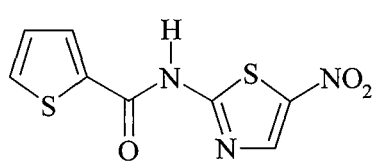
Literatürde tiyofen halkası taşıyan çok sayıda sentez ve biyolojik aktivite çalışması bulunmaktadır. Bu aktiviteler; antibakteriyel [127-128], antifungal [129-131], antikoagulan [132], herbisit [133], antidepresan [134], antihipertansif [135] olarak sıralanabilir.



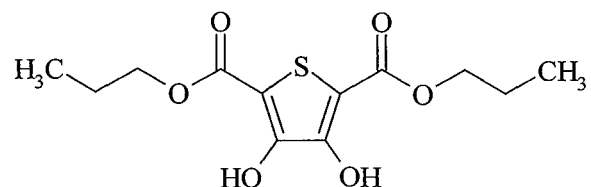
Sefalotin [Keflin R] (Antibakteriyel) [127]



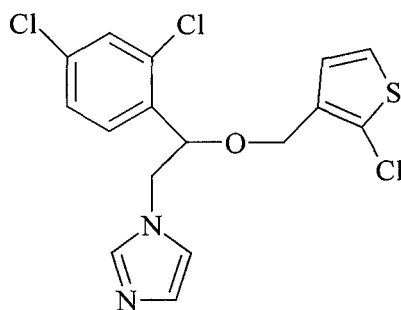
Ticarcillin [Timentin R] (Antibakteriyel) [128]



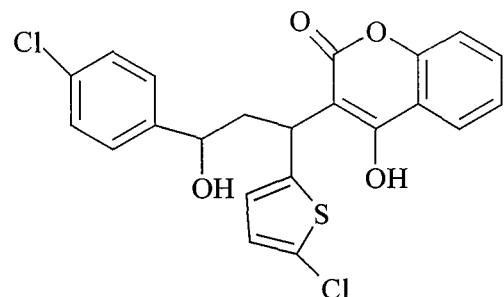
Tenonitrozole (Antifungal) [129]



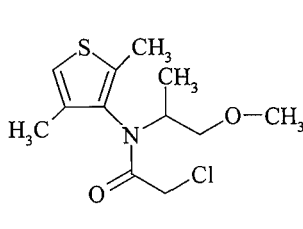
Protiyofat (Topikal fungusit) [130]



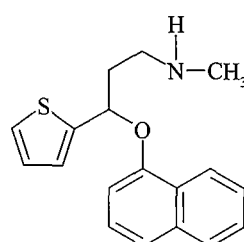
Tioconazole (Antifungal) [131]



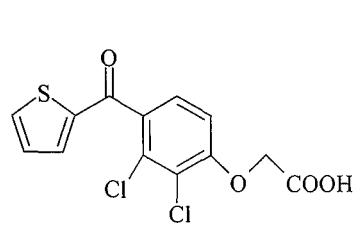
Tioclomarol (Antikoagülan) [132]



Dimethenamit (Herbisit)
[133]



Duloksetine (Antidepresan)
[134]



Tikrinafen (Diüretik, antihipertansif)
[135]

3. GEREÇ VE YÖNTEMLER

3.1. Kullanılan kimyasal madde ve aletler

3.1.1. Kullanılan aletler

Erime Derecesi Tayini Cihazı: Electrothermal 9100 Digital Melting Point Apparatus

Yüksek Basınçlı Sıvı Kromatografisi (HPLC) Cihazı: Waters Alliance Apparatus, 486 dedektör,

Kolon: Merck Chromolith Speed ROD C18 (50 x 4.6 mm)

Elementel Analiz Aleti: Perkin Elmer EAL 240 Elementel Analiz Aleti

Ultraviyole ve Görünür Alan Spektrofotometresi: Shimadzu UV-Vis- 160 A Spektrofotometre

Infrared Spektrofotometresi: Perkin Elmer Spectrum One ve Shimadzu 8400 FTIR Spektrofotometre

Nükleer Magnetik Rezonans Spektrometresi: Bruker 250 MHz Spektrometre

Kütle Spektrometresi: Jeol SX 102 Mass (FAB) Spektrometre

3.1.2. Kullanılan kimyasal maddeler

Aseton	(Merck)
2-Asetiltiyofen	(Merck)
Asetonitril	(Merck)
Benzaldehit	(Merck)
Dimetilsülfoksid-d ₆	(Aldrich)
Etil alkol	(Tekel)
Etil asetat	(Riedel-de Haen)
4-Fluorobenzaldehit	(Fluka)
Hidrazin hidrat	(Fluka)
Hidroklorik asit	(Merck)
4-Hidroksibenzaldehit	(Fluka)
Karbonsülfür	(Merck)
4-Klorobenzaldehit	(Fluka)
Kloroasetil klorür	(Merck)
Kloroform	(Merck)
4-Metilbenzaldehit	(Fluka)
4-Metoksibenzaldehit	(Fluka)
4-Dimetilaminobenzaldehit	(Fluka)
Morfolin	(Merck)
Petrol eteri	(Merck)
Piperidin	(Merck)
Pirolidin	(Merck)
Potasyum bromür	(Merck)
Sodyum hidroksit	(Merck)
Tiyomorfolin	(Merck)
Toluen	(Merck)
Trietilamin	(Merck)
Trifluoroasetik asid	(Merck)

3.1.3. Sentezlenen bileşiklerin analizleri

Erime Noktası Tayini

Sentezlenen bileşiklerin erime noktalarının saptanması, toz edilen maddenin, bir ucu açık kapiller borulara $\frac{1}{2}$ cm kadar doldurularak Electrothermal Erime Noktası Tayini Cihazında yapılmış ve bulunan değerler düzeltilmemiştir.

R_f Değerinin Saptanması

Elde edilen bileşiklerin R_f değerleri, etil asetat : petrol eteri : etanol (45 : 45 : 10) çözücü sisteminin mobil faz olarak kullanıldığı ince tabaka kromatografisi yöntemi kullanılarak hesaplanmıştır. Çalışmalarda adsorban olarak silikajel 60 F₂₅₄ ile kaplanmış 20 x 20 cm ebadındaki alüminyum plaklar kullanılmıştır. Lekelerin saptanmasında, ultraviyole ışığı (254 ve 366 nm) kullanılmıştır.

HPLC Rt Değerinin Saptanması

Bileşiklerin yaklaşık 10^{-5} M konsantrasyonda, etanolde hazırlanan çözeltileri sisteme uygulanmıştır. Mobil faz olarak trifluoroasetik asidin asetonitrildeki % 1'lik çözeltisi kullanılmıştır. Mobil faz sisteme 5 mL/dak. akış hızında verilmiştir.

C, H, N Tayini

Bileşiklerin C, H, N analizleri Perkin Elmer EAL 240 Elementel analiz aleti kullanılarak yapılmıştır.

UV Spektrumlarının Alınması

Sentezlenen bileşiklerin UV spektrumları, maddenin etanoldeki yaklaşık olarak 10^{-5} M çözeltileri hazırlanarak, Shimadzu UV-Vis. 160 A Spektrofotometresinde alınmıştır.

IR Spektrumlarının Alınması

Sentezlenen bileşiklerin IR spektrumları, potasyum bromür içinde hazırlanan tabletleri kullanılarak, Perkin Elmer Spectrum One ve Shimadzu 8400 FTIR Spektrofotometreler’inde alınmıştır.

NMR Spektrumlarının Alınması

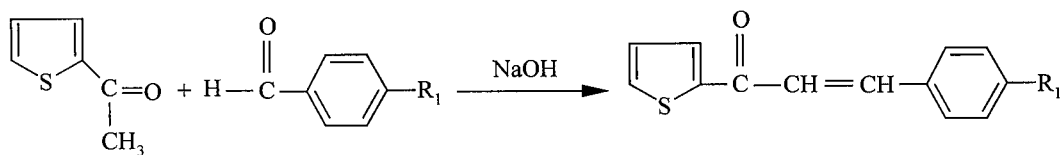
Sentezlenen bileşiklerin NMR spektrumları, TMS referans maddesine karşı, maddenin DMSO-*d*₆ içindeki çözeltisi hazırlanarak, Bruker 250 MHz Spektrometresinde alınmıştır.

4. DENEYSEL KISIM

4.1. Bileşiklerin sentezleri

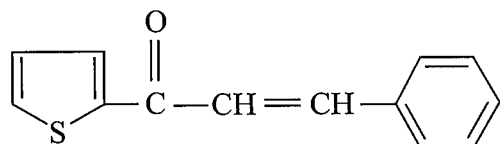
4.1.1. 1-(2-Tiyenil)-3-aryl-2-propen-1-on türevlerinin genel sentez yöntemi

2-Asetiltiyofen ile benzaldehid, etil alkol içinde çözüldü. Bu çözelti üzerine % 10'luk sodyum hidroksit çözeltisi ilave edilip, reaksiyon içeriği oda sıcaklığında 3-4 saat karıştırıldı ve buzdolabında 24 saat bekletildi. Karışım, su içine döküldü ve hidroklorik asit ile nötralleştirildi. Katı ürün süzülerek alındı. Su ile yıkandıktan sonra kurutuldu. Etil alkol-su karışımından kristallendirildi [136].



Genel sentez yöntemine göre sentezlenen bileşikler

1-(2-Tiyenil)-3-fenil-2-propen-1-on



2-Asetiltiyofen 0.04 mol (5.04 g = 4.31 mL)

Benzaldehit 0.04 mol (4.24 g = 4.04 mL)

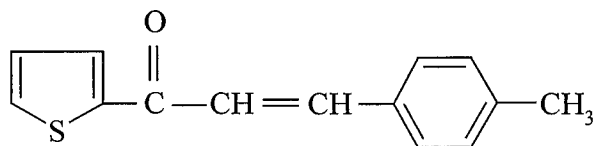
Sodyum hidroksit (%10 a/h, 10 mL)

Verim: % 72

E.n.: 79-80 °C

Lit. [137] E.n.: 78 °C

1-(2-Tiyenil)-3-(4-metilfenil) -2-propen-1-on



2-Asetiltiyofen 0.04 mol (5.04 g = 4.31 mL)

4-Metilbenzaldehit 0.04 mol (4.8 g = 4.72 mL)

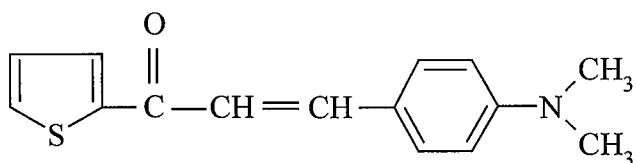
Sodyum hidroksit (%10 a/h, 10 mL)

Verim: % 79

E.n.: 113-114 °C

Lit. [137] E.n.: 142 °C

1-(2-Tiyenil)-3-(4-dimetilaminofenil) -2-propen-1-on



2-Asetiltiyofen 0.04 mol (5.04 g = 4.31 mL)

4-Dimetilaminobenzaldehit 0.04 mol (10.28 g)

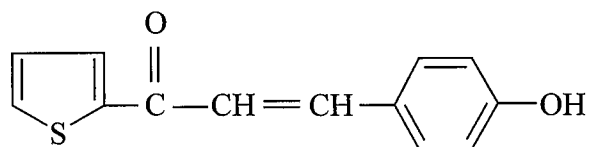
Sodyum hidroksit (%10 a/h, 10 mL)

Verim: % 68

E.n.: 110-111 °C

Lit. [137] E.n.: 112 °C

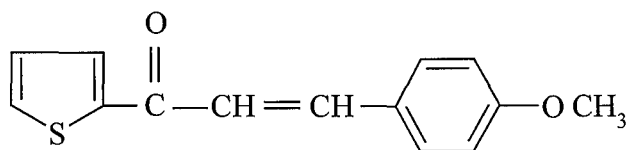
1-(2-Tiyenil)-3-(4-hidroksifenil)-2-propen-1-on



2-Asetiltiyofen	0.04 mol (5.04 g = 4.31 mL)
4-Hidroksibenzaldehit	0.04 mol (4.88 g)
Sodyum hidroksit	(%10 a/h, 10 mL)

Verim: % 75 E.n.: 153-155 °C Lit. [138] E.n.: 155-158 °C

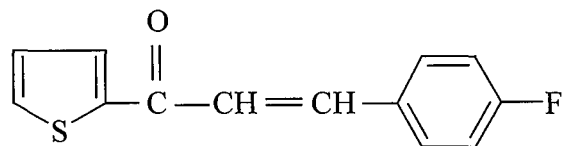
1-(2-Tiyenil)-3-(4 -metoksifenil) -2-propen-1-on



2-Asetiltiyofen	0.04 mol (5.04 g = 4.31 mL)
4-Metoksibenzaldehit	0.04 mol (5.44 g = 4.84 mL)
Sodyum hidroksit	(%10 a/h, 10 mL)

Verim: % 78 E.n.: 78-80 °C Lit. [137, 139] E.n.: 82 °C

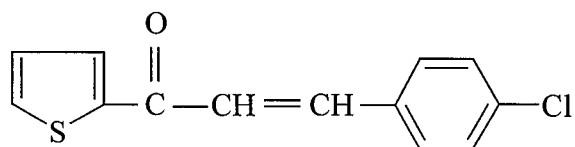
1-(2-Tiyenil)-3-(4-fluorofenil) -2-propen-1-on



2-Asetiltiyofen	0.04 mol (5.04 g = 4.31 mL)
4-Fluorobenzaldehit	0.04 mol (4.96 g = 4.21 mL)
Sodyum hidroksit	(%10 a/h, 10 mL)

Verim: % 81 E.n.: 123-124 °C Lit. [140] E.n.: 127 °C

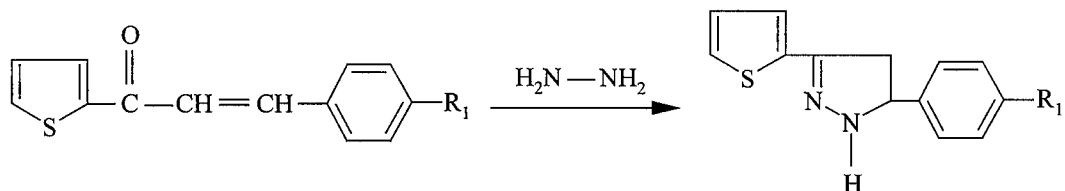
1-(2-Tiyenil)-3-(4-klorofenil) -2-propen-1-on



2-Asetiltiyofen	0.04 mol (5.04 g = 4.31 mL)
4-Klorobenzaldehit	0.04 mol (5.60 g)
Sodyum hidroksit	(%10 a/h, 10 mL)
Verim: % 85	E.n.: 136-137 °C
	Lit. [137] E.n.: 138 °C

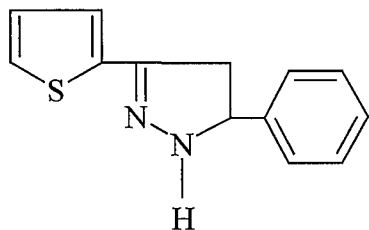
4.1.2. 3-(2-Tiyenil)-5-aryl-2-pirazolin türevlerinin genel sentez yöntemi

1-(2-tiyenil)-3-aryl-2-propen-1-on türevleri, etil alkol içinde karıştırılarak çözüldü. Bu çözelti üzerine hidrazin hidrat ilave edildi. Reaksiyon karışımı, üç saat geri çeviren soğutucu altında karıştırılarak ısıtıldı. Reaksiyon karışımı 0 °C'de bir gece bırakıldı. Katı kısım süzüldü. Etil alkol ile yıkandı [137].



Genel sentez yöntemine göre sentezlenen bileşikler

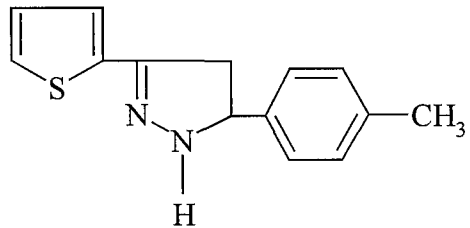
3-(2-Tiyenil)-5-fenil-2-pirazolin



1-(2-Tiyenil)-3-fenil-2-propen-1-on	0.01 mol	(2.14 g)
Hidrazin hidrat (%80)	0.02 mol	(1 g = 0.77 mL)

Verim: % 68 E.n.: yağimsı Lit. [137] E.n.: yağimsı

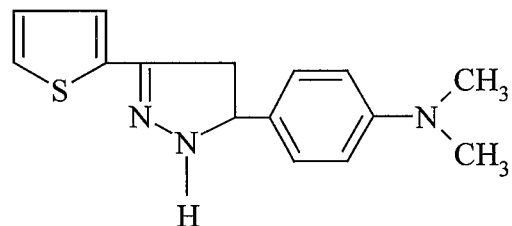
3-(2-Tiyenil)-5-(4-metilfenil)-2-pirazolin



1-(2-Tiyenil)-3-(4-metilfenil)-2-propen-1-on	0.01 mol	(2.28 g)
Hidrazin hidrat (%80)	0.02 mol	(1 g = 0.77 mL)

Verim: % 62 E.n.: yağimsı Lit. [137] E.n.: yağimsı

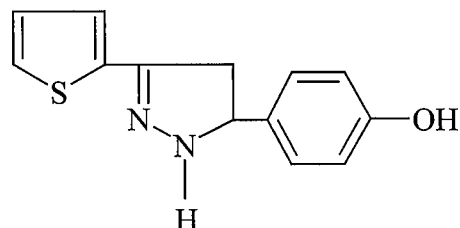
3-(2-Tiyenil)-5-(4-dimetilaminofenil)-2-pirazolin



1-(2-Tiyenil)-3-(4-dimetilaminofenil)-2-propen-1-on 0.01 mol (2.57 g)
Hidrazin hidrat (%80) 0.02 mol (1 g = 0.77 mL)

Verim: % 78 E.n.: 134-135 °C Lit. [137] E.n.: 135 °C

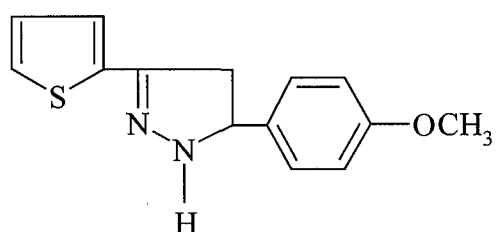
3-(2-Tiyenil)-5-(4-hidroksifenil)-2-pirazolin



1-(2-Tiyenil)-3-(4-hidroksifenil)-2-propen-1-on 0.01 mol (2.30 g)
Hidrazin hidrat (%80) 0.02 mol (1 g = 0.77 mL)

Verim: % 69 E.n.: 127 °C

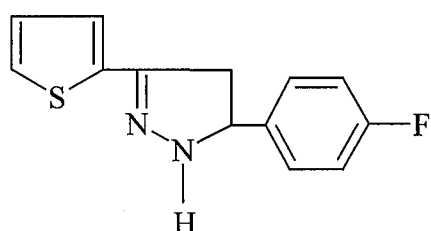
3-(2-Tiyenil)-5-(4-metoksifenil)-2-pirazolin



1-(2-Tiyenil)-3-(4-metoksifenil)-2-propen-1-on	0.01 mol	(2.44 g)
Hidrazin hidrat (%80)	0.02 mol	(1 g = 0.77 mL)

Verim: % 68 E.n.: 85 °C Lit. [137] E.n.: 83 °C

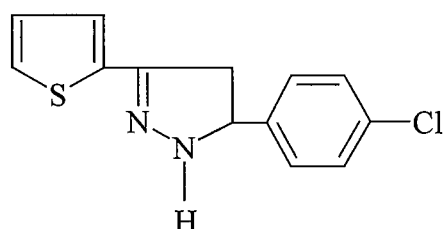
3-(2-Tiyenil)-5-(4-fluorofenil)-2-pirazolin



1-(2-Tiyenil)-3-(4-fluorofenil)-2-propen-1-on	0.01 mol	(2.32 g)
Hidrazin hidrat (%80)	0.02 mol	(1 g = 0.77 mL)

Verim: % 64 E.n.: 138 °C

3-(2-Tiyenil)-5-(4-klorofenil)-2-pirazolin

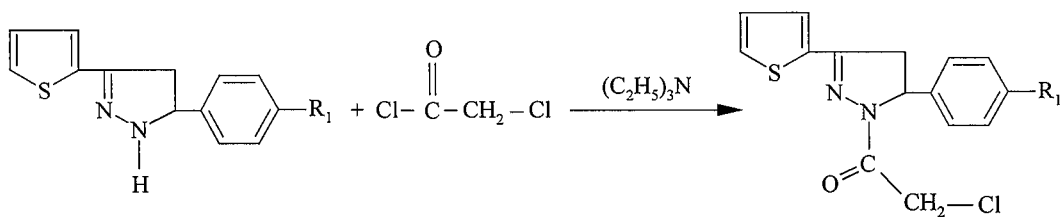


1-(2-Tiyenil)-3-(4-klorofenil)-2-propen-1-on	0.01 mol	(2.48 g)
Hidrazin hidrat (%80)	0.02 mol	(1 g = 0.77 mL)

Verim: % 73 E.n.: 108-109°C Lit. [137] E.n.: 110 °C

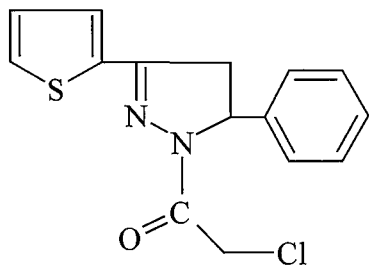
4.1.3. 1-(2-Kloroasetil)-3-(2-tiyenil)-5-aryl-2-pirazolin türevlerinin genel sentez yöntemi (A)

3-(2-Tiyenil)-5-aryl-2-pirazolin türevleri susuz toluen içinde çözüldü. Çözelti üzerine trietilamin ilave edildi. Karışım buz banyosuna alınarak soğutuldu ve kloroasetil klorür damla damla bu karışım içine ilave edildi. Reaksiyon karışımı, oda sıcaklığında bir saat karıştırıldı. Toluен tabakası rotavaporda kuruluğa kadar uçuruldu. Katı kitle su ile yıkandı, etil alkolden kristallendirildi [141].



Genel sentez yöntemine göre sentezlenen bileşikler

1-(2-Kloroasetil)-3-(2-tiyenil)-5-fenil-2-pirazolin (A-1)



3-(2-Tiyenil)-5-fenil-2-pirazolin	0.01 mol (2.28 g)
Trietilamin	0.01 mol (1.01 g = 1.39 mL)
Kloroasetil klorür	0.01 mol (1.13 g = 0.79 mL)

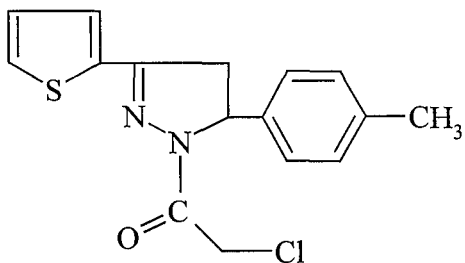
Verim: % 76 E.n.: 126 °C R_f : 0.91

Analiz	: C ₁₅ H ₁₃ ClN ₂ OS		
Hesaplanan	: C : 59.11	H : 4.30	N : 9.19
Bulunan	: C : 59.10	H : 4.28	N : 9.18

UV (EtOH) λ (nm)(log ε) : 208.8 (4.80), 318.4 (4.65)

IR (KBr)v_{maks}(cm⁻¹) : 3096, 3082, 3060, 3029 (aromatik C-H gerilim bandı), 2987, 2933 (alifatik C-H gerilim bandı), 1658 (C=O gerilim bandı), 1591, 1456, 1417 (C=N ve C=C gerilim bandları), 1380, 1328, 1135 (C-N gerilim bandları), 838 (1,4-disübstüte benzen), 709, 723 (C-S-C, tiyofen gerilme bandları)

1-(2-Kloroasetil)-3-(2-tiyenil)-5-(4-metilfenil)-2-pirazolin (A-2)



3-(2-Tiyenil)-5-(4-metilfenil)-2-pirazolin	0.01 mol (2.42 g)
Trietilamin	0.01 mol (1.01 g = 1.39 mL)
Kloroasetil klorür	0.01 mol (1.13 g = 0.79 mL)

Verim : % 62 E.n.: 130 °C R_f : 0.94 R_t : 1.671 dakika

Analiz : $C_{16}H_{15}ClN_2OS$

Hesaplanan : C : 60.28 H : 4.74 N : 8.79

Bulunan : C : 60.08 H : 4.64 N : 8.59

UV (EtOH) λ (nm)(log ε) : 208.4 (5.06), 313.4 (4.92)

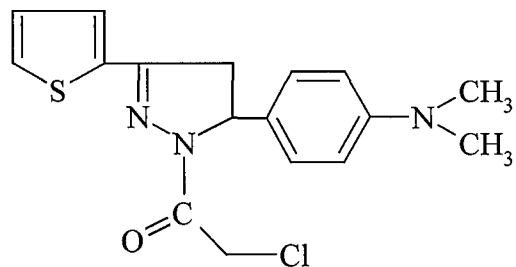
IR (KBr) $\nu_{\text{maks}}(\text{cm}^{-1})$: 3100 (aromatik C-H gerilim bandı), 2956 (alifatik C-H gerilim bandı), 1672 (C=O gerilim bandı), 1514, 1454, 1415, 1403 (C=N ve C=C gerilim bandları), 1323-1026 (C-N, gerilim bandları), 853-811 (1,4-disübstítüe benzen), 709 (C-S-C, tiyofen gerilme bandı)

$^1\text{H-NMR}$ (250 MHz) (DMSO- d_6) δ (ppm) : 2.30 (3H, s, Ar-CH₃), 3.40 (1H, dd ($J_{\text{AM}}= 17.98$ Hz, $J_{\text{AX}}= 4.47$ Hz) pirazolin C₄-H_A protonu), 4.00 (1H, dd ($J_{\text{MA}}= 17.98$ Hz, $J_{\text{MX}}= 11.62$ Hz) pirazolin C₄-H_M protonu), 4.65 (1H, d $J= 13.78$ Hz, COCH geminal), 4.70 (1H, d $J= 13.77$ Hz, COCH geminal), 5.60 (1H, ($J_{\text{MX}}= 11.60$ Hz, $J_{\text{AX}}= 4.46$ Hz) pirazolin C₅-H_X protonu), 7.15-7.25 (5H, m, fenil-H ve

tiyofen C₄-H), 7.55 (1H, d, J= 2.64 Hz, J= 1.01 Hz, tiyofen C₃-H), 7.80 (1H, dd J= 5.04 Hz, J= 1.03 Hz, tiyofen C₅-H)

MS (FAB) m/z : 318 [M], 319 [M+1], 320 [M+2]

1-(2-Kloroasetil)-3-(2-tiyofenil)-5-(4-dimetilaminofenil)-2-pirazolin (A-3)



3-(2-Tiyenil)-5-(4-dimetilaminofenil)-2-pirazolin 0.01 mol (2.71 g)

Trietilamin 0.01 mol (1.01 g = 1.39 mL)

Kloroasetil klorür 0.01 mol (1.13 g = 0.79 mL)

Verim : % 78 E.n.: 145°C R_f :0.82 R_t:1.069 dakika

Analiz : C₁₇H₁₈ClN₃OS

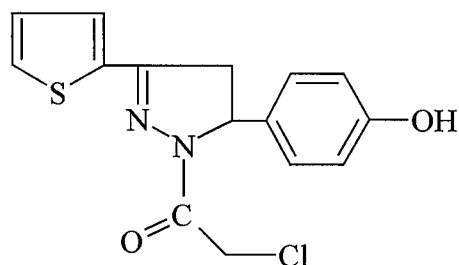
Hesaplanan : C : 61.52 H : 5.46 N : 12.66

Bulunan : C : 61.55 H : 5.48 N : 12.60

UV (EtOH) λ (nm)(log ε) : 207.6 (5.20), 317.4 (5.15)

IR (KBr) $\nu_{\text{maks}}(\text{cm}^{-1})$: 3087, 3076, 3014 (aromatik C-H gerilim bandları), 2931, 2900, 2821, 2806 (alifatik C-H gerilim bandları), 1672 (C=O gerilim bandı), 1610, 1529, 1450, 1415 (C=N ve C=C gerilim bandları), 1365-1174 (C-N gerilim bandları), 819 (1,4-disübstítüé benzen), 725 (C-S-C, tiyofen gerilme bandı)

1-(2-Kloroasetil)-3-(2-tiyenil)-5-(4-hidroksifenil)-2-pirazolin (A-4)



3-(2-Tiyenil)-5-(4-hidroksifenil)-2-pirazolin	0.01 mol (2.44 g)
Trietilamin	0.01 mol (1.01 g = 1.39 mL)
Kloroasetil klorür	0.01 mol (1.13 g = 0.79 mL)

Verim : % 69 E.n.: 250 °C R_f : 0.80 R_t : 1.328 dakika

Analiz : C₁₅H₁₃ClN₂O₂S

Hesaplanan : C : 56.16 H : 4.08 N : 8.73

Bulunan : C : 56.36 H : 4.18 N : 8.93

UV (EtOH) λ (nm)(log ε) : 207.8 (4.91), 313.6 (4.94)

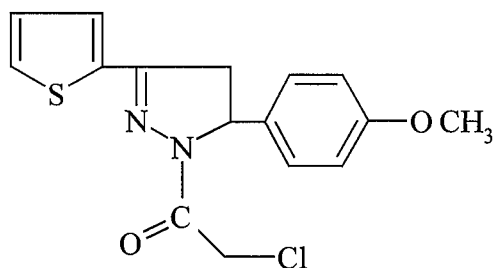
IR (KBr)v_{maks}(cm⁻¹) : 3245 (O-H gerilim bandı), 3103, 3047, 3026 (aromatik C-H gerilim bandı), 2958, 2923 (alifatik C-H gerilim bandı), 1654 (C=O gerilim bandı), 1614, 1596, 1517, 1460, 1423 (C=N ve C=C gerilim bandları), 1269, 1261, 1232 (C-N ve C-O gerilim bandları), 835 (1,4-disübstítüé benzen), 719 (C-S-C, tiyofen gerilme bandı)

¹H-NMR(250 MHz) (DMSO-d₆) δ(ppm) : 3.15 (1H, dd (J_{AM}= 17.96 Hz, J_{AX}= 4.33 Hz) pirazolin C₄-H_A), 3.90 (1H, dd (J_{MA}= 17.94 Hz, J_{MX}= 11.56 Hz) pirazolin C₄-H_M), 4.55 (1H, d J= 13.71 Hz, COCH geminal), 4.60 (1H, d J= 13.78 Hz, COCH geminal), 5.45 (1H, dd (J_{MX}= 11.46 Hz, J_{AX}= 4.22 Hz) C₅-H_X pirazolin), 6.65 (2H, d J= 8.50 Hz, fenil C_{3,5}-H), 7.00 (2H, d J= 8.52 Hz, fenil

$C_{2,6}$ -H), 7.15 (1H, t J = 3.69 Hz, tiyofen C₄-H), 7.45 (1H, d J = 2.62 Hz, tiyofen C₃-H), 7.75 (1H, d J = 5.07 Hz, tiyofen C₅-H)

MS (FAB) m/z : 321 [M+1]

1-(2-Kloroasetil)-3-(2-tiyenil)-5-(4-metoksifenil)-2-pirazolin (A-5)



3-(2-Tiyenil)-5-(4-metoksifenil)-2-pirazolin	0.01 mol (2.58 g)
Trietilamin	0.01 mol (1.01 g = 1.39 mL)
Kloroasetil klorür	0.01 mol (1.13 g = 0.79 mL)

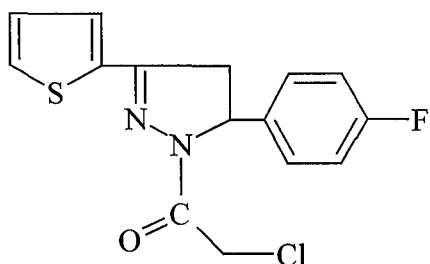
Verim : % 68 E.n.: 120 °C Lit. [142] E.n.: 124 °C R_f : 0.84
 R_t : 1.577 dakika

Analiz	: C ₁₆ H ₁₅ ClN ₂ O ₂ S		
Hesaplanan	: C : 57.40	H : 4.52	N : 8.37
Bulunan	: C : 57.90	H : 4.60	N : 8.50

UV (EtOH) λ (nm)(log ε) : 207.4 (4.71), 315.4 (4.61)

IR (KBr) v_{maks} (cm⁻¹) : 3073 (aromatik C-H gerilim bandı), 2955, 2909, 2833 (alifatik C-H gerilim bandı), 1658 (C=O gerilim bandı), 1610-1406 (C=N ve C=C gerilim bandları), 1353-1082 (C-N ve C-O gerilim bandları), 862-811 (1,4-disübstitüe benzen), 709 (C-S-C, tiyofen gerilme bandı)

1-(2-Kloroasetil)-3-(2-tiyenil)-5-(4-fluorofenil)-2-pirazolin (A-6)



3-(2-Tiyenil)-5-(4-fluorofenil)-2-pirazolin	0.01 mol (2.46 g)
Trietilamin	0.01 mol (1.01 g = 1.39 mL)
Kloroasetil klorür	0.01 mol (1.13 g = 0.79 mL)

Verim : % 64 E.n.: 143-4 °C R_f : 0.91

Analiz : C₁₅H₁₂ClFN₂OS

Hesaplanan : C : 55.52 H : 3.75 N : 8.68

Bulunan : C : 55.52 H : 3.83 N : 8.78

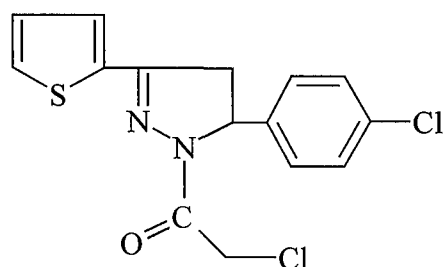
UV (EtOH) λ (nm)(log ε) : 208.4 (4.87), 312.4 (4.83)

IR (KBr) $\nu_{\text{maks}}(\text{cm}^{-1})$: 3103, 3087, 3066, 3041 (aromatik C-H gerilim bandı), 2950, 2927, 2898 (alifatik C-H gerilim bandı), 1674 (C=O gerilim bandı), 1602, 1510, 1456, 1402 (C=N ve C=C gerilim bandları), 1326-1095 (C-N gerilim bandları), 835, 813 (1,4-disübstítüe benzen), 715 (C-S-C, tiyofen gerilme bandı)

¹H-NMR(250 MHz) (DMSO-*d*₆) δ(ppm) : 3.30 (1H, dd (*J*_{AM}= 18.03 Hz, *J*_{AX}= 4.62 Hz) pirazolin C₄-H_A protonu), 3.95 (1H, dd (*J*_{MA}= 18.06 Hz, *J*_{MX}= 11.68 Hz) pirazolin C₄-H_M protonu), 4.70 (1H, d *J*= 13.85 Hz, COCH geminal), 4.75 (1H, d *J*= 13.84 Hz, COCH geminal), 5.65 (1H, dd (*J*_{MX}= 11.64 Hz, *J*_{AX}= 4.60 Hz) pirazolin C₅-H_X protonu), 7.20-7.35 (5H, m, fenil-H ve tiyofen C₄-H), 7.55 (1H, d *J*= 3.63 Hz, tiyofen C₃-H), 7.85 (1H, dd *J*= 5.04 Hz, *J*= 0.96 Hz, tiyofen C₅-H)

MS (FAB) m/z : 322 [M], 323 [M+1], 324 [M+2]

1-(2-Kloroasetil)-3-(2-tiyenil)-5-(4-klorofenil)-2-pirazolin (A-7)



3-(2-Tiyenil)-5-(4-klorofenil)-2-pirazolin	0.01 mol (2.62 g)
Trietilamin	0.01 mol (1.01 g = 1.39 mL)
Kloroasetil klorür	0.01 mol (1.13 g = 0.79 mL)

Verim: % 73 E.n.: 118 °C Lit. [142] E.n.: 148 °C R_f : 0.93

Analiz : C₁₅H₁₂Cl₂N₂OS

Hesaplanan : C : 53.11 H : 3.57 N : 8.26

Bulunan : C : 53.31 H : 3.56 N : 8.36

UV (EtOH) λ (nm)(log ε) : 208.4 (4.80), 319.4 (4.65)

IR (KBr)v_{maks}(cm⁻¹) : 3110, 3066, 3028 (aromatik C-H gerilim bandı), 2977, 2927 (alifatik C-H gerilim bandı), 1664 (C=O gerilim bandı), 1595, 1523, 1490, 1460, 1423, 1413 (C=N ve C=C gerilim bandları), 1326-1043 (C-N gerilim bandları), 842, 823 (1,4-disübstítüé benzen), 715 (C-S-C, tiyofen gerilme bandı)

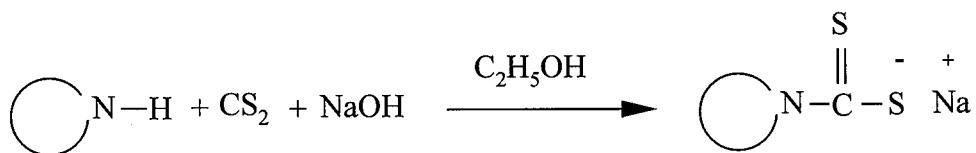
¹H-NMR(250 MHz) (DMSO-d₆) δ(ppm) : 3.25 (1H, dd (J_{AM}= 18.08 Hz, J_{AX}= 4.71 Hz) pirazolin C₄- H_A protonu), 3.95 (1H, dd (J_{MA}= 18.07 Hz, J_{MX}= 11.74 Hz) pirazolin C₄-H_M protonu), 4.65 (1H, d J= 13.88 Hz, COCH geminal), 4.70 (1H, d J= 13.85 Hz, COCH geminal), 5.60 (1H, dd (J_{MX}= 11.75 Hz, J_{AX}= 4.68 Hz)

pirazolin C₅-H_X protonu), 7.20 (1H, t J= 3.70 Hz, tiyofen C₄-H), 7.30 (2H, d J= 8.48 Hz, fenil C_{2,6}-H), 7.45 (2H, d J= 8.47 Hz, fenil C_{3,5}-H), 7.50 (1H, d J= 2.68 Hz, tiyofen C₃-H), 7.80 (1H, d J= 5.08 Hz, tiyofen C₅-H)

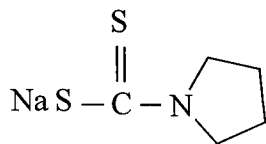
MS (FAB) m/z : 339 [M], 340 [M+1], 341 [M+2]

4.1.4. N,N-Disübstüie ditiyokarbamik asitlerin sodyum tuzlarının genel sentez yöntemi

Sodyum hidroksidin etil alkoldeki çözeltisi, buz banyosunda sekonder amine türevleri ile karıştırıldı. Karbon sülfürün etil alkoldeki çözeltisi bu karışım üzerine buz banyosunda sürekli karıştırılarak damla damla eklendi. Reaksiyon karışımı oda sıcaklığında bir saat karıştırıldı. Çözücü uçuruldu. Çökelek, kuru eter ile yıkandı. Oluşan ürün, etil alkolden kristallendirildi [5, 35].



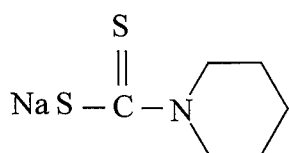
Sodyum pirolidinil ditiyokarbamat



Pirolidin	0.01 mol	(0.71 g = 0,82 mL)
Sodyum hidroksit	0.01 mol	(0.40 g)
Karbon sülfür	0.1 mol	(7.59 g = 6.03 mL)

Verim : % 83

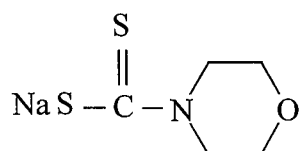
Sodyum piperidinil ditiyokarbamat



Piperidin	0.01 mol	(0.85 g = 0,98 mL)
Sodyum hidroksit	0.01 mol	(0.40 g)
Karbon sülfür	0.1 mol	(7.59 g = 6.03 mL)

Verim : % 81

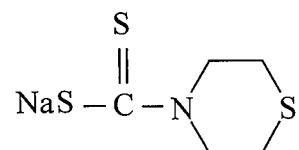
Sodyum morfolinil ditiyokarbamat



Morfolin	0.01 mol	(0.87 g = 0,87 mL)
Sodyum hidroksit	0.01 mol	(0.40 g)
Karbon sülfür	0.1 mol	(7.59 g = 6.03 mL)

Verim : % 88

Sodyum tiyomorfolinil ditiyokarbamat

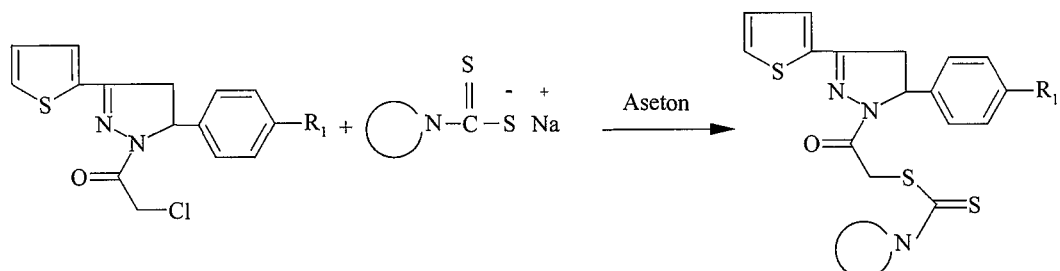


Tiyomorfolin	0.01 mol	(1.03 g = 0.94 mL)
Sodyum hidroksit	0.01 mol	(0.40 g)
Karbon sülfür	0.1 mol	(7.59 g = 6.03 mL)

Verim : % 86

4.1.5. 1-[(N,N-Disübstüetiyokarboniltiyo)asetil]-3-(2-tiyenil)-5-aryl-2-pirazolin türevlerinin (B) elde edilişleri

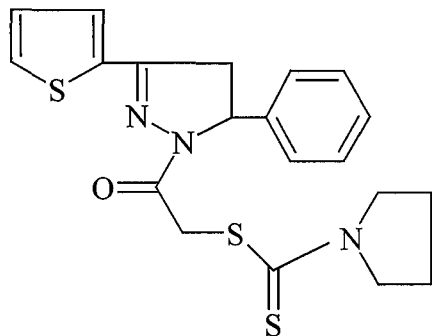
Genel sentez yöntemi



1-(2-Kloroasetil)-3-(2-tiyenil)-5-aryl-2-pirazolin ve uygun sodyum ditiyokarbamat aseton içinde çözülkerek oda sıcaklığında üç saat reaksiyona sokulmuştur. Yapılan ince tabaka kromotografileri sonucuna göre reaksiyona son verilmiştir. Balon içeriği evapore edilerek aseton ortamdan alınmıştır. Artık su ile yikanarak tuz artıkları ortamdan uzaklaştırılmıştır. Elde edilen ürünler kurutularak etil alkolden kristallendirilmişlerdir.

Genel sentez yöntemine göre sentezlenen bileşikler

1-[(1-Pirolidiniltiyokarboniltiyo)asetil]-3-(2-tiyenil)-5-fenil-2-pirazolin (B-1)



1-(2-Kloroasetil)-3-(2-tiyenil)-5-fenil-2-pirazolin 0.001 mol (0.304 g)
Sodyum pirolidinil ditiyokarbamat 0.001 mol (0.205 g)

Verim : % 45 E.n.: 149 °C R_f: 0.74

Analiz : C₂₀H₂₁N₃OS₃

Hesaplanan : C : 57.80 H : 5.09 N : 10.11

Bulunan : C : 57.79 H : 5.07 N : 10.09

UV (EtOH) λ (nm)(log ε) : 208.4 (4.94), 318.2 (4.74)

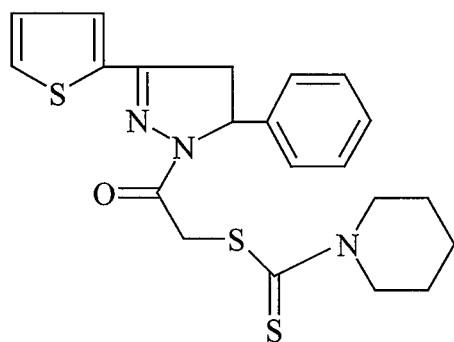
IR (KBr)v_{maks}(cm⁻¹) : 3099, 3066 (aromatik C-H gerilim bandı), 2962, 2864 (alifatik C-H gerilim bandı), 1654 (C=O gerilim bandı), 1519, 1434, 1406 (C=N ve C=C gerilim bandları), 1353, 1321, 1159 (C-N gerilim bandları), 1222 (C=S gerilim bandı), 864 (1,4-disübstüte benzen), 717 (C-S-C, tiyofen gerilme bandı)

¹H-NMR(300 MHz) (DMSO-d₆) δ(ppm) : 1.80-2.10 (4H, iki grup m, pirolidin C_{3,4}-H), 3.17 (1H, dd (J_{AM}= 18.00 Hz, J_{AX}= 4.60 Hz) pirazolin C₄-H_A), 3.55-3.75 (4H, d t, pirolidin C_{2,5}-H), 3.91 (1H, dd (J_{MA}= 18.00 Hz, J_{MX}= 11.70 Hz) pirazolin

$C_4\text{-H}_M$), 4.60 (1H, d $J = 16.10$ Hz, COCH geminal), 4.65 (1H, d $J = 16.08$ Hz, COCH geminal), 5.57 (1H, dd ($J_{MX} = 11.70$ Hz, $J_{AX} = 4.60$ Hz) pirazolin $C_5\text{-H}_X$), 6.60 (2H, d $J = 8.49$ Hz, fenil $C_{2,6}\text{-H}$), 7.20-7.40 (6H, m, fenil-H ve tiyofen $C_4\text{-H}$), 7.55 (1H, s, tiyofen $C_3\text{-H}$), 7.75 (1H, s, tiyofen $C_5\text{-H}$)

MS (FAB) m/z : 415 [M], 416 [M+1]

1-[(1-Piperidiniltiyokarboniltiyo)asetil]-3-(2-tiyenil)-5-fenil-2-pirazolin (B-2)



1-(2-Kloroasetil)-3-(2-tiyenil)-5-fenil-2-pirazolin 0.001 mol (0.304 g)

Sodyum piperidinil ditiyokarbamat 0.001 mol (0.219 g)

Verim : % 52 E.n.: 105-6 °C R_f : 0.77

Analiz : C₂₁H₂₃N₃OS₃

Hesaplanan : C : 58.71 H : 5.40 N : 9.78

Bulunan : C : 58.69 H : 5.38 N : 9.76

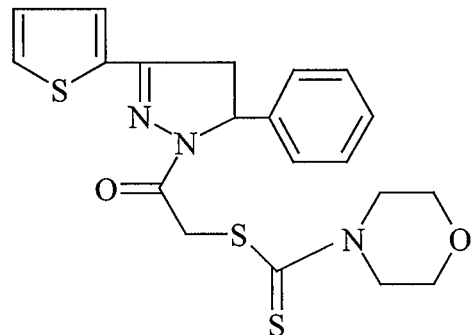
UV (EtOH) λ (nm)(log ε) : 207.6 (4.96), 315.3 (4.85)

IR (KBr) $\nu_{\text{maks}}(\text{cm}^{-1})$: 3101, 3028 (aromatik C-H gerilim bandı), 2987, 2943, 2860 (alifatik C-H gerilim bandı), 1666 (C=O gerilim bandı), 1471, 1446, 1434, 1404 (C=N ve C=C gerilim bandları), 1319, 1114 (C-N gerilim bandları), 1228 (C=S gerilim bandı), 862 (1,4-disübstítüe benzen), 715 (C-S-C, tiyofen gerilme bandı)

¹H-NMR(300 MHz) (DMSO-d₆) δ(ppm) : 1.50-1.70 (6H, br, piperidin C_{3,4,5}-H), 3.17 (1H, dd (J_{AM}= 17.90 Hz, J_{AX}= 4.60 Hz) pirazolin C₄-H_A), 3.80-4.30, 3.90 (5H, iki grup m, piperidin N-CH₂, dd (J_{MA}= 17.90 Hz, J_{MX}= 11.70 Hz) pirazolin C₄-H_M), 4.60 (1H, d J= 16.17 Hz, COCH geminal), 4.65 (1H, d J= 16.20 Hz, COCH geminal), 5.57 (1H, dd (J_{MX}= 11.70 Hz, J_{AX}= 4.60 Hz) pirazolin C₅-H_X), 7.10-7.20 (6H, m, fenil-H ve tiyofen C₄-H), 7.45 (1H, d J= 2.69 Hz, tiyofen C₃-H), 7.75 (1H, d J= 4.14 Hz, tiyofen C₅-H)

MS (FAB) m/z : 430 [M+1]

1-[(4-Morfoliniltiyokarboniltiyo)asetil]-3-(2-tiyenil)-5-fenil-2-pirazolin (B-3)



1-(2-Kloroasetil)-3-(2-tiyenil)-5-fenil-2-pirazolin	0.001 mol (0.304 g)
Sodyum morfolinil ditiyokarbamat	0.001 mol (0.221 g)

Verim : % 48 E.n.: 144 °C R_f: 0.76

Analiz : C₂₀H₂₁N₃O₂S₃

Hesaplanan : C : 55.66	H : 4.90	N : 9.74
------------------------	----------	----------

Bulunan : C : 55.65	H : 4.89	N : 9.73
---------------------	----------	----------

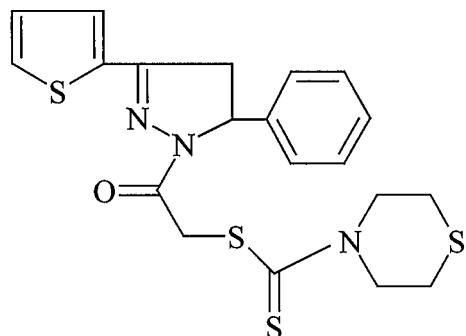
UV (EtOH) λ (nm)(log ε) : 208.2 (4.90), 316.4 (4.72)

IR (KBr) $\nu_{\text{maks}}(\text{cm}^{-1})$: 3091, 3062, 3029 (aromatik C-H gerilim bandı), 2970, 2894, 2856 (alifatik C-H gerilim bandı), 1666 (C=O gerilim bandı), 1517, 1446, 1407 (C=N ve C=C gerilim bandları), 1353, 1321, 1110 (C-N ve C-O gerilim bandları), 1232 (C=S gerilim bandı), 860 (1,4-disübstítüé benzen), 702 (C-S-C, tiyofen gerilme bandı)

$^1\text{H-NMR}$ (300 MHz) (DMSO- d_6) δ (ppm) : 3.18 (1H, dd ($J_{\text{AM}}= 18.00$ Hz, $J_{\text{AX}}= 4.60$ Hz) pirazolin C₄-H_A), 3.70 (4H, m, morfolin CH₂-O-CH₂) 3.85-4.30, 3.92 (5H, m, morfolin CH₂-N-CH₂ ve dd ($J_{\text{MA}}= 18.00$ Hz, $J_{\text{MX}}= 11.70$ Hz) pirazolin C₄-H_M), 4.60 (1H, d $J= 16.20$ Hz, COCH geminal), 4.65 (1H, d $J= 16.18$ Hz, COCH geminal), 5.57 (1H, dd ($J_{\text{MX}}= 11.57$ Hz, $J_{\text{AX}}= 4.45$ Hz) pirazolin C₅-H_X), 7.20 (6H, m, fenil-H ve tiyofen C₄-H), 7.50 (1H, s, tiyofen C₃-H), 7.80 (1H, s, tiyofen C₅-H)

MS (FAB) m/z : 432 [M+1]

**1-[(4-Tiyomorfoliniltiyokarboniltiyo)asetil]-3-(2-tiyenil)-5-fenil-2-pirazolin
(B-4)**



1-(2-Kloroasetil)-3-(2-tiyenil)-5-fenil-2-pirazolin	0.001 mol (0.304 g)
Sodyum tiyomorfolinil ditiyokarbamat	0.001 mol (0.237 g)

Verim : % 50 E.n.: 161 °C R_f : 0.71

Analiz	: C ₂₀ H ₂₁ N ₃ OS ₄		
Hesaplanan	: C : 53.66	H : 4.73	N : 9.39
Bulunan	: C : 53.64	H : 4.71	N : 9.38

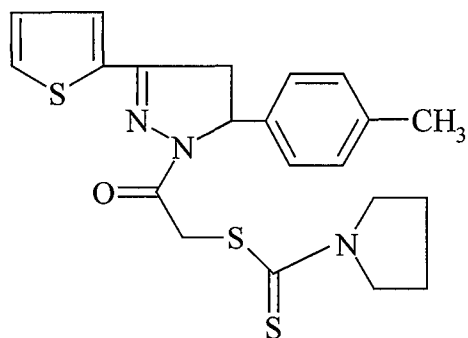
UV (EtOH) λ (nm)(log ε) : 208.6 (4.94), 317.8 (4.76)

IR (KBr) ν_{maks} (cm⁻¹) : 3087, 3060, 3029 (aromatik C-H gerilim bandı), 2988, 2908 (alifatik C-H gerilim bandı), 1664 (C=O gerilim bandı), 1446, 1411, 1406 (C=N ve C=C gerilim bandları), 1359, 1321, 1143 (C-N gerilim bandları), 1218 (C=S gerilim bandı), 838 (1,4-disübstütüe benzen), 725 (C-S-C, tiyofen gerilme bandı)

¹H-NMR(300 MHz) (DMSO-d₆) δ(ppm) : 2.60- 2.80 (4H, m, tiyomorfolin CH₂-S-CH₂), 3.18 (1H, dd (J_{AM} = 18.00 Hz, J_{AX} = 4.60 Hz) pirazolin C₄-H_A), 3.92 (1H, dd (J_{MA} = 17.80 Hz, J_{MX} = 11.60 Hz) pirazolin C₄-H_M), 4.10-4.60 (4H, iki grup m, tiyomorfolin CH₂-N-CH₂), 4.65 (1H, d J = 16.15 Hz, COCH geminal), 4.70 (1H, d J = 16.13 Hz, COCH geminal), 5.57 (1H, dd (J_{MX} = 11.70 Hz, J_{AX} = 4.60 Hz) pirazolin C₅-H_X), 7.10-7.40 (6H, m, fenil-H ve tiyofen C₄-H), 7.45 (1H, s, tiyofen C₃-H), 7.75 (1H, s, tiyofen C₅-H)

MS (FAB) m/z : 447 [M], 448 [M+1]

1-[(1-Pirolidiniltiyokarboniltiyo)asetil]-3-(2-tiyenil)-5-(4-metilfenil)-2-pirazolin (B-5)



1-(2-Kloroasetil)-3-(2-tiyenil)-5-(4-metilfenil)-2-pirazolin 0.001 mol
(0.318 g)

Sodyum pirolidinil ditiyokarbamat 0.001 mol
(0.205 g)

Verim : % 41 E.n.: 98 °C R_f : 0.91

Analiz : C₂₁H₂₃N₃OS₃

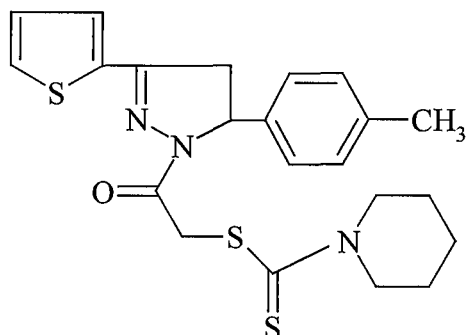
Hesaplanan : C : 58.71 H : 5.40 N : 9.78

Bulunan : C : 58.41 H : 5.20 N : 9.68

UV (EtOH) λ (nm)(log ε) : 210.4 (5.12), 320.4 (4.96)

IR (KBr)v_{maks}(cm⁻¹) : 3091, 3072 (aromatik C-H gerilim bandları), 2968, 2947, 2920, 2867 (alifatik C-H gerilim bandları), 1668 (C=O gerilim bandı), 1587-1406 (C=N ve C=C gerilim bandları), 1359, 1323, (C-N gerilim bandları), 1226 (C=S gerilim bandı), 813 (1,4-disübstítüe benzen), 711 (C-S-C, tiyofen gerilme bandı)

1-[(1-Piperidiniltiyokarboniltiyo)asetil]-3-(2-tiyenil)-5-(4-metilfenil)-2-pirazolin (B-6)



1-(2-Kloroasetil)-3-(2-tiyenil)-5-(4-metilfenil)-2-pirazolin 0.001 mol
(0.318 g)

Sodyum piperidinil ditiyokarbamat 0.001 mol
(0.219 g)

Verim : % 47 E.n.: 110-3 °C R_f : 0.92 R_t : 2.030 dakika

Analiz : C₂₂H₂₅N₃OS₃

Hesaplanan : C : 59.56 H : 5.68 N : 9.47

Bulunan : C : 59.07 H : 5.48 N : 9.37

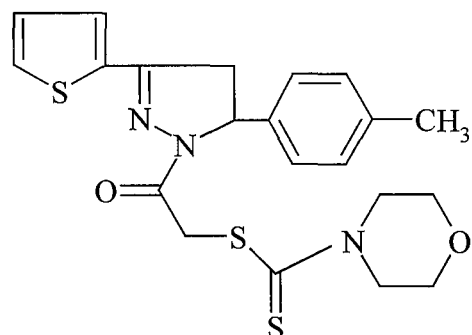
UV (EtOH) λ (nm)(log ε) : 213.6 (4.97), 318.7 (4.50)

IR (KBr) ν_{maks} (cm⁻¹) : 3097, 3070, 3022 (aromatik C-H gerilim bandları), 2983, 2933, 2894, 2846 (alifatik C-H gerilim bandları), 1674 (C=O gerilim bandı), 1515, 1483, 1448, 1411 (C=N ve C=C gerilim bandları), 1350, 1323, 1135, 1107 (C-N gerilim bandları), 1224 (C=S gerilim bandları), 813 (1,4-disübstítüé benzen), 702 (C-S-C, tiyofen gerilme bandı)

¹H-NMR(250 MHz) (DMSO-*d*₆) δ(ppm) : 1.55 (6H, m, piperidin C_{3,4,5}-H), 2.20 (3H, s, Ar-CH₃), 2.95 (1H, m, piperidin N-CH), 3.15 (1H, dd (J_{AM}= 17.96 Hz, J_{AX}= 4.51 Hz) pirazolin C₄-H_A), 3.90 (1H, dd (J_{MA}= 17.87 Hz, J_{MX}= 11.64 Hz) pirazolin C₄-H_M), 3.80-4.15 (3H, d br, piperidin C_{2,6}-H), 4.70 (1H, d J= 16.05 Hz, COCH geminal), 4.75 (1H, d J= 16.04 Hz, COCH geminal) 5.55 (1H, dd (J_{MX}= 11.61 Hz, J_{AX}= 4.50 Hz) pirazolin C₅-H_X), 7.00-7.20 (5H, m, fenil-H ve tiyofen C₄-H), 7.45 (1H, d J= 2.69 Hz, tiyofen C₃-H), 7.75 (1H, d J= 4.14 Hz, tiyofen C₅-H)

MS (FAB) m/z : 443 [M], 444 [M+1]

1-[(4-Morfoliniltiyokarboniltiyo)asetil]-3-(2-tiyenil)-5-(4-metilfenil)-2-pirazolin (B-7)



1-(2-Kloroasetil)-3-(2-tiyenil)-5-(4-metilfenil)-2-pirazolin	0.001 mol (0.318 g)
Sodyum morfolinil ditiyokarbamat	0.001 mol (0.221 g)

Verim : % 49 E.n.: 116-8 °C R_f : 0.88 R_t: 1.797 dakika

Analiz : C₂₁H₂₃N₃O₂S₃

Hesaplanan : C : 56.60 H : 5.20 N : 9.43

Bulunan : C : 56.70 H : 5.40 N : 9.53

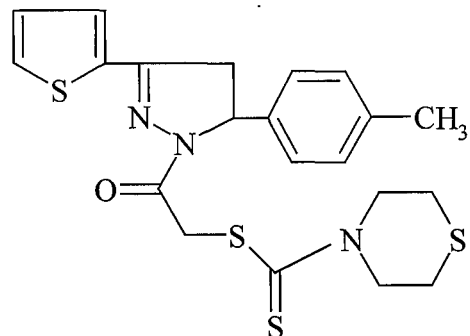
UV (EtOH) λ (nm)(log ε) : 208.8 (5.05), 320.1 (4.61)

IR (KBr) $\nu_{\text{maks}}(\text{cm}^{-1})$: 3083 (aromatik C-H gerilim bandı), 2967, 2912, 2855 (alifatik C-H gerilim bandı), 1658 (C=O gerilim bandı), 1588-1410 (C=N ve C=C gerilim bandları), 1355, 1323, 1186, 1111 (C-N ve C-O gerilim bandları), 1229 (C=S gerilim bandları), 862-813 (1,4-disübstitüe benzen), 710 (C-S-C, tiyofen gerilme bandı)

¹H-NMR(250 MHz) (DMSO-d₆) δ(ppm) : 2.25 (3H, s, Ar-CH₃), 3.20 (1H, dd (J_{AM}= 17.88 Hz, J_{AX}= 4.43 Hz) pirazolin C₄-H_A), 3.70 (4H, m, morfolin CH₂-O-CH₂) 3.90 (1H, dd (J_{MA}= 17.97 Hz, J_{MX}= 11.76 Hz) pirazolin C₄-H_M), 3.95 (4H, m, morfolin CH₂-N-CH₂), 4.70 (1H, d J= 16.53 Hz, COCH geminal), 4.75 (1H, d J= 16.55 Hz, COCH geminal), 5.55 (1H, dd (J_{MX}= 11.57 Hz, J_{AX}= 4.45 Hz) pirazolin C₅-H_X), 7.20 (5H, m, fenil-H ve tiyofen C₄-H), 7.50 (1H, d J= 2.66 Hz, tiyofen C₃-H), 7.80 (1H, d J= 4.10 Hz, tiyofen C₅-H)

MS (FAB) m/z : 445 [M], 446 [M+1]

1-[(4-Tiyomorfoliniltiyokarboniltiyo)asetil]-3-(2-tiyenil)-5-(4-metilfenil)-2-pirazolin (B-8)



1-(2-Kloroasetil)-3-(2-tiyenil)-5-(4-metilfenil)-2-pirazolin	0.001 mol (0.318 g)
--	------------------------

Sodyum tiyomorfolinil ditiyokarbamat	0.001 mol (0.237 g)
--------------------------------------	------------------------

Verim : % 51 E.n.: 91-3 °C R_f : 0.87 R_t : 1.962 dakika

Analiz : C₂₁H₂₃N₃OS₄

Hesaplanan : C : 54.60 H : 5.02 N : 9.10

Bulunan : C : 54.93 H : 5.12 N : 9.30

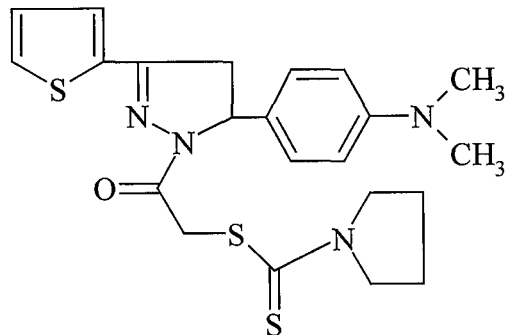
UV (EtOH) λ (nm)(log ε) : 208.6 (4.94), 318.2 (4.67)

IR (KBr) $\nu_{\text{maks}}(\text{cm}^{-1})$: 3093, 3076 (aromatik C-H gerilim bandları), 2952, 2914, 2856 (alifatik C-H gerilim bandları), 1662 (C=O gerilim bandı), 1514, 1450, 1409(C=N ve C=C gerilim bandları), 1353, 1323 (C-N gerilim bandları), 1215 (C=S gerilim bandı), 813 (1,4-disübstítüé benzen), 711 (C-S-C, tiyofen gerilme bandı)

$^1\text{H-NMR}$ (250 MHz) (DMSO- d_6) δ(ppm) : 2.20 (3H, s, Ar-CH₃), 2.70 (4H, m, tiyomorfolin CH₂-S-CH₂), 3.15 (1H, dd ($J_{\text{AM}}= 18.10$ Hz, $J_{\text{AX}}= 4.50$ Hz) pirazolin C₄-H_A), 3.90 (1H, dd ($J_{\text{MA}}= 17.92$ Hz, $J_{\text{MX}}= 11.59$ Hz) pirazolin C₄-H_M), 4.20 (4H, m, tiyomorfolin CH₂-N-CH₂), 4.70 (1H, d $J= 16.13$ Hz, COCH geminal), 4.75 (1H, d $J= 16.10$ Hz, COCH geminal), 5.50 (1H, dd ($J_{\text{MX}}= 11.63$ Hz, $J_{\text{AX}}= 4.46$ Hz) pirazolin C₅-H_X), 7.15 (5H, m, fenil-H ve tiyofen C₄-H), 7.45 (1H, d $J= 2.81$ Hz, tiyofen C₃-H), 7.75 (1H, d $J= 4.32$ Hz, tiyofen C₅-H)

MS (FAB) m/z : 461 [M], 462 [M+1]

1-[(1-Pirolidiniltiyokarboniltiyo)asetil]-3-(2-tiyanil)-5-(4-dimetilaminofenil)-2-pirazolin (B-9)



1-(2-Kloroasetil)-3-(2-tiyanil)-5-(4-dimetilaminofenil)-2-pirazolin 0.001 mol
(0.349 g)

Sodyum pirolidinil dityokarbamat 0.001 mol
 (0.205 g)

Verim : % 65 E.n.: 83-4 °C R_f : 0.70 R_t : 1.797 dakika

Analiz : C₂₂H₂₆N₄OS₃

Hesaplanan : C : 57.61 H : 5.71 N : 12.21

Bulunan : C : 57.48 H : 5.70 N : 12.45

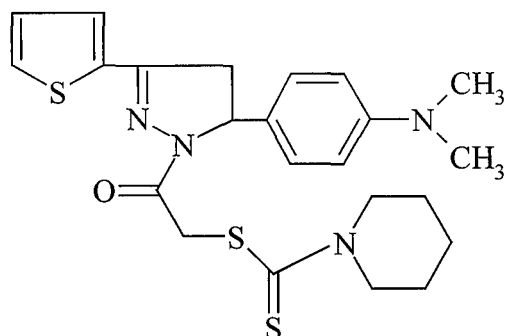
UV (EtOH) λ (nm)(log ε) : 208.4 (4.93), 315.4 (4.84)

IR (KBr)v_{maks}(cm⁻¹) : 3097, 3074 (aromatik C-H gerilim bandları), 2968, 2945, 2854, 2869 (alifatik C-H gerilim bandları), 1658 (C=O gerilim bandı), 1614-1413 (C=N ve C=C gerilim bandları), 1348, 1325 (C-N gerilim bandları), 1224 (C=S gerilim bandı), 815 (1,4-disübstitüe benzen), 711 (C-S-C, tiyofen gerilme bandı)

¹H-NMR(250 MHz) (DMSO-d₆) δ(ppm) : 1.85-2.15 (4H, d p, pirolidin C_{3,4}-H), 2.90 (6H, s, N(CH₃)₂), 3.20 (1H, dd (J_{AM}= 17.84 Hz, J_{AX}= 4.34 Hz) pirazolin C₄-H_A), 3.70-3.80 (4H, d t, pirolidin C_{2,5}-H), 3.90 (1H, dd (J_{MA}= 17.83 Hz, J_{MX}= 11.63 Hz) pirazolin C₄-H_M), 4.65 (1H, d J= 15.97 Hz, COCH geminal), 4.70 (1H, d J= 16.00 Hz, COCH geminal), 5.50 (1H, dd, pirazolin C₅-H_X), 6.70 (2H, d J= 8.44 Hz, fenil C_{2,6}-H), 7.10 (2H, d J= 8.65 Hz, fenil C_{3,5}-H), 7.20 (1H, t J= 3.73 Hz, tiyofen C₄-H), 7.55 (1H, d J= 2.93 Hz, tiyofen C₃-H), 7.80 (1H, d J= 4.46 Hz, tiyofen C₅-H)

MS (FAB) m/z : 458 [M], 459 [M+1]

1-[(1-Piperidiniltiyokarboniltiyo)asetil]-3-(2-tiyenil)-5-(4-dimetilaminofenil)-2-pirazolin (B-10)



1-(2-Kloroasetil)-3-(2-tiyenil)-5-(4-dimetilaminofenil)-2-pirazolin 0.001 mol
(0.349 g)

Sodyum piperidinil ditiyokarbamat 0.001 mol
(0.219 g)

Verim : % 68 E.n.: 89 °C R_f : 0.74 R_t : 1.421 dakika

Analiz : C₂₃H₂₈N₄OS₃

Hesaplanan : C : 58.44 H : 5.97 N : 11.85

Bulunan : C : 58.24 H : 5.82 N : 11.80

UV (EtOH) λ (nm)(log ε) : 207.4 (5.11), 317.9 (4.76)

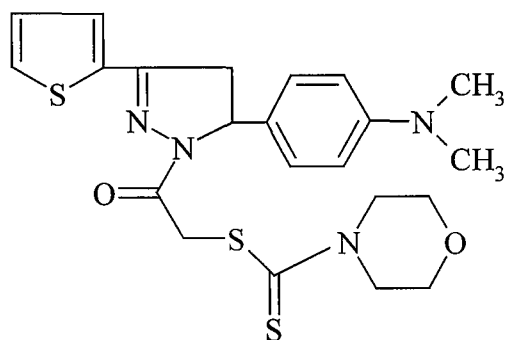
IR (KBr) ν_{maks} (cm⁻¹) : 3076 (aromatik C-H gerilim bandları), 2936, 2854, 2800 (alifatik C-H gerilim bandları), 1656 (C=O gerilim bandı), 1613-1413 (C=N ve C=C gerilim bandları), 1348-1130 (C-N gerilim bandları), 1225 (C=S gerilim bandı), 856, 839, 813 (1,4-disübstitüe benzen), 709 (C-S-C, tiyofen gerilme bandı)

¹H-NMR(250 MHz) (DMSO-*d*₆) δ(ppm) : 1.55 (6H, m, piperidin C_{3,4,5}-H), 2.85 (6H, s, N(CH₃)₂), 3.15 (1H, dd (J_{AM}= 17.82 Hz, J_{AX}= 4.42 Hz) pirazolin C₄-H_A),

3.80 (1H, dd ($J_{MA} = 17.88$ Hz, $J_{MX} = 11.52$ Hz) pirazolin C₄-H_M), 4.15 (4H, m, piperidin C_{2,6}-H), 4.60 (1H, d $J = 15.92$ Hz, COCH geminal), 4.65 (1H, d $J = 15.90$ Hz, COCH geminal), 5.45 (1H, dd ($J_{MX} = 11.44$ Hz, $J_{AX} = 4.30$ Hz) pirazolin C₅-H_X), 6.60 (2H, d $J = 8.70$ Hz, fenil C_{2,6}-H), 7.00 (2H, d $J = 8.65$ Hz, fenil C_{3,5}-H ve 1H, t $J = 4.34$ Hz, tiyofen C₄-H), 7.45 (1H, d $J = 2.86$ Hz, tiyofen C₃-H), 7.75 (1H, d $J = 4.30$ Hz, tiyofen C₅-H)

MS (FAB) m/z : 472 [M], 473 [M+1]

1-[(4-Morfoliniltiyokarboniltiyo)asetil]-3-(2-tiyenil)-5-(4-dimetilaminofenil)-2-pirazolin (B-11)



1-(2-Kloroasetil)-3-(2-tiyenil)-5-(4-dimetilaminofenil)-2-pirazolin 0.001 mol
(0.349 g)

Sodyum morfolinil ditiyokarbamat 0.001 mol
(0.221 g)

Verim : % 69 E.n.: 86 °C R_f: 0.69

Analiz : C₂₂H₂₆N₄O₂S₃

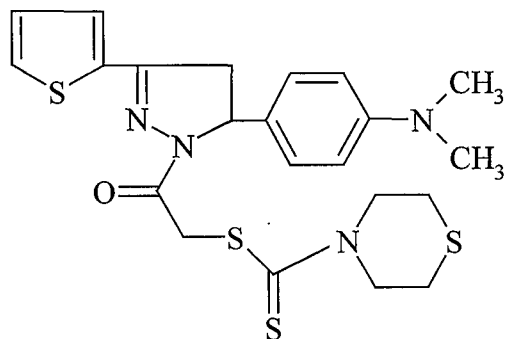
Hesaplanan : C : 55.66 H : 5.52 N : 11.80

Bulunan : C : 55.32 H : 5.50 N : 11.75

UV (EtOH) λ (nm)(log ε) : 207.6 (5.15), 317.8 (4.78)

IR (KBr) $\nu_{\text{maks}}(\text{cm}^{-1})$: 3097, 3076 (aromatik C-H gerilim bandları), 2962, 2850, 2798 (alifatik C-H gerilim bandları), 1660 (C=O gerilim bandı), 1614, 1523, 1450, 1410 (C=N ve C=C gerilim bandları), 1350, 1323, 1112 (C-N ve C-O gerilim bandları), 1230 (C=S gerilim bandları), 815 (1,4-disübstitüe benzen), 713 (C-S-C, tiyofen gerilme bandı)

1-[(4-Tiyomorfoliniltiyokarboniltiyo)asetil]-3-(2-tiyenil)-5-(4-dimetilamino-fenil)-2-pirazolin (B-12)



1-(2-Kloroasetil)-3-(2-tiyenil)-5-(4-dimetilaminofenil)-2-pirazolin 0.001 mol
(0.349 g)

Sodyum tiyomorfolinil ditiyokarbamat 0.001 mol
(0.237 g)

Verim : % 71 E.n.: 87 °C R_f: 0.78 R_t: 1.363 dakika

Analiz : C₂₂H₂₆N₄OS₄

Hesaplanan : C : 53.84 H : 5.34 N : 11.41

Bulunan : C : 53.80 H : 5.21 N : 11.37

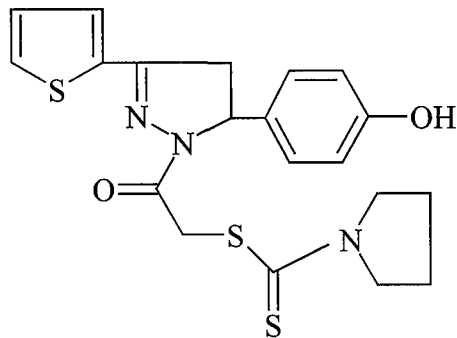
UV (EtOH) $\lambda(\text{nm})(\log \epsilon)$: 207.4 (4.87), 316.6 (4.59)

IR (KBr) $\nu_{\text{maks}}(\text{cm}^{-1})$: 3095, 3076 (aromatik C-H gerilim bandları), 2950, 2910, 2854, 2798 (Alifatik C-H gerilim bandları), 1660 (C=O gerilim bandı), 1614, 1521, 1450, 1402 (C=N ve C=C gerilim bandları), 1353, 1323, 1190, 1141 (C-N gerilim bandları), 1215 (C=S gerilim bandı), 815 (1,4-disübstitüe benzen), 715 (C-S-C, tiyofen gerilme bandı)

$^1\text{H-NMR}$ (250 MHz) (DMSO- d_6) δ (ppm) : 2.75 (4H, m, tiyomorfolin CH₂-S-CH₂), 2.90 (6H, s, N(CH₃)₂), 3.20 (1H, dd ($J_{\text{AM}}= 17.87$ Hz, $J_{\text{AX}}= 4.31$ Hz) pirazolin C₄-H_A), 3.90 (1H, dd ($J_{\text{MA}}= 17.93$ Hz, $J_{\text{MX}}= 11.51$ Hz) pirazolin C₄-H_M), 4.30 (4H, m, tiyomorfolin CH₂-N-CH₂), 4.70 (1H, d $J= 16.06$ Hz, COCH geminal), 4.75 (1H, d $J= 16.05$ Hz, COCH geminal), 5.50 (1H, dd ($J_{\text{MX}}= 11.42$ Hz, $J_{\text{AX}}= 4.14$ Hz) pirazolin C₅-H_x), 6.65 (2H, d $J= 8.72$ Hz, fenil C_{2,6}-H), 7.10 (2H, d $J= 8.70$ Hz, fenil C_{3,5}-H), 7.20 (1H, t $J= 4.35$ Hz, tiyofen C₄-H), 7.55 (1H, d $J= 2.81$ Hz, tiyofen C₃-H), 7.80 (1H, d $J= 4.98$ Hz, tiyofen C₅-H)

MS (FAB) m/z : 490 [M], 491 [M+1]

1-[(1-Pirolidiniltiyokarboniltiyo)asetil]-3-(2-tiyenil)-5-(4-hidroksifenil)-2-pirazolin (B-13)



1-(2-Kloroasetil)-3-(2-tiyenil)-5-(4-hidroksifenil)-2-pirazolin	0.001 mol (0.320 g)
---	------------------------

Sodyum pirolidinil ditiyokarbamat	0.001 mol (0.205 g)
-----------------------------------	------------------------

Verim : % 49 E.n.: 121-3 °C R_f : 0.67 R_t : 1.572 dakika

Analiz : $C_{20}H_{21}N_3O_2S_3$

Hesaplanan : C : 55.66 H : 4.90 N : 9.74

Bulunan : C : 55.76 H : 4.90 N : 9.84

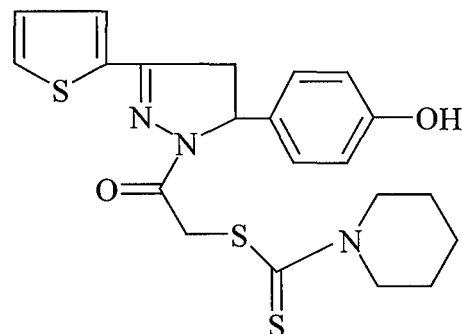
UV (EtOH) λ (nm)(log ε) : 208.2 (4.90), 319.6 (4.55)

IR (KBr) $\nu_{\text{maks}}(\text{cm}^{-1})$: 3247 (O-H gerilim bandı), 3103, 3018 (aromatik C-H gerilim bandı), 2968, 2871 (alifatik C-H gerilim bandı), 1643 (C=O gerilim bandı), 1614-1421 (C=N ve C=C gerilim bandları), 1328, 1172, 1161 (C-N ve C-O gerilim bandları), 1228, (C=S gerilim bandı), 831 (1,4-disübstítüe benzen), 715 (C-S-C, tiyofen gerilme bandı)

1H -NMR(250 MHz) (DMSO- d_6) δ (ppm) : 1.85-2.00 (4H, iki grup m, pirolidin $C_{3,4}$ -H), 3.10 (1H, dd (J_{AM} = 17.96 Hz, J_{AX} = 4.25 Hz) pirazolin C_4 -H_A), 3.55-3.75 (4H, d triplet, pirolidin $C_{2,5}$ -H), 3.85 (1H, dd (J_{MA} = 17.91 Hz, J_{MX} = 11.58 Hz) pirazolin C_4 -H_M), 4.60 (1H, d J = 16.03 Hz, COCH geminal), 4.65 (1H, d J = 16.00 Hz, COCH geminal), 5.40 (1H, dd (J_{MX} = 11.61 Hz, J_{AX} = 4.32 Hz) pirazolin C_5 -H_X), 6.60 (2H, d J = 8.49 Hz, fenil $C_{2,6}$ -H), 7.00 (2H, d J = 8.52 Hz, fenil $C_{3,5}$ -H), 7.10 (1H, t J = 3.71 Hz, tiyofen C_4 -H), 7.45 (1H, d J = 2.70 Hz, tiyofen C_3 -H), 7.75 (1H, d J = 4.96 Hz, tiyofen C_5 -H), 9.30 (1H, s, Ar-OH)

MS (FAB) m/z : 431 [M], 432 [M+1]

1-[(1-Piperidiniltiyokarboniltiyo)asetil]-3-(2-tiyenil)-5-(4-hidroksifenil)-2-pirazolin (B-14)



1-(2-Kloroasetil)-3-(2-tiyenil)-5-(4-hidroksifenil)-2-pirazolin	0.001 mol (0.320 g)
Sodyum piperidinil ditiyokarbamat	0.001 mol (0.219 g)

Verim : % 50 E.n.: 180-2 °C R_f: 0.73

Analiz : C₂₁H₂₃N₃O₂S₃

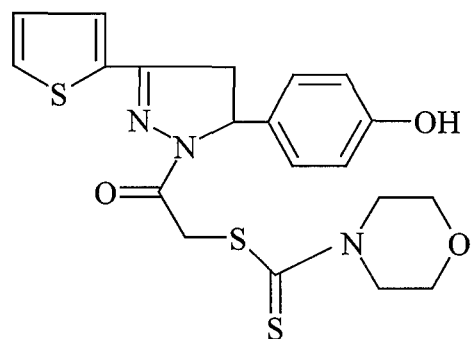
Hesaplanan : C : 56.60 H : 5.20 N : 9.43

Bulunan : C : 55.90 H : 5.10 N : 9.13

UV (EtOH) λ (nm)(log ε) : 220.6 (5.14), 315.2 (5.08)

IR (KBr) ν_{maks} (cm⁻¹) : 3307 (O-H gerilim bandı), 3089, 3018 (aromatik C-H gerilim bandı), 2933, 2854 (alifatik C-H gerilim bandı), 1647 (C=O gerilim bandı), 1614, 1595, 1515, 1475, 1417 (C=N ve C=C gerilim bandları), 1353, 1325, 1132, 1114 (C-N ve C-O gerilim bandları), 1226 (C=S gerilim bandı), 827 (1,4-disübstütüe benzen), 715 (C-S-C, tiyofen gerilme bandı)

1-[(4-Morfoliniltiyokarboniltiyo)asetil]-3-(2-tiyenil)-5-(4-hidroksifenil)-2-pirazolin (B-15)



1-(2-Kloroasetil)-3-(2-tiyenil)-5-(4-hidroksifenil)-2-pirazolin 0.001 mol
 (0.320 g)

Sodyum morfolinil ditiyokarbamat 0.001 mol
 (0.221 g)

Verim : % 56 E.n.: 203 °C R_f: 0.65

Analiz : C₂₀H₂₁N₃O₃S₃

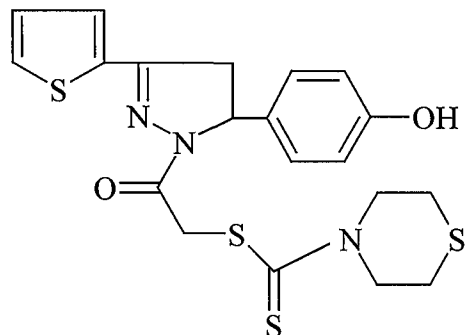
Hesaplanan : C : 53.69 H : 4.73 N : 9.39

Bulunan : C : 54.02 H : 4.83 N : 9.49

UV (EtOH) λ (nm)(log ε) : 208.6 (5.50), 318.8 (5.36)

IR (KBr) ν_{maks} (cm⁻¹) : 3232 (O-H gerilim bandı), 3076, 3022 (aromatik C-H gerilim bandı), 2968, 2914, 2858 (alifatik C-H gerilim bandı), 1660 (C=O gerilim bandı), 1614-1417 (C=N ve C=C gerilim bandları), 1352, 1170, 1107 (C-N ve C-O gerilim bandları), 1269 (C=S gerilim bandı), 837 (1,4-disübstítüé benzen), 727 (C-S-C, tiyofen gerilme bandı)

1-[(4-Tiyomorfoliniltiyokarboniltiyo)asetil]-3-(2-tiyenil)-5-(4-hidroksifenil)-2-pirazolin (B-16)



1-(2-Kloroasetil)-3-(2-tiyenil)-5-(4-hidroksifenil)-2-pirazolin 0.001 mol
 (0.320 g)

Sodyum tiyomorfolinil ditiyokarbamat 0.001 mol
 (0.237 g)

Verim : % 58 E.n.: 208 °C R_f : 0.70 R_t : 1.656 dakika

Analiz : C₂₀H₂₁N₃O₂S₄

Hesaplanan : C : 51.76 H : 4.57 N : 9.06

Bulunan : C : 52.11 H : 4.67 N : 9.26

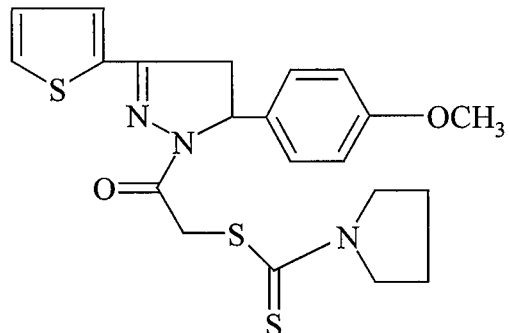
UV (EtOH) λ (nm)(log ε) : 207.6 (5.03), 318.2 (4.98)

IR (KBr)v_{maks}(cm⁻¹) : 3222, 3203 (O-H gerilim bandı), 3085, 3070, 3012 (aromatik C-H gerilim bandı), 2962, 2914 (alifatik C-H gerilim bandı), 1643 (C=O gerilim bandı), 1614-1419 (C=N ve C=C gerilim bandları), 1352, 1215, 1190, 1143 (C-N ve C-O gerilim bandları), 1278 (C=S gerilim bandı), 835 (1,4-disübstitüe benzen), 727 (C-S-C, tiyofen gerilme bandı)

¹H-NMR(250 MHz) (DMSO-d₆) δ(ppm) : 2.70 (4H, m, tiyomorfolin CH₂-S-CH₂), 3.10 (1H, dd (J_{AM}= 18.09 Hz, J_{AX}= 4.28 Hz) pirazolin C₄-H_A), 3.80 (1H, dd (J_{MA}= 17.83 Hz, J_{MX}= 11.62 Hz) pirazolin C₄-H_M), 4.40 (4H, m, tiyomorfolin CH₂-N-CH₂), 4.60 (1H, d J= 16.15 Hz, COCH geminal), 4.65 (1H, d J= 16.17 Hz, COCH geminal), 5.45 (1H, dd (J_{MX}= 11.56 Hz, J_{AX}= 4.28 Hz) pirazolin C₅-H_X), 6.60 (2H, d J= 8.46 Hz, fenil C_{2,6}-H), 7.00 (2H, d J= 8.48 Hz, fenil C_{3,5}-H), 7.10 (1H, t J= 3.82 Hz, tiyofen C₄-H), 7.45 (1H, d J= 3.11 Hz, tiyofen C₃-H), 7.75 (1H, d J= 4.96 Hz, tiyofen C₅-H), 9.35 (1H, s, Ar-OH)

MS (FAB) m/z : 464 [M+1]

1-[(1-Pirolidiniltiyokarboniltiyo)asetil]-3-(2-tiyenil)-5-(4-metoksifenil)-2-pirazolin (B-17)



1-(2-Kloroasetil)-3-(2-tiyenil)-5-(4-metoksifenil)-2-pirazolin	0.001 mol (0.334 g)
Sodyum pirolidinil ditiyokarbamat	0.001 mol (0.205 g)

Verim : % 56 E.n.: 73 °C R_f: 0.86

Analiz : C₂₁H₂₃N₃O₂S₃

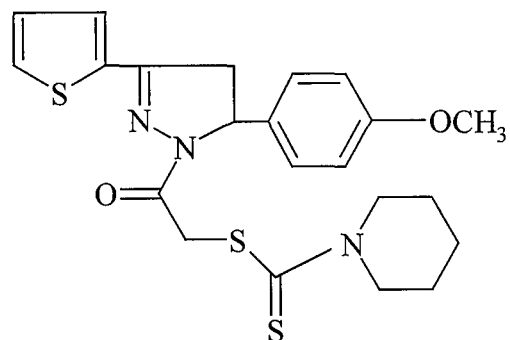
Hesaplanan : C : 56.60 H : 5.20 N : 9.43

Bulunan : C : 56.62 H : 5.23 N : 9.45

UV (EtOH) λ (nm)(log ε) : 207.8 (4.92), 319.8 (4.54)

IR (KBr)v_{maks}(cm⁻¹) : 3093, 3070, 3031 (aromatik C-H gerilim bandları), 2950, 2869, 2833 (alifatik C-H gerilim bandları), 1662 (C=O gerilim bandı), 1610, 1585, 1512, 1411 (C=N ve C=C gerilim bandları), 1323, 1176, 1159, 1110 (C-N ve C-O gerilim bandları), 1245 (C=S gerilim bandı), 827 (1,4-disübstítüé benzen), 711 (C-S-C, tiyofen gerilme bandı)

1-[(1-Piperidiniltiyokarboniltiyo)asetil]-3-(2-tiyenil)-5-(4-metoksifenil)-2-pirazolin (B-18)



1-(2-Kloroasetil)-3-(2-tiyenil)-5-(4-metoksifenil)-2-pirazolin 0.001 mol
(0.334 g)

Sodyum piperidinil ditiyokarbamat 0.001 mol
(0.219 g)

Verim : % 53 E.n.: 79 °C R_f: 0.87 R_t: 1.893 dakika

Analiz : C₂₂H₂₅N₃O₂S₃

Hesaplanan : C : 57.49 H : 5.48 N : 9.14

Bulunan : C : 56.39 H : 5.48 N : 9.13

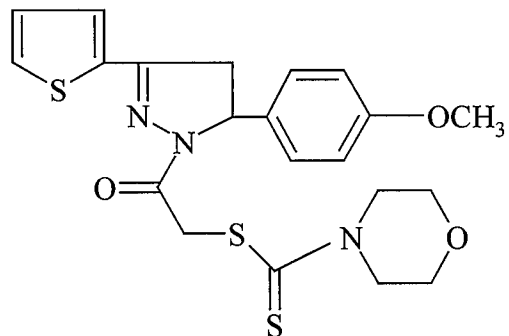
UV (EtOH) λ (nm)(log ε) : 207.6 (4.89), 318.9 (4.54)

IR (KBr) $\nu_{\text{maks}}(\text{cm}^{-1})$: 3093, 3070, 3029 (aromatik C-H gerilim bandları), 2993, 2933, 2854, 2833 (alifatik C-H gerilim bandları), 1662 (C=O gerilim bandı), 1610, 1512, 1448, 1415 (C=N ve C=C gerilim bandları), 1361, 1323, 1176, 1132, 1110 (C-N ve C-O gerilim bandları), 1228 (C=S gerilim bandı), 827 (1,4-disübstitüe benzen), 711 (C-S-C, tiyofen gerilme bandı)

$^1\text{H-NMR}$ (250 MHz) (DMSO- d_6) δ (ppm) : 1.55 (6H, m, piperidin C_{3,4,5}-H), 3.10 (1H, br, piperidin N-CH), 3.20 (1H, dd ($J_{\text{AM}}= 17.87$ Hz, $J_{\text{AX}}= 4.47$ Hz) pirazolin C₄-H_A), 3.70 (3H, s, Ar-OCH₃), 3.90 (1H, dd ($J_{\text{MA}}= 17.87$ Hz, $J_{\text{MX}}= 11.60$ Hz) pirazolin C₄-H_M), 4.15 (3H, m, piperidin CH-N-CH₂), 4.70 (1H, d $J= 16.02$ Hz, COCH geminal), 4.75 (1H, d $J= 16.00$ Hz, COCH geminal), 5.50 (1H, dd ($J_{\text{MX}}= 11.57$ Hz, $J_{\text{AX}}= 4.75$ Hz) pirazolin C₅-H_X), 6.85 (2H, d $J= 8.68$ Hz, fenil C_{2,6}-H), 7.15 (2H, d $J= 8.59$ Hz, fenil C_{3,5}-H ve 1H, $J= 4.60$ Hz, tiyofen C₄-H), 7.50 (1H, d $J= 3.63$ Hz, tiyofen C₃-H), 7.75 (1H, d $J= 4.16$ Hz, tiyofen C₅-H)

MS (FAB) m/z : 459 [M], 460 [M+1]

1-[(4-Morfoliniltiyokarboniltiyo)asetil]-3-(2-tiyenil)-5-(4-metoksifenil)-2-pirazolin (B-19)



1-(2-Kloroasetil)-3-(2-tiyenil)-5-(4-metoksifenil)-2-pirazolin	0.001 mol (0.334 g)
--	------------------------

Sodyum morfolinil ditiyokarbamat 0.001 mol
(0.221 g)

Verim :% 57 E.n.: 84 °C R_f: 0.85 R_t: 1.640 dakika

Analiz : C₂₁H₂₃N₃O₃S₃

Hesaplanan : C : 54.64 H : 5.02 N : 9.10

Bulunan : C : 54.63 H : 5.01 N : 9.08

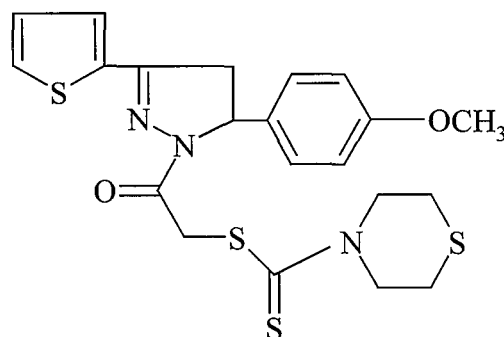
UV (EtOH) λ (nm)(log ε) : 207.8 (4.89), 319.6 (4.49)

IR (KBr) $\nu_{\text{maks}}(\text{cm}^{-1})$: 3099, 3072 (aromatik C-H gerilim bandları), 2960, 2910, 2852, 2835 (alifatik C-H gerilim bandları), 1662 (C=O gerilim bandı), 1610, 1585, 1512, 1408 (C=N ve C=C gerilim bandları), 1359, 1323, 1176, 1110 (C-N ve C-O gerilim bandları), 1267 (C=S gerilim bandı), 862, 827 (1,4-disübstitüe benzen), 711 (C-S-C, tiyofen gerilme bandı)

¹H-NMR(250 MHz) (DMSO-*d*₆) δ(ppm) : 3.15 (1H, dd (*J*_{AM}= 18.00 Hz) pirazolin C₄-H_A), 3.60 (4H, m, morfolin CH₂-O-CH₂), 3.70 (3H, s, Ar-OCH₃), 3.85 (1H, dd (*J*_{MA}= 17.91 Hz, *J*_{MX}= 11.63 Hz) pirazolin C₄-H_M), 3.90 (4H, m, morfolin CH₂-N-CH₂), 4.65 (1H, d *J*= 16.11 Hz, COCH geminal), 4.70 (1H, d *J*= 16.10 Hz, COCH geminal), 5.50 (1H, dd, pirazolin C₅-H_X), 6.85 (2H, d *J*= 8.66 Hz, fenil C_{2,6}-H), 7.15 (2H, d *J*= 8.69 Hz, fenil C_{3,5}-H ve 1H, *J*= 4.22 Hz, tiyofen C₄-H), 7.45 (1H, d *J*= 3.49 Hz, tiyofen C₃-H), 7.75 (1H, d *J*= 5.04 Hz, tiyofen C₅-H)

MS (FAB) m/z : 461 [M], 462 [M+1]

1-[(4-Tiyomorfoliniltiyokarboniltiyo)asetil]-3-(2-tiyenil)-5-(4-metoksifenil)-2-pirazolin (B-20)



1-(2-Kloroasetil)-3-(2-tiyenil)-5-(4-metoksifenil)-2-pirazolin 0.001 mol
 (0.334 g)

Sodyum tiyomorfolinil ditiyokarbamat 0.001 mol
 (0.237 g)

Verim : % 59 E.n.: 168 °C R_f : 0.89 R_t : 1.851 dakika

Analiz : C₂₁H₂₃N₃O₂S₄

Hesaplanan : C : 52.80 H : 4.85 N : 8.80

Bulunan : C : 52.78 H : 4.82 N : 8.78

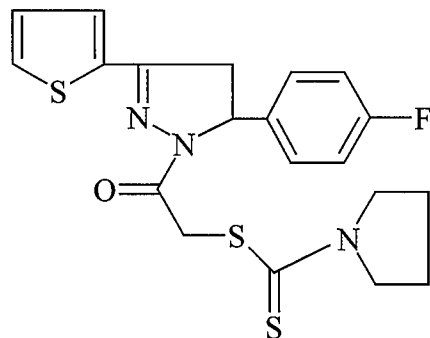
UV (EtOH) λ (nm)(log ε) : 208.4 (4.96), 319.5 (4.67)

IR (KBr) ν_{maks} (cm⁻¹) : 3073 (aromatik C-H gerilim bandları), 2935, 2856, (alifatik C-H gerilim bandları), 1659 (C=O gerilim bandı), 1611-1410 (C=N ve C=C gerilim bandları), 1350, 1323, 1176, 1131, 1111 (C-N ve C-O gerilim bandları), 1226 (C=S gerilim bandı), 860, 825, 808 (1,4-disübstitüe benzen), 708 (C-S-C, tiyofen gerilme bandı)

¹H-NMR(250 MHz) (DMSO-d₆) δ(ppm) : 2.70 (4H, m, tiyomorfolin CH₂-S-CH₂), 3.15 (1H, dd (J_{AM}= 17.84 Hz, J_{AX}= 4.45 Hz) pirazolin C₄-H_A), 3.30 (3H, s, Ar-OCH₃), 3.90 (1H, dd (J_{MA}= 17.90 Hz, J_{MX}= 11.66 Hz) pirazolin C₄-H_M), 4.25 (4H, m, tiyomorfolin CH₂-N-CH₂), 4.70 (1H, d J= 16.13 Hz, COCH geminal), 4.75 (1H, d J= 16.14 Hz, COCH geminal), 5.50 (1H, dd, pirazolin C₅-H_X), 6.85 (2H, d J= 8.69 Hz, fenil C_{2,6}-H), 7.15 (2H, d J= 8.61 Hz, fenil C_{3,5}-H ve 1H, J= 4.38 Hz, tiyofen C₄-H), 7.45 (1H, d J= 2.68 Hz, tiyofen C₃-H), 7.75 (1H, d J= 4.21 Hz, tiyofen C₅-H)

MS (FAB) m/z : 477 [M], 478 [M+1]

1-[(1-Pirolidiniltiyokarboniltiyo)asetil]-3-(2-tiyenil)-5-(4-fluorofenil)-2-pirazolin (B-21)



1-(2-Kloroasetil)-3-(2-tiyenil)-5-(4-florofenil)-2-pirazolin	0.001 mol (0.322 g)
Sodyum pirolidinil ditiyokarbamat	0.001 mol (0.205 g)

Verim : % 49 E.n.: 139 °C R_f : 0.94 R_t : 1.790 dakika

Analiz : C₂₀H₂₀FN₃OS₃

Hesaplanan : C : 55.40 H : 4.65 N : 9.69

Bulunan : C : 55.42 H : 4.66 N : 9.73

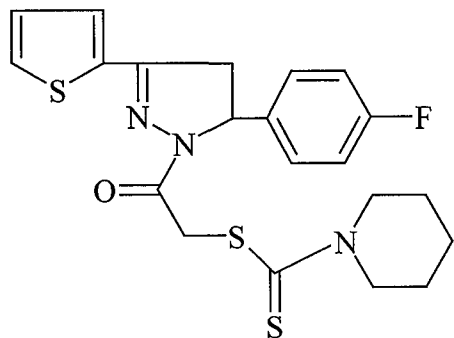
UV (EtOH) λ (nm)(log ε) : 207.6 (5.13), 318.2 (4.67)

IR (KBr) $\nu_{\text{maks}}(\text{cm}^{-1})$: 3071 (aromatik C-H gerilim bandı), 2971, 2871 (alifatik C-H gerilim bandı), 1657 (C=O gerilim bandı), 1603, 1509, 1436, 1409 (C=N ve C=C gerilim bandları), 1360, 1324, 1158, 1098 (C-N gerilim bandları), 1221 (C=S gerilim bandı), 862, 829 (1,4-disübstitüe benzen), 710 (C-S-C, tiyofen gerilme bandı)

$^1\text{H-NMR}$ (250 MHz) (DMSO- d_6) δ(ppm) : 1.85-2.00 (4H, m, pirolidin C_{3,4}-H), 3.20 (1H, dd ($J_{\text{AM}}= 18.05$ Hz, $J_{\text{AX}}= 4.69$ Hz) pirazolin C₄-H_A), 3.55-3.70 (4H, d t, pirolidin C_{2,5}-H), 3.85 (1H, dd ($J_{\text{MA}}= 17.94$ Hz, $J_{\text{MX}}= 11.66$ Hz) pirazolin C₄-H_M), 4.65 (1H, d $J= 16.18$ Hz, COCH geminal), 4.70 (1H, d $J= 16.15$ Hz, COCH geminal), 5.55 (1H, dd ($J_{\text{MX}}= 11.75$ Hz, $J_{\text{AX}}= 4.67$ Hz) pirazolin C₅-H_X), 7.10-7.25 (5H, m, fenil-H ve tiyofen C₄-H), 7.45 (1H, d $J= 2.72$ Hz, tiyofen C₃-H), 7.75 (1H, d $J= 4.12$ Hz, tiyofen C₅-H)

MS (FAB) m/z : 433 [M], 434 [M+1], 456 [M+Na]

1-[(1-Piperidiniltiyokarboniltiyo)asetil]-3-(2-tiyenil)-5-(4-fluorofenil)-2-pirazolin (B-22)



1-(2-Kloroasetil)-3-(2-tiyenil)-5-(4-fluorofenil)-2-pirazolin	0.001 mol (0.322 g)
---	------------------------

Sodyum piperidinil ditiyokarbamat 0.001 mol
 (0.219 g)

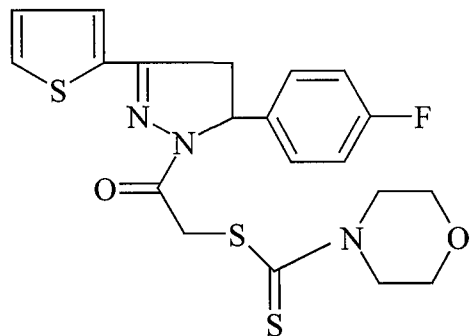
Verim : % 51 E.n.: 77-78 °C R_f: 0.89

Analiz	: C ₂₁ H ₂₂ FN ₃ OS ₃		
Hesaplanan	: C : 56.35	H : 4.95	N : 9.39
Bulunan	: C : 56.38	H : 4.97	N : 9.41

UV (EtOH) λ (nm)(log ε) : 208.6 (5.43), 319.7 (5.26)

IR (KBr) ν_{maks} (cm⁻¹) : 3070 (aromatik C-H gerilim bandı), 2989, 2935, 2854 (alifatik C-H gerilim bandı), 1652 (C=O gerilim bandı), 1508, 1473, 1448, 1415 (C=N ve C=C gerilim bandları), 1353, 1323, 1157, 1132, 1112 (C-N gerilim bandları), 1224 (C=S gerilim bandları), 831 (1,4-disübstítüe benzen), 711 (C-S-C, tiyofen gerilme bandı)

1-[(4-Morfoliniltiyokarboniltiyo)asetil]-3-(2-tiyenil)-5-(4-fluorofenil)-2-pirazolin (B-23)



1-(2-Kloroasetil)-3-(2-tiyenil)-5-(4-florofenil)-2-pirazolin 0.001 mol
 (0.322 g)

Sodyum morfolinil ditiyokarbamat 0.001 mol
 (0.221 g)

Verim : % 53 E.n.: 119 °C R_f: 0.86

Analiz : C₂₀H₂₀FN₃O₂S₃

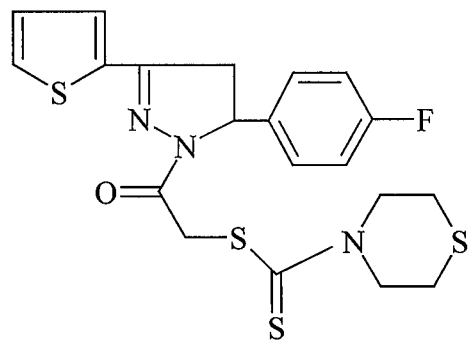
Hesaplanan : C : 53.43 H : 4.48 N : 9.35

Bulunan : C : 53.44 H : 4.48 N : 9.36

UV (EtOH) λ (nm)(log ε) : 208.8 (4.80), 318.5 (4.57)

IR (KBr)v_{maks}(cm⁻¹) : 3099, 3080, 3070 (aromatik C-H gerilim bandı), 2987, 2968, 2918, 2893 (alifatik C-H gerilim bandı), 1664 (C=O gerilim bandı), 1602, 1508, 1448, 1409 (C=N ve C=C gerilim bandları), 1355, 1328, 1110 (C-N ve C-O gerilim bandları), 1228 (C=S gerilim bandı), 831 (1,4-disübstitüe benzen), 721 (C-S-C, tiyofen gerilme bandı)

1-[(4-Tiyomorfoliniltiyokarboniltiyo)asetil]-3-(2-tiyenil)-5-(4-fluorofenil)-2-pirazolin (B-24)



1-(2-Kloroasetil)-3-(2-tiyenil)-5-(4-florofenil)-2-pirazolin 0.001 mol
 (0.322 g)

Sodyum tiyomorfolinil ditiyokarbamat 0.001 mol
 (0.237 g)

Verim : % 56 E.n.: 171-2 °C R_f : 0.88 R_t : 1.867 dakika

Analiz : C₂₀H₂₀FN₃OS₄

Hesaplanan : C : 51.59 H : 4.33 N : 9.02

Bulunan : C : 51.58 H : 4.31 N : 9.00

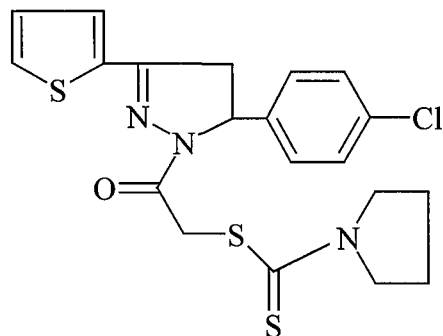
UV (EtOH) λ (nm)(log ε) : 208.4 (5.08), 318.6 (4.84)

IR (KBr) ν_{maks} (cm⁻¹) : 3097, 3076, 3033 (aromatik C-H gerilim bandı), 2974, 2948, 2904, 2850 (alifatik C-H gerilim bandı), 1662 (C=O gerilim bandı), 1602, 1508, 1448, 1413 (C=N ve C=C gerilim bandları), 1352, 1323, 1190, 1139 (C-N gerilim bandları), 1228 (C=S gerilim bandı), 831 (1,4-disübstitüe benzen), 721 (C-S-C, tiyofen gerilme bandı)

¹H-NMR(250 MHz) (DMSO-*d*₆) δ(ppm) : 2.70 (4H, m, tiyomorfolin CH₂-S-CH₂), 3.20 (1H, dd (*J*_{AM}= 17.99 Hz, *J*_{AX}= 4.68 Hz) pirazolin C₄-H_A), 3.95 (1H, dd (*J*_{MA}= 17.98 Hz, *J*_{MX}= 11.69 Hz) pirazolin C₄-H_M), 4.25 (4H, m, tiyomorfolin CH₂-N-CH₂), 4.65 (1H, d *J*= 16.21 Hz, COCH geminal), 4.70 (1H, d *J*= 16.20 Hz, COCH geminal), 5.60 (1H, dd (*J*_{MX}= 11.56 Hz, *J*_{AX}= 4.48 Hz) pirazolin C₅-H_X), 7.10-7.25 (5H, m, fenil-H ve tiyofen C₄-H), 7.45 (1H, d *J*= 2.75 Hz, tiyofen C₃-H), 7.75 (1H, d *J*= 4.99 Hz, tiyofen C₅-H)

MS (FAB) m/z : 466 [M+1]

1-[(1-Pirolidiniltiyokarboniltiyo)asetil]-3-(2-tiyenil)-5-(4-klorofenil)-2-pirazolin (B-25)



1-(2-Kloroasetil)-3-(2-tiyenil)-5-(4-klorofenil)-2-pirazolin	0.001 mol (0.339 g)
Sodyum pirolidinil ditiyokarbamat	0.001 mol (0.205 g)

Verim : % 64 E.n.: 108 °C R_f: 0.90 R_t : 1.988 dakika

Analiz : C₂₀H₂₀ClN₃OS₃

Hesaplanan : C : 53.38 H : 4.48 N : 9.34

Bulunan : C : 53.35 H : 4.45 N : 9.31

UV (EtOH) λ (nm)(log ε) : 208.4 (5.07), 320.4 (4.68)

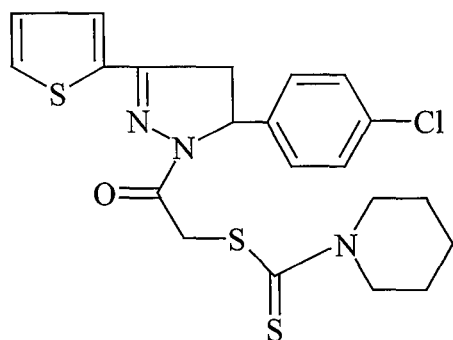
IR (KBr) $\nu_{\text{maks}}(\text{cm}^{-1})$: 3093, 3074, 3047 (aromatik C-H gerilim bandı), 2966, 2902, 2867 (alifatik C-H gerilim bandı), 1677 (C=O gerilim bandı), 1595, 1525, 1468, 1406 (C=N ve C=C gerilim bandları), 1359, 1328, 1184, 1163, 1141 (C-N gerilim bandları), 1234 (C=S gerilim bandları), 865, 825 (1,4-disübstitüe benzen), 719 (C-S-C, tiyofen gerilme bandı)

¹H-NMR(250 MHz) (DMSO-*d*₆) δ(ppm) : 1.80-2.00 (4H, iki grup m, pirolidin C_{3,4}-H), 3.20 (1H, dd (J_{AM}= 17.97 Hz, J_{AX}= 4.76 Hz) pirazolin C₄-H_A), 3.55-3.75

(4H, d t, pirolidin C_{2,5}-H), 3.90 (1H, dd ($J_{MA} = 18.01$ Hz, $J_{MX} = 11.79$ Hz) pirazolin C₄-H_M), 4.60 (1H, d $J = 16.18$ Hz, COCH geminal), 4.65 (1H, d $J = 16.19$ Hz, COCH geminal), 5.55 (1H, dd ($J_{MX} = 11.66$ Hz, $J_{AX} = 4.67$ Hz) pirazolin C₅-H_X), 7.10 (1H, t $J = 2.51$ Hz, tiyofen C₄-H), 7.20 (2H, dd $J = 8.51$ Hz, fenil C_{2,6}-H), 7.40 (2H, dd $J = 8.48$ Hz, fenil C_{3,5}-H), 7.45 (1H, d $J = 2.73$ Hz, tiyofen C₃-H), 7.75 (1H, d $J = 5.04$ Hz, tiyofen C₅-H)

MS (FAB) m/z : 450 [M], 451 [M+1], 452 [M+2]

1-[(1-Piperidiniltiyokarboniltiyo)asetil]-3-(2-tiyenil)-5-(4-klorofenil)-2-pirazolin (B-26)



1-(2-Kloroasetil)-3-(2-tiyenil)-5-(4-klorofenil)-2-pirazolin	0.001 mol (0.339 g)
--	------------------------

Sodyum piperidinil ditiyokarbamat	0.001 mol (0.219 g)
-----------------------------------	------------------------

Verim : % 63	E.n.: 109 °C	R _f : 0.92	R _t : 1.988 dakika
--------------	--------------	-----------------------	-------------------------------

Analiz	: C ₂₁ H ₂₂ ClN ₃ OS ₃
--------	--

Hesaplanan	: C : 54.35	H : 4.78	N : 9.05
------------	-------------	----------	----------

Bulunan	: C : 54.31	H : 4.73	N : 9.02
---------	-------------	----------	----------

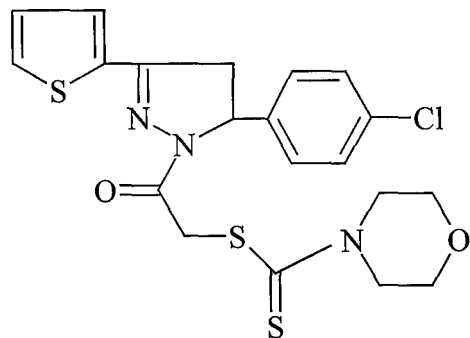
UV (EtOH) λ (nm)(log ε) : 208.6 (5.11), 320.2 (4.77)

IR (KBr) $\nu_{\text{maks}}(\text{cm}^{-1})$: 3078 (aromatik C-H gerilim bandı), 2989, 2933, 2850 (alifatik C-H gerilim bandı), 1664 (C=O gerilim bandı), 1593, 1521, 1490, 1448, 1409 (C=N ve C=C gerilim bandları), 1355, 1323, 1134, 1107 (C-N gerilim bandları), 1224 (C=S gerilim bandları), 819 (1,4-disübstítü benzen), 711 (C-S-C, tiyofen gerilme bandı)

$^1\text{H-NMR}$ (250 MHz) (DMSO- d_6) δ (ppm) : 1.60 (6H, m, piperidin C_{3,4,5}-H), 3.25 (1H, dd ($J_{\text{AM}}= 17.96$ Hz, $J_{\text{AX}}= 4.78$ Hz) pirazolin C₄-H_A protonu), 3.95 (1H, dd ($J_{\text{MA}}= 17.90$ Hz, $J_{\text{MX}}= 11.80$ Hz) pirazolin C₄-H_M), 4.20 (4H, m, piperidin C_{2,6}-H), 4.70 (1H, d $J= 16.18$ Hz, COCH geminal), 4.75 (1H, d $J= 16.21$ Hz, COCH geminal), 5.60 (1H, dd ($J_{\text{MX}}= 11.55$ Hz, $J_{\text{AX}}= 4.72$ Hz) pirazolin C₅-H_X), 7.20 (1H, t $J= 4.35$ Hz, tiyofen C₄-H), 7.30 (2H, dd $J= 8.52$ Hz, fenil C_{2,6}-H), 7.45 (2H, dd $J= 8.42$ Hz, fenil C_{3,5}-H), 7.50 (1H, d $J= 3.54$ Hz, tiyofen C₃-H), 7.80 (1H, d $J= 4.97$ Hz, tiyofen C₅-H)

MS (FAB) m/z : 464 [M], 465 [M+1], 466 [M+2]

1-[(4-Morfoliniltiyokarboniltiyo)asetil]-3-(2-tiyenil)-5-(4-klorofenil)-2-pirazolin (B-27)



1-(2-Kloroasetil)-3-(2-tiyenil)-5-(4-klorofenil)-2-pirazolin	0.001 mol (0.339 g)
--	------------------------

Sodyum morfolinil ditiyokarbamat 0.001 mol
 (0.221 g)

Verim : % 66 E.n.: 90-92 °C R_f : 0.84 R_t : 1.767 dakika

Analiz : C₂₀H₂₀ClN₃O₂S₃

Hesaplanan : C : 51.54 H : 4.33 N : 9.02

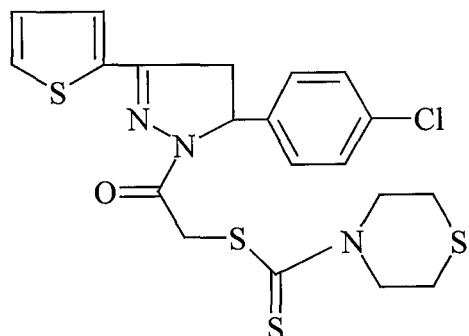
Bulunan : C : 51.51 H : 4.30 N : 9.01

UV (EtOH) λ (nm)(log ε) : 208.6 (4.94), 320.1 (4.68)

IR (KBr)v_{maks}(cm⁻¹) : 3082 (aromatik C-H gerilim bandı), 2964, 2914, 2896, 2852 (alifatik C-H gerilim bandı), 1662 (C=O gerilim bandı), 1593, 1523, 1490, 1450, 1408 (C=N ve C=C gerilim bandları), 1359, 1323, 1112 (C-N ve C-O gerilim bandları), 1230 (C=S gerilim bandları), 864, 823 (1,4-disübstütüe benzen), 711 (C-S-C, tiyofen gerilme bandı)

MS (FAB) m/z : 466 [M], 467 [M+1], 468 [M+2]

1-[(4-Tiyomorfoliniltiyokarboniltiyo)asetil]-3-(2-tiyenil)-5-(4-klorofenil)-2-pirazolin (B-28)



1-(2-Kloroasetil)-3-(2-tiyenil)-5-(4-klorofenil)-2-pirazolin 0.001 mol
 (0.339 g)

Sodyum tiyomorfolinil ditiyokarbamat 0.001 mol
(0.237 g)

Verim : % 67 E.n.: 166 °C R_f: 0.93

Analiz : C₂₀H₂₀ClN₃OS₄

Hesaplanan : C : 49.83 H : 4.18 N : 8.72

Bulunan : C : 49.82 H : 4.15 N : 8.70

UV (EtOH)λ(nm)(log ε) : 212.8 (4.87), 318.5 (4.62)

IR (KBr)v_{maks}(cm⁻¹) : 3097, 3076 (aromatik C-H gerilim bandları), 2972, 2950, 2904 (alifatik C-H gerilim bandları), 1662 (C=O gerilim bandı), 1593, 1523, 1488, 1448, 1411 (C=N ve C=C gerilim bandları), 1353, 1323, 1190, 1137 (C-N gerilim bandları), 1228 (C=S gerilim bandları), 840, 813 (1,4-disübstitüe benzen), 721 (C-S-C, tiyofen gerilme bandı)

¹H-NMR(250 MHz) (DMSO-d₆) δ(ppm) : 2.80 (4H, m, tiyomorfolin CH₂-S-CH₂), 3.30 (1H, dd (J_{AM}= 17.97 Hz, J_{AX}= 4.70 Hz) pirazolin C₄-H_A), 4.00 (1H, dd (J_{MA}= 17.97 Hz, J_{MX}= 11.83 Hz) pirazolin C₄-H_M), 4.30 (4H, m, tiyomorfolin CH₂-N-CH₂), 4.65 (1H, d J= 16.20 Hz, COCH geminal), 4.70 (1H, d J= 16.21 Hz, COCH geminal), 5.65 (1H, dd (J_{MX}= 11.73 Hz, J_{AX}= 4.63 Hz) pirazolin C₅-H_X), 7.20 (1H, t J= 4.33 Hz, tiyofen C₄-H), 7.30 (2H, dd J= 8.49 Hz, fenil C_{2,6}-H), 7.40 (2H, dd J= 8.48 Hz, fenil C_{3,5}-H), 7.55 (1H, d J= 2.71 Hz, tiyofen C₃-H), 7.80 (1H, d J= 4.24 Hz, tiyofen C₅-H)

MS (FAB) m/z : 482 [M], 483 [M+1], 484 [M+2]

4.2. Antimikrobiyal etki çalışmaları

Antibakteriyel ve antifungal aktivite testleri, mikrobroth dilüsyon test tekniği kullanılarak gerçekleştirildi.

4.2.1. Antimikrobiyal testler için mikroorganizmaların canlandırılması

Liyofilize kültürler halinde bulunan bakteriler, tüplerden aseptik şartlar altında çıkarılmış ve canlandırılmak üzere nutrient broth tüplerine aktarılmıştır. 37 °C’de 24 saatlik inkübasyon süresi sonunda, kültürlerin nutrient agar plaklarına tek koloni ekimleri yapılarak tekrar inkübasyona bırakılmıştır. Bu süre sonunda mikroorganizmaların saflikleri kontrol edilmiş ve önceden hazırlanan ve içlerinde 1.5 mL % 15’lik steril gliserol çözeltisi bulunan 2 mL’lik mikro-reaksiyon tüplerine (eppendorf) bir öze dolusu aktarılmışlardır. Bu tüpler, daha sonra kullanılmak üzere –80 °C’de saklanmıştır.

–80 °C’de % 15’lik gliserolde saklanan stok maya kültürleri ve liyofilize haldeki filamentli funguslar ise, yatık sabouraud dextrose agar tüplerine inoküle edilmiş, gelişikten sonra ağızları parafilmle kapatılıp daha sonra kullanmak üzere +4 °C’de saklanmıştır.

4.2.2. Agar difüzyon tekniği

4.2.2.1. Bakteri ve mayalar

Stok bakteri ve maya kültürleri canlandırılmak üzere –80 °C’den çıkartılmış bakteriler, Mueller Hinton agar bulunan petrilere, mayalar ise yeast ekstrakt agar besiyerine ekilmiştir. Bakteriler 24 saat süre ile 37 °C’de, mayalar ise 24 saat süre ile 28 °C’de inkübasyona bırakılmıştır. İnkübasyon sonunda besiyeri üzerinde gelişen kolonilerinden alınarak, bakteriler 10 mL Mueller Hilton broth, mayalar ise 10 mL yeast ekstrakt broth bulunan tüplere aktarılmış ve tekrar 24 saat inkübasyona bırakılmıştır. 18-24 saat’lik inkübasyondan sonra sıvı besiyerinde gelişen kültürlerin Mc Farland No: 0.5 (yaklaşık 10^8 cfu/mL) tüپüne göre bulanıklık ayarı yapılmıştır.

Test edilecek olan sentezlenmiş maddeler ile birlikte pozitif kontrol amacıyla, kontrol antibiyotik olarak kloramfenikol bakteriler için, kontrol

antifungal madde olarak ketokonazol funguslar için aynı şekilde test edilmiştir. Elde edilen stok çözeltilerden başlayarak sentezlenen maddelerin, içlerinde etanol bulunan deney tüplerinde iki katlı seri dilüsyonları hazırlanarak sentez maddelerinin $50 \mu\text{g}/\text{mL}$ 'den $0.0122 \mu\text{g}/\text{mL}$ 'ye kadar ($1, 1/2, 1/4, 1/8, \dots$) seri konsantrasyonları elde edilmiştir.

Her bir dilüsyona 6 mm çaplı steril disklerden 50 adet ilave edilerek, etanol yoğunlaştırılmış, sentez maddelerinin diskler tarafından emilmesi sağlanmış ve her bir disk tarafından emilen madde miktarı hesaplanmıştır. Negatif kontrol amacıyla sadece etanol içeren deney tüpüne de 50 adet steril disk ilave edilerek etanol uzaklaştırılmış ve bu diskler deney sırasında negatif kontrol olarak kullanılmış ve deneyler çift paralel olarak tekrar edilmiştir.

24 saat süre ile aktifleştirilmiş olan, bulanıklığı Mc Farland No: 0.5'e göre ayarlanan mikroorganizma kültürlerinden $250 \mu\text{L}$ alınarak bakteriler Mueller Hilton agar petrilerine, mayalar ise yeast ekstrakt agar petrilerine aktarılmış ve steril Drigalski spatülü ile yüzeye iyice yayılmıştır. Her bir dilüsyondaki, farklı konsantrasyonlarda madde emmiş olan steril diskler, mikroorganizma içeren petrilere steril pens ile yerleştirilmiş ve petriler 24-48 saat süre ile 28 ve 37°C 'de inkübasyona bırakılmıştır. İnkübasyon sonrasında diskler etrafında oluşan zonlar tespit edilmiş ve Minimal İnhibe Edici Konsantrasyonlar (MİK) belirlenmiştir [143-149].

4.2.2.2. Filamentli funguslar

Sentez edilen maddelerin filamentli funguslara karşı antifungal aktivitesinin belirlenmesi için önce 120 mm çapındaki steril cam petrilere 25'er mL sabouraud dextrose agar dökülmüş ve petriler düz bir satır üzerinde donmaya bırakılmıştır. Kullanılacak olan funguslar, 1 hafta önceden yine sabouraud dextrose agar plaklarında geliştirilmiştir. Hazırlanan %1'lik tween 80 çözeltisinden, fungusların bulunduğu petriler üzerine, misellerin yüzeyini tamamen kaplayacak şekilde aktarılmış, 30-40 dakika bekledikten sonra steril drigalski spatülü yardım ile sporlar toplanmaya çalışılmış ve steril tüplere bu solusyon aktarılmıştır. Hazırlanan spor süspansiyonundaki spor sayısı mililitresinde 10^6 spor bulunacak şekilde hazırlanmıştır. Daha sonra bu spor

solutyonundan 1'er mililitre alınarak önceden hazırlanan 120 mm çapındaki petri kaplarına aktarılmış ve steril drigalski spatülü ile sporların besiyeri üzerine tamamen yayılması sağlanmıştır. Daha sonra bu petriler, kapağı yarı açık halde steril kabin içinde kurumaya bırakılmıştır. Yüzeyleri kuruyan besiyerlerinin üzerine 4.2.2.1.'de belirtildiği şekilde hazırlanmış farklı konsantrasyonlarda sentezlenmiş maddeleri içeren diskler, steril pens ile yerleştirilmiştir. Daha sonra petriler 28 °C'de 24-48 saat inkübasyona bırakılmıştır. İnkübasyon sonrasında oluşan zonlar belirlenerek MİK değerleri belirlenmiştir. Standart antifungal madde olarak ketokonazol de sentez maddeleri gibi etanol içinde dilüe edilerek steril disklere emdirilmiş ve bu diskler pozitif kontrol olarak test edilmiştir. Deneyler çift paralel olarak tekrarlanmıştır [143-149].

4.2.3. Antimikrobiyal aktivite testlerinde kullanılan mikroorganizmalar

Antimikrobiyal etki testlerinde kullanılmak üzere farklı kaynaklardan toplam dokuz adet mikroorganizma temin edilmiştir. Bunlar Tablo 3'de gösterilmiştir.

Tablo 3. Antimikrobiyal aktivite testlerinde kullanılan mikroorganizmalar

	Mikroorganizma	Kaynak
1	<i>Staphylococcus aureus</i> (ATCC 6538)	Anadolu Üniversitesi, Biyoloji Bölümü
2	<i>Streptococcus faecalis</i> (NRRL B-14617)	Osmangazi Üniversitesi, Tıp Fakültesi
3	<i>Bacillus cereus</i> (NRRL B-3711)	Anadolu Üniversitesi, Biyoloji Bölümü
4	<i>Bacillus subtilis</i> (NRRL B-744)	Ankara Üni., Veterinerlik Fakültesi
5	<i>Aeromonas hydrophila</i>	Osmangazi Üniversitesi, Tıp Fakültesi
6	<i>Listeria monocytogenes</i>	Ankara Üniversitesi, Biyoloji Bölümü
7	<i>Yersinia enterocolitica</i>	Ankara Üniversitesi, Biyoloji Bölümü
8	<i>Fusarium culmorum</i>	Anadolu Üniversitesi, Biyoloji Bölümü
9	<i>Fusarium solani</i> (ATCC 12820)	Anadolu Üniversitesi, Biyoloji Bölümü

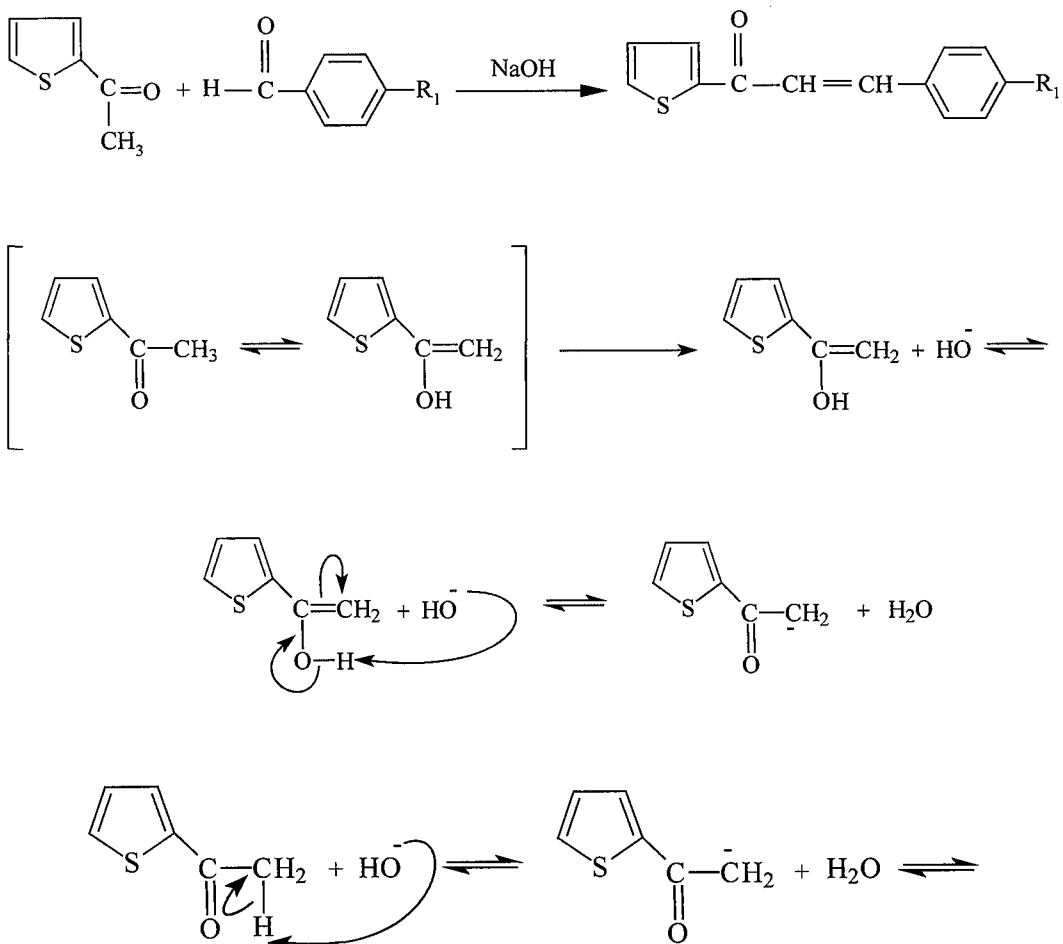
5. SONUÇ VE TARTIŞMA

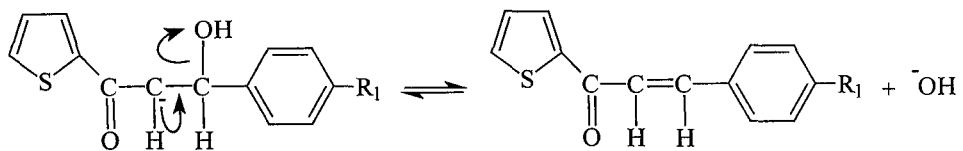
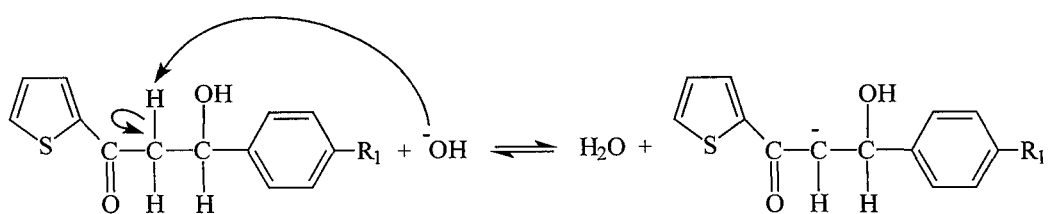
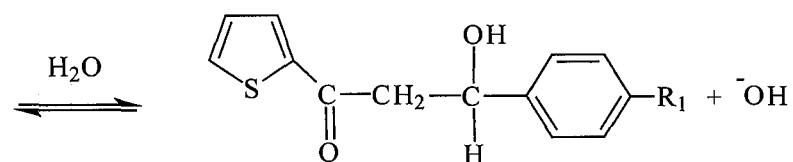
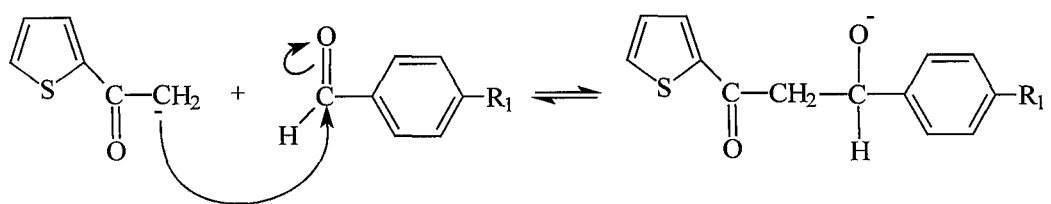
5.1. Bileşiklerin sentezi

5.1.1. 1-(2-Tiyenil)-3-aryl-2-propen-1-on türevlerinin genel sentez yöntemi

Başlangıç maddelerini oluşturan 1-(2-tiyenil)-3-aryl-2-propen-1-on türevleri; 2-asetiltiyofen ile 4-sübstitüe benzaldehit türevlerinin, alkali ortamda, etil alkol içerisindeki Claisen-Schmidt reaksiyonu sonucu elde edildi [137, 150].

Şema 1. 1-(2-Tiyenil)-3-aryl-2-propen-1-on türevlerinin elde edilişleri için önerilen mekanizma

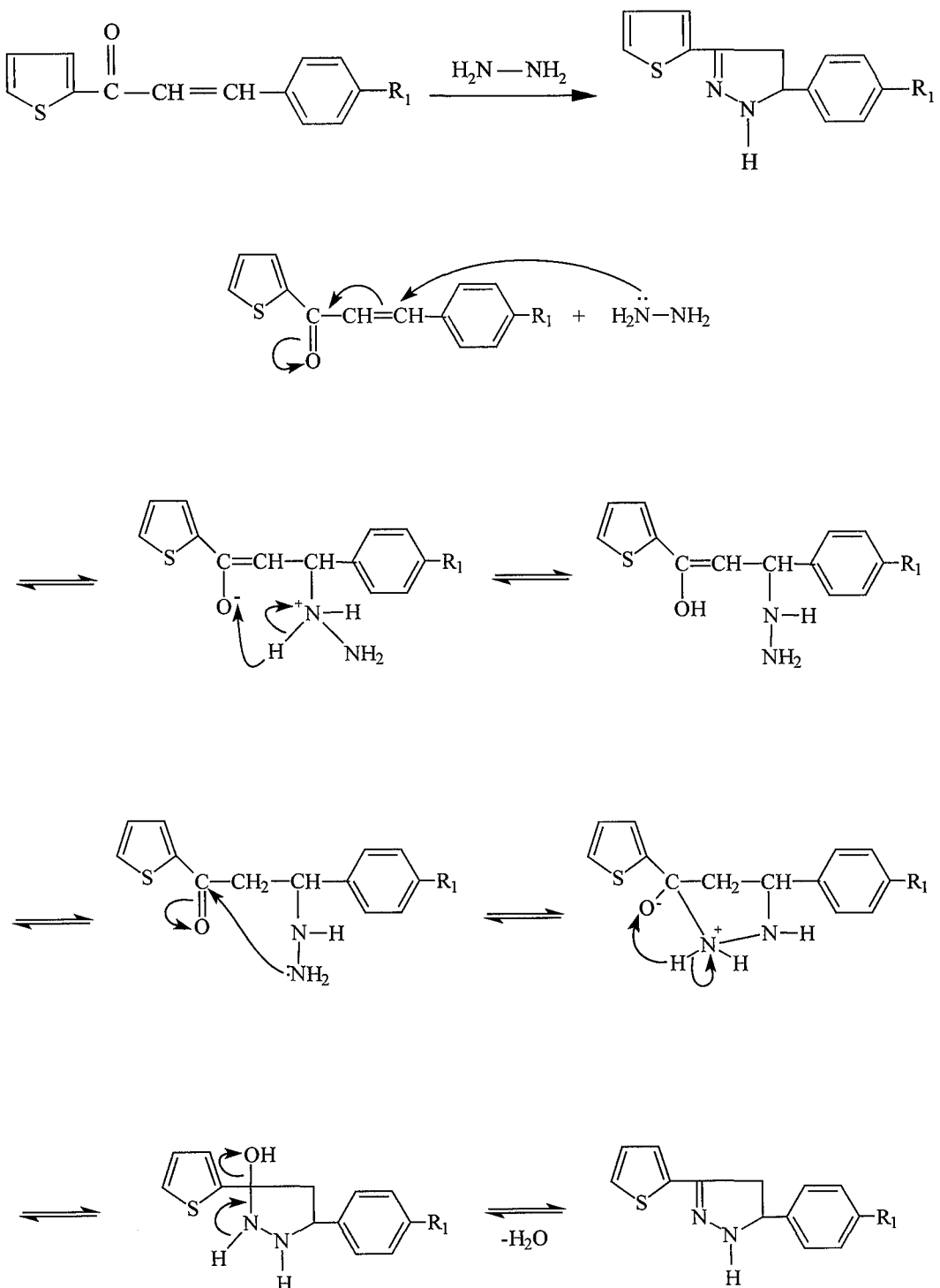




5.1.2. 3-(2-Tienenil)-5-aryl-2-pirazolin türevlerinin genel sentez yöntemi

1-(2-Tienenil)-3-aryl-2-propen-1-on türevlerinin hidrazin hidrat ile etanol içinde üç saat ısıtılması ile 3-(2-tienenil)-5-aryl-2-pirazolin türevleri elde edilmiştir.

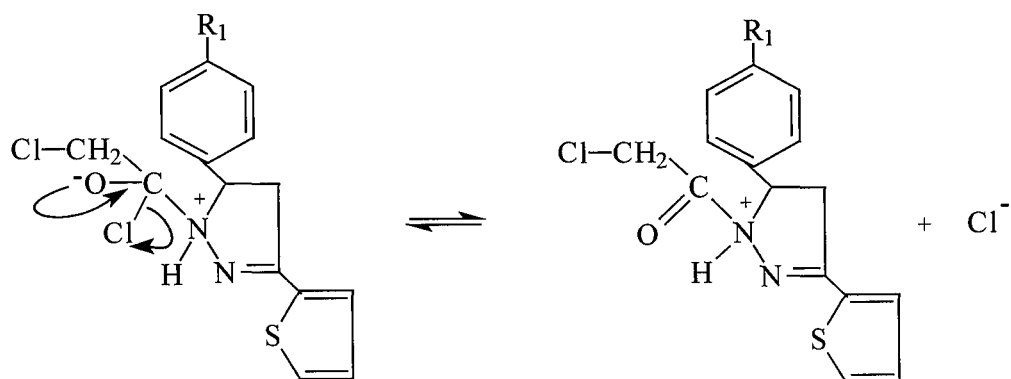
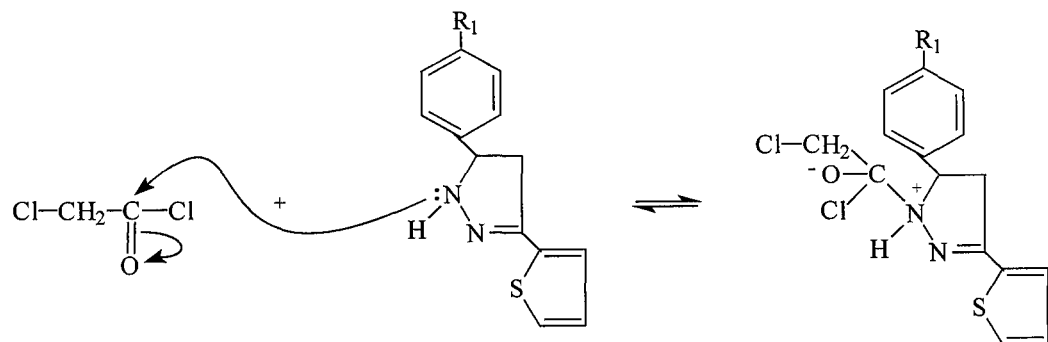
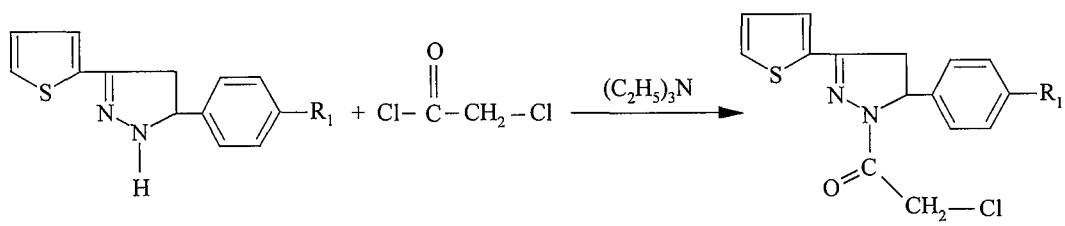
Şema 2. 3-(2-Tiyenil)-5-aryl-2-pirazolin türevlerinin elde edilişleri için önerilen mekanizma

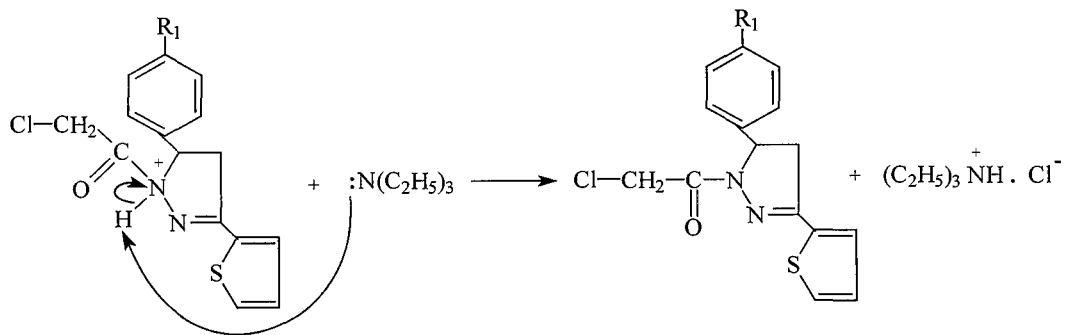


5.1.3. 1-(2-Kloroasetil)-3-(2-tiyenil)-5-aryl-2-pirazolin türevlerinin genel sentez yöntemi (A)

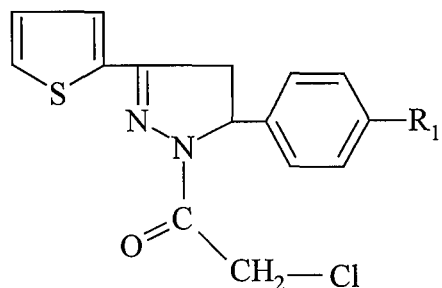
1-(2-Kloroasetil)-3-(2-tiyenil)-5-aryl-2-pirazolin türevleri, kloroasetil klorür ile 3-(2-tiyenil)-5-aryl-2-pirazolin türevlerinin, trietilamin katalizörlüğünde ve susuz toluen içinde S_N2 nükleofilik yer değiştirme reaksiyonu sonucunda elde edildi.

Şema 3. 1-(2-Kloroasetil)-3-(2-tiyenil)-5-aryl-2-pirazolin türevlerinin elde edilişleri için önerilen mekanizma





Açılışyon reaksiyonları ekzotermik reaksiyonlar oldukları için ve oluşan ısından reaksiyona giren maddelerin etkilenmesini önlemek amacıyla reaksiyon buz banyosunda sürekli karıştırılarak gerçekleştirilmiştir.



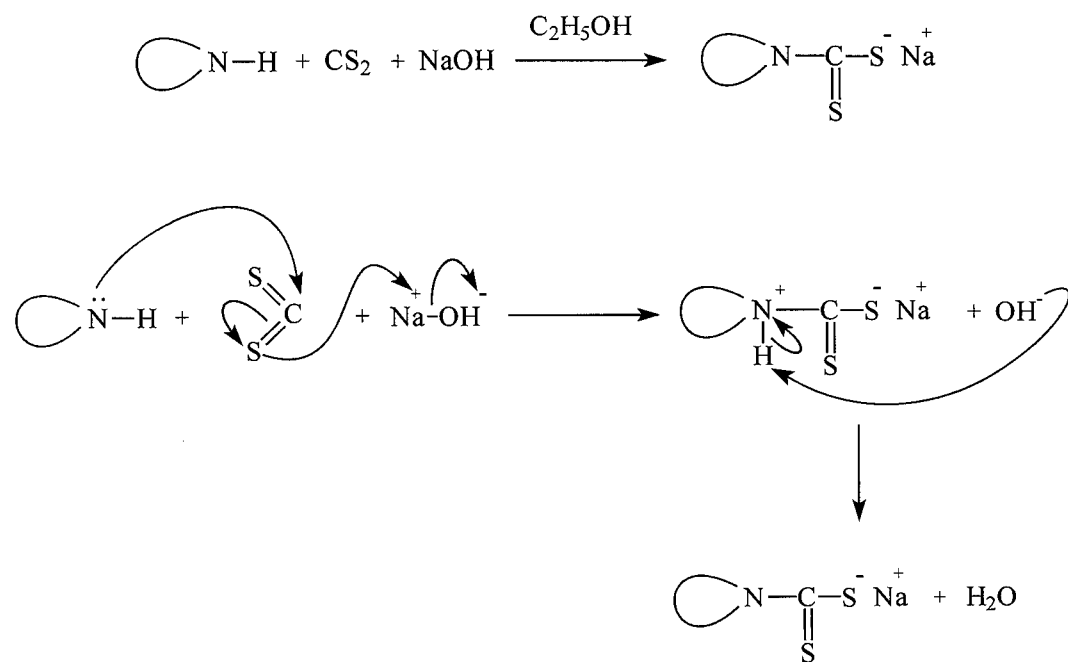
Tablo 4. A Grubu bileşiklerin kapalı formülleri, molekül ağırlıkları, erime dereceleri ve % verimleri

No	R ₁	Kapalı Formülü	Molekül Ağırlığı	E.D.(°C) Deneysel	E.D.(°C) Literatür	Verim (%)
A-1	H	C ₁₅ H ₁₃ ClN ₂ OS	304.8	126	-	76
A-2	CH ₃	C ₁₆ H ₁₅ ClN ₂ OS	318.8	130	-	62
A-3	N(CH ₃) ₂	C ₁₇ H ₁₈ ClN ₃ OS	347.8	145	-	78
A-4	OH	C ₁₅ H ₁₃ ClN ₂ O ₂ S	320.8	250	-	69
A-5	OCH ₃	C ₁₆ H ₁₅ ClN ₂ O ₂ S	334.8	120	124 [143]	68
A-6	F	C ₁₅ H ₁₂ ClFN ₂ OS	322.7	143-144	-	64
A-7	Cl	C ₁₅ H ₁₂ Cl ₂ N ₂ OS	339.2	118	148 [143]	73

5.1.4 N,N-Disübstitüe ditiyokarbamik asid tuzlarının genel sentez yöntemi

Sekonder aminler, sodyum hidroksitli ortamda, karbon sülfürle bir saat reaksiyona tabi tutularak N,N-disübstitüe ditiyokarbamik asid türevlerinin sodyum tuzları elde edildi.

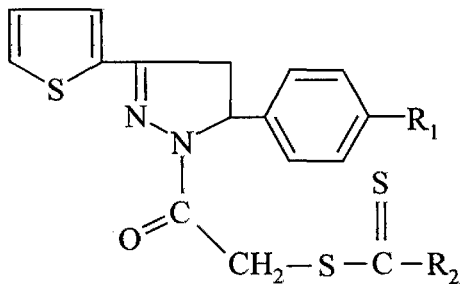
Şema 4. N,N-Disübstitüe ditiyokarbamik asid sodyum tuzu türevlerinin elde edilişleri için önerilen mekanizma



Reaksiyon buz banyosunda sürekli karıştırılarak gerçekleştirilmiştir.

5.1.5. 1-[(N,N-Disübstitüteiyokarboniltiyo)asetil]-3-(2-tiyenil)-5-aryl-2-pirazolin türevlerinin genel sentez yöntemi (B)

Alkil halojenürlerin, ditiyokarbamat tuzları ile reaksiyonu organik kimyada kullanılan nükleofilik yerdeğiştirme reaksiyonlarından biridir. Reaksiyon çözücü olarak aseton tercih edilmiştir.



Tablo 5. B grubu bileşiklerin kapalı formülleri, molekül ağırlıkları, erime dereceleri ve % verimleri

No	R ₁	R ₂	Kapalı Formül	Molekül Ağırlığı	E.D. (°C)	Verim (%)
B-1	H	Pirolidin-1-il	C ₂₀ H ₂₁ N ₃ OS ₃	415.6	149	45
B-2	H	Piperidin-1-il	C ₂₁ H ₂₃ N ₃ OS ₃	429.6	105-106	52
B-3	H	Morfolin-1-il	C ₂₀ H ₂₁ N ₃ O ₂ S ₃	431.6	144	48
B-4	H	Tiyomorfolin-1-il	C ₂₀ H ₂₁ N ₃ OS ₄	447.6	161	50
B-5	CH ₃	Pirolidin-1-il	C ₂₁ H ₂₃ N ₃ OS ₃	429.6	98	41
B-6	CH ₃	Piperidin-1-il	C ₂₂ H ₂₅ N ₃ OS ₃	443.6	110-113	47
B-7	CH ₃	Morfolin-1-il	C ₂₁ H ₂₃ N ₃ O ₂ S ₃	445.6	116-118	49
B-8	CH ₃	Tiyomorfolin-1-il	C ₂₁ H ₂₃ N ₃ OS ₄	461.6	91-93	51
B-9	N(CH ₃) ₂	Pirolidin-1-il	C ₂₂ H ₂₆ N ₄ OS ₃	458.6	83-84	65
B-10	N(CH ₃) ₂	Piperidin-1-il	C ₂₃ H ₂₈ N ₄ OS ₃	472.7	89	68
B-11	N(CH ₃) ₂	Morfolin-1-il	C ₂₂ H ₂₆ N ₄ O ₂ S ₃	474.6	86	69
B-12	N(CH ₃) ₂	Tiyomorfolin-1-il	C ₂₂ H ₂₆ N ₄ OS ₄	490.7	87	71
B-13	OH	Pirolidin-1-il	C ₂₀ H ₂₁ N ₃ O ₂ S ₃	431.6	121-123	49
B-14	OH	Piperidin-1-il	C ₂₁ H ₂₃ N ₃ O ₂ S ₃	445.6	180-182	50
B-15	OH	Morfolin-1-il	C ₂₀ H ₂₁ N ₃ O ₃ S ₃	447.6	203	56
B-16	OH	Tiyomorfolin-1-il	C ₂₀ H ₂₁ N ₃ O ₂ S ₄	463.6	208	58
B-17	OCH ₃	Pirolidin-1-il	C ₂₁ H ₂₃ N ₃ O ₂ S ₃	445.6	73	56
B-18	OCH ₃	Piperidin-1-il	C ₂₂ H ₂₅ N ₃ O ₂ S ₃	459.6	79	53
B-19	OCH ₃	Morfolin-1-il	C ₂₁ H ₂₃ N ₃ O ₃ S ₃	461.6	84	57
B-20	OCH ₃	Tiyomorfolin-1-il	C ₂₁ H ₂₃ N ₃ O ₂ S ₄	477.6	168	59
B-21	F	Pirolidin-1-il	C ₂₀ H ₂₀ FN ₃ OS ₃	433.5	139	49
B-22	F	Piperidin-1-il	C ₂₁ H ₂₂ FN ₃ OS ₃	447.6	77-78	51
B-23	F	Morfolin-1-il	C ₂₀ H ₂₀ FN ₃ O ₂ S ₃	449.5	119	53
B-24	F	Tiyomorfolin-1-il	C ₂₀ H ₂₀ FN ₃ OS ₄	465.6	171-172	56
B-25	Cl	Pirolidin-1-il	C ₂₀ H ₂₀ ClN ₃ OS ₃	450.0	108	64
B-26	Cl	Piperidin-1-il	C ₂₁ H ₂₂ ClN ₃ OS ₃	464.0	109	63
B-27	Cl	Morfolin-1-il	C ₂₀ H ₂₀ ClN ₃ O ₂ S ₃	466.0	90-92	66
B-28	Cl	Tiyomorfolin-1-il	C ₂₀ H ₂₀ ClN ₃ OS ₄	482.1	166	67

5.2. Spektral verilerin değerlendirilmesi

5.2.1. UV spektrumlarının değerlendirilmesi

Bileşiklerin UV spektrumları incelendiği zaman, elde edilen spektrumlar genellikle birbirleri ile benzerlik içerisindeidir. Literatürde 2-pirazolin türevleri üzerinde yapılan aromatik sübstiyonların karakteristik bandları 215-296 ve 326-360 nm olarak verilmiştir [151]. Diğer bandlar; 205-222 ve 196-294 nm'de gözlenmiştir. 2-Pirazolin (A ve B) yapısı taşıyan bileşiklerimiz sübstiyentlere bağlı olarak küçük farklar göstermekle beraber temelde benzer özelliklerde spektrumlar vermişlerdir. Bunlar yaklaşık olarak 207-220 ve 312-320 nm civarlarında birer bant vermiştir.

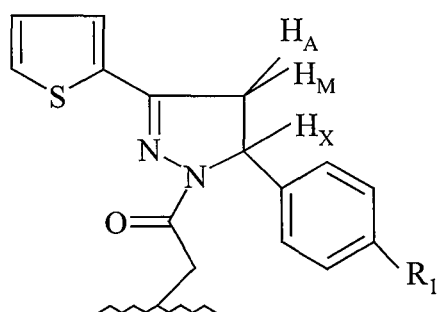
5.2.2. IR spektrumlarının değerlendirilmesi

IR spektrumlarının incelenmesi sonucu, bileşikleri karakterize edebilecek bant gruplarının saptanması mümkün olmuştur. Tüm bileşiklerin ana yapısı, sübstiyentler dışında aynıdır. Bu nedenle spektrumlar birbirine benzemektedir. OH gerilim bandı $3307\text{-}3203\text{ cm}^{-1}$; aromatik C-H gerilim bantları $3110\text{-}3014\text{ cm}^{-1}$; alifatik C-H gerilim bantları $2993\text{-}2798\text{ cm}^{-1}$; C=O gerilim bantları $1677\text{-}1643\text{ cm}^{-1}$; C=N ve C=C gerilim bantları $1614\text{-}1402\text{ cm}^{-1}$; C-N ve C-O gerilme bantları $1365\text{-}1098\text{ cm}^{-1}$; C=S gerilme bantları $1278\text{-}1215\text{ cm}^{-1}$; 1,4-disübstiyen benzen düzlem dışı eğilme bantları $808\text{-}865\text{ cm}^{-1}$; tiyofen C-S-C gerilme bantları [153] $680\text{-}740\text{ cm}^{-1}$ aralığında gözlenmiştir.

5.2.3. $^1\text{H-NMR}$ spektrumlarının değerlendirilmesi

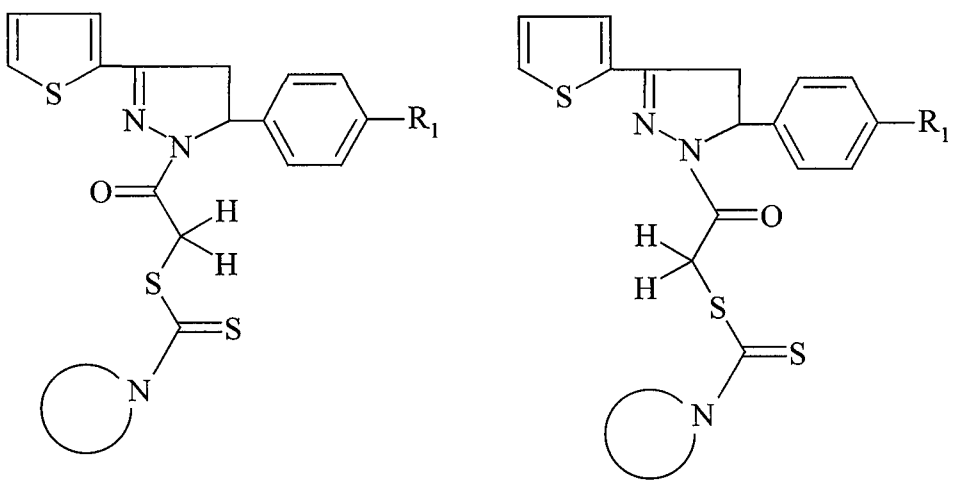
Başlangıç maddeleri olan 1-(2-kloroasetil)-3-(2-tiyenil)-5-aryl-2-pirazolin türevleriyle, sonuç maddelerini oluşturan 1-[(N,N-disübstiyen) tiyokarbonil-tyyo)asetil]-3-(2-tiyenil)-5-aryl-2-pirazolin türevlerinde yer alan, pirazolin halkası AMX spin sistemine uyan bir yapıdır. Bu sistem, kimyasal kayma değerleri birbirine yakın iki ayrı proton (A ve M) ile kimyasal kayma değeri oldukça farklı olan üçüncü bir protondan (X) oluşmaktadır. Böyle bir sistem üç farklı kimyasal kayma ile üç farklı etkileşme sabitinden (J_{AM} , J_{AX} , J_{MX}) oluşmaktadır [152-154]. 3.15'den 3.40 ppm'e kadar değişen bölgede H_A protonu ($J_{\text{AM}} = 17.96\text{-}18.08\text{ Hz}$)'e

kadar değişen, geminal eşleşme sabiti, $J_{AX} = 4.20\text{-}4.70$ Hz'e kadar değişen, visinal eşleşme sabiti) iki dublet şeklinde, 3.95'den 4.00 ppm'e kadar değişen bölgede H_M protonu ($J_{AM} = 17.94\text{-}18.07$ Hz'e kadar değişen, geminal eşleşme sabiti, $J_{MX} = 11.56\text{-}11.74$ Hz'e kadar değişen, visinal eşleşme sabiti) iki dublet şeklinde ve 5.45'den 5.65 ppm'e kadar değişen bölgede H_X protonu ($J_{AX} = 4.20\text{-}4.70$ Hz'e ve $J_{MX} = 11.46\text{-}11.75$ Hz'e kadar değişen, visinal eşleşme sabiti) iki dublet şeklinde rezonans vermektedir.



Pirazolin halkasının 5 nolu konumunda bulunan fenil halkasının 4 nolu konumundan yapılan sübstiyüsyonla oluşan türevlerde, aromatik protonlardan $C_2\text{-H}$ ve $C_6\text{-H}$ protonları 6.60-7.30 ppm bölgesinde dublet ($J = 8.44\text{-}8.72$ Hz) veya multiplet, $C_3\text{-H}$ ve $C_5\text{-H}$ protonları 7.00-7.45 ppm bölgesinde dublet, iki dublet ($J = 8.42\text{-}8.70$ Hz) veya multiplet olarak gözlenmiştir. Pirazolin halkasının 3 nolu konumunda bulunan tiyofen halkasının aromatik protonlarından, $C_3\text{-H}$ protonu 7.45-7.55 ppm bölgesinde singlet veya dublet ($J = 2.62\text{-}3.63$ Hz) olarak, $C_4\text{-H}$ protonu 7.10-7.20 ppm bölgesinde triplet veya multiplet olarak, $C_5\text{-H}$ protonu 7.75-7.85 ppm bölgesinde singlet veya dublet ($J = 4.10\text{-}5.08$ Hz) olarak elde edilmişlerdir.

Başlangıç maddeleri olan 1-(2-kloroasetil)-3-(2-tiyenil)-5-aryl-2-pirazolin türevleri (A) ve sonuç maddelerinde (B) pirazolin halkasının birinci konumuna bağlı olan asetil yapısının metilen protonları, 4.55'den 4.75 ppm'e kadar değişen bölgede ($J = 13.70\text{-}16.20$ Hz) iki adet dublet olarak rezonans vermiştir. Bu geminal yarılmmanın nedeni; molekülün sterik yapısından kaynaklanmaktadır. Protonların hareket serbestliğinin engellenmiş olması sebebiyle oluşan farklı iki olası konformasyondan dolayı bu geminal protonlar duble dublet olarak gözlenmiştir.



B-13 ve B-16 bileşiklerindeki aromatik hidroksil protonları, 9.30-9.35 ppm'de singlet olarak kaydedilmiştir. A-2 bileşigidenki aromatik metil protonları beklendiği gibi 2.31 ppm'de singlet olarak gözlemlenmiştir. B-6, B-7 ve B-8 bileşigidenki aromatik metil protonları 2.20-2.25 ppm'de singlet pik olarak rezonans vermiştir. B-18, B-19 ve B-20 bileşigidenki aromatik metoksi protonları 3.30-3.70 ppm'de singlet olarak kaydedilmiştir. B-9, B-10 ve B-12 bileşigidenki dimetilamino grubunun metil protonları 2.85-2.90 ppm'de singlet olarak rezonans vermiştir.

Pirazolin halkasının birinci konumundan bağlı bulunan asetil yapısına N,N-disübstitüue dityiyokarbamik asit sodyum tuzu türevleri bağlandığında, bunlardan; piperidine ait C₃-H, C₄-H ve C₅-H protonları 1.50'den 1.70 ppm'e kadar değişen bölgede multiplet veya yayvan pik olarak rezonans vermiştir. 2.95'den 4.20 ppm'e kadar değişen bölgede piperidinin C₂-H ve C₆-H protonları multiplet veya yayvan pik olarak gözlemlenmiştir. Pirolidine ait C₃-H ve C₄-H protonları multiplet veya iki multiplet olarak 1.80'den 2.10 ppm'e kadar değişen bölgede elde edilmiştir. 3.55'den 3.80 ppm'e kadar değişen bölgede pirolidinin C₂-H ve C₅-H protonları iki triplet olarak rezonans vermiştir. Morfoline ait C₃-H ve C₅-H protonları 3.60'dan 3.70 ppm'e kadar değişen bölgede multiplet olarak elde edilmiştir. 3.90'dan 3.95 ppm'e kadar değişen bölgede C₂-H ve C₆-H protonları multiplet pik olarak gözlemlenmiştir. Tiyomorfoline ait C₃-H ve C₅-H protonları 2.60'den 2.80 ppm'e kadar değişen bölgede multiplet olarak rezonans

vermiştir. 4.10'den 4.60 ppm'e kadar değişen bölgede C₂-H ve C₆-H protonları multiplet pik olarak elde edilmiştir.

5.2.4. Kütle (FAB) spektrumlarının değerlendirilmesi

Kütle (FAB) tekniği, spektrumları alınan bileşiklerimizin parçalanma ürünleri hakkında fazla açıklayıcı olmamakla beraber, bileşiklerin M ve M+1 değerleri net olarak elde edilmiştir.

5.3. Antibakteriyel ve antifungal aktivite sonuçlarının değerlendirilmesi

Antimikroiyal aktivite sonuçları total olarak değerlendirildiğinde, A ve B grubu bileşiklerin antibakteriyel aktivitelerinin antifungal aktivitelerinden daha fazla olduğu gözlemlenmiştir.

Pirazolin halkasına 5 nolu konumdan bağlı bulunan fenil halkasının 4 nolu konumunda -N(CH₃)₂ bulunması durumunda A-3 ve B-9 bileşiklerinin, *S. aureus* suşu üzerinde, referans antibiyotik olan kloramfenikol'den daha düşük inhibisyon konsantrasyonuna sahip olduğu gözlemlenmiştir. Bu molekülün lipofilik olduğu durumlarda sıklıkla karşılaşılan bir olaydır. Dimetilamino ve metoksi gruplarını içeren bileşiklerimizde bakterilere karşı aktivitedeki artışı, dimetilamino ve metoksi sübstiyentlerinin elektron hareketliliğine dayandırabiliriz. Dimetilamino ile sübstiyue bileşiklerimizin antibakteriyel etkisi, metoksi ile sübstiyue bileşiklerimizden daha fazladır. Bunun nedeni dimetilamino grubu ile sübstiyue moleküllerin doğal lipofilik karakterlerinin daha fazla olmasıdır [72]. B-17 bileşiği *S. aureus* suşuna kloramfenikol ile aynı konsantrasyonda etki göstermiştir. Antibakteriyel aktivitesi yapılan diğer bileşiklerin, *S. aureus* suşu üzerine değişik oranlarda aktivite gösterdikleri saptanmıştır.

A-3, B-9, B-10 bileşiklerinin *A. hydrophila* suşu üzerinde, referans antibiyotik olan kloramfenikol ile aynı konsantrasyonda etki göstermiştir. Antimikroiyal aktivitesi yapılan diğer bileşiklerin, *A. hydrophila* suşu üzerine değişik oranlarda aktivite gösterdikleri saptanmıştır.

B. cereus, *B. subtilis*, *Y. enterocolitica*, *L. monocytogenes*, *S. faecalis*, *F. solani*, *F. culmorum* suşlarına sentezlenen bileşiklerin değişik oranlarda aktivite gösterdikleri bulunmuştur.

Sentezlenen A ve B grubu maddeler *F. solani* ve *F. culmorum* funguslarına karşı 25-50 µg/mL konsantrasyonlarda aktivite göstermiştir.

Yapı-etki ilişkileri irdelendiğinde, dimetilamin ve metoksi gruplarını içeren bileşiklerimiz hariç, sübstitüent değişikliğinin aktivite üzerine herhangi bir etkisinin olmadığı sonucuna varılmıştır.

Tablo 6. Antibakteriyel ve antifungal aktivite sonuçları ($\mu\text{g/mL}$)

Maddeler	BAKTERİLER							FUNGUSLAR	
	A	B	C	D	E	F	G	H	I
A-3	12.5	6.25	0.0976	0.0976	0.0976	0.3906	6.25	25	25
A-5	25	6.25	0.2928	0.3906	6.25	3.125	12.5	50	25
B-5	12.5	25	6.25	25	50	25	25	50	25
B-6	6.25	12.5	12.5	12.5	25	6.25	6.25	25	50
B-8	50	50	25	50	50	25	25	50	25
B-9	12.5	12.5	0.0976	0.0976	1.5616	12.5	6.25	25	50
B-10	12.5	12.5	0.0976	0.1953	0.0976	6.25	3.125	25	50
B-12	6.25	25	0.1952	0.3906	0.7808	12.5	12.5	50	50
B-13	50	50	25	50	50	50	50	50	50
B-14	50	50	25	25	25	50	50	50	50
B-17	25	50	0.2928	0.5859	6.25	25	25	25	50
B-18	25	25	0.3904	0.7812	3.1232	25	12.5	25	25
B-21	50	50	25	25	25	25	50	50	25
B-22	6.25	12.5	0.7812	12.5	12.5	1.5625	6.25	25	25
B-23	25	12.5	25	50	25	12.5	25	50	50
B-25	50	50	25	50	50	50	50	50	50
B-26	50	25	0.3906	12.5	12.5	50	25	50	50
B-28	50	50	50	25	50	50	50	50	50
X	0.0976	0.0488	0.0976	0.1953	0.0488	0.0244	0.0122	-	-
Y	-	-	-	-	-	-	-	0.04	0.08

X: Kloramfenikol

Y: Ketokonazol

A = *Bacillus cereus*, **B** = *Bacillus subtilis*, **C** = *Aeromonas hydrophila*, **D** = *Staphylococcus aureus*, **E** = *Yersinia enterocolitica*, **F** = *Listeria monocytogenes*, **G** = *Streptococcus faecalis*, **H** = *Fusarium solani*, **I** = *Fusarium culmorum*

6. KAYNAKLAR

1. *Farmasötik Kimya*, Hacettepe Üniversitesi Eczacılık Fakültesi, Ankara, 1020, 1163 (2000).
2. KESARI, R., GUPTA, V.K., A sensitive spectrophotometric method for the determination of dithiocarbamate fungicide and its application in environmental samples, *Talanta*, **45**, 1097-1102 (1998).
3. www.hclrss.demon.co.uk/class_fungicides.html#cyclic_dithiocarbamate_fungicides
4. CHEVRIE, D., METZNER, P., Oxidation of dithiocarbamates and synthesis of a stable sulfine, *Tetrahedron Letters*, **39**, 8983-8986 (1998).
5. CLIFFORD, A.M., LICHTY, J., The reaction of diazonium salts on sodium alkyl dithiocarbamates, *Journal of American Chemical Society*, **54**, 1163-1166 (1932).
6. FUCHSMAN, C., H., MEEK, W., H., Bactericidal and fungicidal hydroxydithioaromatic acids and their derivatives, *U.S. Patent*, 3,557,194 (1969 to Ferro Corp.). C. A., **74**, 87636 (1971).
7. MAZZA, M., PAVANETTO, F., MONTANARI, L., MODENA, T., Aryl esters of N-benzyldithiocarbamic acid with antimycotic activity, *Il Farmaco*, **38(9)**, 709-712 (1983).
8. ŞAFAK, C., ERDOĞAN, H., ERTAN, M., YULUĞ, N., Synthesis of some substituted carbamodithioic acid esters and their antimicrobial activities, *Journal of Chemical Society Pakistan*, **12 (4)**, 296-301 (1990).

9. ŞAFAK, C., TÜRELİ, A., ABBASOĞLU, U., Synthesis and antimicrobial activities of some S-(benzimidazole-2-yl methyl)-N,N-disubstituted dithiocarbamates, *Doğa-Turkish Journal of Pharmacy*, **1**, 128-137 (1991).
10. ERDOĞAN, H., ŞAFAK, C., BALKAN, A., PALASKA, E., YULUĞ, N., Studies on some S-(3-methylbenzoxazolone-6-yl)-acetyl/propionyl 4-substituted piperazinocarbamodithioic acid derivatives, *Journal of Faculty of Pharmacy*, **11 (I)**, 13-20 (1991).
11. ŞAFAK, C., ERDOĞAN, H., BALKAN, A., PALASKA, E., YULUĞ, N., Synthesis and antimicrobial activities of some 3-methyl-6-[2-(N,N-disubstitutedthiocarbonylthio)propionyl]-2-benzoxazolones, *FABAD Journal of Pharmacy Sciences.*, **16**, 159-166 (1991).
12. PİLLİ, H., G., ÖZKANLI, F., ÜNLÜ, S., ŞAFAK, C., ERDOĞAN, H., ABBASOĞLU, U., S-(4-Fluorobenzoylmethyl)-N,N-disubstituteddithiocarbamate derivatives; synthesis and antimicrobial activity, *Journal of Faculty of Pharmacy*, **13 (2)**, 17-24 (1993).
13. ÖZKANLI, F., PİLLİ, G., ÜNLÜ, S., ERDOĞAN, H., ŞAFAK, C., ABBASOĞLU, U., 1-[2-(N,N-Disubstitutedthiocarbonylthio)acetylnaphthalenes: synthesis and antifungal-antibacterial activities, *J. Fac. Pharm. Gazi*, **10 (2)**, 173-182 (1993).
14. AWAD, I., M., A., Studies on the Vilsmeier-Haack reaction. Part XIII. Novel heterosyclo-substituted 4,4¹-bi-pyrazolyl dithiocarbamate derivatives, *J. Chem. Technol. Biotechnol.*, **56 (4)**, 339-345 (1993).
15. DEMİRAYAK, Ş., YAMAÇ, M., Synthesis and antimicrobial activities of some 2-[(dialkylaminothiocarbonylthio)asetamido]-4,5,6,7-tetrahydrobenzo-thiazole derivatives, *Acta Pharmaceutica Turcica*, **35**, 15-19, (1993).

16. CESUR, N., ATEŞ, Ö., SALMAN, A., UZUN, M., KİRAZ, M., KASIMOĞLU, Ö., KAYA, D., Synthesis and antifungal activity of some 4-[(N,N-disubstituted thiocarbamoylthio)acyl]antipyrines, *Acta Pharmaceutica Turcica*, **36 (3)**, 74-79 (1994).
17. EROL, D., D., ÇALIŞ, Ü., YULUĞ, N., Synthesis and antimicrobial activities of some dithiocarbamate derivatives of kojic acid, *Bulletino Chimico Farmaceutico*, **134 (11)**, 620-623 (1995).
18. GÜRSOY, A., ATEŞ, Ö., KARALI, N., CESUR, N., KİRAZ, M., Synthesis and antifungal activity of new carbamodithioic acid esters derived from 3-acetylcoumarin, *Eur. J. Med. Chem.*, **31**, 643-646 (1996).
19. OHTAKE, N., IMAMURA, H., KIYONAGA, H., JONA, H., OGAWA, M., OKADA, S., SHIMIZU, A., MORIYA, M., SATO, H., TOMINAGA, Y., YAMADA, K., NAKANO, M., USHIJIMA, R., NAKAGAWA, S., Novel dithiocarbamate carbapenems with anti-MRSA activity, *Bioorganic Medicinal Chemistry Letters*, **7 (13)**, 1617-1622 (1997).
20. OHTAKE, N., IMAMURA, H., KIYONAGA, H., JONA, H., OGAWA, M., SHIMIZU, A., MORIYA, M., SATO, H., NAKANO, M., USHIJIMA, R., NAKAGAWA, S., Novel dithiocarbamate carbapenems with anti-MRSA activity, *Bioorganic Medicinal Chemistry Letters*, **6**, 1089-1101 (1998).
21. TSOTINIS, A., VARVARESOU, A., CALOGEROPOULOU, T., SIETRAPAPASTAIKOUDI, T., TILIGADA, A., Synthesis and antimicrobial evaluation of indole containing derivatives of 1,3,4-thiadiazole, 1,2,4-triazole and their open-chain counterparts, *Arzneim.-Forsch./Drug Res.*, **47 (I)**, 307-310 (1997).

22. ATEŞ, Ö., KOCABALKANLI, A., CESUR, N., ÖTÜK, G., Synthesis and antimicrobial activity of some 5-aryl-2-[(N,N-disubstitutedthiocarbamoyl thio)acylamino]-1,3,4-oxadiazoles, *Il Farmaco*, **53**, 541-544 (1998).
23. GÜNEY, S.G., ÇAPAN, G., ULUSOY, N., ERGENÇ, N., ÖTÜK, G., KAYA, D., 5-Nitroimidazole derivatives as possible antibacterial and antifungal agents, *Il Farmaco*, **54**, 826-831 (1999).
24. TURAN-ZITOUNI, G., CHEVALLET, P., ROBBE, Y., GÜVEN, K., The synthesis of some indazole derivatives and their antimicrobial activity, *Acta Pharmaceutica Turcica*, **XLI** (2), 82-85, (1999).
25. FARGHALY, A.O., MOHARRAM, A.M., Synthesis and *in vitro* antifungal activity of some N,N-disubstituted dithiocarbamic acid esters derived from 2-methylquinazolinones, *Boll. Chim. Farm.*, **138** (6), 280-289 (1999).
26. IMAMURA, H., OHTAKE, N., JONA, H., SHIMIZU, A., MORIYA, M., SATO, H., SUGIMOTO, Y., IKEURA, C., KIYONAGA, H., NAKANO, M., NAGANO, R., ABE, S., YAMADA, K., HASHIZUME, T., MORISHIMA, H., Dicationic dithiocarbamate carbapenems with anti-MRSA activity, *Bioorganic Medicinal Chemistry Letters*, **9**, 1571-1578 (2001).
27. ATEŞ, Ö., GÜRSOY, A., ALTINDAŞ, H., ÖTÜK, G., BİRTEKSÖZ, S., Synthesis and antimicrobial activity of 2-[2-(N,N-disubstituted thiocarbamoyl-sulfanyl)-acylamino]thiazol-4-il)acetic acid ethyl esters, *Arch. Pharm. Pharm. Med. Chem.*, **336**, 39-46 (2003).
28. GAUDERNAK, E., SEIPELT, J., TRIENDL, A., GRASSAUER, A., KUECHLER, E., Antiviral effects of pyrrolidine dithiocarbamate on human rhinoviruses, *Journal of Virology*, **76** (12), 6004-6015 (2002).

29. ŞAFAK, C., ERDOĞAN, H., ERTAN, M., Synthesis of some substituted carbamodithioic acid esters and their anticholinergic properties, *Arch. Pharm.*, **321**, 859-861 (1988).
30. ERDOĞAN, H., ŞAFAK, C., PALASKA, E., ERTAN, M., SUNAL, R., Some new carbamodithioic acid esters, *Arch. Pharm.*, **321**, 945-948 (1988).
31. ŞAFAK, C., ERDOĞAN, H., YESILADA, A., EROL, K., CIMGI, I., Synthesis and pharmacology of some new carbamodithioic acid esters, *Arzneim.-Forsch./Drug Res.*, **42 (I)**, Nr. 2, 123-126 (1992).
32. ÖZKANLI, F., DALKARA, S., ÇALIŞ, Ü., Synthesis and anticholinergic activity of some new N,N-disubstituted carbamodithioic acid 2-oxo-2-(diphenylamino) ethyl esters, *Il Farmaco*, **48 (8)**, 1153-1158 (1993).
33. ÇALIŞ, Ü., ÖZKANLI, F., DALKARA, S., EROL, K., ÖZDEMİR, M., Synthesis and anticholinergic properties of some N,N-disubstituted carbamodithioic acid 2-oxo-2-(phenylamino) ethyl esters, *Pharmazie*, **48**, 945-946 (1993).
34. ŞİMŞEK, R., ŞAFAK, C., EROL, Ş., SIRMAGUL, B., New S-aroylemethyl N,N-disubstituted dithiocarbamate derivatives with antispasmodic activity, *International Jour. Chem.*, **8 (1)**, 13-18 (1997).
35. KARALI, N., APAK, İ., ÖZKIRIMLI, S., GÜRSOY, A., DOĞAN, S.U., ERASLAN, A., ÖZDEMİR, O., Synthesis and pharmacology of new dithiocarbamic acid esters derived from phenothiazine and diphenylamine, *Arch. Pharm. Pharm. Med. Chem.*, **332**, 422-426 (1999).

36. ŞİMŞEK, R., ŞAFAK, C., EROL, K., VURAL, K., S-Aroylmethyl N,N-disubstituted dithiocarbamates with antiparkinson activity, *Tr. J. Of Medical Sciences*, **29**, 627-629 (1999).
37. VARSANYI, D., V., AUFDERHAAR, E., SCHWEIZER, E., Dithiocarbamic acid esters, *Ger. Offen Patent*, 2,629,262 (to Ciba-Geigy A.-G.) C. A., **87**, 22814 (1977).
38. MAKSUDOV, N., K., SAFAEV, M., A., Synthesis and study of N-dithiocarbamic acids, *Uzb. Khim. Zh.*, **5**, 26-29 (1981). C. A., **96**, 85383g (1982).
39. ERDOĞAN, H., ŞAFAK, C., AYYILDIZ, H., G., ERTAN, M., SUNAL, R., The synthesis of some substituted carbamodithioic acid esters, *Journal of Faculty of Pharmacy*, **10 (2)**, 49-56 (1990).
40. PALASKA, E., ŞAFAK, C., ERDOĞAN, H., EROL, K., ALPAN, R., S., Some S-aminocarbonylmethyl N-substituted dithiocarbamate derivatives with antispasmodic activities in isolated rat and rabbit ileum, *FABAD J. Pharm. Sci.*, **18**, 57-61 (1993).
41. SCOZZAFAVA, A., MASTROLORENZO, A., SUPURAN, C., L., Arylsulfonyl-N,N-diethyl-dithiocarbamates: a novel class of antitumor agents, *Bioorganic Medicinal Chemistry Letters*, **10**, 1887-1891 (2000).
42. NICUOLO, F., D., SERINI, S., BONINSEGNA, A., PALOZZA, P., CALVIELLO, G., Redox regulation of cell proliferation by pyrrolidine dithiocarbamate in murine thymoma cells transplanted in vivo, *Free Radical Biology Medicine*, **31 (11)**, 1424-1431 (2001).

43. MATSUMATU, I., NAKAGAWA, K., MATSUZAKI, M., HORIUCHI, K., Antihypertensive 2,6-bis[[thiocarbamoyl]thio]methyl]pyridine, *Ger. Offen. Patent*, 2,225,482 (to Banyu Pharmaceutical Co.). C. A., **78**, 58249 (1973).
44. SALVATORE, N., R., SAHAB, S., JUNG, K., W., Mild and efficient synthesis of thiocarbonates and thiocarbamates via a three-component coupling utilizing Cs_2CO_3 and TBAI, *Tetrahedron Letters*, **42**, 2055-2058 (2001).
45. AUWERS, K., V. and MÜLLER, K., Transformation of phenyl hydrazones of unsaturated aldehydes and ketones into pyrazolines, *Ber.*, **41**, 4230-4233 (1908).
46. AUWERS, K., V. and CAUER, E., 1- and 2-pyrazolines, *Ann.*, **470**, 284-312 (1929).
47. GUPTA, R. R., KUMAR, M., GUPTA, V., "Heterocyclic Chemistry", Vol.2, 435 (1998).
48. PESHIN, G.N.,ERSHOV, V.V., MILONANOVA, S.N., EVREINOVA, E.B., Reaction of hydrazine derivatives. 1-Acylpyrazolines and their action on pathogenic microorganisms, *Vestnik Moskov. Univ., Ser. Mat. Mekhan., Astron., Fiz., I. Khim.*, **14 (1)**, 211-216 (1959).
49. SHARMA, T.C., BOKADIA,M.M., REDDY, N.J., Synthesis and antimicrobial activity of hydroxyarylpyrazoles, *Indian J. Chem., Sect.B*, **19B (3)**, 228-229 (1980).
50. KHALIL, Z.H.,YANNI, A.S., Synthesis of new anilido-pyrazoline and isoxazoline derivatives, *J. Indian Chem. Soc.*, **58 (2)**, 168-170 (1981).

51. SHOWA, D.K.K., Pyrazolines as fungicides, *Jpn. Kokai Tokkyo Koho JP 60 08, 211*, (1985), C. A., 102, 216885q (1985).
52. SANGWAN, N.K., DHINDSA, K.S., MALIK, O.P., MALIK, M.S., 1-Acyl-3-(mono/disubstitutedphenyl)-4-(H or methyl)-5-aryl-4,5-dihidropyrazoles as potential antimicrobial agents, *Chim. Acta Turc.*, **11 (1)**, 65-72 (1983).
53. SACHCHAR, S.P., SINGH, A.K., Synthesis of some new fluorinated heteroaryl pyrazolines and isoxazolines as potential biocidal agents, *J. Indian Chem. Soc.*, **62 (2)**, 142-146 (1985).
54. MANDAL, N. K., SINHA, R., and BANERJEE, K. P., Synthesis and biological activity of phenylthiazolo-2-carboxamido-pyrazoline and -isoxazoline derivatives, *Journal of Indian Chemical Society*, **64 (5)**, 318-321 (1987).
55. SHINGARE, M. S., SIDDIQUI, H. B., Synthesis & biological activity of some new substituted pyrazolines & isoxazolines, *Indian Journal of Chemistry Section B*, **28B**, 154-158 (1989)
56. BİLGİN, A. A., YULUĞ, N., SARAÇ, S., TAYHAN, A., Studies on some 1-acetyl-3,5-diphenyl-2-pyrazoline derivatives, *FABAD J. Pharm. Sci.*, **14**, 135-144 (1989)
57. BİLGİN, A. A., YULUĞ, N., SARAÇ, S., TAYHAN, A., Studies on some 1-acetyl-3,5-diphenyl-2-pyrazoline derivatives-II, *FABAD J. Pharm. Sci.*, **9 (2)**, 41-45 (1989)
58. YULUĞ, N., BİLGİN, A. A., SARAÇ, S., TAYHAN, A., Antifungal activities of some 1, 3, 5-triphenyl-2-pyrazoline derivatives against molds, *Acta Pharmaceutica Turcica*, **31(3)**, 111-114 (1989).

59. ŞAFAK, C., SARAÇ, S., BALKAN, A., ERTAN, M., YULUĞ, N., Studies on some 1-methyl-3,5-Diphenyl-2-pyrazoline derivatives, *Hacettepe University, Journal of Faculty of Pharmacy*, **10** (1), 39-48 (1990).
60. ŞAFAK, C., TAYHAN, A., SARAÇ, S., Synthesis of some 1-acetyl-3,5-diaryl-2-pyrazoline derivatives and their antimicrobial activities, *Journal of Indian Chemical Society*, **67**, 571-574 (1990).
61. ANKHIWALA, M. D., Studies on pyrazolines.part-II. preparation and antimicrobial activity of 1H-3-(2"-hydroxy-3"-bromo-4"-n-butoxy-5-nitrophen-1"-yl)-5-substituted-phenyl-2-pyrazolines and related compounds, *Journal of Indian Chemical Society*, **67** (6), 514-516 (1990).
62. DESCACQ, P., NUHRICH, A., BERANGER, M. V., CAPDEPUY, M., DEVAUX, G., Arylpyrazolines nitrofuraniques: synthese et proprietes antibacteriennes, *European Journal of Medicinal Chemistry*, **25** (3), 285-290 (1990).
63. HAMED, A. E., HASSANEEN, H. M., ABDALLAH, M. A., Synthesis and biological activities of some pyrrolopyrazoles and 2-pyrazolines, *Archiv Der Pharmazie*, **324** (1), 35-37 (1991).
64. JOLLY, V. S., and PATHAK, M., Design, synthesis and biological screening of new pyrazoline derivatives, *Journal of Indian Chemical Society*, **68** (5), 304-305 (1991).
65. UPADHYAY, J., DAVE, U., PAREKH, H., Studies on pyrazolines. part-III. Preparation and antimicrobial activity of 3-(4¹- phenyl-sulphonamidophenyl)-5-arly-1-acetyl/phenyl-4,5-dihydropyrazoles, *Journal of Indian Chemical Society*, **68** (7), 413-414 (1991).

66. HASHASH, M. A., SOLIMAN, F. M. A., SOUKA, L. M., AND SALMAN, A. S. S., Synthesis and reactions of some new pyrazolines from chalcones and the screening of their antibacterial activities, *Revue Roumaine de Chimie*, **40** (1), 59-66 (1995).
67. PATEL, P., KOREGAOKAR, S., SHAH, S., PAREKH, H., Synthesis of some novel pyrazoline and cyanopyridine derivatives as antimicrobial agents, *Il Farmaco*, **51** (1), 59-63 (1996).
68. FERNANDES, Y., PAREKH, H. J., Studies on pyrazoline.part-II. preparation and antimicrobial activity of 3-(3'-phenylsulphonamidophenyl)-5-aryl-1H/phenyl/acetyl pyrazolines, *Journal of Indian Chemical Society*, **74**, 238 (1997).
69. RAGHUWANSI, P. B. and DOSHI, A. G., Synthesis and biological activity of nitropyrazolines and its derivatives, *Journal of Indian Chemical Society*, **74**, 421 (1997).
70. FAIDALLAH, H. M., MAKI, M. S. I., EL-MASSRY, A. H. I., HASSAN, S. Y., Synthesis and reactions of some ethyl 3-aryloyl-4-aryl-2-pyrazoline-5-carboxylates, *Pharmazie*, **52** (2), 101-105 (1997).
71. NAUDURI, D., REDDY, G. S., Antibacterials and antimycotics: part I: synthesis and activity of 2-pyrazoline derivatives, *Chemical Pharmaceutical Bulletin*, **46** (8), 1254-1260 (1998).
72. GRANT, N., MISHRIKY, N., ASAAD, F. M., FAWZY, N. G., Pyridines and pyrazolines from salicylic acid derivatives with propenone residue and their antimicrobial properties, *Die Pharmazie*, **53** (8), 543-547 (1998).

73. UDUPI, R.H., KUSHNOOR, A.S., BHAT, A.R., Synthesis and biological evaluation of certain pyrazoline derivatives of 2-(6-methoxynaphoxynaphthyl)propionic acid (naproksen), *Indian J. Heterocycl. Chem.*, **8** (1), 63-66 (1998).
74. HOLLA, B. S., AKBERALI, P. M., SHIVANANDA, M. K., Studies on arylfuran derivatives part X. synthesis and antibacterial properties of arylfuryl-2-pyrazolines, *Il Farmaco*, **55**, 256-263 (2000).
75. MAMOLO, M. G., ZAMPIERI, D., FALAGIANI, V., VIO, L., BANFI, E., Synthesis and antimycobacteriel activity of 5-aryl-1-isonicotinoyl-3-(pyridin-2-yl)-4,5-dihydro-1H-pyrazole derivatives, *Il Farmaco*, **56**, 593-599 (2001).
76. BİLGİN, A. A., PALASKA, E., ABBASOĞLU, U., Antifungal activities of some 1,3,5-triphenyl-2-pyrazoline derivatives, *J. Fac. Pharm. Gazi*, **18** (2), 115-118, (2001).
77. AZARIFAR, D., SHAEBANZADEH, M., Synthesis and characterization of new 3,5-dinaphthyl substituted 2-pyrazolines and study of their antimicrobial activity, *Molecules*, **7**, 885-895 (2002).
78. MAMOLO, M. G., ZAMPIERI, D., FALAGIANI, V., VIO, L., BANFI, E., Synthesis and antimycobacteriel activity of (\pm)-1-(5-aryl-3-pyridin-2-yl-4,5-dihydro-pyrazol-1-yl)-2-imidazol-1-yl-ethanone derivatives, *Il Farmaco*, **58** (4), 315-322 (2003).
79. BİLGİN, A. A., YESİLADA, A., PALASKA, E., SUNAL, R., Synthesis and Antidepressant activity of some new 8-thiocarbamoyl-7,8-diazabicyclo[4.3.0]non-6-ene derivatives, *Arzneim.-Forsch./Drug Res.*, **42** (II), Nr. **11**, 1271-1273 (1992).

80. BİLGİN, A. A., PALASKA, E., SUNAL, R., Studies on the synthesis and antidepressant activity of some 1-thiocarbamoyl-3,5-diphenyl-2-pyrazolines, *Arzneim.-Forsch./Drug Res.*, **43** (II), Nr. 10, 1041-1044 (1993).
81. BİLGİN, A. A., PALASKA, E., SUNAL, R., GÜMÜŞEL B., Some 1,3,5-triphenyl-2-pyrazolines with antidepressant activities, *Pharmazie*, **49** (1), 67-69 (1994).
82. PALASKA, E., EROL, D., DEMİRDAMAR, R., Synthesis and antidepressant activities of some 1,3,5-triphenyl-2-pyrazolines, *European Journal of Medicinal Chemistry*, **31**, 43-47 (1996).
83. PALASKA, E., AYTEMİR, M., UZBAY, İ. T., EROL, D., Synthesis and antidepressant activities of some 3,5-diphenyl-2-pyrazolines, *European Journal of Medicinal Chemistry*, **36**, 539-543 (2001).
84. LANGE, J.H.M., KRUSE, C.G., TIPKER, J., TULP, M.T.M., VAN, V., 4,5-Dihydro-1H-pyrazole derivtives having CB₁-antagonistic activity, *PCT Int. Appl. WO 01 70,700*. C.A. 135, 257239 (2001).
85. GÖKHAN, N., YEŞİLADA, A., UÇAR, G., EROL, K., BİLGİN, A., A., 1-N-Substituted thiocarbamoyl-3-phenyl-5-thienyl-2-pyrazolines:synthesis and evaluation as MAO inhibitors, *Arch. Pharm. Pharm. Med. Chem.*, **336**, 362-371 (2003).
86. YAMASHITA, H., ODATE, M., IIZUKA, H., KAWAZURA, H., SHIGA, Y., Preparation, testing and formulation of new pyrazoline derivatives as agents for treating cerebrovascular diseases, *Eur. Pat. Appl. EP 295,695*. C.A. 111, 23510 (1989).

87. YAMASHITA, H., OKUMURA, K., LIZUKA, H., OHTO, N., Process for producing 1-acyl-2-pyrazolines for treatment of cerebral edema, *Eur. Pat. Appl. EP 322,691*. C.A. 112, 98520 (1990).
88. SHIMADA, F., SHIGA, Y., MORIKAWA, M., KAWAZURA, H., MORIKAWA, O., MATSUOKA, T., NISHIZAKI, T., SAITO, N., The neuroprotective agent MS-153 stimulates glutamate uptake, *European Journal of Pharmacology*, **336**, 263-270 (1999).
89. NAKAGAWA, T., OZAWA, T., SHIGE, K., YAMAMOTO, R., MINAMI, M., SATOH, M., Inhibition of morphine tolerance and dependence by MS-153, a glutamate transporter activator, *European Journal of Pharmacology*, **419**, 39-45 (2001).
90. PARMAR, S. S., PANDEY, B. R., DWIVEDI, C., HARBISON, R. D., Anticonvulsant activity and monoamine oxidase inhibitory properties of 1,3,5-trisubstituted pyrazolines, *Journal of Pharmaceutical Sciences*, **63** (7), 1152-1155 (1974).
91. GALATI, E. M., MONFORTE, M.T., MICELI, N., RANERI, E., Anticonvulsant and sedative effects of some 5-substituted bromopyrazolinic spirobarbiturates, *Il Farmaco*, **56**, 459-461 (2001).
92. ROBAK, J., DUNIEC, Z., The influence of some 3-amino-2-pyrazoline derivatives on cyclooxygenase and lipoxygenase activities, *Biochemical Pharmacology*, **31** (11), 1955-1959 (1982).
93. COPP, F. C., ISLIP, P. J., and TATESON, J. E., 3-N-Substituted-amino-1-[3-(trifluoromethyl)phenyl]-2-pyrazolines have enhanced activity against arachidonate 5-lipoxygenase and cyclooxygenase, *Biochemical Pharmacology*, **33** (2), 339-340 (1984).

94. KUMAR, A., KUMAR, A., SAXENA, A. K., SHANKER, K., 1-Acetyl-5-aryl-3-[(subsituted indole-3-yl-methylene-amino)phenyl]-4-pyrazolines as anti-inflammatory agent, *Pharmazie*, **43 (1)**, 45-46 (1988).
95. NARGUND, L. V. G., HARIPRASAD, V., REDDY, G. R. N., Synthesis and anti-inflammatory activity of fluorinated phenyl styryl ketones and N-phenyl-5-substituted aryl-3-p-(fluorophenyl) pyrazolines and pyrazoles, *Journal of Pharmaceutical Sciences*, **81 (9)**, 892-894 (1992).
96. MANA, F., CHIMENTI, F., BOLASCO, A., CENICOLA, M. L., AMICO, PARRILLO, M. D. C., ROSSI, F., MARMO, E., anti-inflammatory, analgesic and antipyretic N-acetyl-2-pyrazolines and dihydrothienocoumarines, *European Journal of Medicinal Chemistry*, **27 (6)**, 633-639 (1992).
97. NUGENT, R.A, MURPHY, M., SCHLACHTER, S.T., DUNN, C.J., SMITH, R.J., STAITE, N.D., GALINET, L.A., SHIELDS, S.K., ASPAR, D.G., RICHARD, K.A., ROHLOFF, N.A, Pyrazoline bisphosphonate esters as novel antiinflammatory and antiarthritic agents, *Journal of Medicinal Chemistry* **36**, 134-139 (1993).
98. BANSAL, E., SRIVASTAVA, V. K., KUMAR, A., Synthesis and anti-inflammatory activity of 1-acetyl-5-(substitue aryl)-3-(β -aminonaphthyl)-2-pyrazolines and β -(substituted aminoethyl)amidonaphthalenes, *European Journal of Medicinal Chemistry*, **36 (1)**, 81-92 (2001).
99. FRIGOLA, J., COLOMBO, A., PARES, J., MARTINEZ, L., SAGARRA, R., ROSER, R., Synthesis structure and inhibitory effects on cyclooxygenase, lipoxygenase, thromboxane synthetase and platelet aggregation of 3-amino-4,5-dihydro-1H-pyrazole derivatives, *European Journal of Medicinal Chemistry*, **24 (4)**, 435-445 (1989).

100. NASR, M., N., A., SAID, S., A., Novel 3, 3a, 4, 5, 6, 7-hexahydroindazole and arylthiazolylpyrazoline derivatives as antiinflammatory agents, *Arch. Pharm. Pharm. Med. Chem.*, **336**, 551-559 (2003).
101. LEVY, G.A., NISBET, H.B., The local anesthetic properties of certain heterocyclic compounds, *J. Pharmacol.*, **65**, 129-135 (1939). C.A. 33, 2985⁷ (1939).
102. ANDRISANO, R., CRAVERI, F., Pyrazolines with local anesthetic action, *Arzneimittel-Forsch.*, **8**, 706-708 (1958). C.A. 53, 5249^{e,f} (1959).
103. SOLIMAN, R., FEID-ALLAH, H. M., EL SADANY, S. K., MOHAMED, H. F., Preparation and antidiabetic activity of new substituted 3,5-diarylpyrazolesulfonylurea derivatives, *Journal of Pharmaceutical Sciences*, **70 (6)**, 606-610 (1981).
104. TURAN-ZITOUNI, G., CHEVALLET, P., KILIÇ, F. S., EROL, K., Synthesis of some thiazolyl-pyrazoline derivatives and preliminary investigation of their hypotensive activity, *European Journal of Medicinal Chemistry*, **35 (6)**, 635-641 (2000).
105. SALGADO,V.L., Mode of action of insecticidal dihydropyrazoles: selective block of impulse generation in sensory nerves, *Pestic. Sci.*, **28 (4)**, 389-411 (1990). C.A. 113, 110874 (1990).
106. HASAN, R., NISHIMURA, K., UENO, T., Quantitative structure-activity relationships of insecticidal pyrazolines, *Pestic. Sci.*, **42 (4)**, 291-298 (1994). C.A. 122, 49009 (1995).

107. TANIMOTO, K., TSUDA, T., KUGO, R., TADA,T., NISHIMURA, K., KIRIHATA, M., A direction to prepare biodegradable pyrazoline insecticides, *Appl. Biol. Sci.*, **6** (1), 1-6 (2000). C.A. 134, 276845 (2001).
108. EUSSEN, J.H.H., WELLINGA, K., STORK, B., 2-Pyrazolines with herbicidal activity, *Pestic. Sci.*, **29** (1), 101-108 (1990). C.A. 113, 128019 (1990).
109. MISHRIKY, N., ASAAD, F.M., IBRAHIM, Y.A., GIRGIS, A.S., New 2-pyrazolines of anticipated molluscicidal activityl, *Pharmazie*, **51** (8), 544-548 (1996).
110. Synthesis of dipyrone, *Ger. Pats.*, 254,711; 259,503; 259,577, (all 1911 to Hoechst)
111. SAWA, Y., Synthesis of pyrazolone derivatives, *J. Pharm. Soc. Japan*, **57**, 953-962 (in German 269-271) (1937). C. A., 32, 2533 (1938).
112. ECKER, Piperylone Prepn., *U.S. Patent*, 2,903,460 (1959 to Sandoz).
113. HEID, Nifenazone prepn., *Ger. Patent*, 897,407 (1953) ; TROMMSDORFF, *Belg. Patent*, 653,597 (1963).
114. MOLLER, E., Muzolimine Prepn., *Ger. Patent*, 2,319,278 corresp. to *U.S. Patent*, 4,018,890 (1974, 1977 both to Bayer).
115. WATANABE, T., YUKI, S., EGAWA, M., NISHI, H., Protective effects of MCI-186 on cerebral ischemia: possible involvement of free radical scavenging and antioxidant actions, *American Society for Pharmacology and Experimental Therapeutics*, 268, 1597-1604 (1994).

116. DUSZA, J.P., JOSEPH, J.P., BERNSTEIN, S., Therapeutically active 3-amino-1-phenyl- and substituted phenyl-2-pyrazolines, *U.S. US Patent* 4,360,680 (1982). C. A., 98, 72090 (1983).
117. DUSZA, J.P., JOSEPH, J.P., BERNSTEIN, S., Heterocyclic substituted-aminopyrazolines, *Eur. Pat. Appl. EP* 70,376 (1982). C. A., 99, 5626 (1983).
118. DUSZA, J.P., JOSEPH, J.P., BERNSTEIN, S., Therapeutically active 3-amino-1-halogenatedphenyl-2-pyrazolines and their C₄ and C₅ analogs, *U.S. US Patent* 4,451,479 (1984). C. A., 101, 72090 (1984).
119. DUSZA, J.P., JOSEPH, J.P., BERNSTEIN, S., 3-Trifluoroacetylarnino-1-aryl-2-pyrazolines, *U.S. US Patent* 4,447,442 (1984). C. A., 101, 151839 (1984).
120. DUSZA, J.P., JOSEPH, J.P., BERNSTEIN, S., Therapeutically active 3-amino-1-phenyl- (and substituted phenyl)-2-pyrazolines, *U.S. US Patent* 4,432,991 (1984). C. A., 101, 97638 (1984).
121. LEVAI, A., Synthesis of pyrazolines by the reactions of α , β -enones with diazomethane and hydrazines (REWIEW), *Chemistry of Heterocyclic Compounds*, **33 (6)**, 647-659 (1997).
122. LEVAI, A., Synthesis of 2-pyrazolines by the reactions of α , β -unsaturated aldehydes, ketones and esters with diazoalkanes, nitrile imines and hydrazines (REWIEW), *J. Heterocycli Chemistry*, **39**, 1-13 (2002).
123. POWERS, D.G., CASEBIER, D.S., FOKAS, D., RYAN, W.J., TROTH, J.R., COFFEN, D.L., Automated paralel synthesis of chalcone-based screening libraries, *Tetrahedron*, **54**, 4085-4096 (1998).

124. LYNGSO, L.O., NIELSEN, J., Solid-Phase synthesis of 3-amino-2-pyrazolines, *Tetrahedron Letters*, **39**, 5845-5848 (1998).
125. BAUER, U., EGNER, B.J., NILSSON, I., BERGHULT, M., Parallel solution phase synthesis of N-substituted 2-pyrazoline libraries, *Tetrahedron Letters*, **41**, 2713-2717 (2000).
126. GILCHRIST, T.L., "Heterocyclic Chemistry", Addison Wesley Longman, **III.Edition**, 221-231 (1997).
127. GLAXO GROUP LTD., 7-Aminocephalosporanic acid, *Fr. Patent* 1,384,197 (1965). C. A., 63, 11591 (1965).
128. BROGDEN, R.N., HEEL, R.C., SPEIGHT, T.M., Ticarcillin: a review of its pharmacological properties and therapeutic efficacy. *Drugs* **20**, 325-352 (1980), C.A., 94, 76268 (1981),
129. CHANTEREAU, H.R., 2-(2-thenoylamino)-5-nitrothiazole, *Fr. Patent* M715 (1961). C. A., 59, 7533 (1963).
130. BIOINDUSTRIA S.p.A Antimycotic and trichomonacidal thiophene derivatives, *Fr. Demande Patent* 2,255,063 (1975). C. A., 84, 89986 (1976).
131. GYMER, G. E., Antimycotic imidazole derivative, *Belg. Patent* 841,309; *idem, U.S. Patent* 4,062,966 (1976, 1977 both to Pfizer).
132. BOSCHETTI, E., Tioclomarol prepn., *S. Afr. Patent Appl.*, 67 07,267 corresp to *U.S. Patent* 3,574,234 (1968, 1971 both to Lipha).
133. SECK, K., Dimethenamid synthesis, *Brit. Patent Appl.*, 2,114,566 (1983).

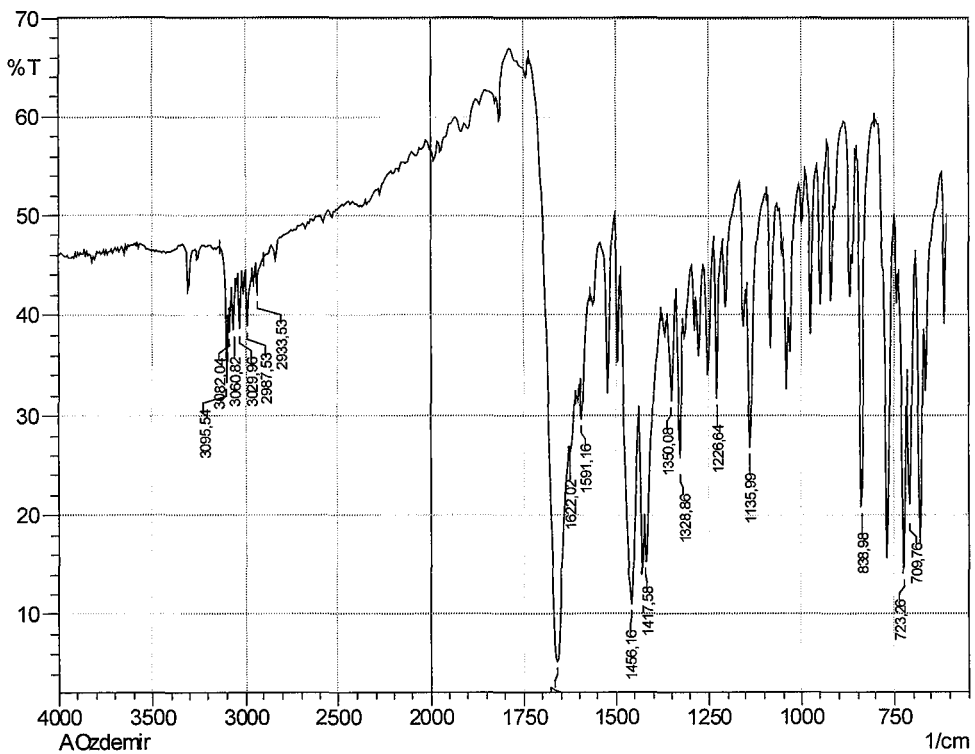
134. ROBERTSON, Duloxetine synthesis, *Eur. Patent Appl.*, 273,658 (1988).
135. GODFROID, J., THUILLIER, J., Ticrynafen Prepn., *Ger. Patent*, 2,048,372 corresp to *U.S. Patent*, 3,758,506 (1971, 1973 both to C.E.R.P.H.A.).
136. DAWEY, W. and TIVEY, D., J., Chalcones and related compounds. IV. Addition of hydrogen cyanide to chalcones. *J. Chem. Soc.*, **80**, 1230-1236 (1958). C. A., 51, 10450h (1957).
137. KABLI, R. A., KHALAF, A. A., ZIMAITY, M. T., KHALIL, A. M., KADDAH, A. M., & AL-RIFAIE, H. A., Synthesis of a new series of furyl and thienyl substituted pyrazolines starting with furyl and thienyl chalcones, *Journal of Indian Chemical Society*, **68** (11), 47-51 (1991).
138. SEVERI, F., BENVENUTI, S., COSTANTINO, L., VAMPA, G., MELEGARI, M., ANTOLINI, L., Synthesis and activity of a new series of chalcones as aldose reductase inhibitors, *European Journal of Medicinal Chemistry*, **33**, 859-866 (1998).
139. HANSON, G.A., Thienyl analogs of chalcones and their reaction with acetoacetic ester, *Bull. Soc. Chim. Belges*, **67**, 712-716 (1958). C. A., 53, 17995 (1959).
140. BUU-HOI, N., XUONG, N.D., Chalcone derivatives of thiophene and their thiosemicarbazones, *Bull. Soc. Chim. France*, 1646-1650 (1956). C. A., 51, 12064 (1957).
141. KHALAF, A.A, EL-SHAFEI, A.K., EL-SAYED, A.M., Synthesis of some new bicyclic pyrazoline derivatives, *J. Heterocyclic Chemistry*, **19**, 609-612 (1982).

142. KHALAF, A. A., KABLI, R. A., ZIMAITY, M. T., KHALIL, A. M., KADDAH, A. M., AL-RIFAIE, H. A., N-Derivatisation of some 3-(2-furly)- and 3-(2-thienyl)-5-arly-2-pyrazolines, *Indian Journal of Chemistry*, **32B** (11), 1125-1129 (1993).
143. BEŞE, M., Mikrobiyolojide kullanılan Antibiyotik Duyarlılık ve Deneme Yöntemleri, Kardeşler Basımevi, İstanbul (1989).
144. VANDEN BERGE, D.A., VLJETINCK, A.J., Screening Methods for Antimicrobial and Antiviral Agents from Higher Plants, *Methods in Plant Biochemistry*, (Eds: HARBORNE, J.B., DEY, P.M.) Academic Press, London, England, 37-53 (1991).
145. KONEMAN, E.W., ALLEN, S.D., JANDA, W.M., SCHRECKENBERGERVE P.C. ve WINN W.C., *Color Atlas and Textbook of Diagnostic Microbiology*, Lippincott-Raven Pub., Philadelphia, USA, 785-856 (1997).
146. ELOF, J.N., A Sensitive quick microplate method to determine the minimal inhibitory concentration of plant extracts for bacteria, *Planta Med.*, **64**, 711-713 (1998).
147. COWAN, M.M., Plant products as antimicrobial agents, *Clin. Microbiol. Rev.*, **12**, 564-582 (1999).
148. DORMAN, H.J.D. ve DEANS, S.G., Antimicrobial agents from plants: antibacterial activity of plant volatile oils, *J. Appl. Microbiol.*, **88**, 308-316 (2000).
149. HADACEK, F. ve GREGER, H., Testing of antifungal natural products: methodologies, comparability of results and assay choice, *Phytochem. Anal.*, **11**, 137-147 (2000).

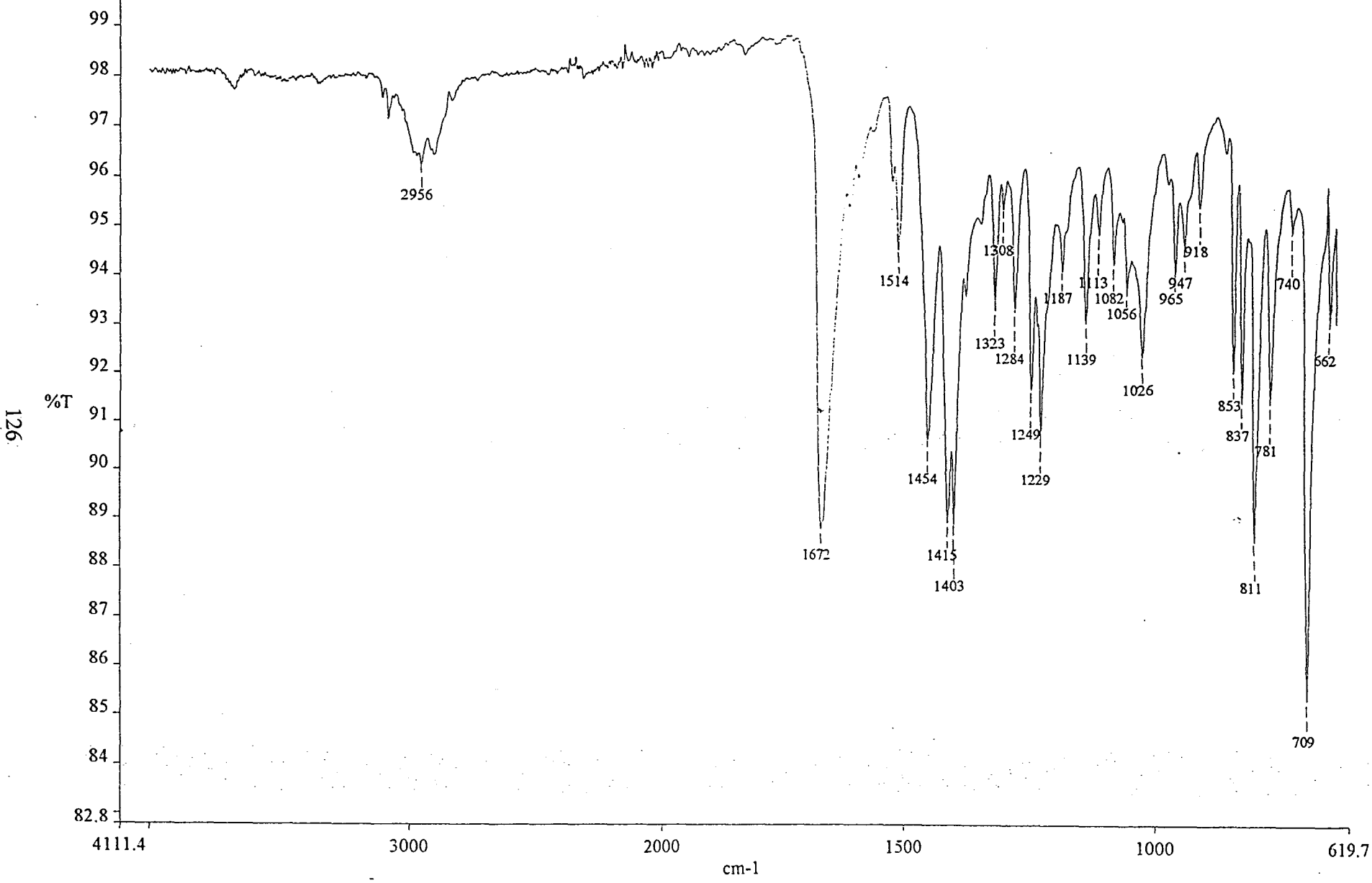
150. LI, J., J., "Name Reactions-A collection of detailed reaction mechanisms", Springer-Verlag Berlin Heidelberg New York, **II.Edition**, 73-75 (2003).
151. ELBA, M. E., DARWISH, A. I., MAMADA, N. M., Synthesis of novel pyrazoline derivatives. I. reaction of erythro-2,3-dibromoketones with semi- and thiosemicarbazides, *Journal of Indian Chemical Society*, **74**, 202-205 (1997).
152. BALCI, M., "Nükleer Manyetik Rezonans Spektroskopisi", Metu Press, I. Baskı, Ankara, 191-194 (2000).
153. LAMBERT, J.B., SHURVELL, H.F., LIGHTNER, D.A., COOKS, R.G., "Organic Structural Spectroscopy" Prentice-Itall.Inc. New Jersey, 152-250, (1998).
154. VIJAYABASKAR, V., PERUMAL, S., SELVERAJ, S., LYCKA, A., MURUGAN, R., BALASUBRAMANIAN, M., Synthesis and multinuclear NMR study of (E)-s-trans-1-acetyl-5-aryl-3-styryl-2-pyrazolines, *Magnetic Resonance In Chemistry*, **37**, 133-139 (1999).

EKLER

Ek 1. Bileşik A-1'e ait IR spektrumu

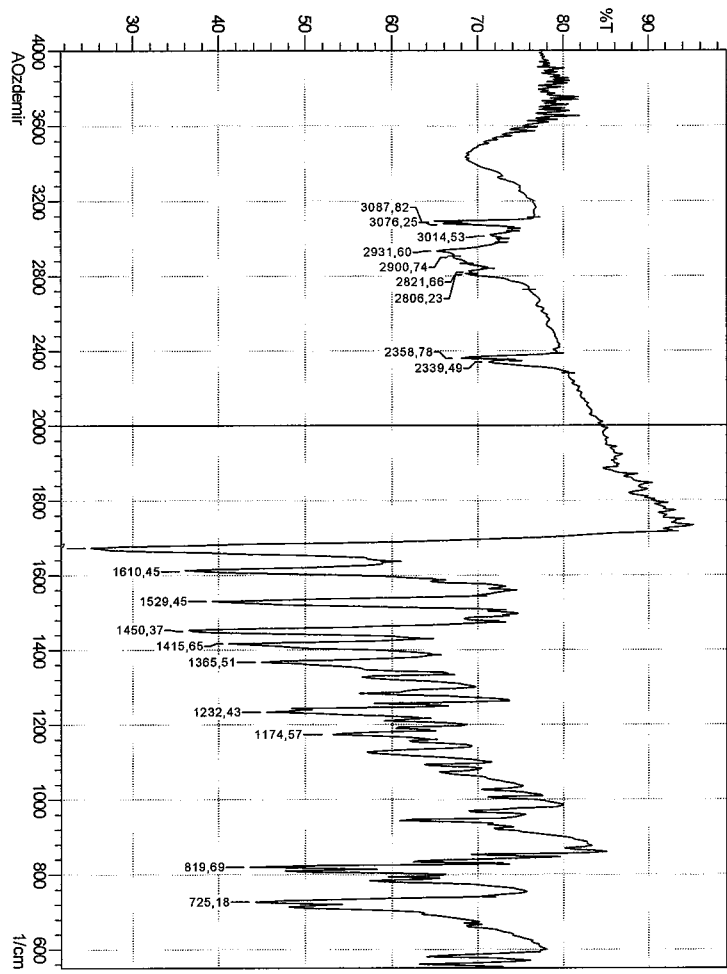


Ek 2. Bileşik A-2'ye ait IR spektrumu

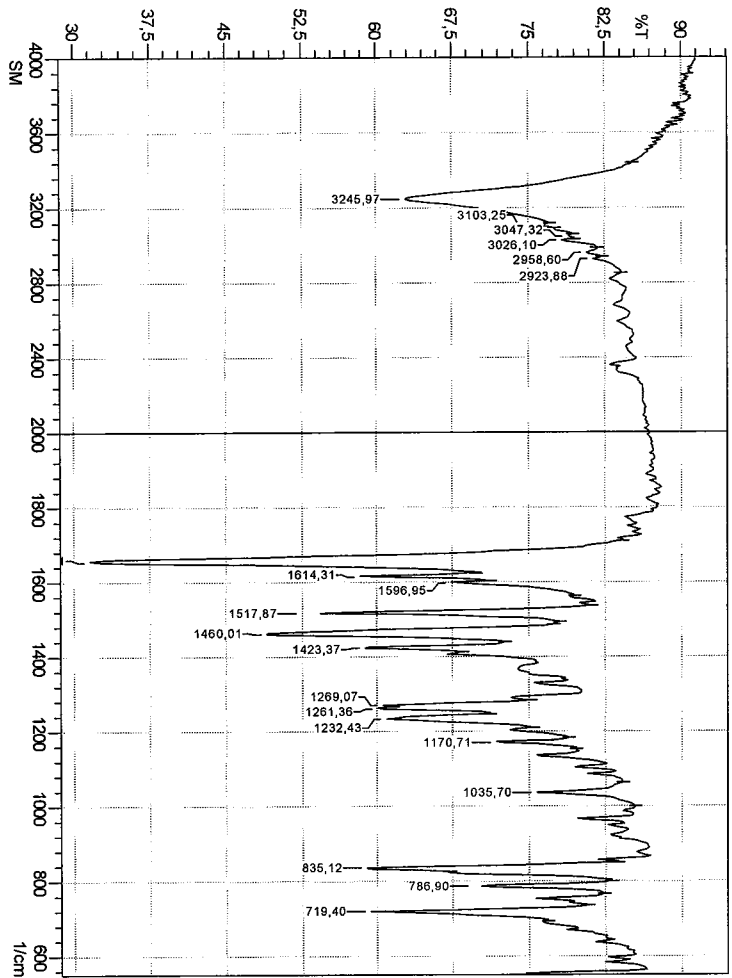


c:\pel_data\spectra\chevallet\zgu81.sp

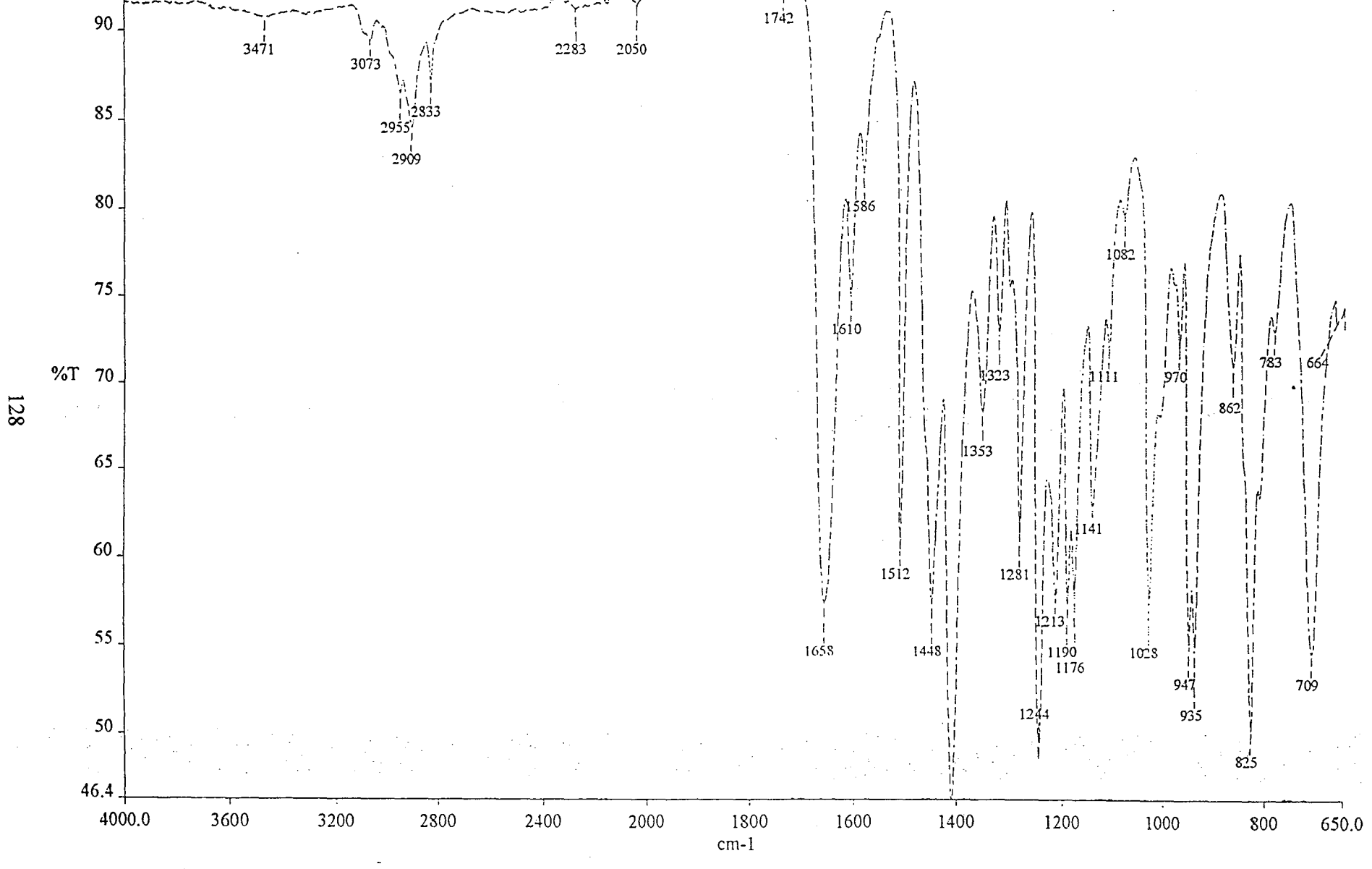
Ek 3. Bileşik A-3'e ait IR spektrumu



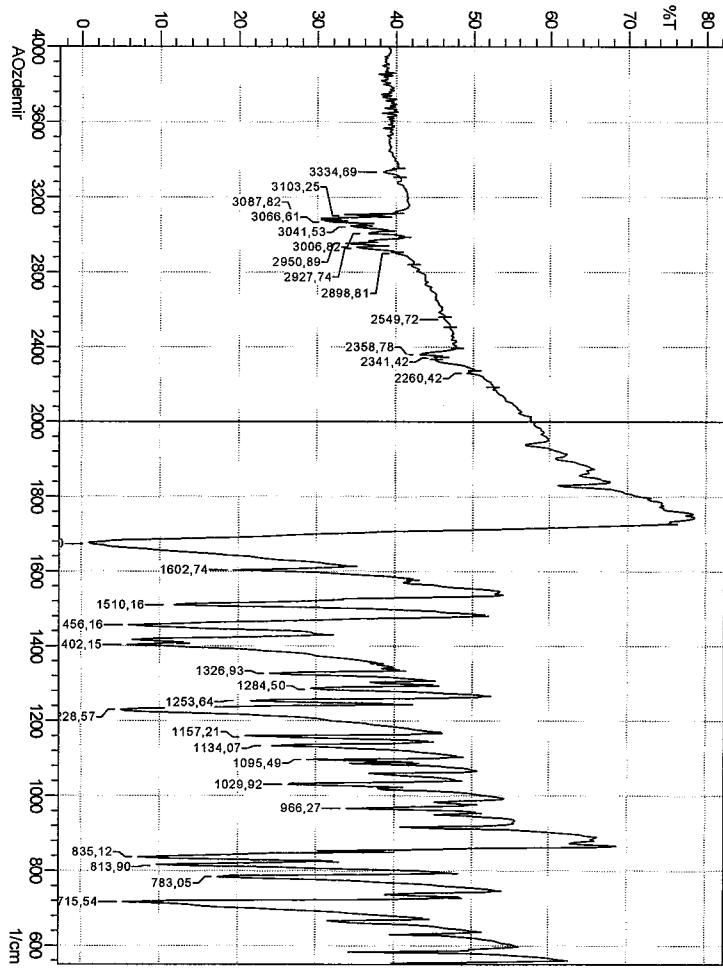
Ek 4. Bileşik A-4'e ait IR spektrumu



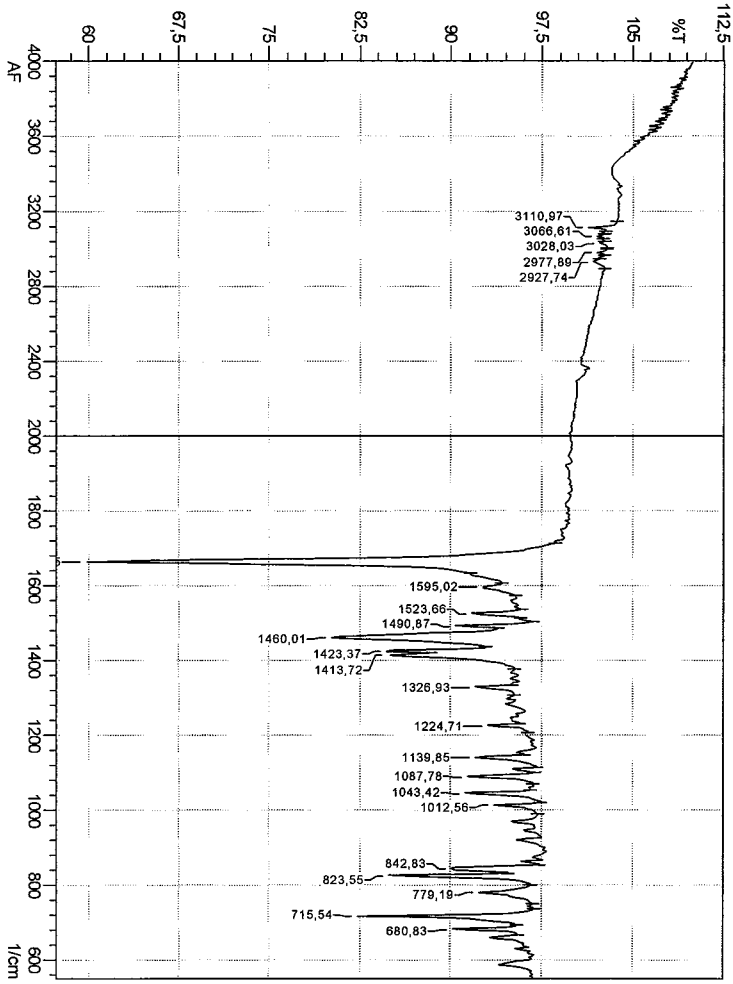
Ek 5. Bileşik A-5'e ait IR spektrumu



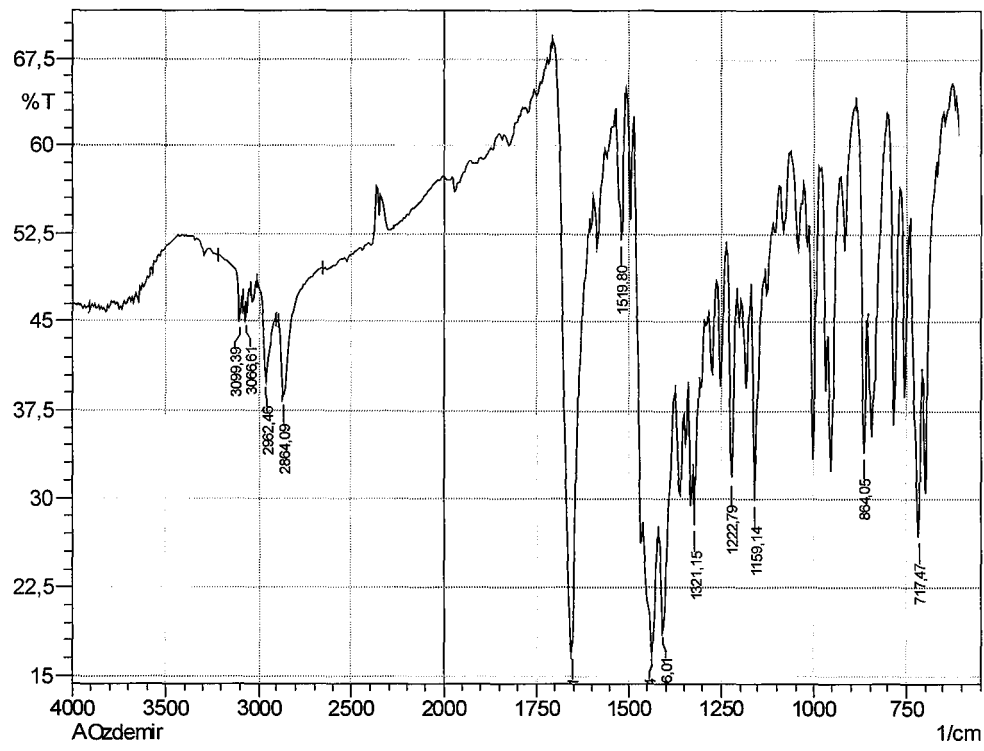
Ek 6. Bileşik A-6'ya ait IR spektrumu



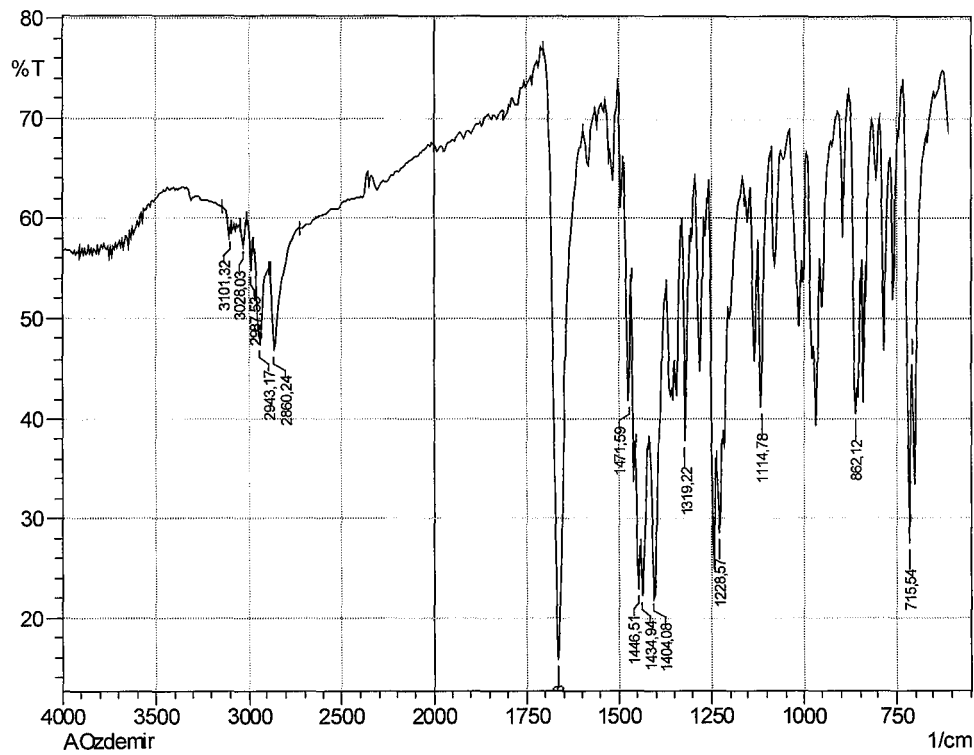
Ek 7. Bileşik A-7'ye ait IR spektrumu



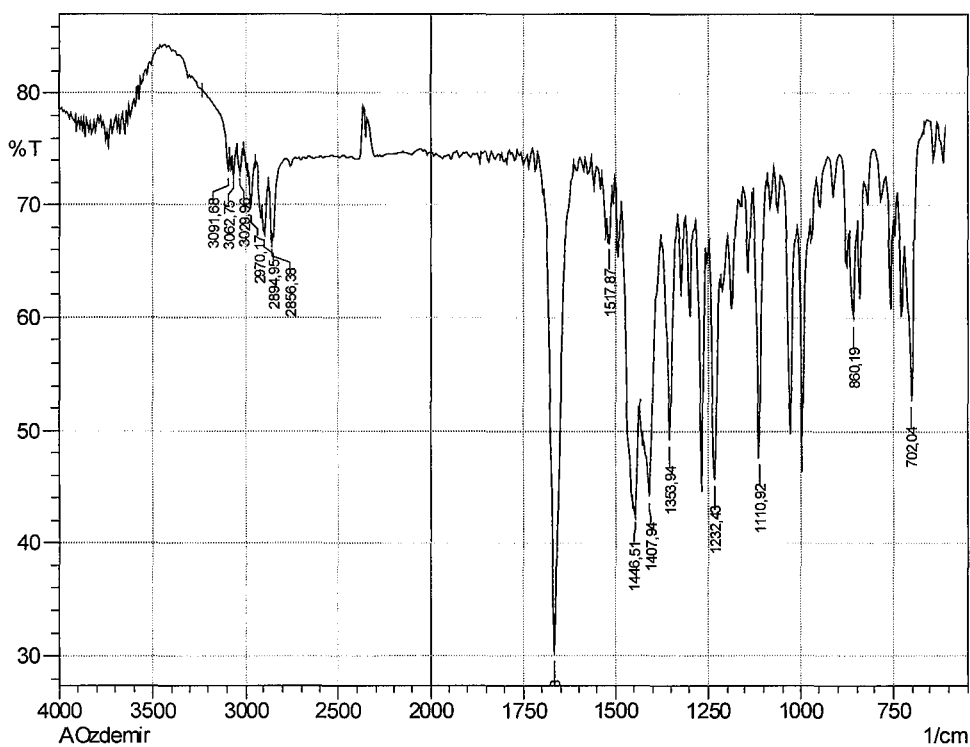
Ek 8. Bileşik B-1'e ait IR spektrumu



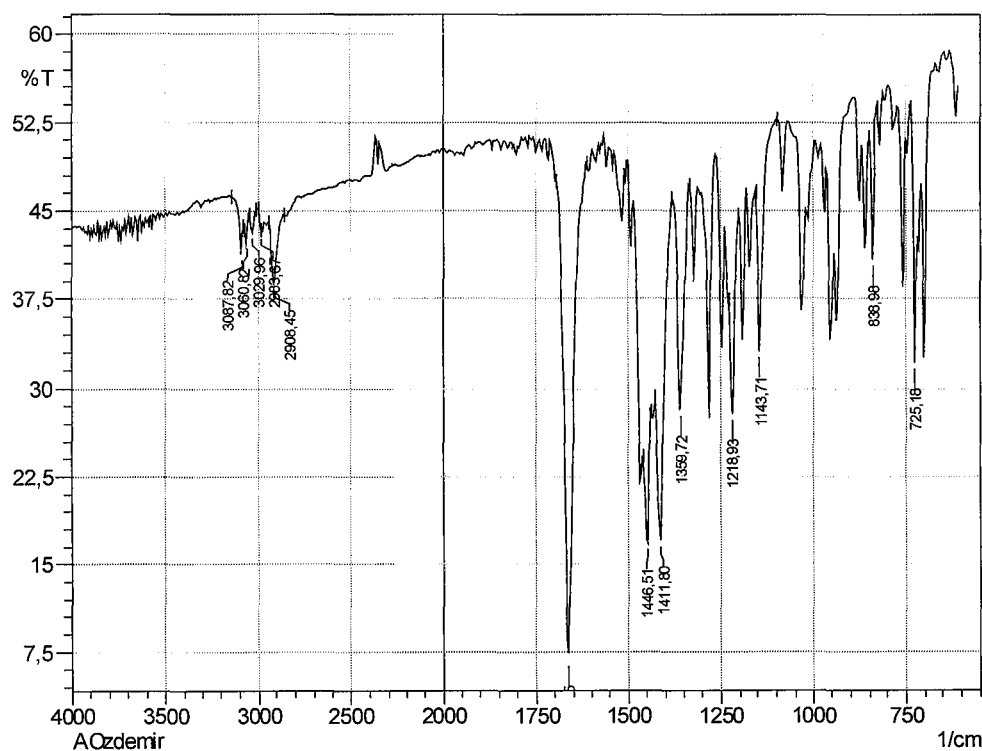
Ek 9. Bileşik B-2'ye ait IR spektrumu



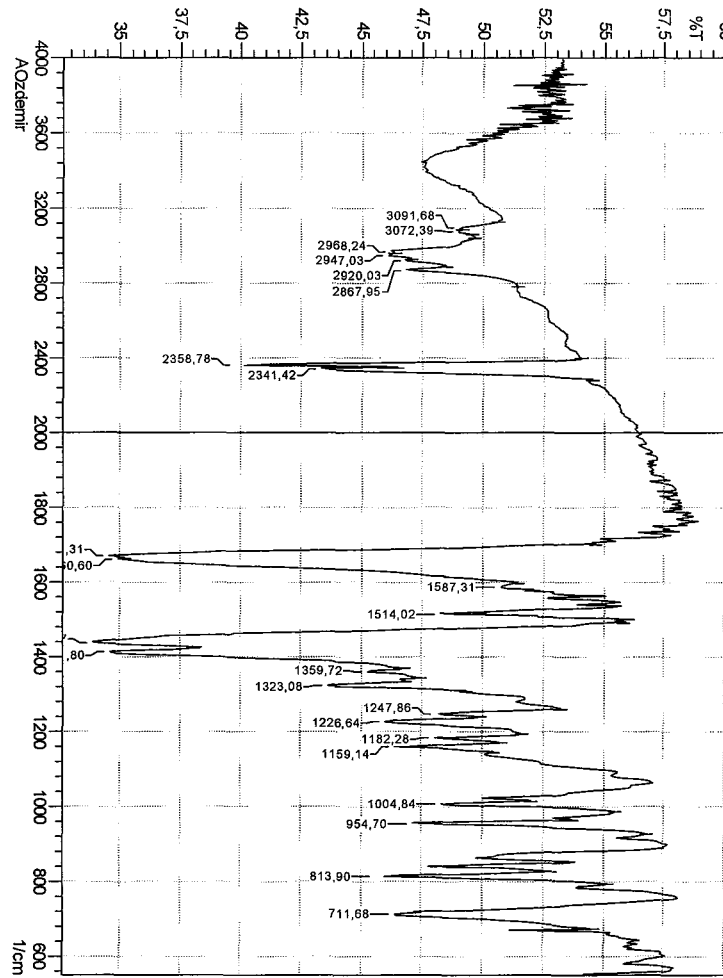
Ek 10. Bileşik B-3'e ait IR spektrumu



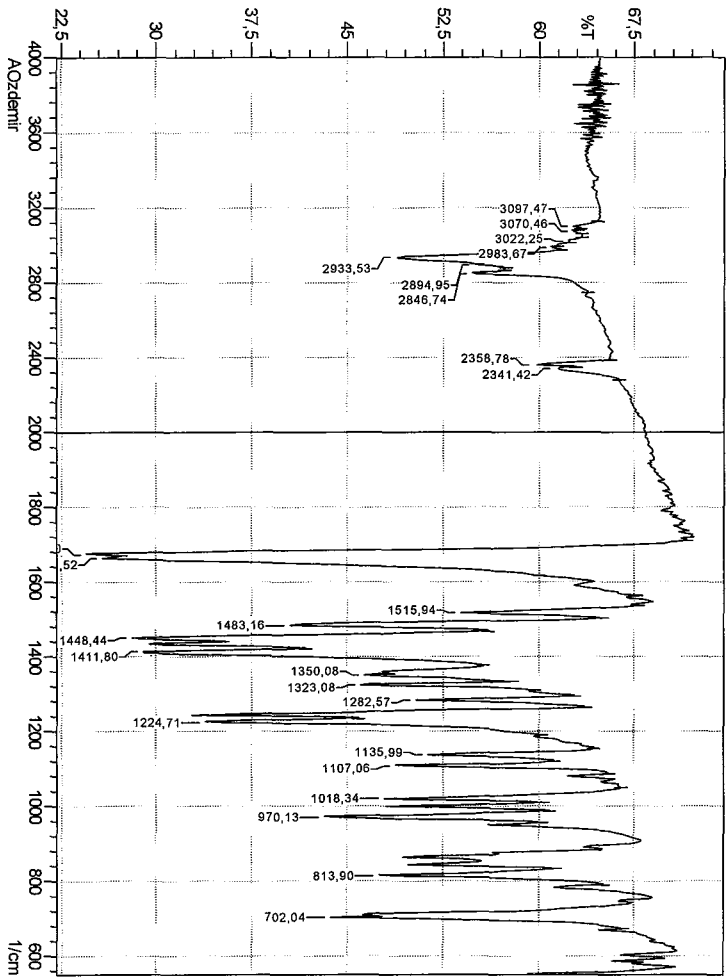
Ek 11. Bileşik B-4'e ait IR spektrumu



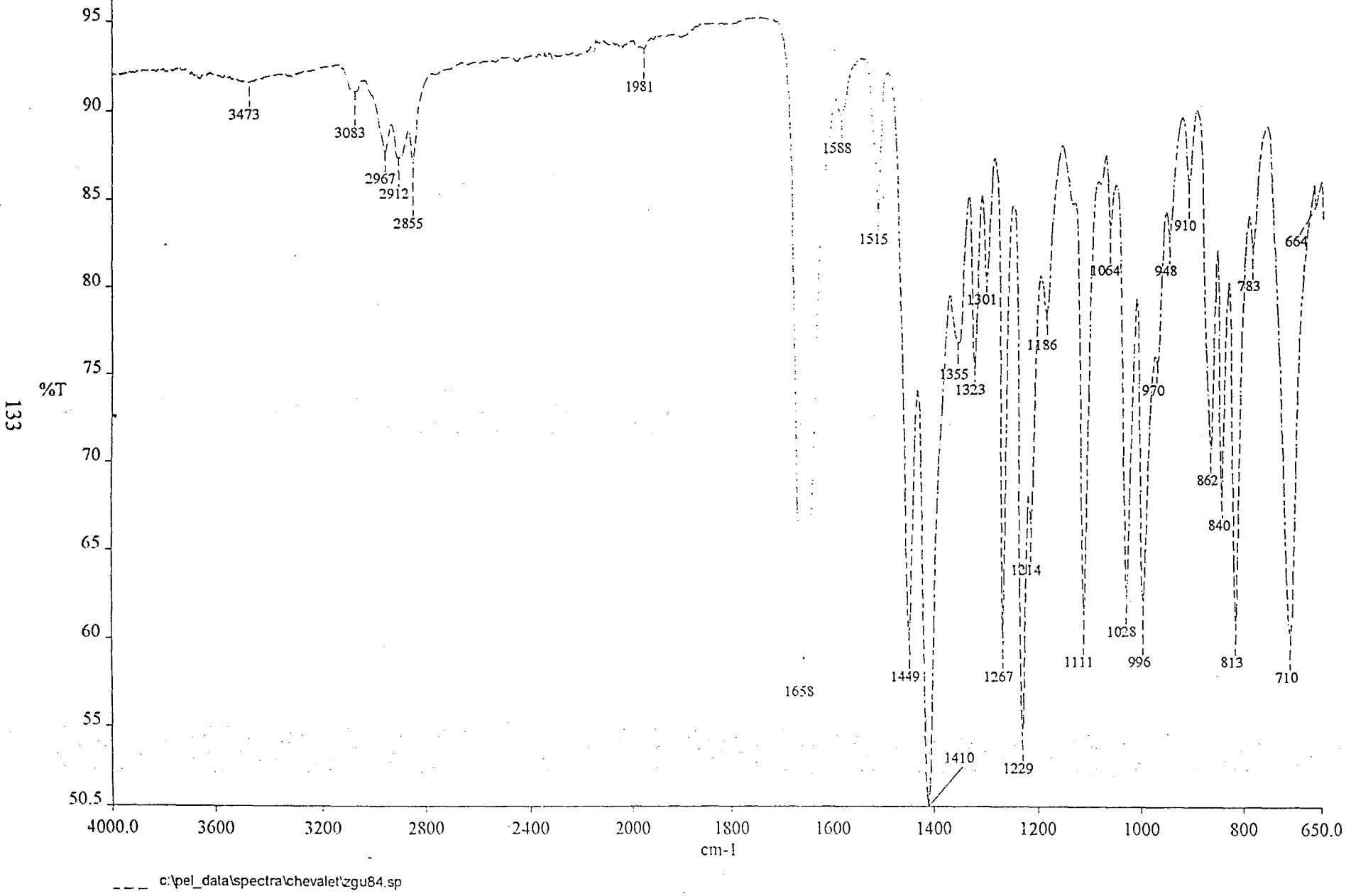
Ek 12. Bileşik B-5'e ait IR spektrumu



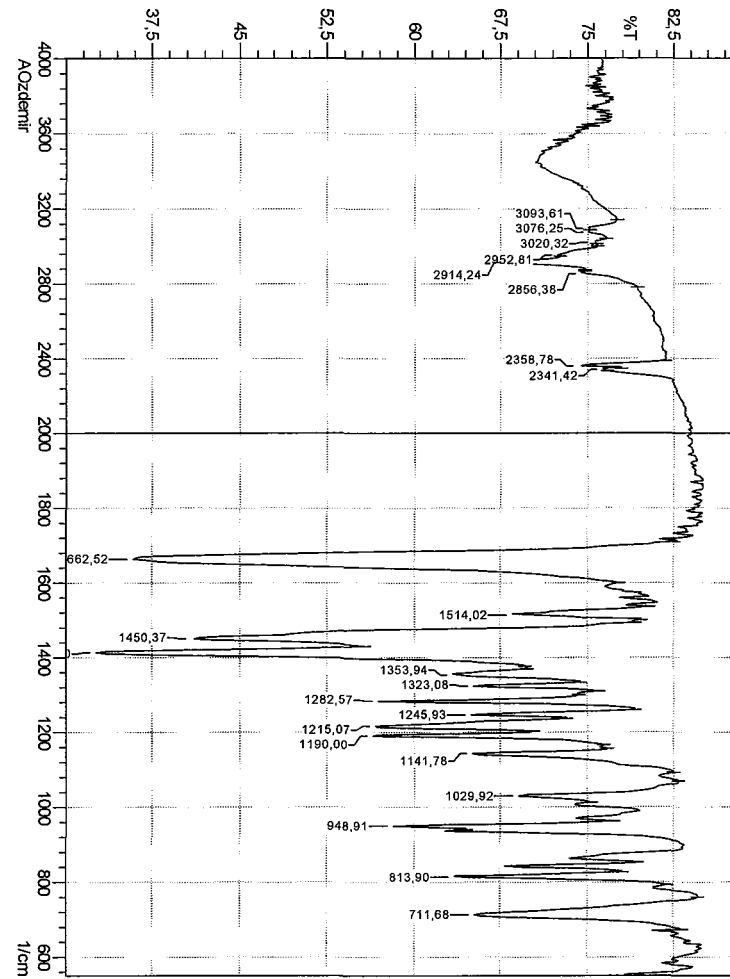
Ek 13. Bileşik B-6'ya ait IR spektrumu



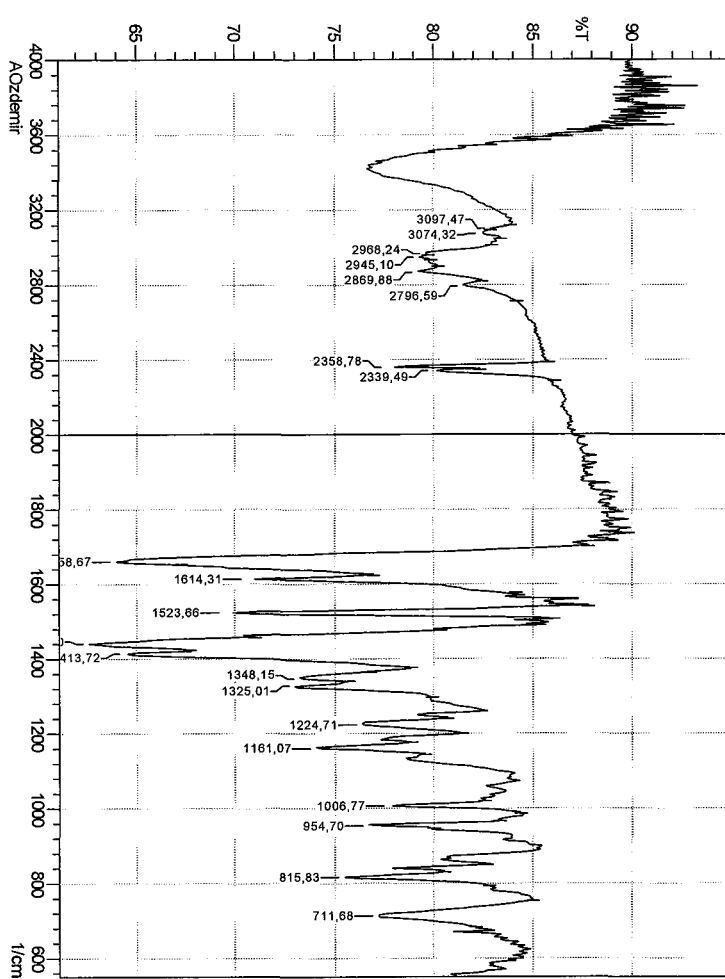
Ek 14. Bileşik B-7'ye ait IR spektrumu



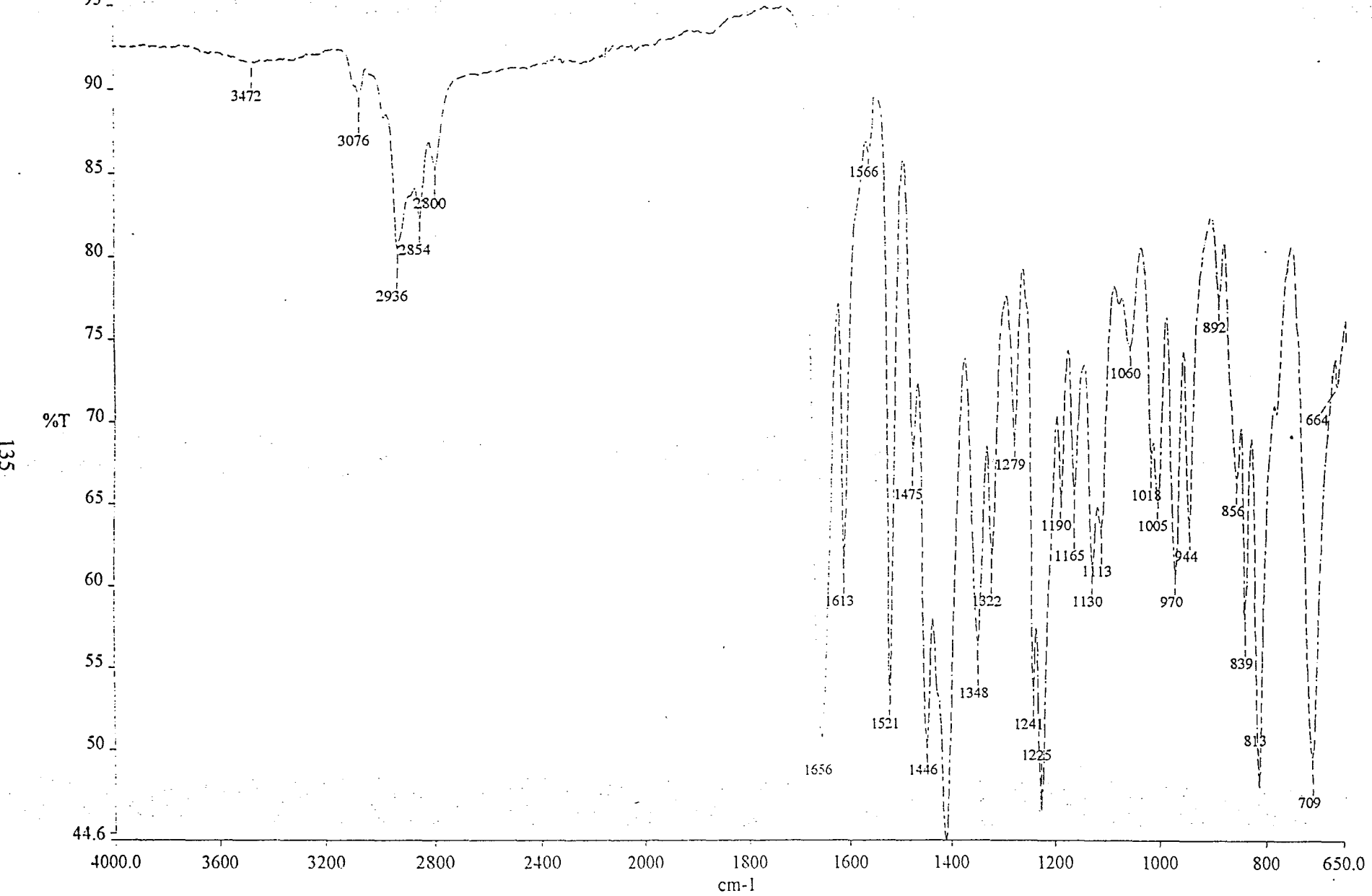
Ek 15. Bileşik B-8'e ait IR spektrumu



Ek 16. Bileşik B-9'a ait IR spektrumu

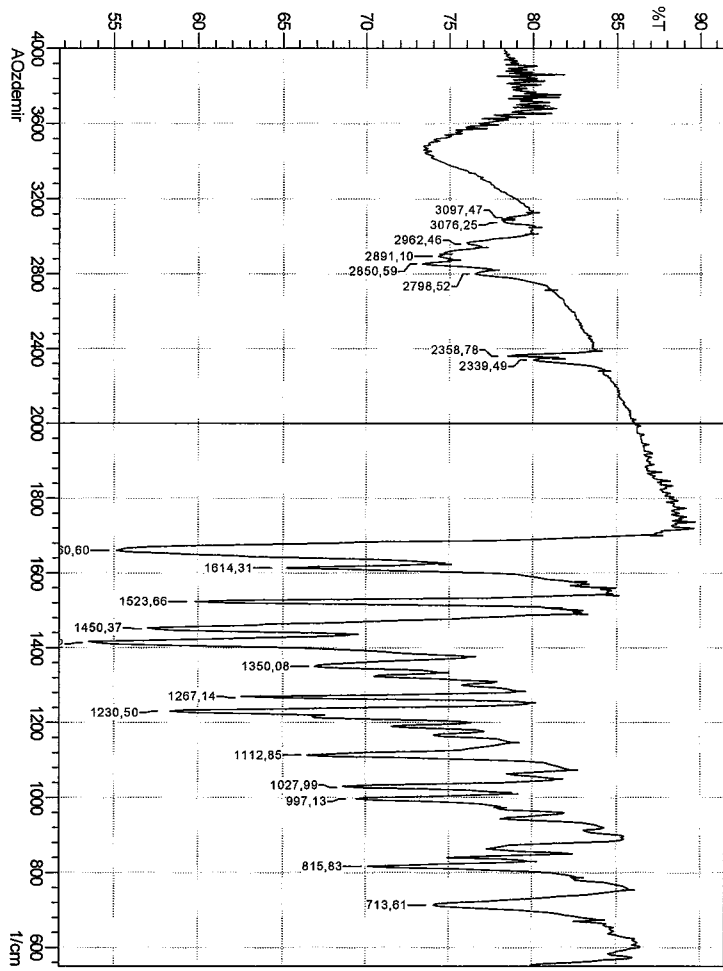


Ek 17. Bileşik B-10'a ait IR spektrumu

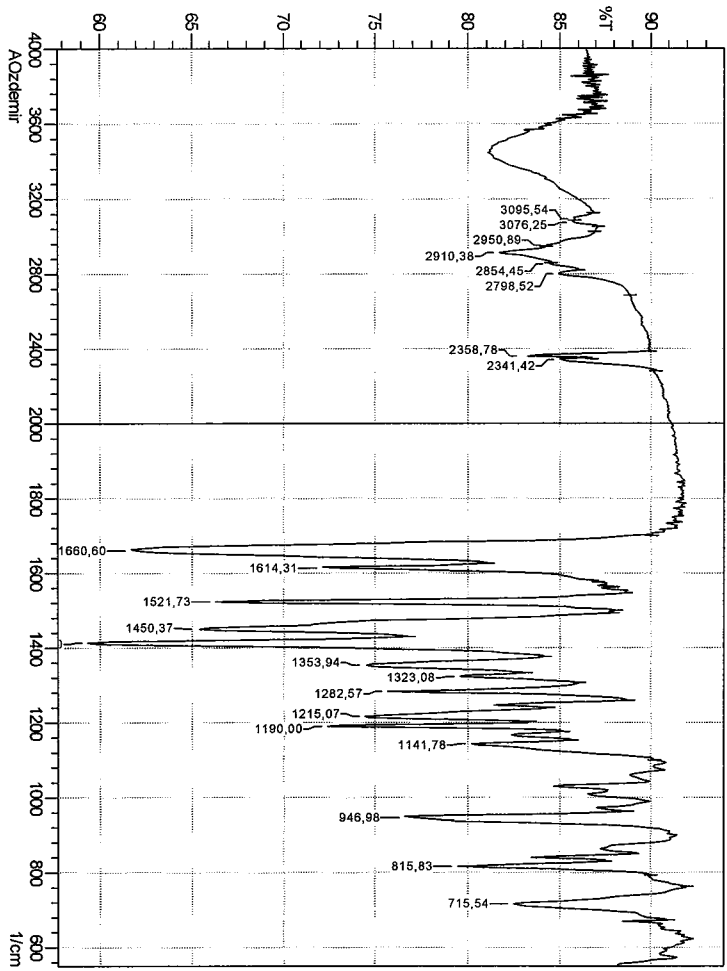


c:\pel_data\spectra\chevalet\zgu72.sp

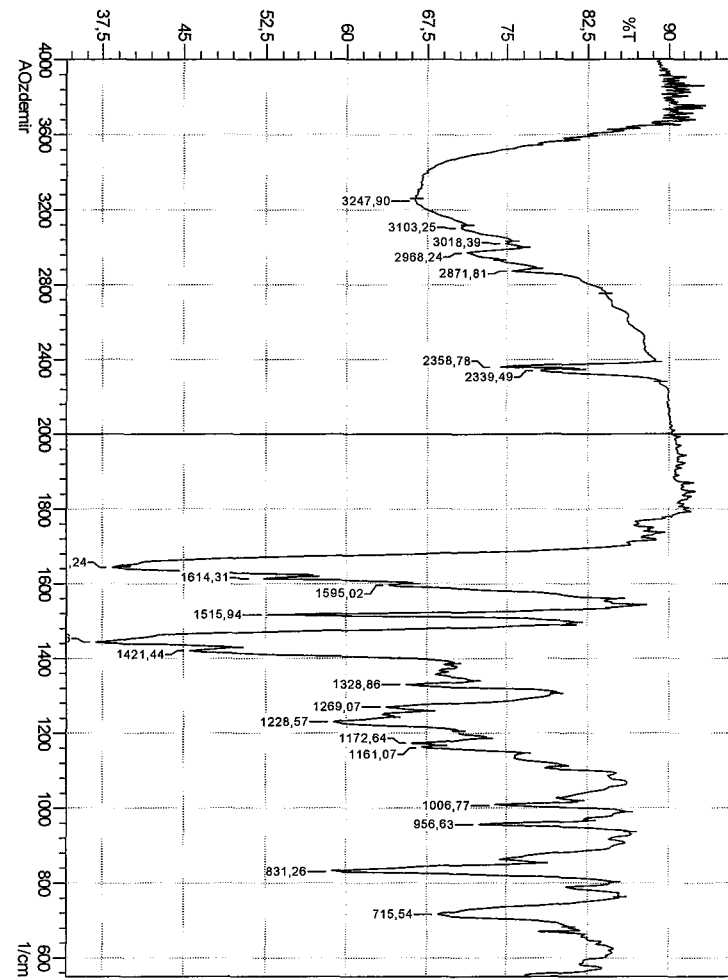
Ek 18. Bileşik B-11'e ait IR spektrumu



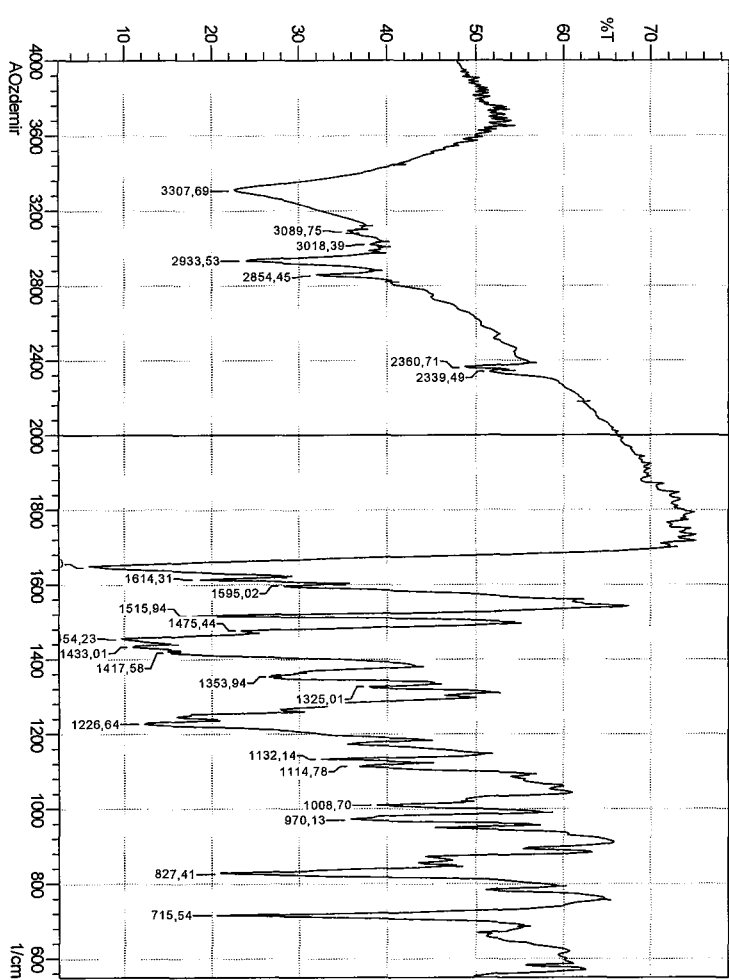
Ek 19.Bileşik B-12'ye ait IR spektrumu



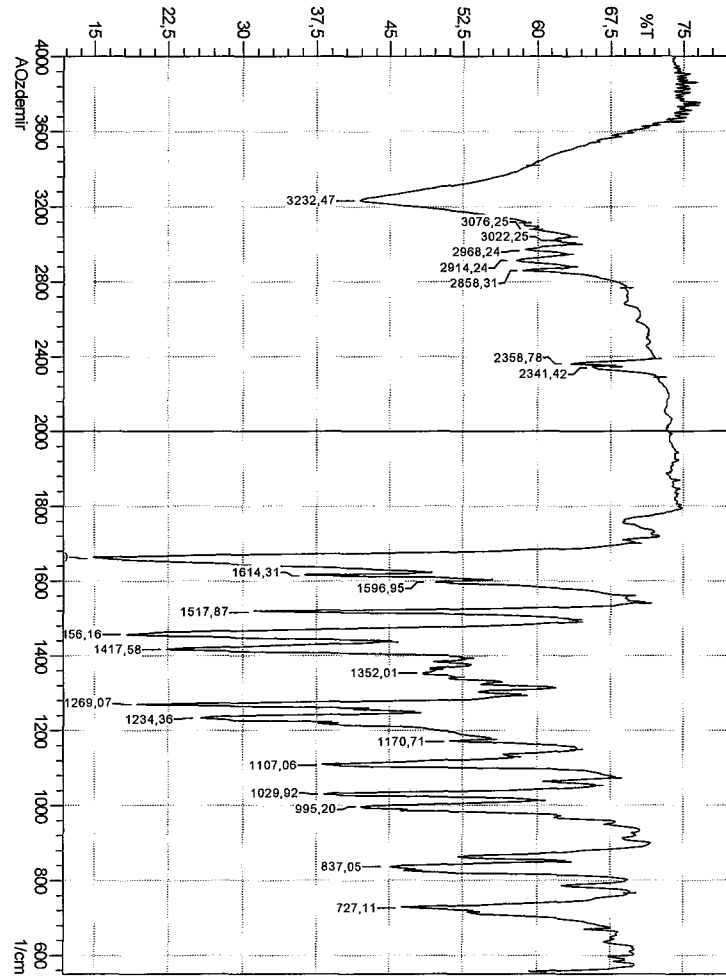
Ek 20. Bileşik B-13'e ait IR spektrumu



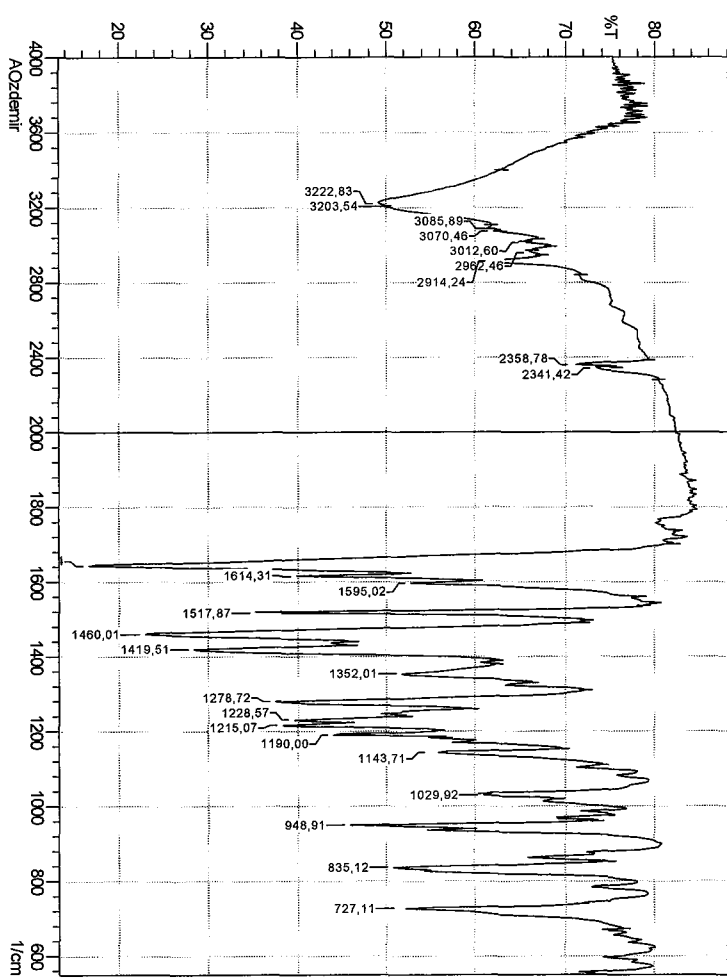
Ek 21. Bileşik B-14'e ait IR spektrumu



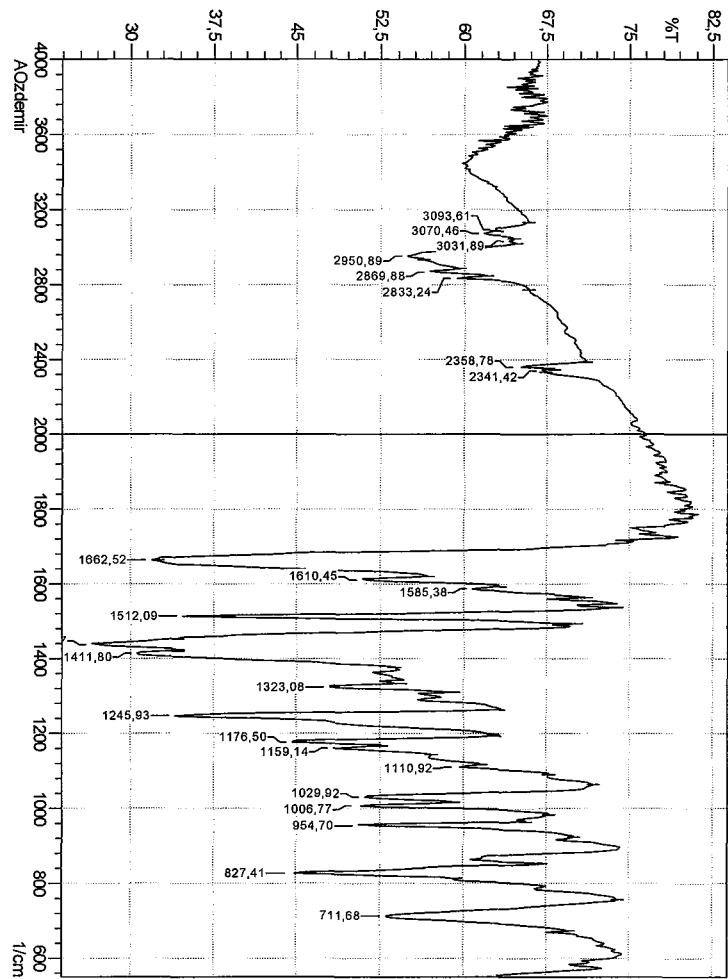
Ek 22. Bileşik B-15'e ait IR spektrumu



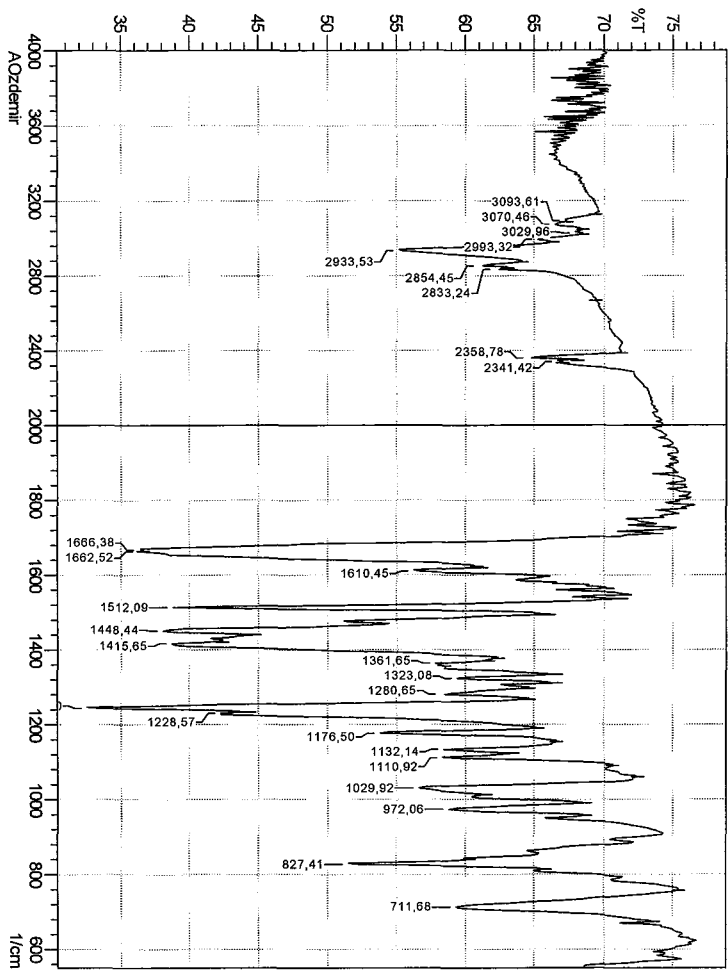
Ek 23. Bileşik B-16'ya ait IR spektrumu



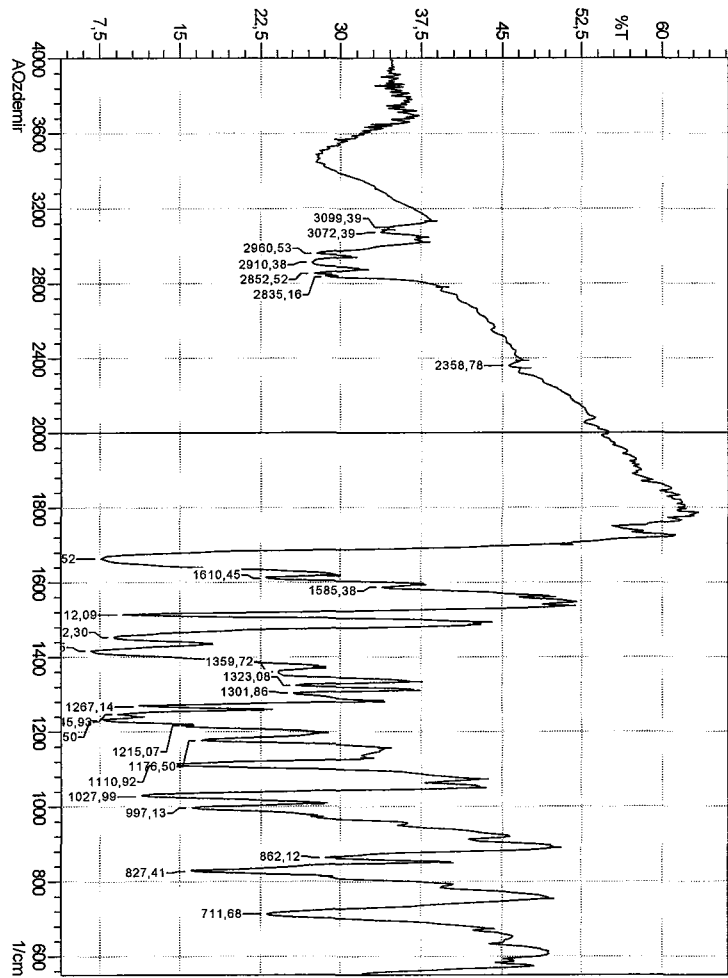
Ek 24. Bileşik B-17'ye ait IR spektrumu



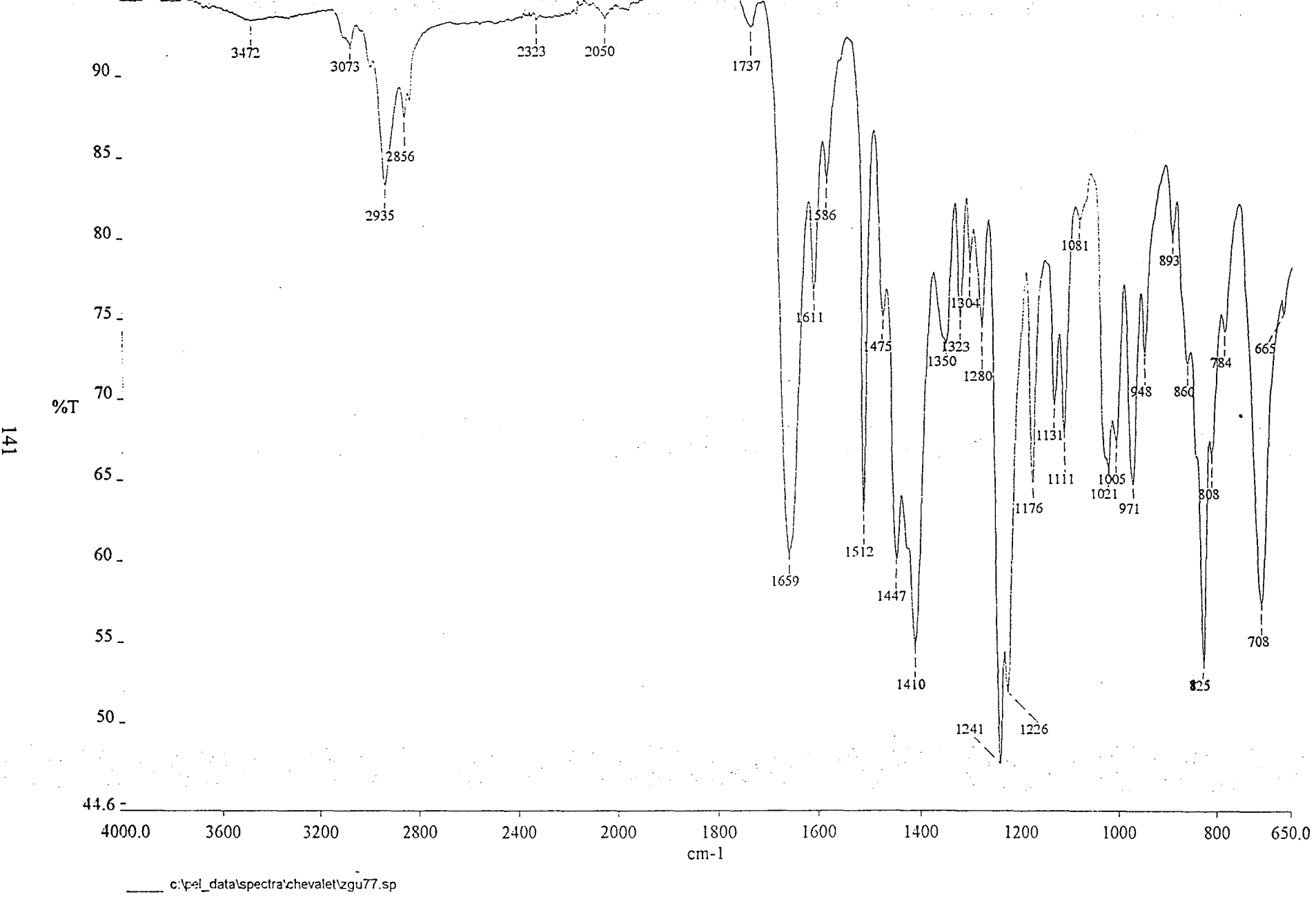
Ek 25. Bileşik B-18'e ait IR spektrumu



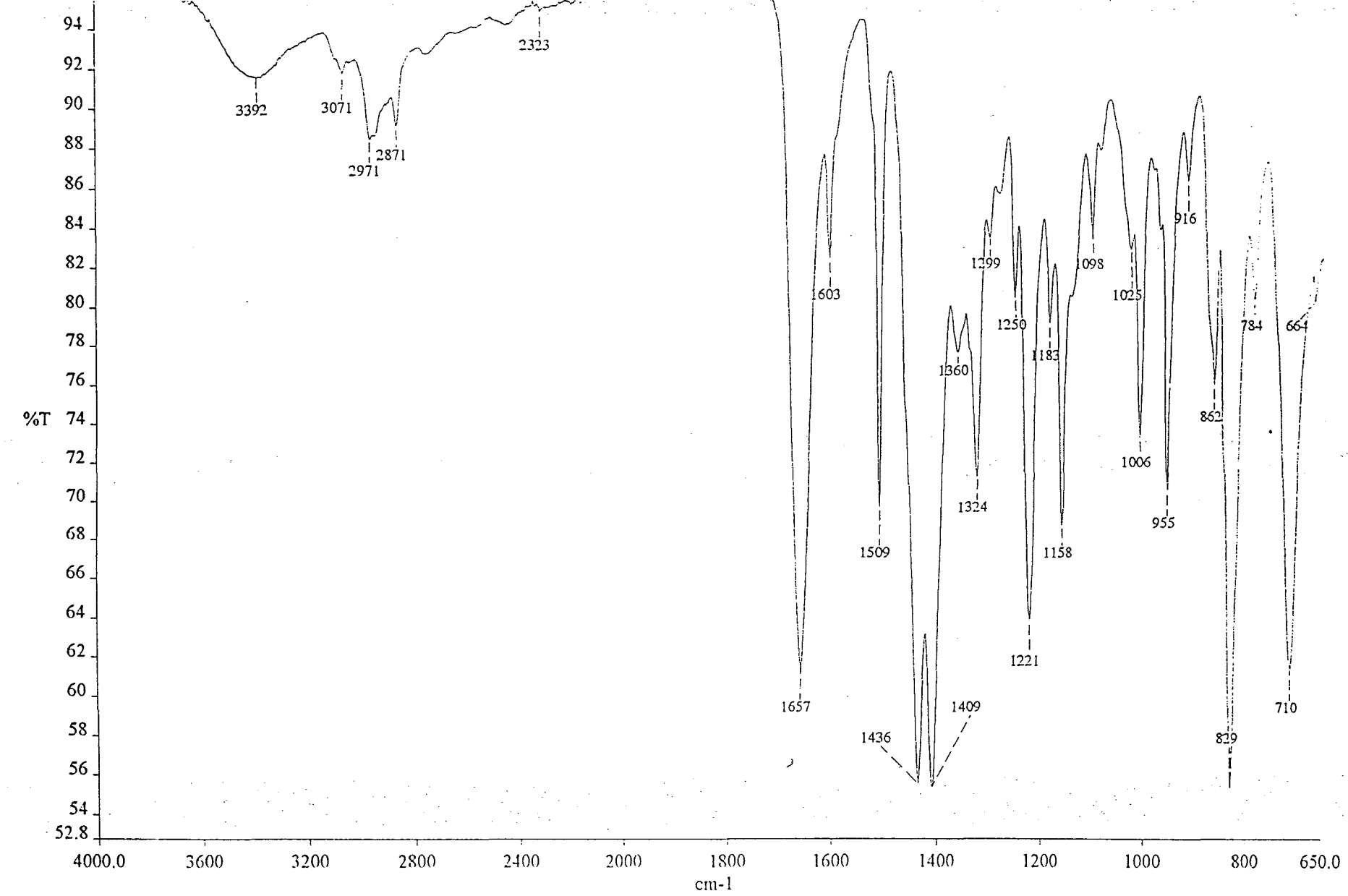
Ek 26. Bileşik B-19'a ait IR spektrumu



Ek 27. Bileşik B-20'ye ait IR spektrumu

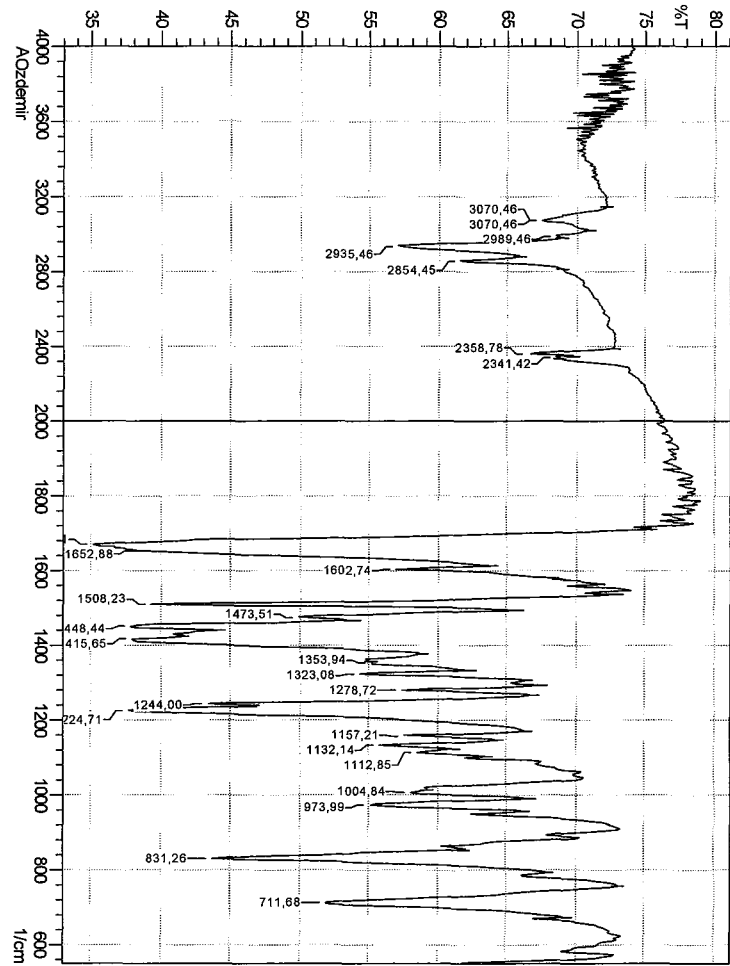


Ek 28. Bileşik B-21'e ait IR spektrumu

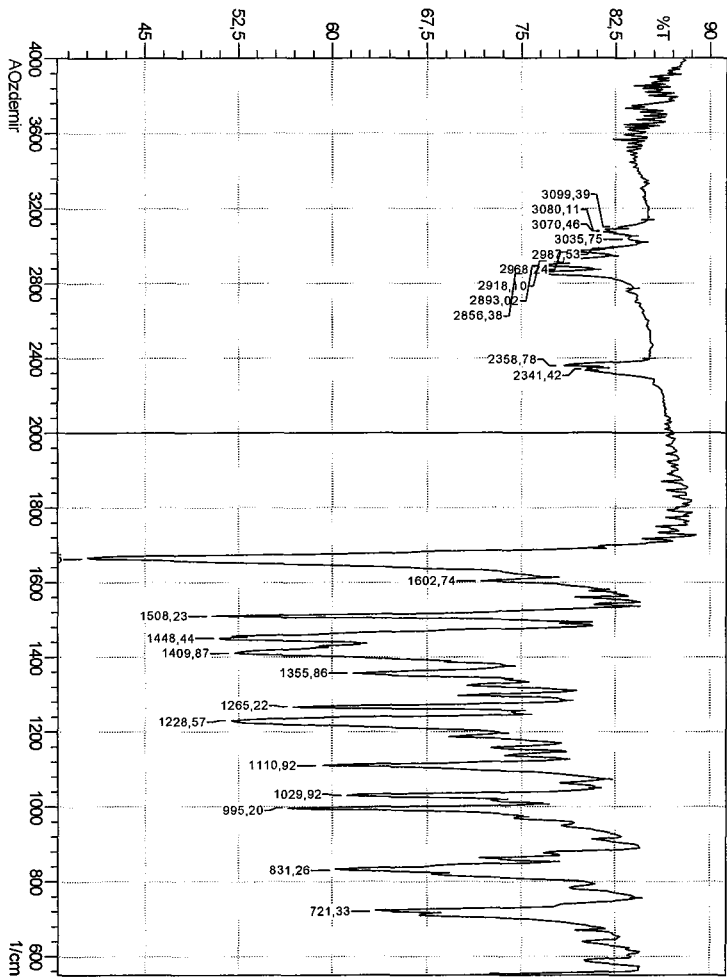


c:\pel_data\spectra\chevalet\zgu67.sp

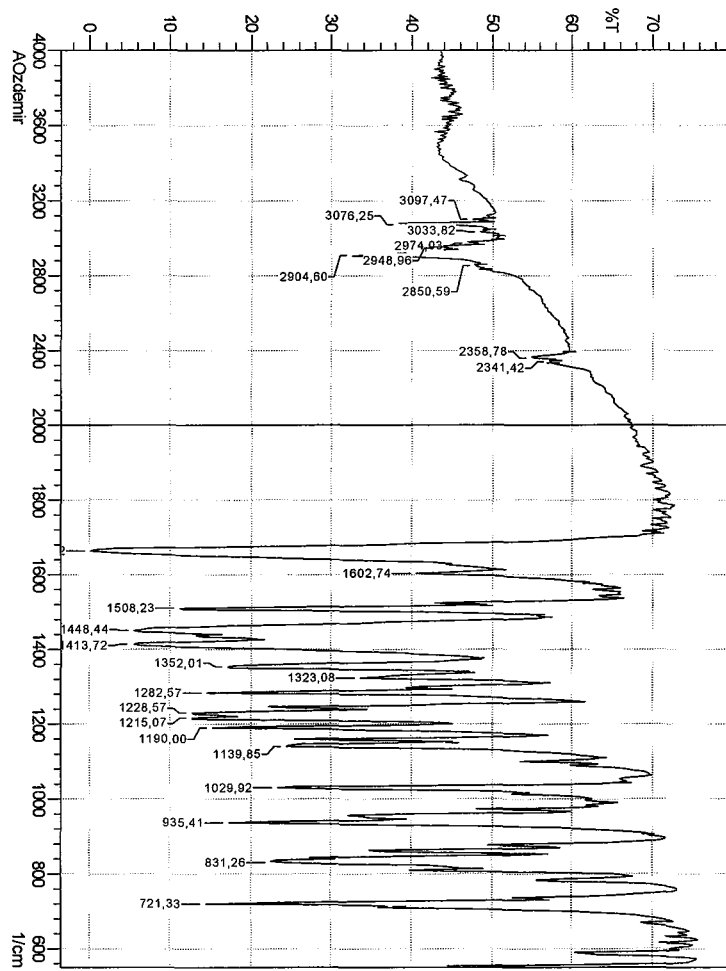
Ek 29. Bileşik B-22'ye ait IR spektrumu



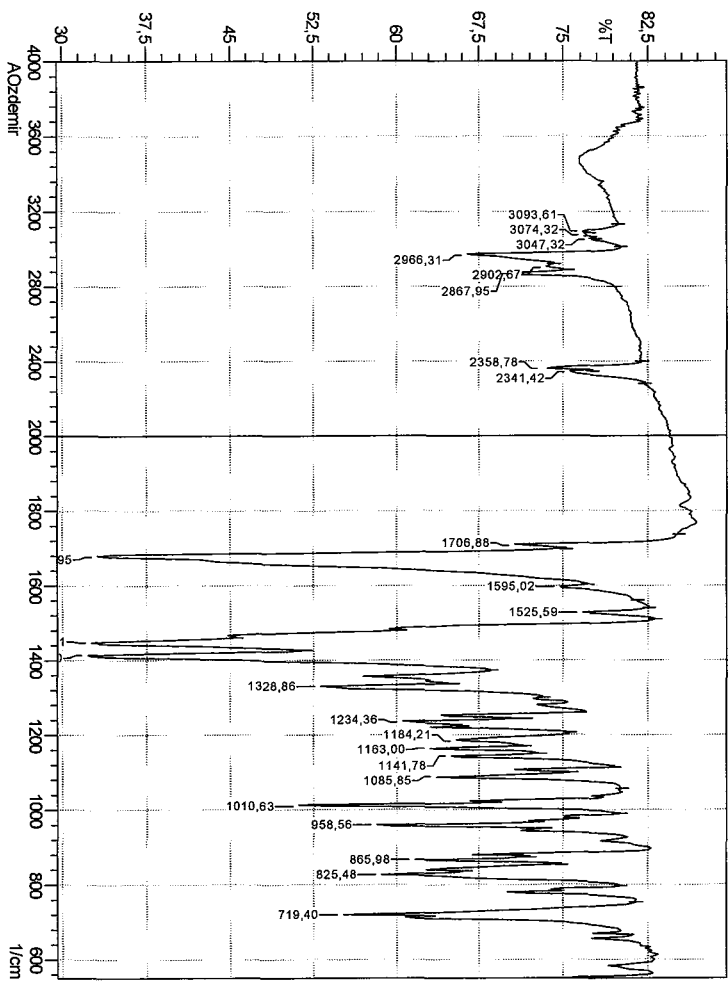
Ek 30. Bileşik B-23'e ait IR spektrumu



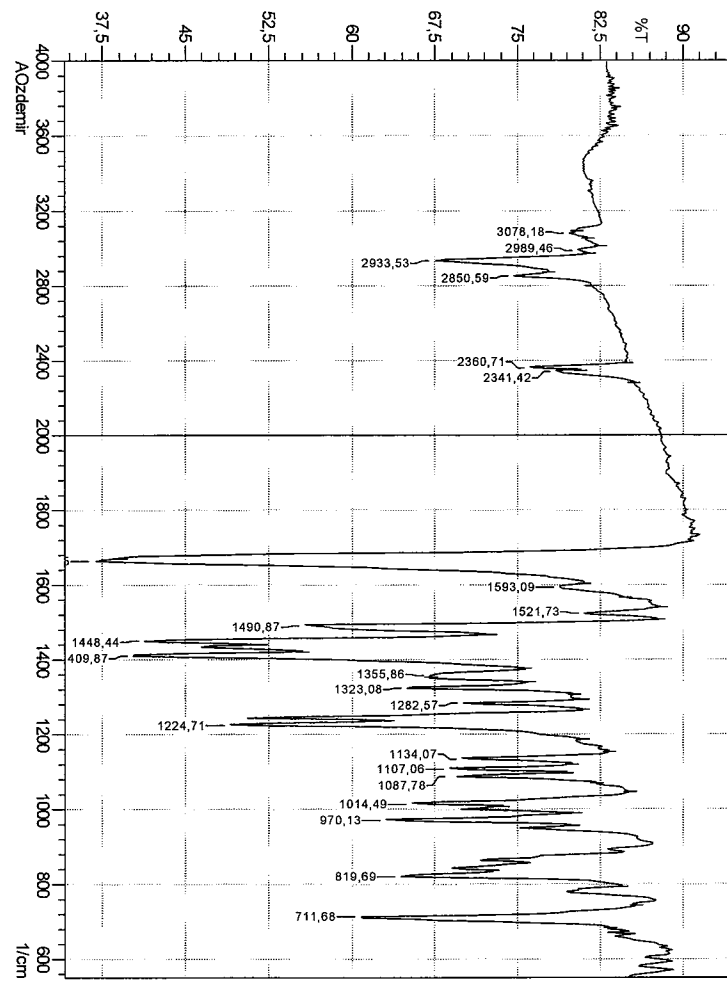
Ek 31. Bileşik B-24'e ait IR spektrumu



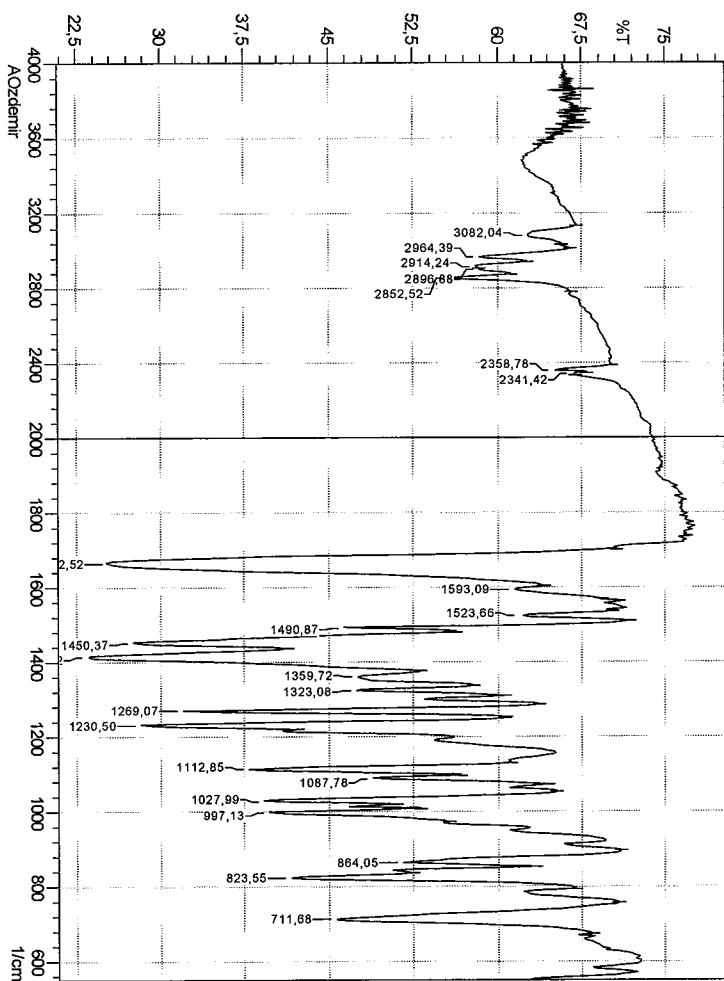
Ek 32. Bileşik B-25'e ait IR spektrumu



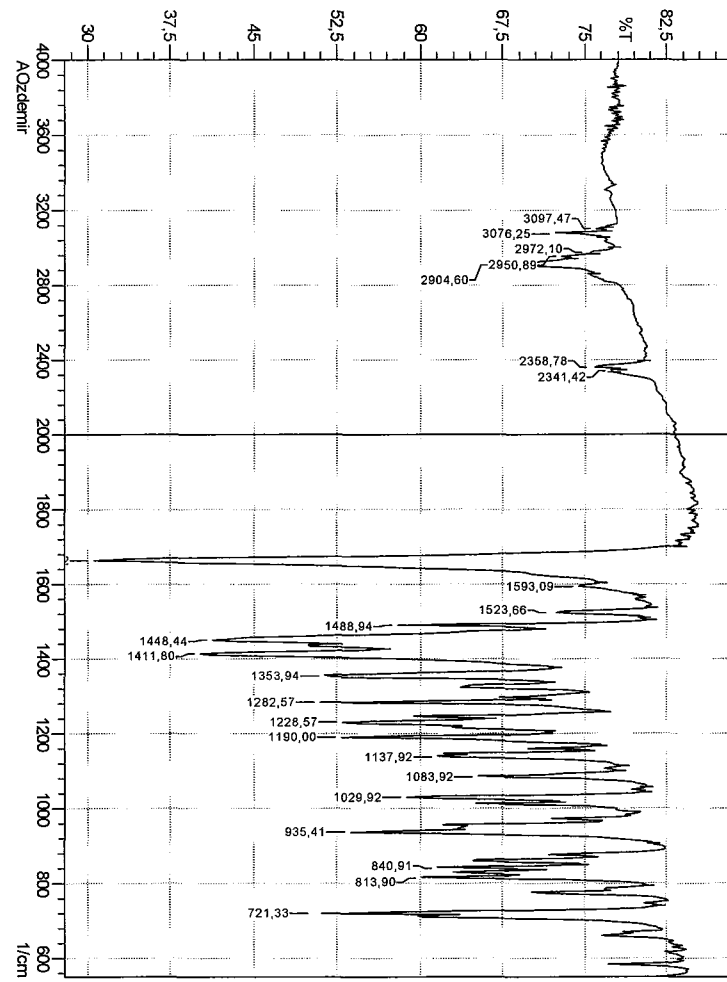
Ek 33. Bileşik B-27'ye ait IR spektrumu



Ek 34. Bileşik B-27'ye ait IR spektrumu



Ek 35. Bileşik B-28'e ait IR spektrumu



JT260S.11B
AU PROG:
X00.AU
DATE 26-6-3
TIME 13: 49

SF 250.13
SY 250.0
O1 5487.579
SI 32768
TD 32768
SR 5000.000
HZ/PT .305

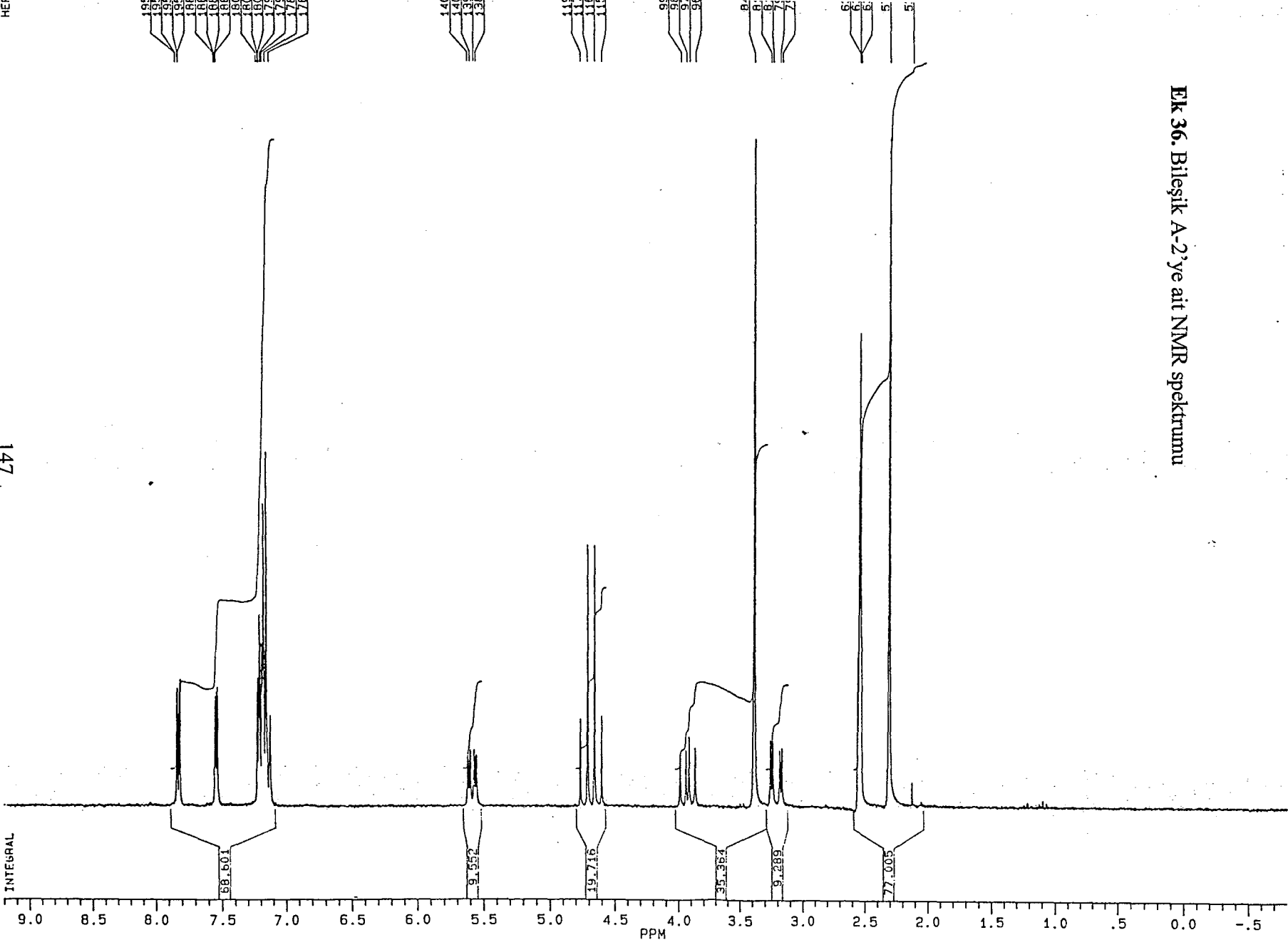
PW 0.0
RD 0.0
AQ 3.27
RG 160
NS 64
TE 297

FW 6300
Q2P 2714.499
DP 63L P0

LB .300
GB 0.0
CX 35.00
CY 18.00
F1 9.203
F2 -.798
HZ/CM 71.463
PPM/CM .28E
SR 4027.01

D1 1.00000C
PO 1.60
RGA 0.0
RD 0.0
PX 125.00
DE 64
DS 2

Ek 36. Bileşik A-2'ye ait NMR spektrumu



JI260S,120
AJ PROC:
X00,AJ
DATE 26-6-3
TIME 14:08

SF 250.134
SI 253.0
D 437.579
O 317.68
I 300.000
S 300.000
H/H 0.305
HI/PT

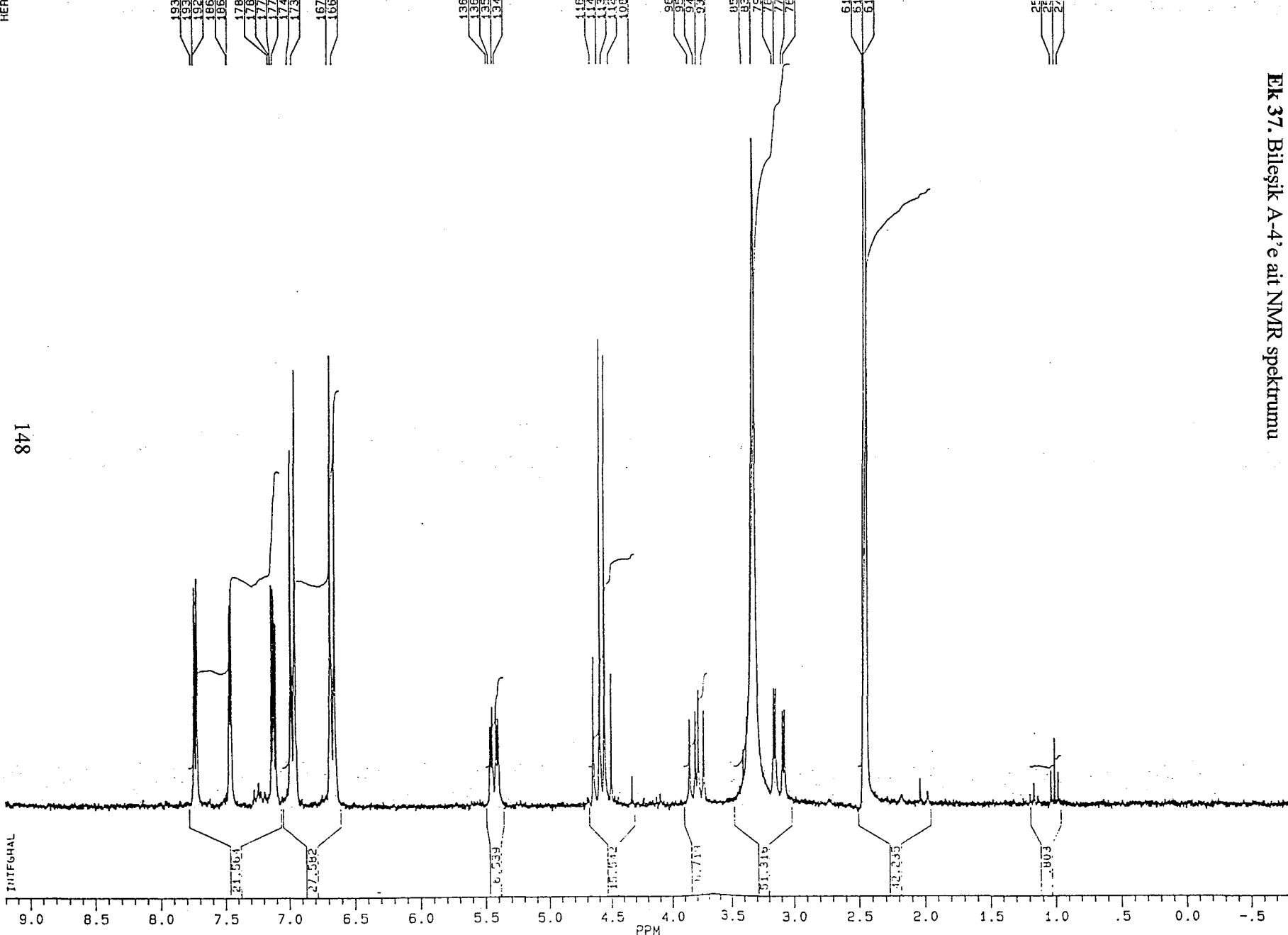
P1 0.0
P2 3.277
P3 160
P4 164
P5 137

D1 6300
D2 2714.499
D3 63_ PO

G1 300
G2 0.0
G3 35.00
G4 35.00
F1 9.202p
F2 -7.98p
HZ/CM 71.463
PPM/CM 0.286
SR 4350.20

D1 1.0000000
PO 1.60
RGA 0.0
RD 0.0
P1 125.00
D2 64.2

Ek 37. Bileşik A-4'e ait NMR spektrumu



BRUKER
— 234 —

JI260S.120
 AJ PROG:
 X00.AJ
 DATE 26-6-3
 TIME 14:08

SF 250.134
 SY 250.0
 O1 5487.576
 SI 32768
 TD 32768
 SW 5000.000
 HZ/PT .300

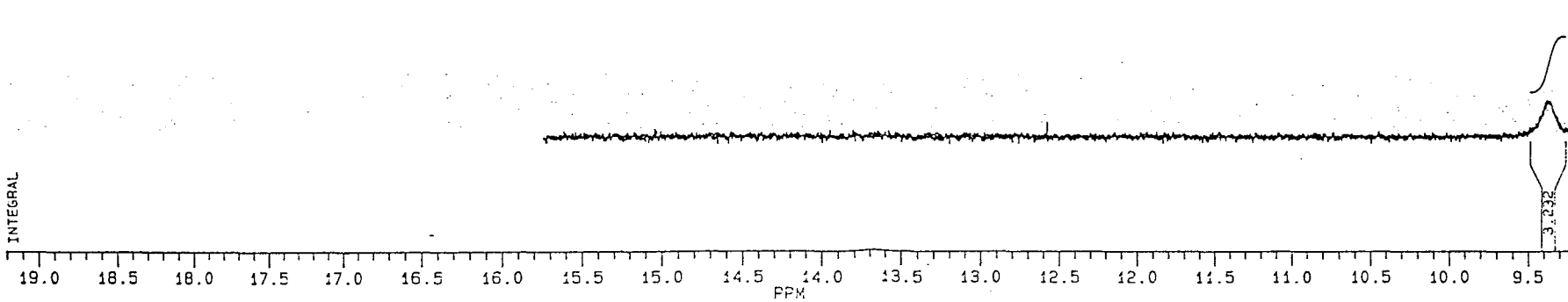
PW 0.0
 PRD 0.0
 MNOCS 3.277
 MSNS 160
 MT 64
 T1 297

FW 6300
 Q2 2714.493
 DP 63L PO

LB .300
 GB 0.0
 CX 35.00
 CY 18.00
 F1 19.20
 F2 9.20
 HZ/CM 71.466
 PPM/CM .286
 SR 4050.20

D1 1.000000
 PO 1.6
 RGA 0.0
 RD 0.0
 PW 125.00
 DE 64
 NS 2

EK 37. Bileşik A-4'e ait NMR spektrumu



J1260S.113
AU PROG:
X00.AU
DATE 26-6-03
TIME 13:02

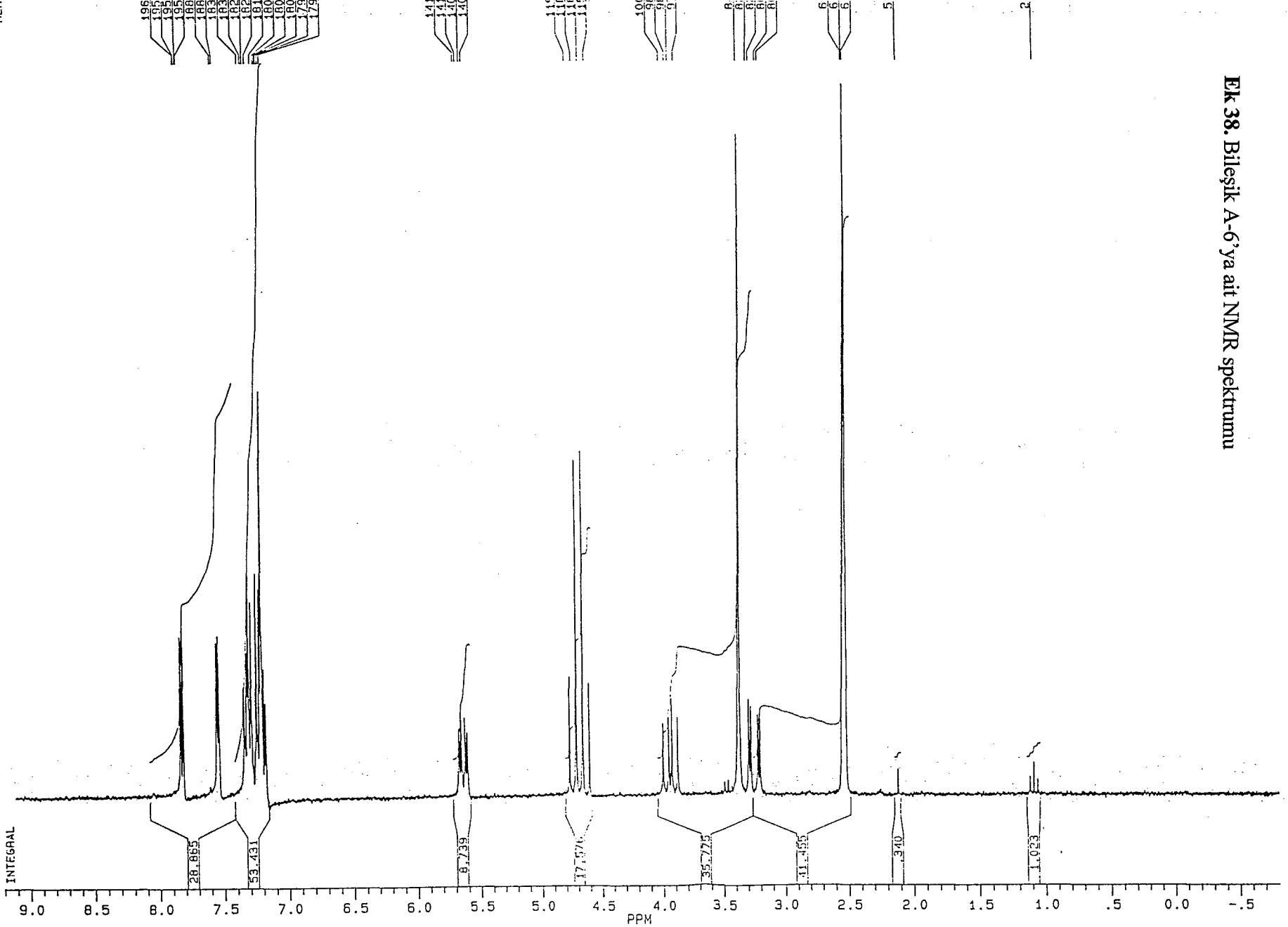
SF 250.1
SY 250.0
O1 5487.5
SI 32768
TD 32768
SN 5000.0
HZ/PT

PW 0.000
RD 0.000
AG 3.000
RG 200.000
TD 64.000
DT 297.000

F2 6300.0
D2 2714.0
DQ 63L PO
GB 0.000
CX 35.000
CY 18.000
F1 9.000
HZ/CM 71.000
PPM/CM 4027.000
SR

O1 1.0000
DQ 0.0000
PO 0.0000
RGA 0.0000
TD 12.0000
DE 0.0000
DQZ 0.0000

Ek 38. Bileşik A-6'ya ait NMR spektrumu



JI260S.106
AJ PROG:
X00.AU
DATE 26-6-3
TIME 11: 55

SF 250.13
SY 250.0
O1 5487.57
SI 32768
TD 32768
SW 5000.00
HZ/PT .30

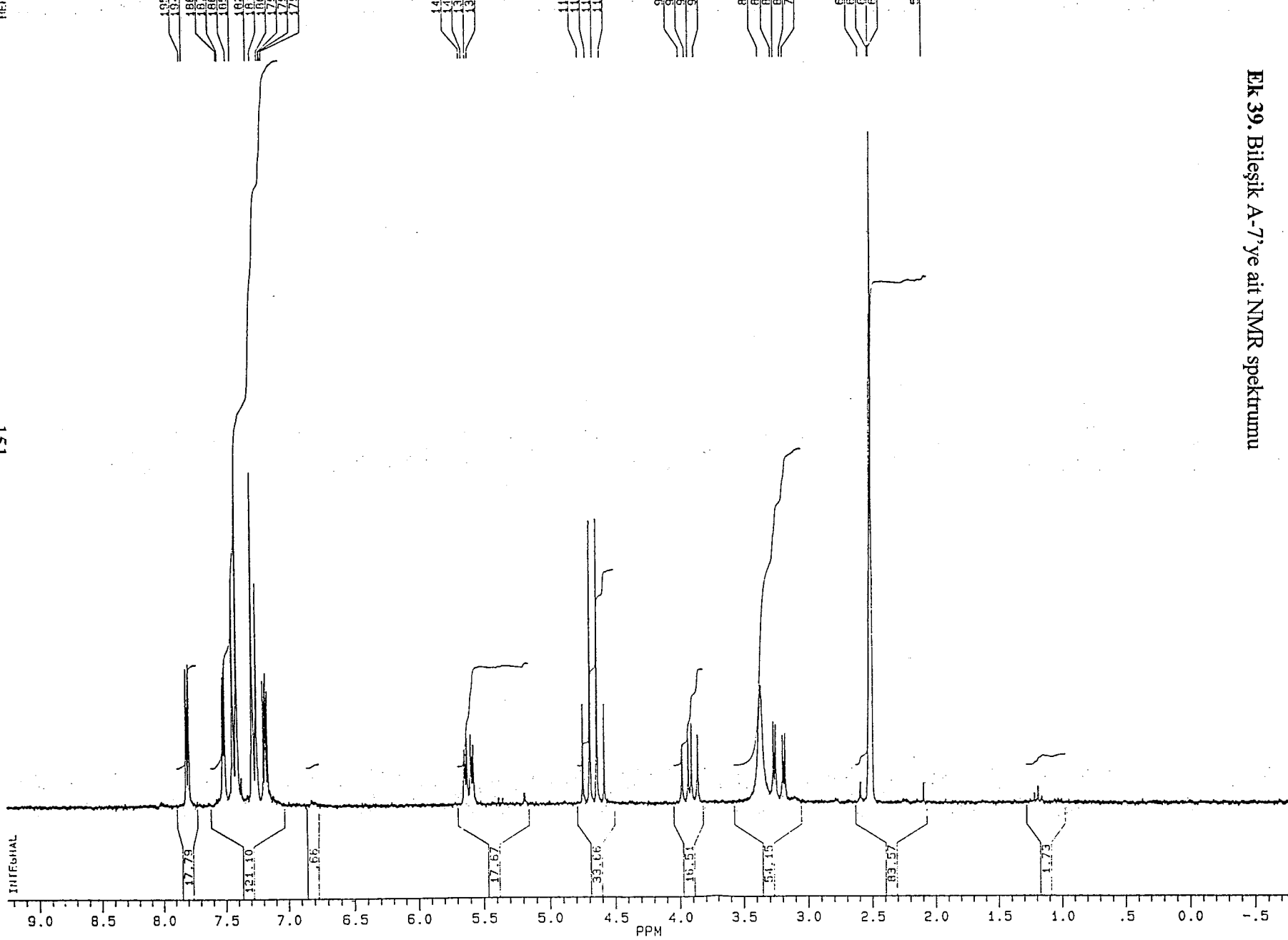
PW 0.0
RD 0.0
AQ 3.27
RG 200
NS 64
TE 297

FW 6300
O2P 2714.49
DP 63L P0

LB .30
GB 0.0
CX 35.00
CY 18.00
F1 9.24
F2 -.75
HZ/CM 71.46
PPM/CM .23
SR 4034.64

D1 1.00000
PO 1.6
RGA 0.0
DD 0.0
DS 125.0
DN 64.2

Ek 39. Bileşik A-7'ye ait NMR spektrumu



BRUKER

JA300S_116
AU PROG:
X00.AU
DATE 30-1-4

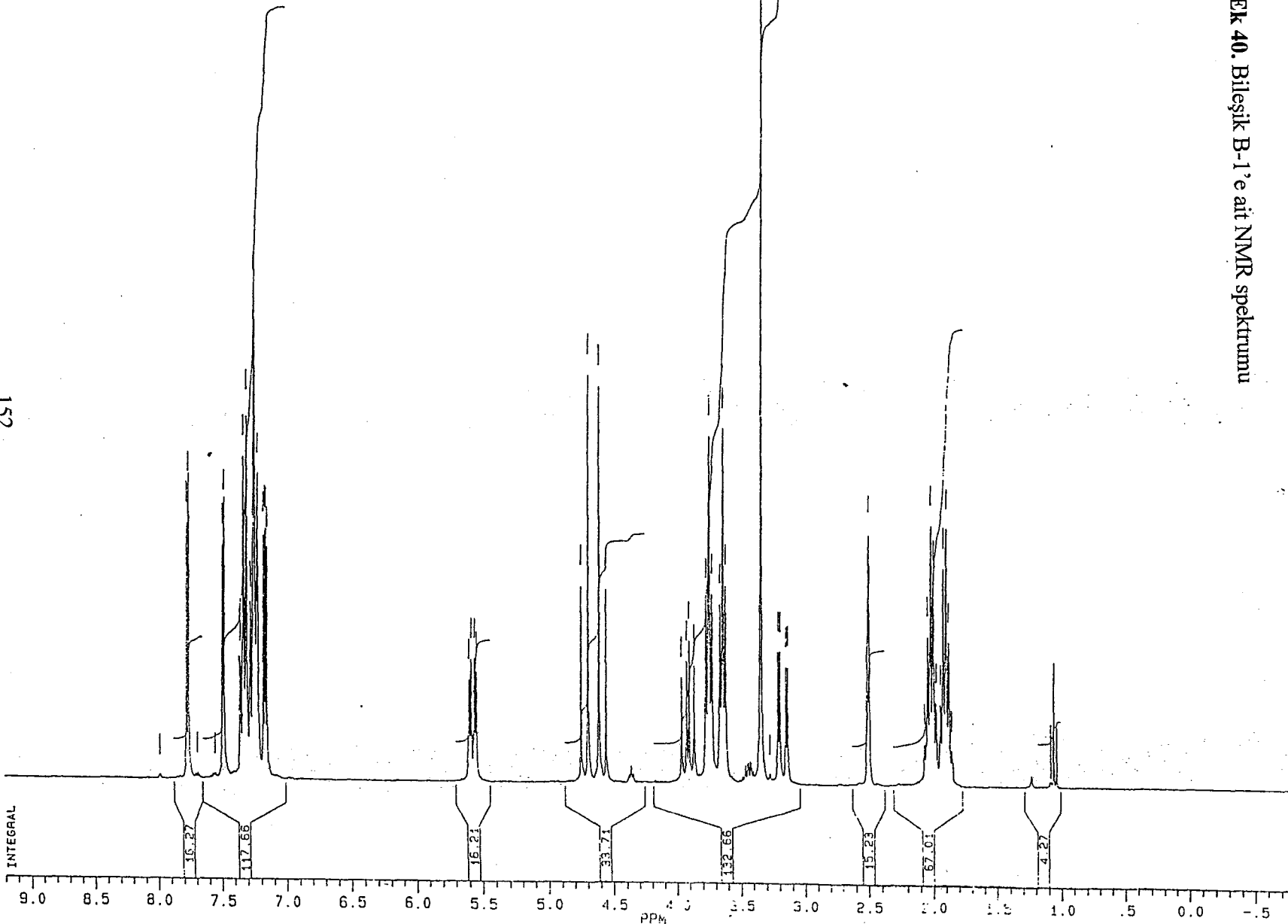
SF 300.135
SY 299.0
O1 6584.520
SI 32768
TD 32768
SW 6024.096
HZ/PT .368

PW 0.0
RD 0.0
AQ 2.720
RG 32
NS 64
TE 297

FW 7600
O2 3200.000
DP 63L P0

LB .300
GB 0.0
GX 33.33
CY 22.00
F1 9.201P
F2 -799P
HZ/CM 90.051
PPM/CM .300
SR 4787.29

Ek 40. Bileşik B-1'e ait NMR spektrumu



BRUKER

JA300S.115
AU PROG:
X00.AU
DATE 30-1-4

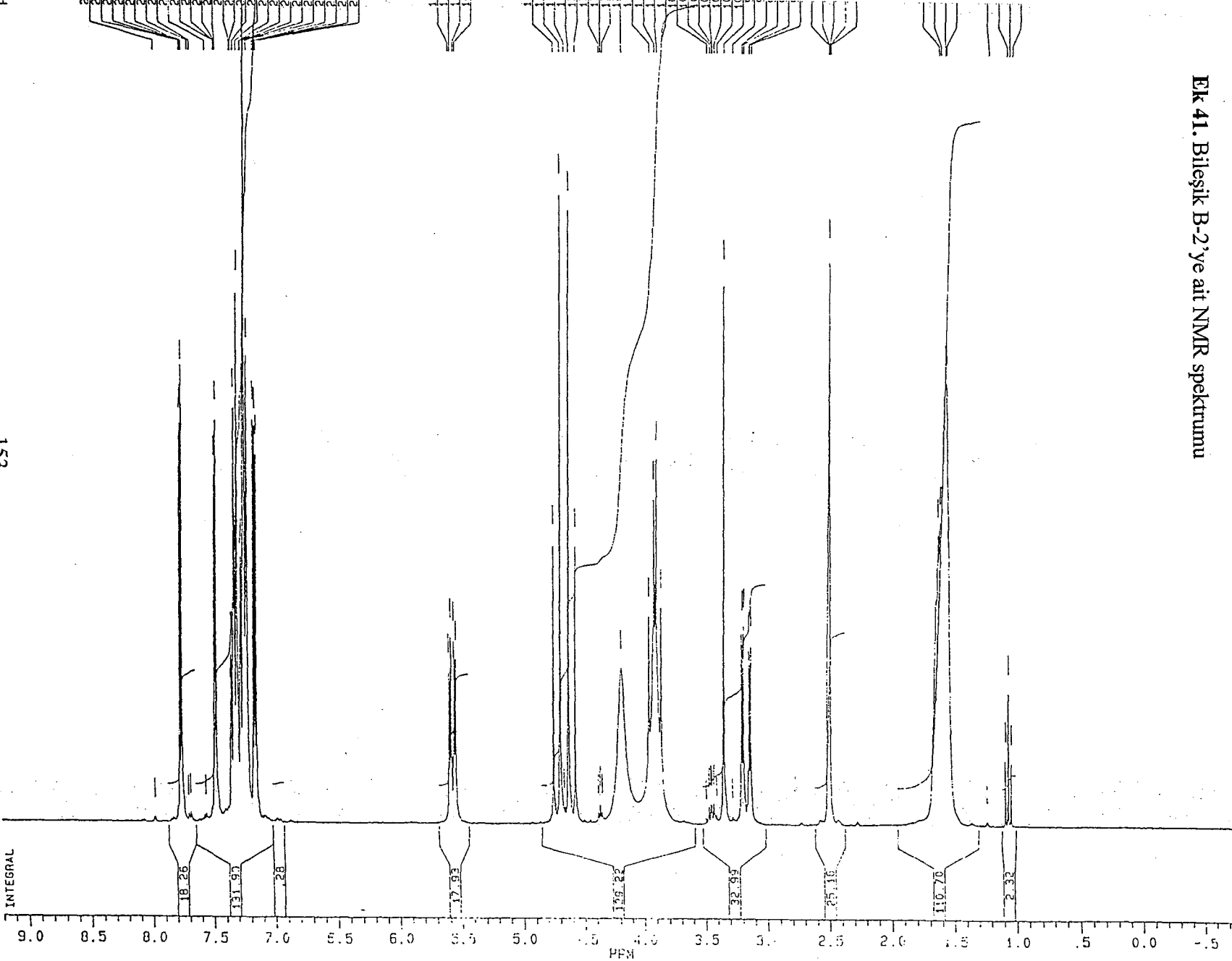
SF 300.135
SY 299.0
O1 6584.520
SI 32768
TD 32768
SW 6024.096
HZ/PT .368

PH 0.0
RD 0.0
AQ 2.720
RG 20
NS 32
TE 297

FW 7600
Q2 3200.000
DP 63L PO

LB 300
QB 0.0
CX 33.33
CY 22.00
F1 9.201P
F2 -.799P
H2/CM 90.051
PPM/CM .300
SR 4787.29

Ek 41. Bileşik B-2'ye ait NMR spektrumu



Bruker

JA300S.114
AU PROG:
X00.AU
DATE 30-1-4

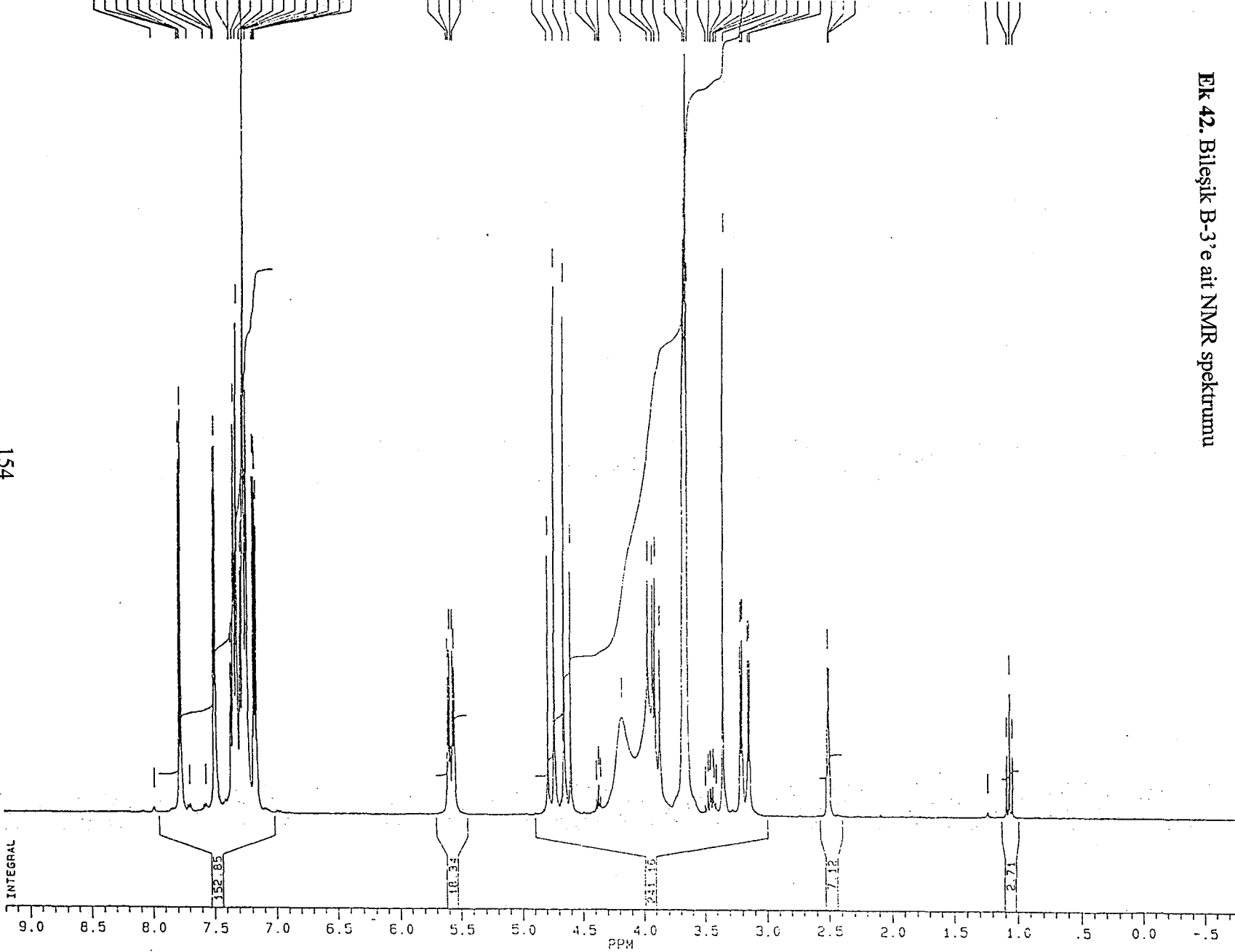
SF 300.135
SY 299.0
O1 6584.520
SI 32768
TD 32768
SW 6024.096
HZ/PT .368

PW 0.0
RD 0.0
AQ 2.720
RG 20
NS 32
TE 297

FW 7600
FO 3200.000
DP 63L PD

LB 300
QB 0.0
CX 33.33
CY 22.00
F1 9.201P
F2 -.799P
HZ/CM 90.051
PPM/CM .300
SR 4787.29

Ek 42. Bileşik B-3'e ait NMR spektrumu



 BRUKER

Ek 43. Bileşik B-4'e ait NMR spektrumu

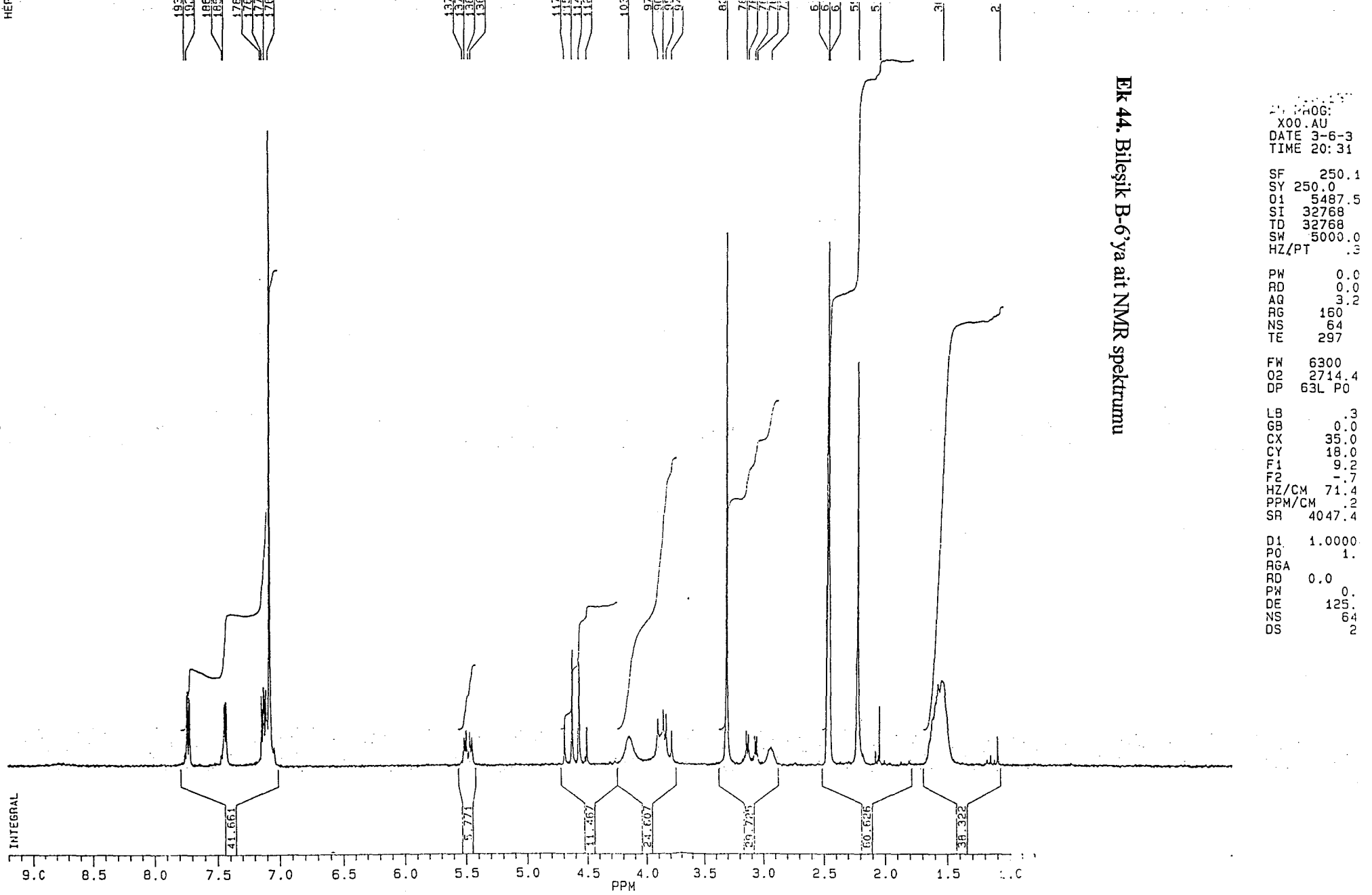
JA300S.117
AU PHUG:
X00.AU
DATE 30-1-4

SF 300.135
SY 299.0
O1 6584.520
SI 32768
TD 32768
SW 6024.096
HZ/PT .368

PW 0.0
RD 0.0
AQ 2.720
RG 32
NS 32
TE 297

FW 7600
O2P 3200.000
DP 63L P0

LB .300
GB 0.0
CX 33.33
CY 22.00
F1 9.201P
F2 -.799P
HZ/CM 90.051
PPM/CM .300
SR 4787.29



Ek 44. Bileşik B-6'ya ait NMR spektrumu

J1260S.119
AU PROG:
X00.AU
DATE 26-6-3
TIME 13: 58

SF 250.134
SY 250.0
O1 5487.579
SI 32768
TD 32768
SW 5000.000
HZ/PT .305

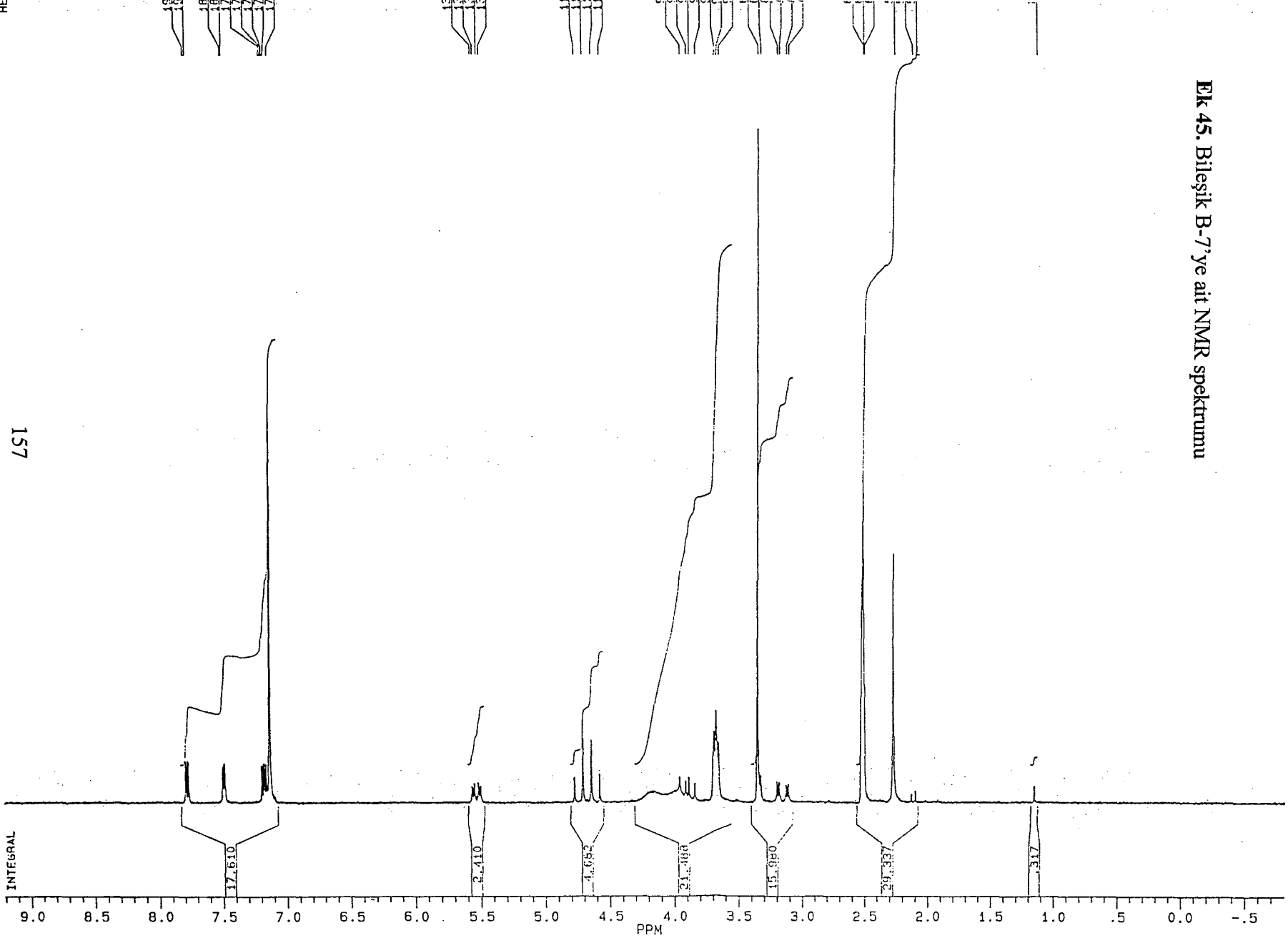
PW 0.0
RD 0.0
AQ 3.277
RG 160
N 64
TE 297

FW 6300
QD 2714.499
DP 63L P0

LB .300
GB 0.0
CX 35.00
CY 18.00
F1 9.202P
F2 -.798P
HZ/CM 71.463
PPM/CM .286
SR 4034.94

D1 1.0000000
PO 1.60
RGA 0.0
RD 0.0
CNS 125.00
DS 64
NS 2

Ek 45. Bileşik B-7'ye ait NMR spektrumu



JI0305.138
AU PROG:
X00.AU
DATE 3-6-3
TIME 20: 41

SF 250.134
SY 250.0
O1 5487.575
SI 32768
TD 32768
SW 5000.000
HZ/PT .305

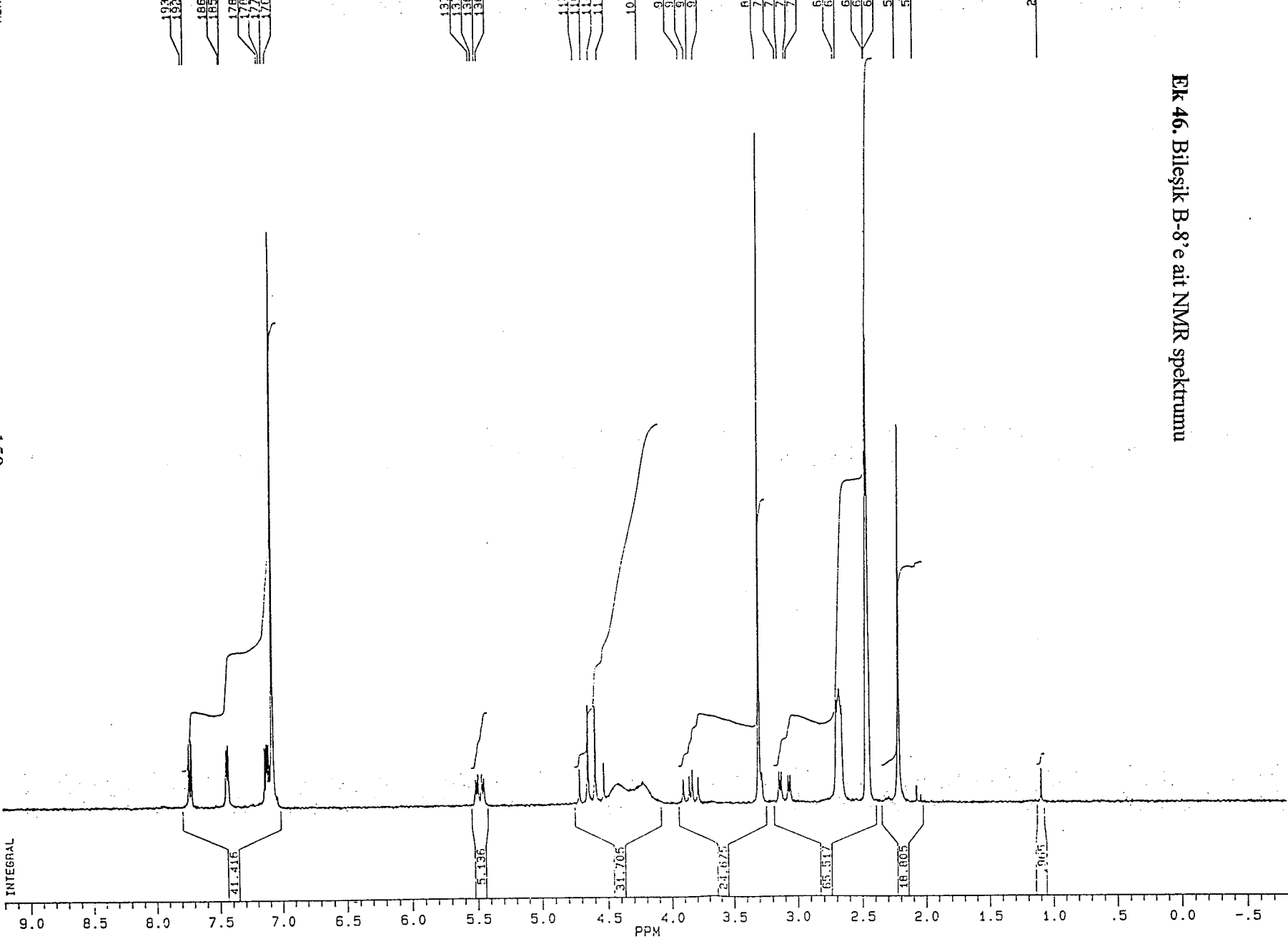
PW 0.0
RD 0.0
AQ 3.277
RG 160
NS 64
TE 297

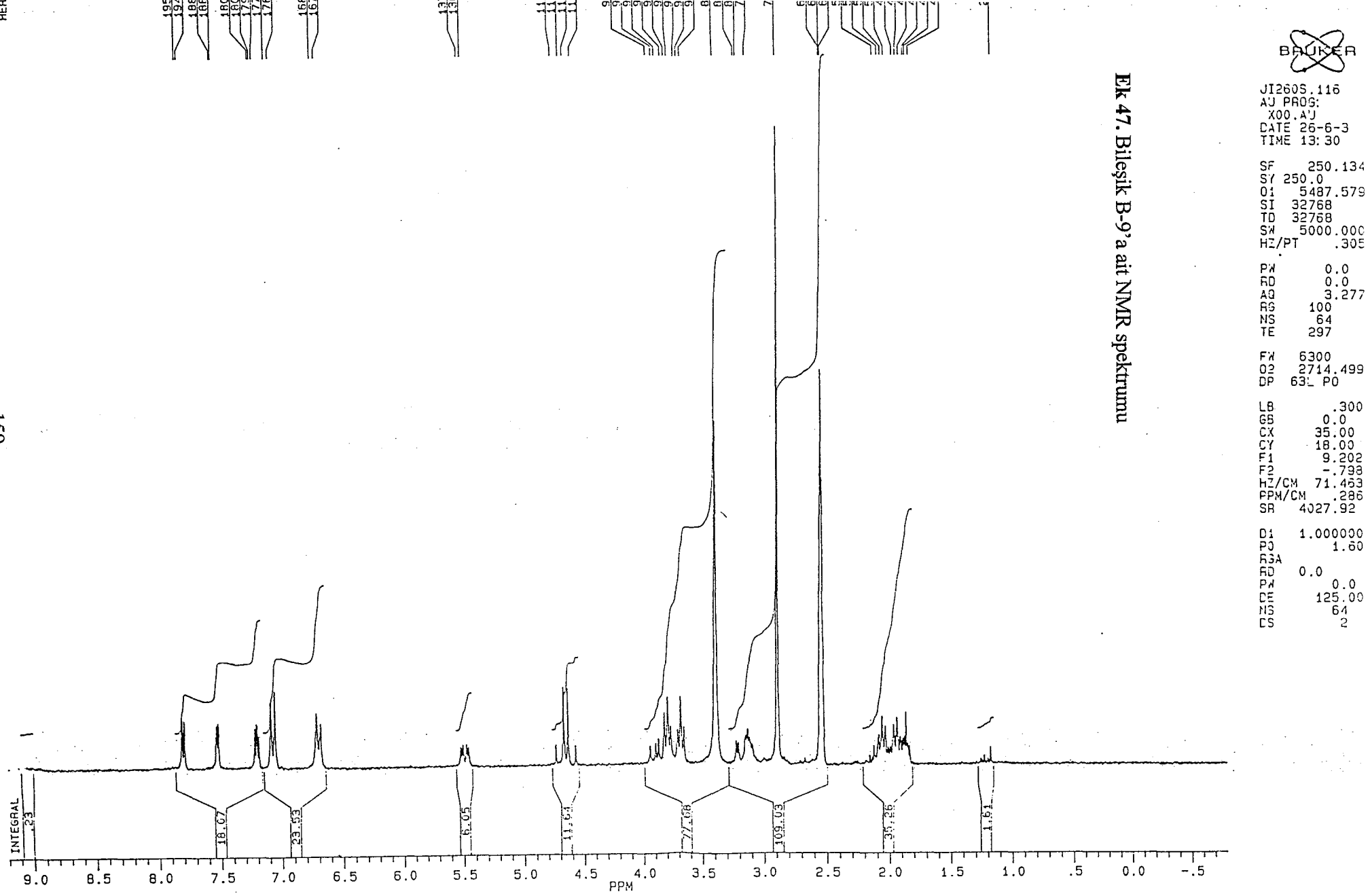
FW 6300
O2 2714.495
DP 63L P0

LB 300
LGB 0.0
CX 35.00
CY 18.00
F1 9.202
F2 -7.988
HZ/CM 71.4600
PPM/CM .288
SR 4048.37

D1 1.000000
PO 1.60
RGA 0.0
RD 0.0
PW 125.00
DE 64
DS 2

Ek 46. Bileşik B-8'e ait NMR spektrumu





Ek 47. Bileşik B-9'a ait NMR spektrumu

BRUKER

J10303.134
AU PRCG:
X00.AU
DATE 3-6-3
TIME 20:02

RF 250.134
SY 250.0
O1 5487.579
I1 52763
TD 32768
SW 5000.000
HZ/PT .305

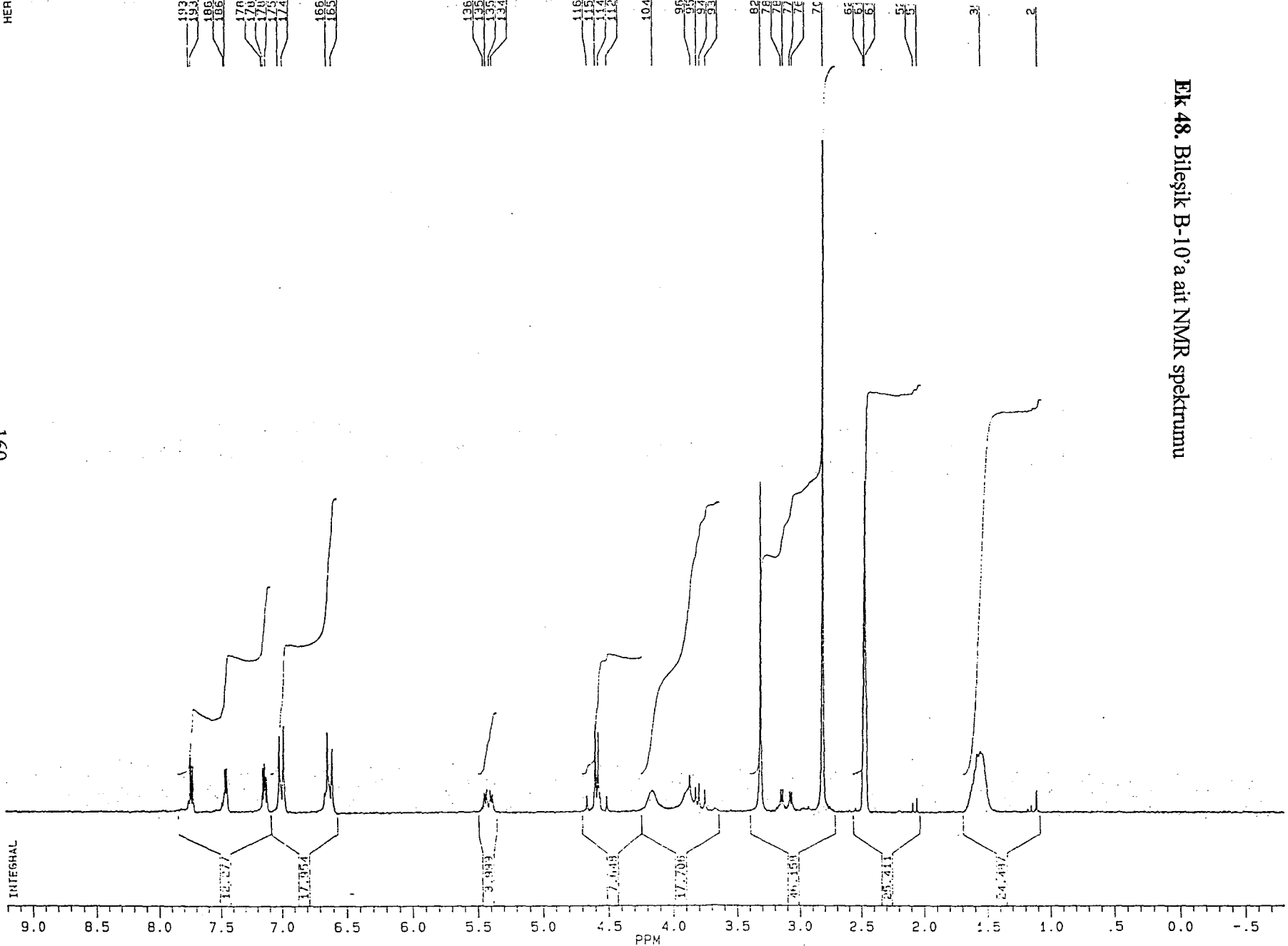
PW 0.0
RD 0.0
AGC 3.277
AQNTE 100
D1 64
RTE 297

FW 6300
O2P 2714.499
DP 63L P0

LB 300
LBB 0.0
GCX 35.00
CL1 18.00
E1 9.20
E2 -.7930
HZ/CM 71.4636
PPM/CM .286
SR 4044.71

D1 1.000000
DQG 1.60
RGA 0.0
DQG 0.0
DP 125.00
DQG 64
DQG 2.0

EK 48. Bileşik B-10'a ait NMR spektrumu



JIO303.135
AU PROG:
X00.AU
DATE 3-6-3
TIME 20: 12

SF 250.13
SY 250.0
O1 5487.57
SI 32768
TD 32768
SW 5000.00
HZ/PT .30

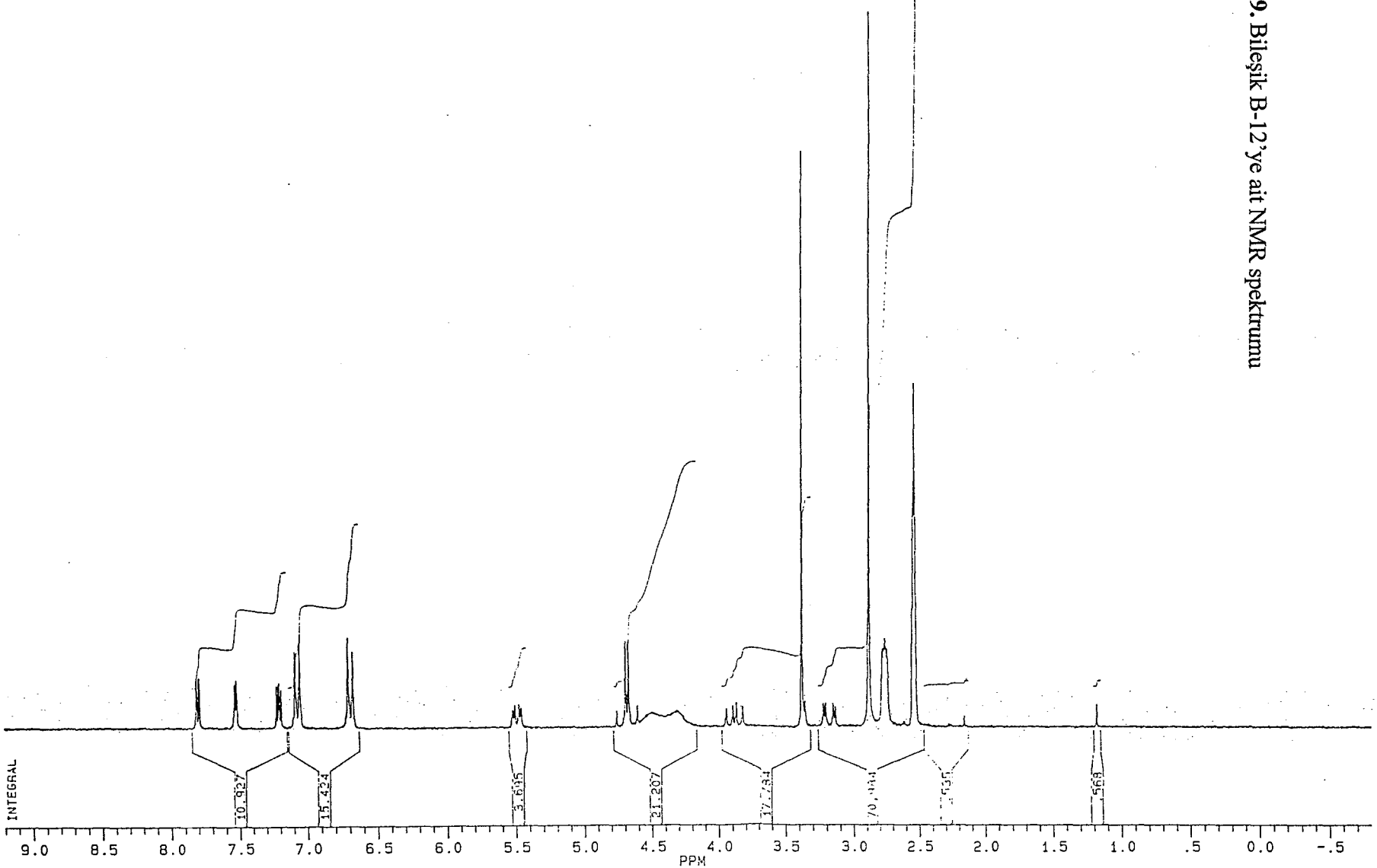
PW 0.0
RD 0.0
AG 3.27
RG 100
NS 64
TE 297

FW 6300
O2 2714.49
DP 63L P0

LB .30
GB 0.0
CX 35.00
CY 18.00
F1 9.20
F2 -.79
HZ/CM 71.46
PPM/CM .28
SR 4026.70

D1 1.00000
PQ 1.0
RGA 0.0
RD 0.0
RP 125.0
DS 6.42

Ek 49. Bileşik B-12'ye ait NMR spektrumu



BRUKER

JI03GS.139
AU PROG:
XCO.AU
DATE 3-6-3
TIME 20: 50

SF 250.134
SY 250.0
O1 5487.579
SI 32768
SC1 32768
SW 5000.000
HZ/PT .30⁵

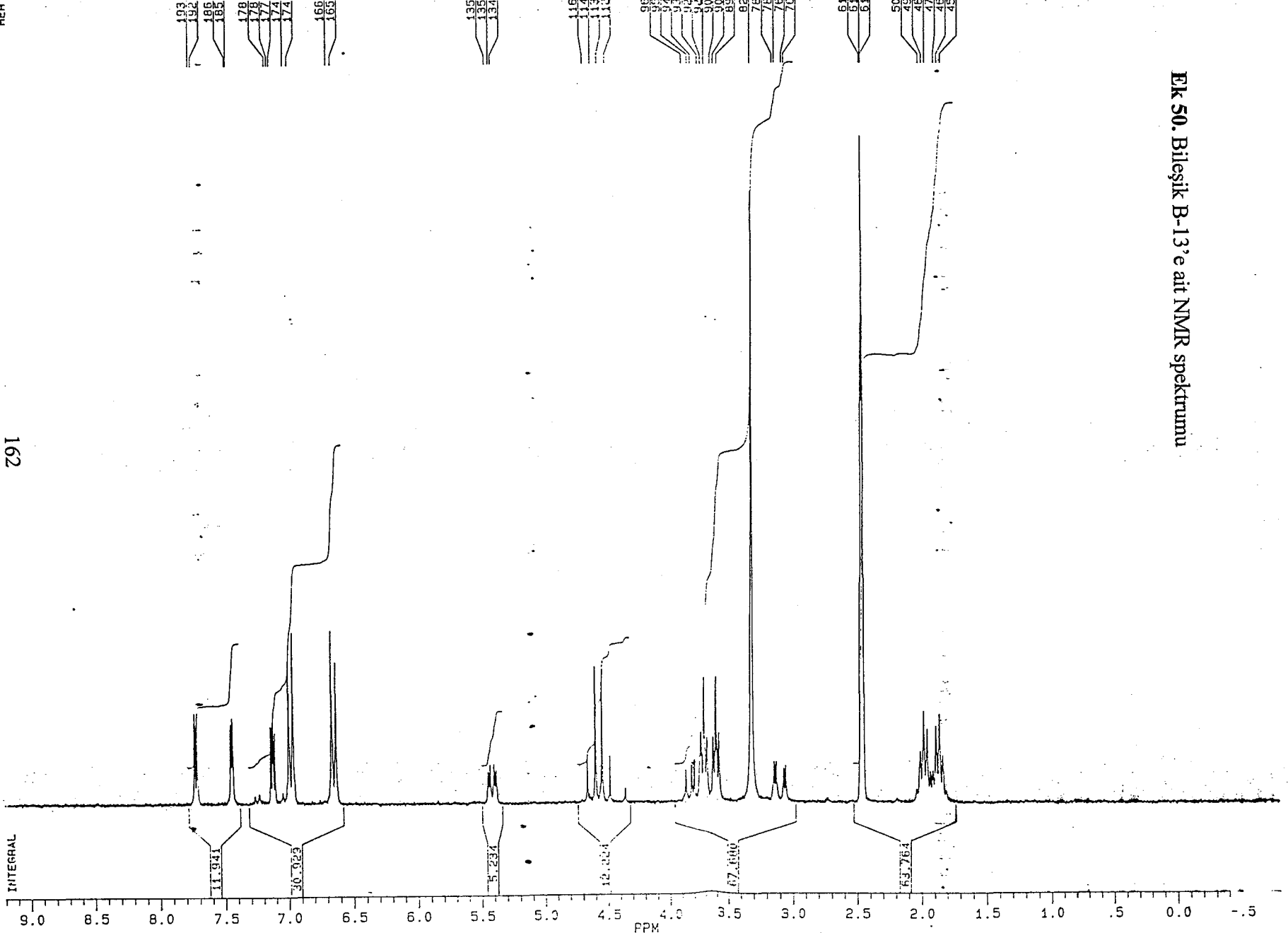
PR 0.0
RG 3.277
R2 160
TD 64
T1 297

FO 6300
D 2714.499
D1 63L PC

D2 .300
D3 0.0
D4 35.00
D5 18.00
E1 9.200^P
E2 -.7999^P
Hz/CM 71.463
PPM/CM .286
SR 4047.76

D1 1.0000000
D2 1.60
D3 0.0
D4 0.0
D5 125.00
D6 64
D7 2

Ek 50. Bileşik B-13'e ait NMR spektrumu



 BRUKER

J1030S.139
AU PROG:
X00.AU
DATE 3-5-3
TIME 20:50

SF 250.134
SY 250.0
O1 5487.579
SI 32768
TD 32768
SW 5000.000
HZ/PT .305

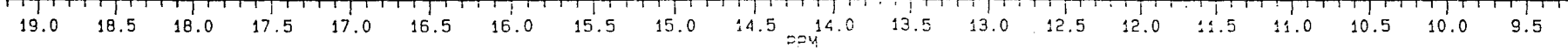
PW 0.0
RD 0.0
RG 3.277
RG 160
NS 64
TM 297

FW 6300
O2 2714.499
DP 63L P0

LB .300
GB 0.0
GX 35.00
CY 18.00
F1 19.201P
F2 9.202P
HZ/CM 71.463
PPM/CM .286
SR 4048.07

D1 1.000000
PO 1.60
RGA 0.0
RD 0.0
P1 0.0
DE 125.00
NS 64
DS 2

EK 50. Bileşik B-13'e ait NMR spektrumu



J1030S.140
AU PROG:
X00.AU
DATE 3-6-3
TIME 20:59

SF 250.134
SY 250.0
O1 5487.579
SI 32768
TD 32768
SW 5000.000
HZ/PT .305

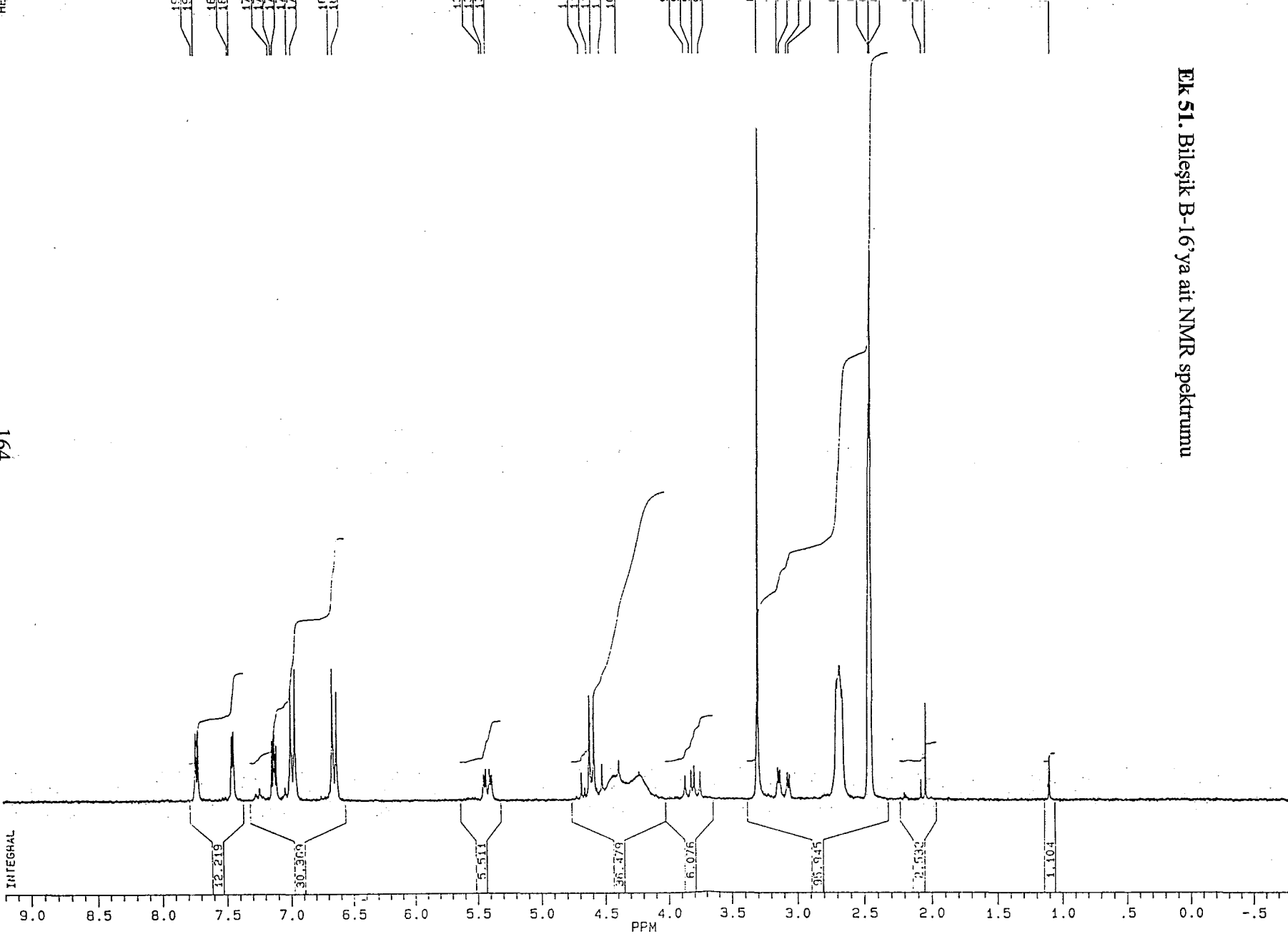
PW 0.0
PR 0.0
AQ 3.277
RG 160
NS 64
TE 297

FW 6300
D2 2714.499
DP 63L PO

300
0.0
35.00
18.00
9.2000
-7.999
HZ/CM 71.463
PPM/CM .286
SR 4047.76

D1 1.000000
A 1.60
0.0
0.0
125.00
64 2

Ek 51. Bileşik B-16'ya ait NMR spektrumu




BRAUKER

JI030S.140
AU PROG:
X00.AU
DATE 3-6-3
TIME 20:59

SF 250.134
SY 250.0
O: 5487.579
SI 32768
TD 32768
SW 5000.000
HZ/PT .305

PW 0.0
RD 0.0
AQ 3.277
RG 160
NS 64
TE 297

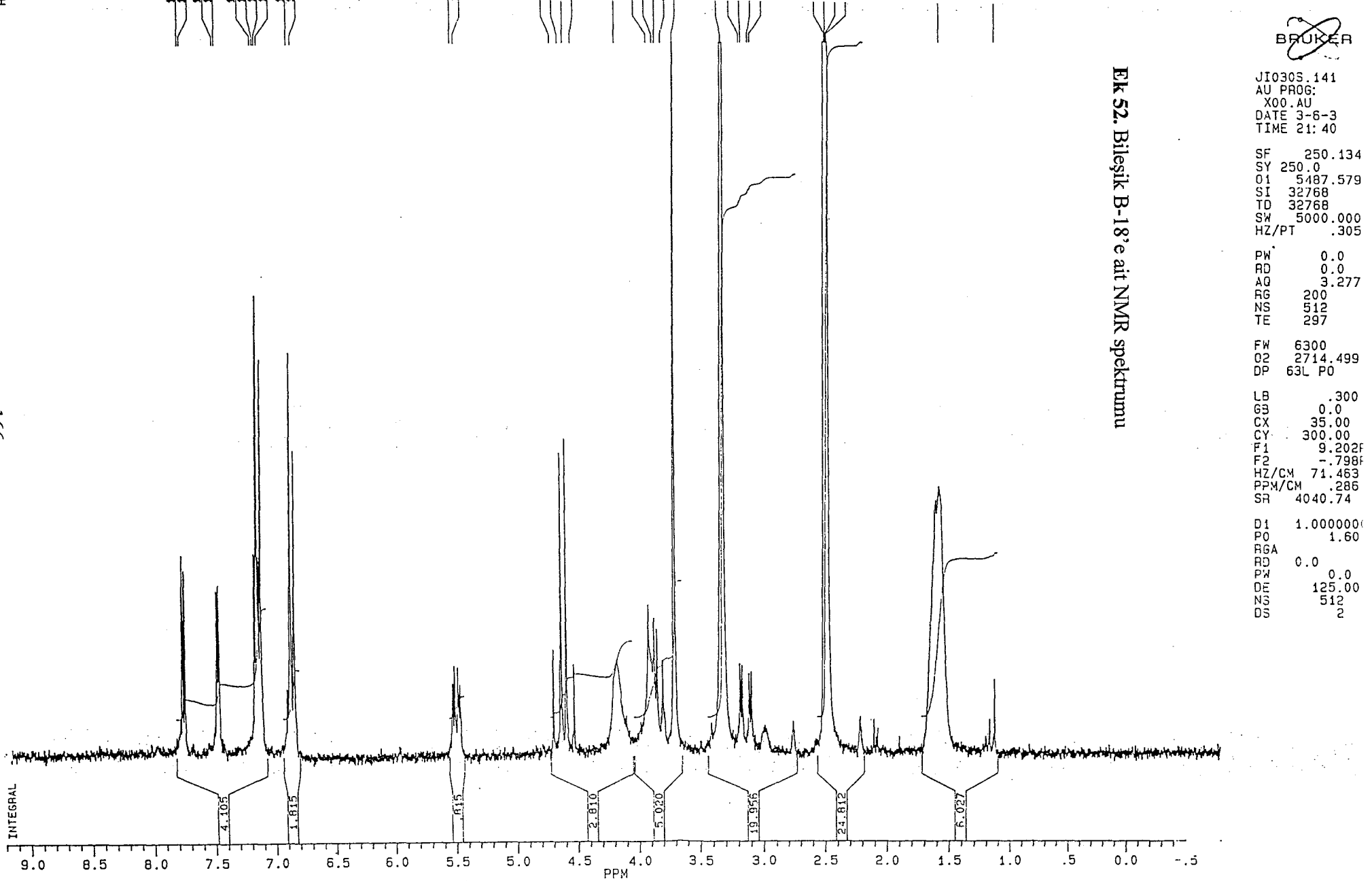
FW 6300
O2 2714.499
DP 63L P0

J 300
GB 0.0
CX 35.00
CY 18.00
F1 19.201P
F2 9.202P
HZ/CM 71.463
PPM/CM .236
SR 4047.76

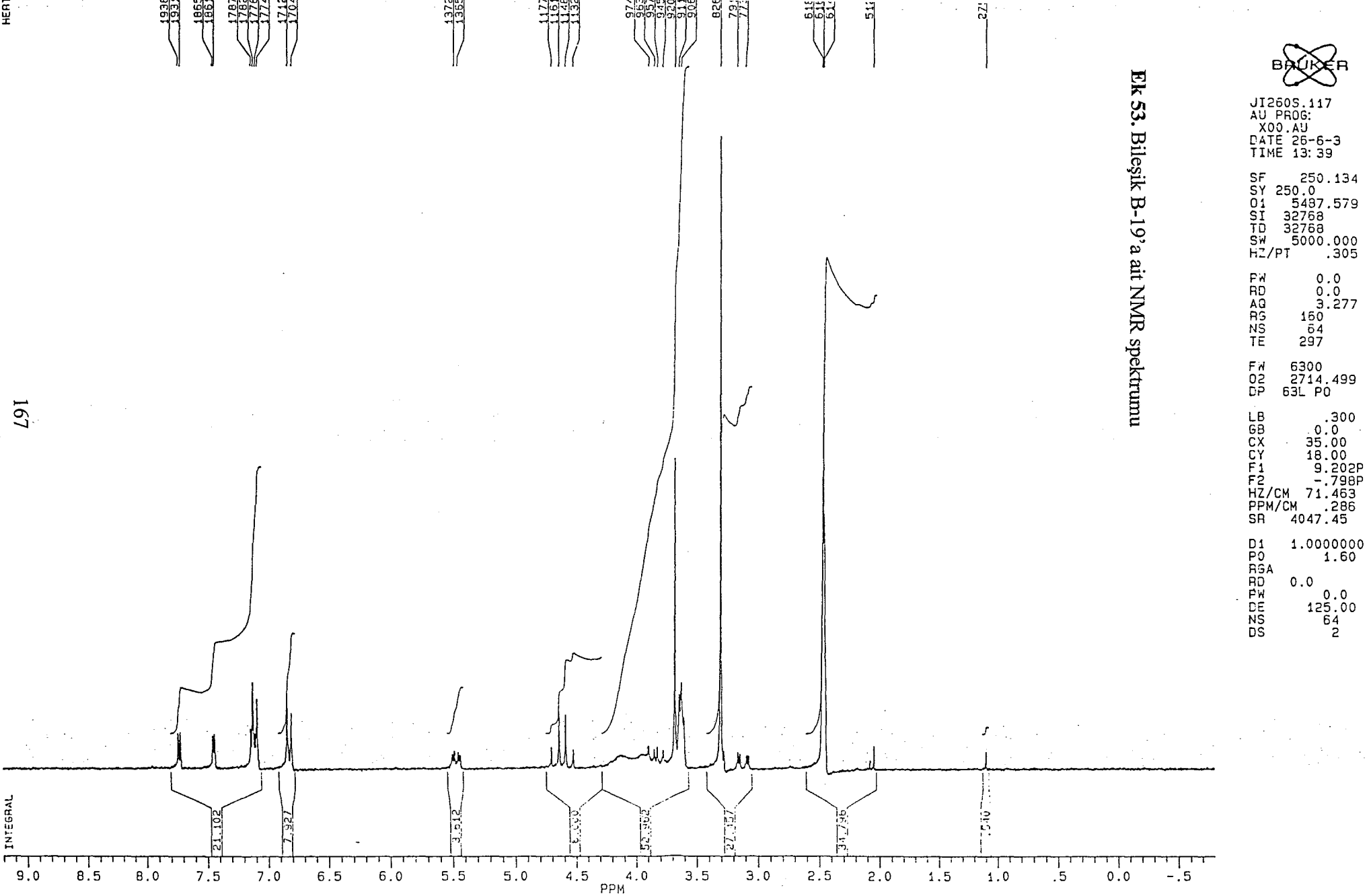
D: 1.0000000
PO 1.60
RGA
RD 0.0
Pw 0.0
DE 125.00
DS 64
ZS 2



Ek 51. Bileşik B-16'ya ait NMR spektrumu



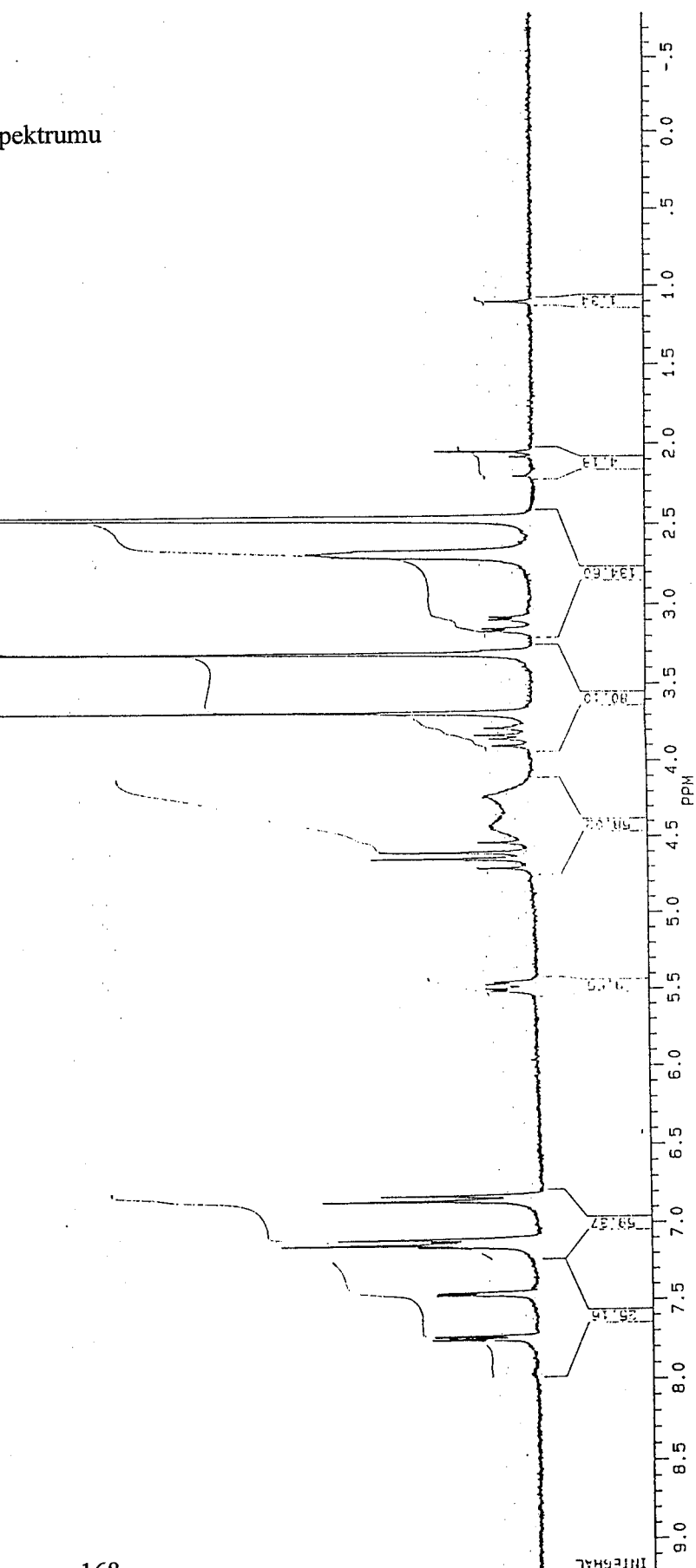
Ek 52. Bilezik B-18'e ait NMR spektrumu



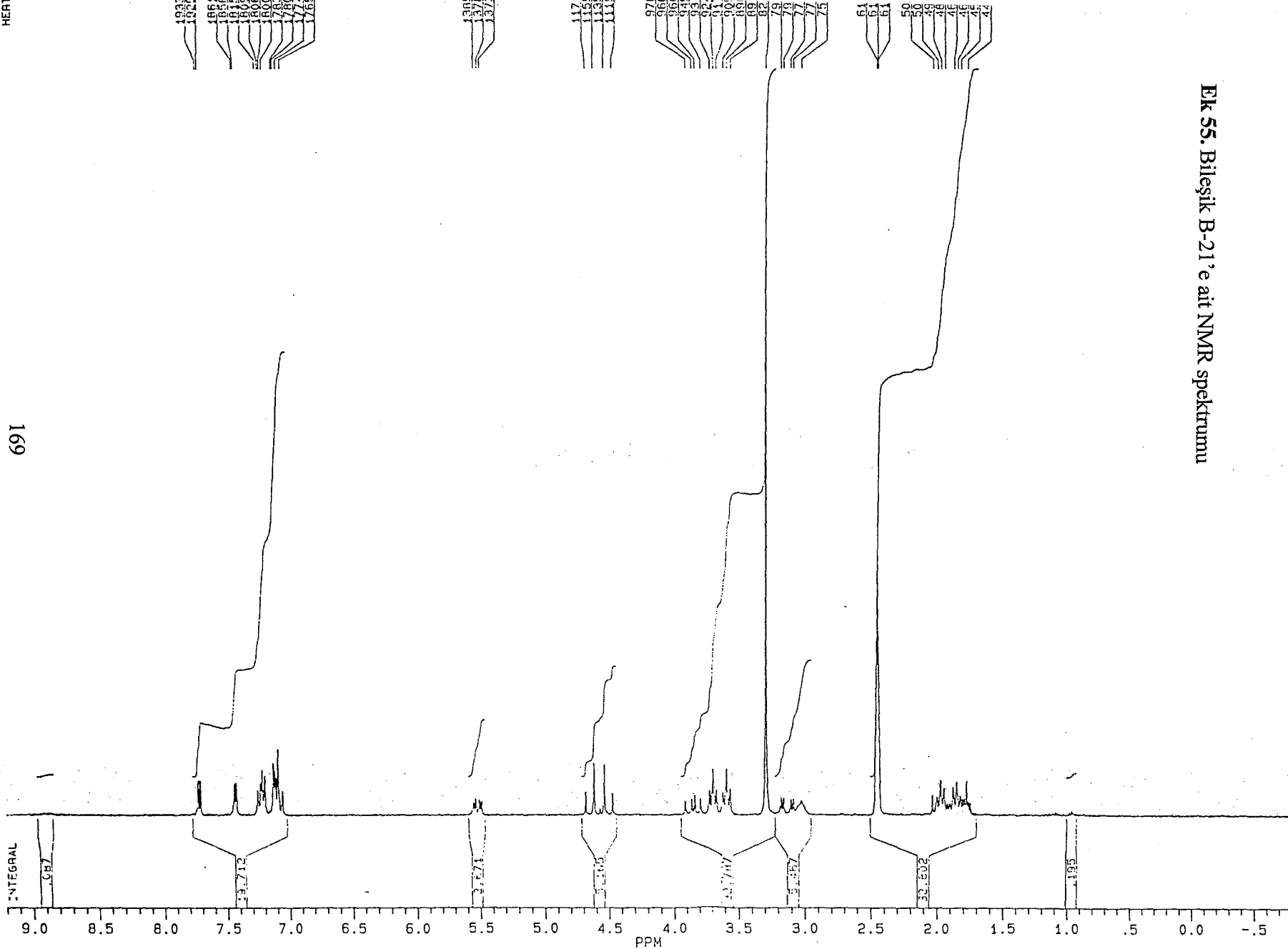
EK 53. Bileşik B-19' a ait NMR spektrumu

四

010305.136
 AU PROG:
 X00.AU
 DATE 3-6-3
 TIME 20.22
 SF 250.
 SY 250.0
 CI 5487.1
 SI 32768
 DI 32768
 SW 5000.
 42/PT



Ek 54. Bileşik B-20'ye ait NMR spektrumu



BRUKER

JI260S.114
 AJ PROG:
 X00.AU
 DATE 26-6-3
 TIME 13: 11

SF 250.134
 SY 250.0
 O1 5487.579
 SI 32768
 TD 32768
 SW 5000.000
 HZ/PT .305

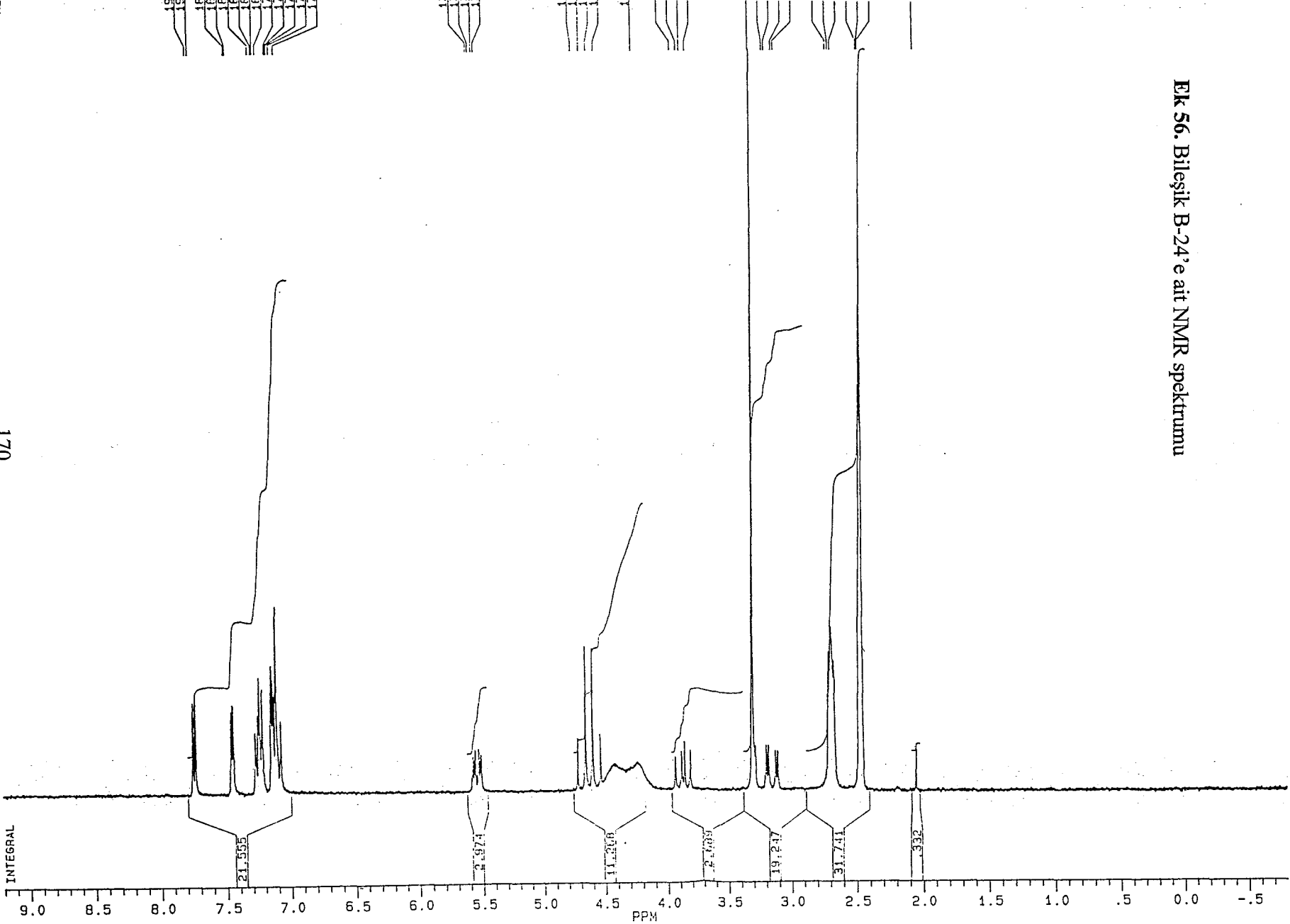
PW 0.0
 RD 0.0
 AQ 3.277
 RG 160
 NS 64
 TE 297

FW 6300
 Q2 2714.499
 DP 63L P0

LB .300
 GB 0.0
 CX 35.00
 CY 18.00
 F1 9.202P
 F2 .798P
 HZ/CM 71.463
 PPM/CM .286
 SR 4050.51

D1 1.0000000
 P0 1.60
 RGA 0.0
 RD 0.0
 PW 125.00
 DE 64
 NS 2

Ek 55. Bileşik B-21'e ait NMR spektrumu



EK 56. Bileşik B-24' e ait NMR spektrumu

JI260S.108
AU PROG:
X00.AU
DATE 26-6-3
TIME 12: 15

SF 250.134
SY 250.0
O1 5487.579
SI 32768
TD 32768
SW 5000.000
HZ/PT .305

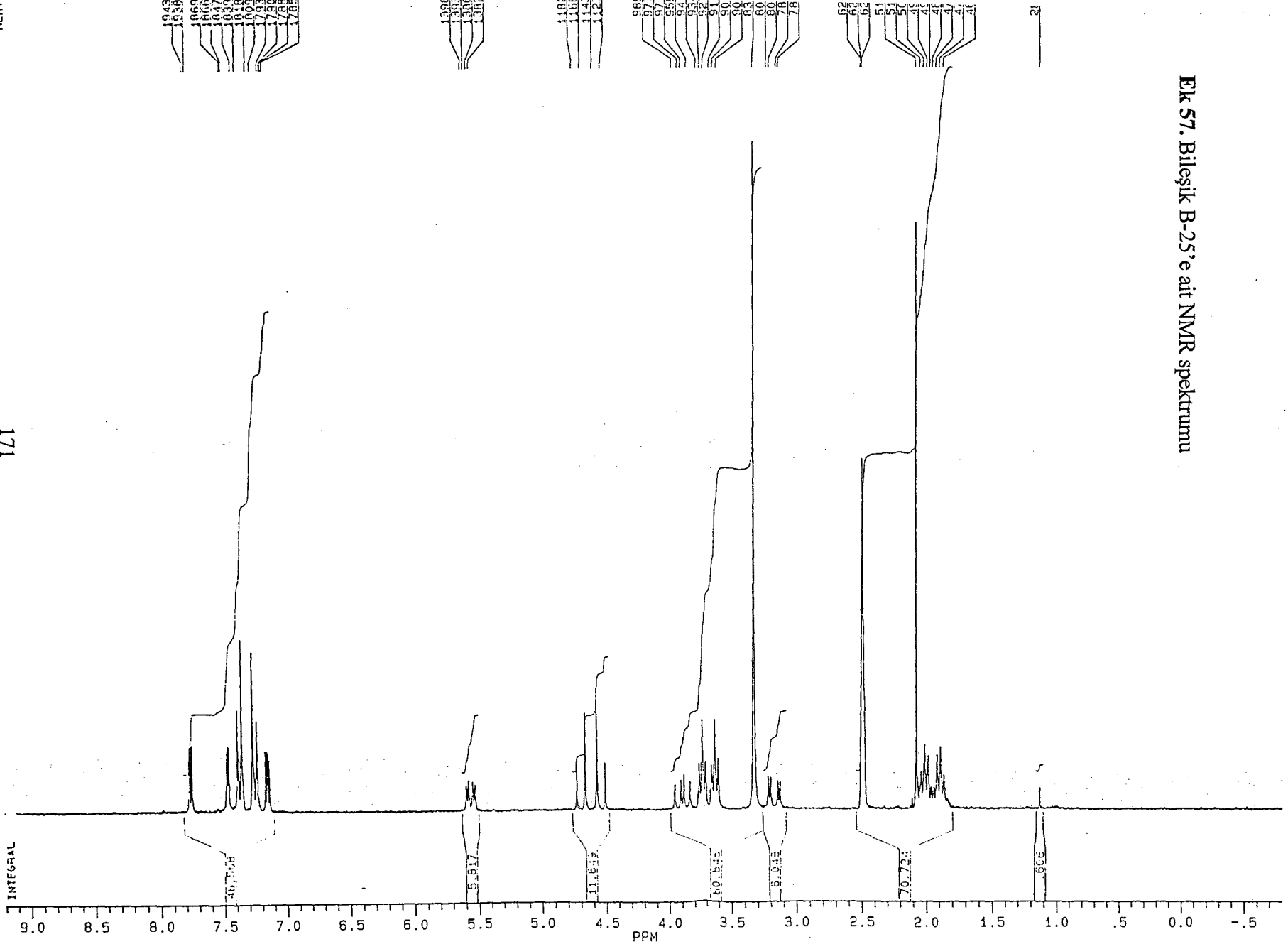
PW 0.0
RD 0.0
AQ 3.277
RG 160
NS 64
TE 297

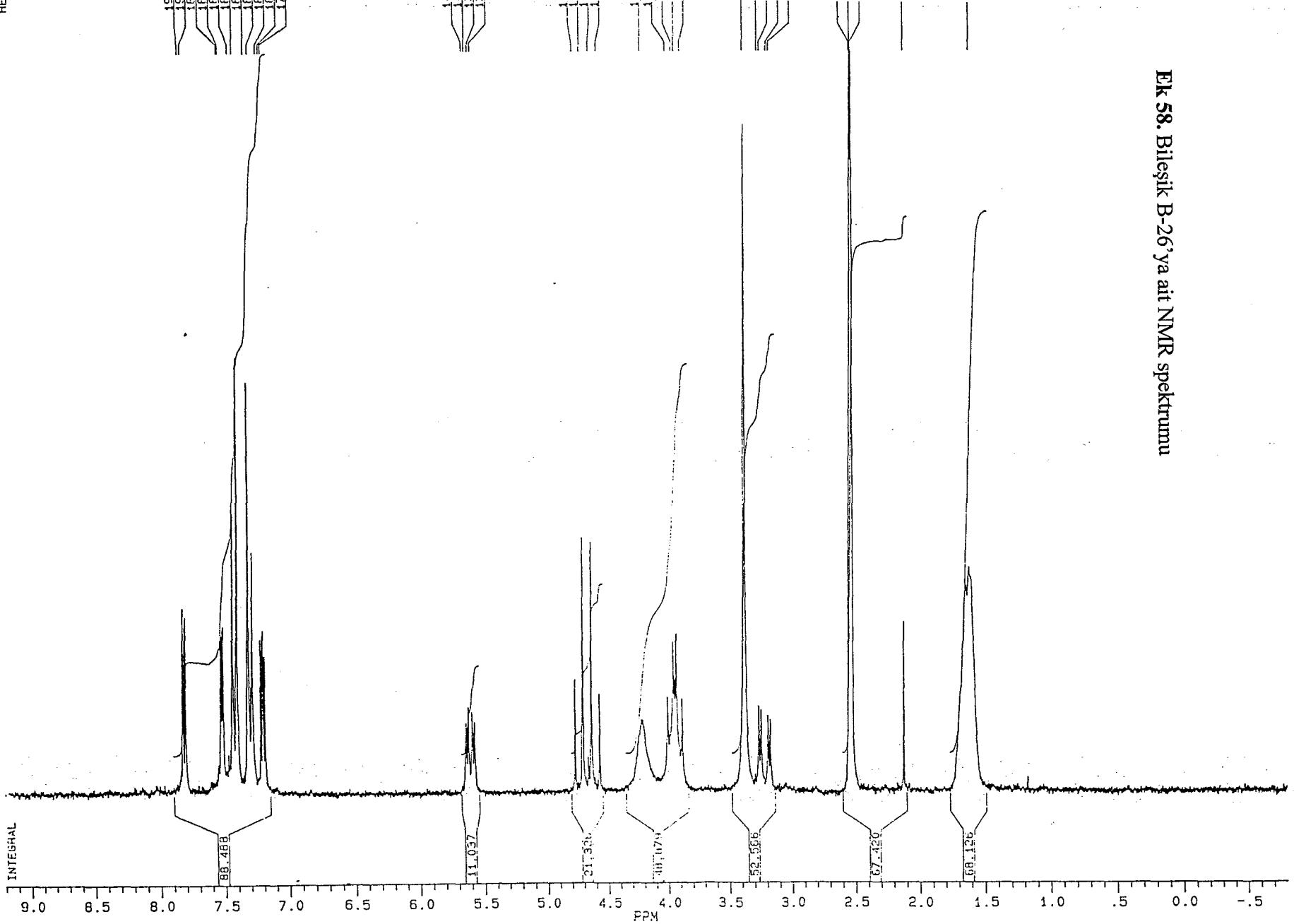
FW 6300
O2 2714.499
DP 63L P0

LB .300
G6 0.0
CX 35.00
CY 18.00
F1 9.202P
F2 -.798P
HZ/CM 71.463
PPM/CM .286
SR 4040.74

D1 1.0000000
P0 1.60
RGA 0.0
RD 0.0
PH 125.00
DU 64
NS 2

Ek 57. Bileşik B-25'e ait NMR spektrumu





BRUKER

JI260S.107
AU PROG:
X00.AU
DATE 26-6-3
TIME 12:05
SF 250.1
SY 250.0
SO 5487.5
SI 32768
TD 32768
SW 5000.0
HZ/PT .3
P1 0.0
PR 0.0
AQ 160
RS 64
TE 297
F2 6300
D2 2714.4
DP 63L PO
LB 0.0
GB 35.0
CX 18.0
CY 9.0
E1 -.7
F2 71.4
HZ/CM 0.2
PPM/CM 4027.9
SR 1.0000
D1 1.0000
PO 1.
RGA 0.0
RD 0.
PW 125.6
DE 64.2
DS 2

Ek 58. Bileşik B-26'ya ait NMR spektrumu

BRUKER

JI260S.103
AU PROG:
X00.AU
DATE 26-5-3
TIME 12:24

SF 250.134
SY 250.0
D 5487.579
O 32768
SI 32768
ST 5000.000
H2/PT .305

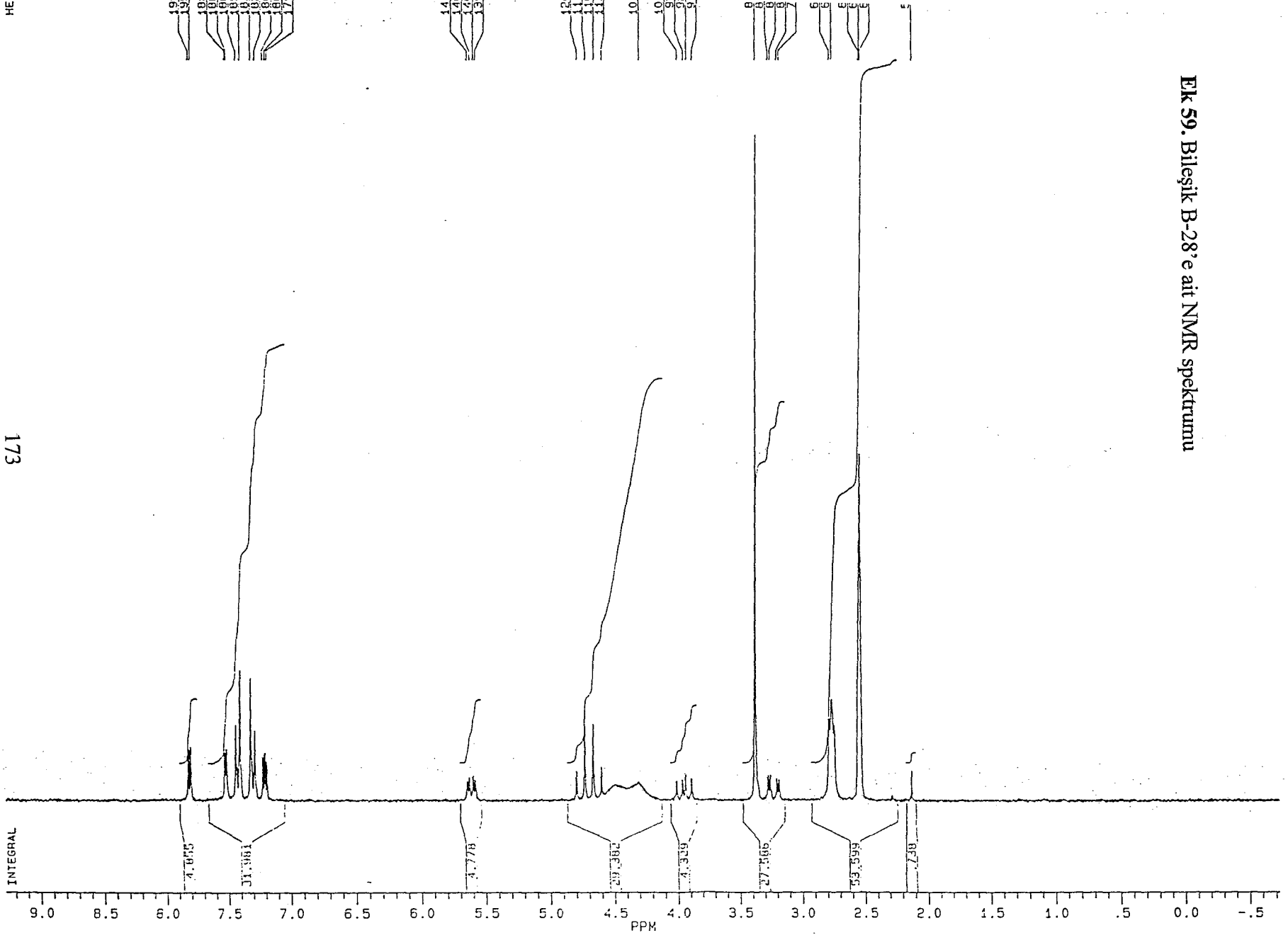
PR 0.0
RD 0.0
AQ 3.277
R 150
NTE 64
TE 297

TR 6300
TQ 2714.499
DP 63L PO

LB .300
GB 0.0
CX 35.00
CY 18.00
F1 9.280P
F2 -.720P
HZ/CM 71.463
PPM/CM .286
SR 4026.70

D1 1.000000
CD 1.60
RG 0.0
RD 0.0
SD 125.00
SG 64.2

Ek 59. Bileşik B-28'e ait NMR spektrumu



Inlet : Direct

Ion Mode : FAB+

1490182

Ek 60. Bileşik A-2'ye ait kütle spektrumu

[Mass Spectrum]

RT : 0.00 min

Scan# : 1

Temp : 2.2 deg.C

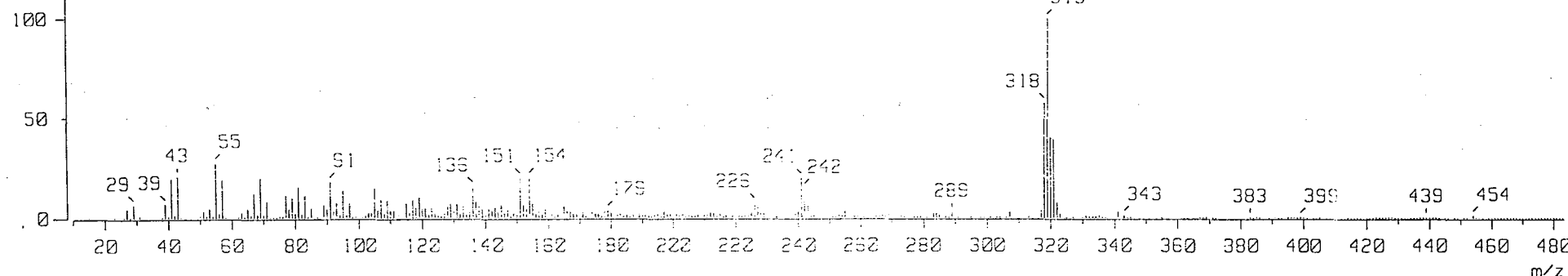
Ion Mode : FAB+

Int. : 10.49

Spec. Type : Regular

126167

174



[Mass Spectrum]

RT : 0.00 min

Scan# : 1

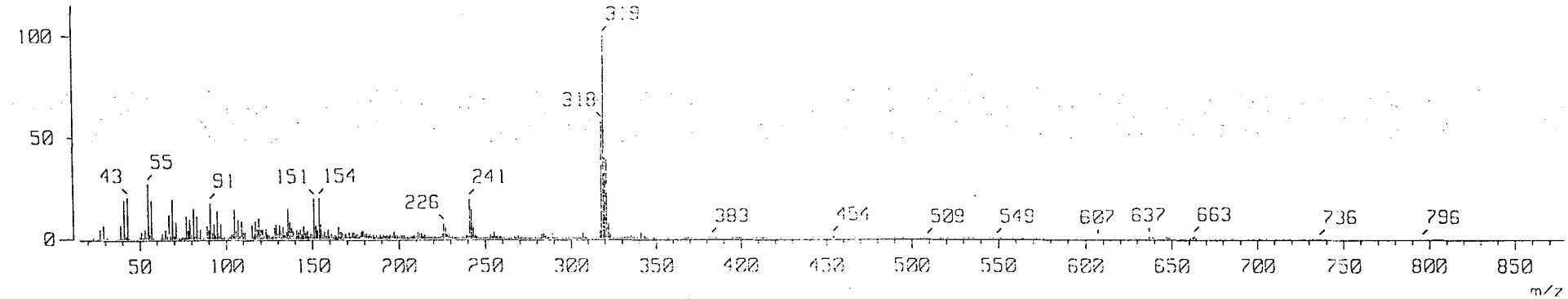
Temp : 2.2 deg.C

Ion Mode : FAB+

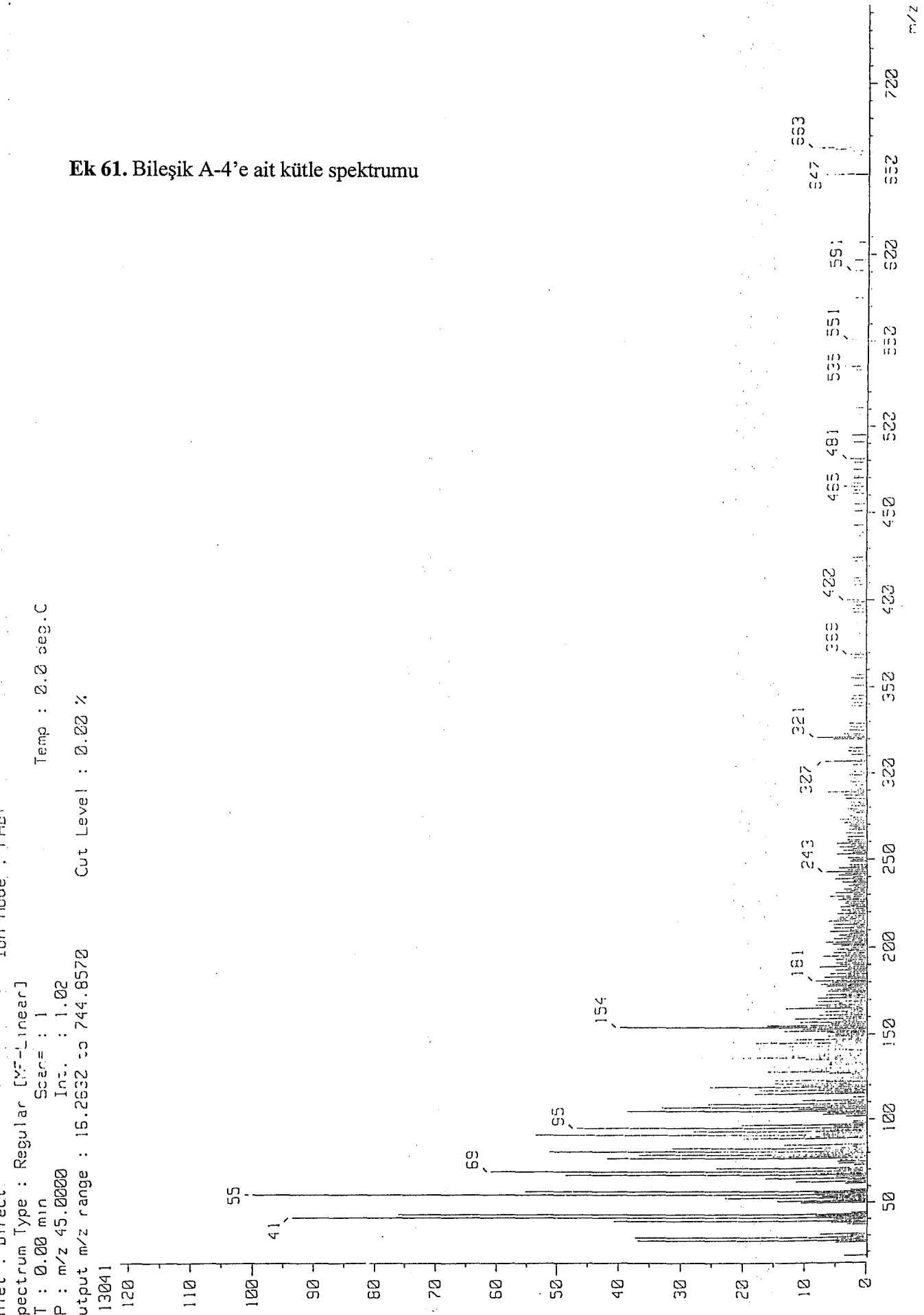
Int. : 10.49

Spec. Type : Regular

126868

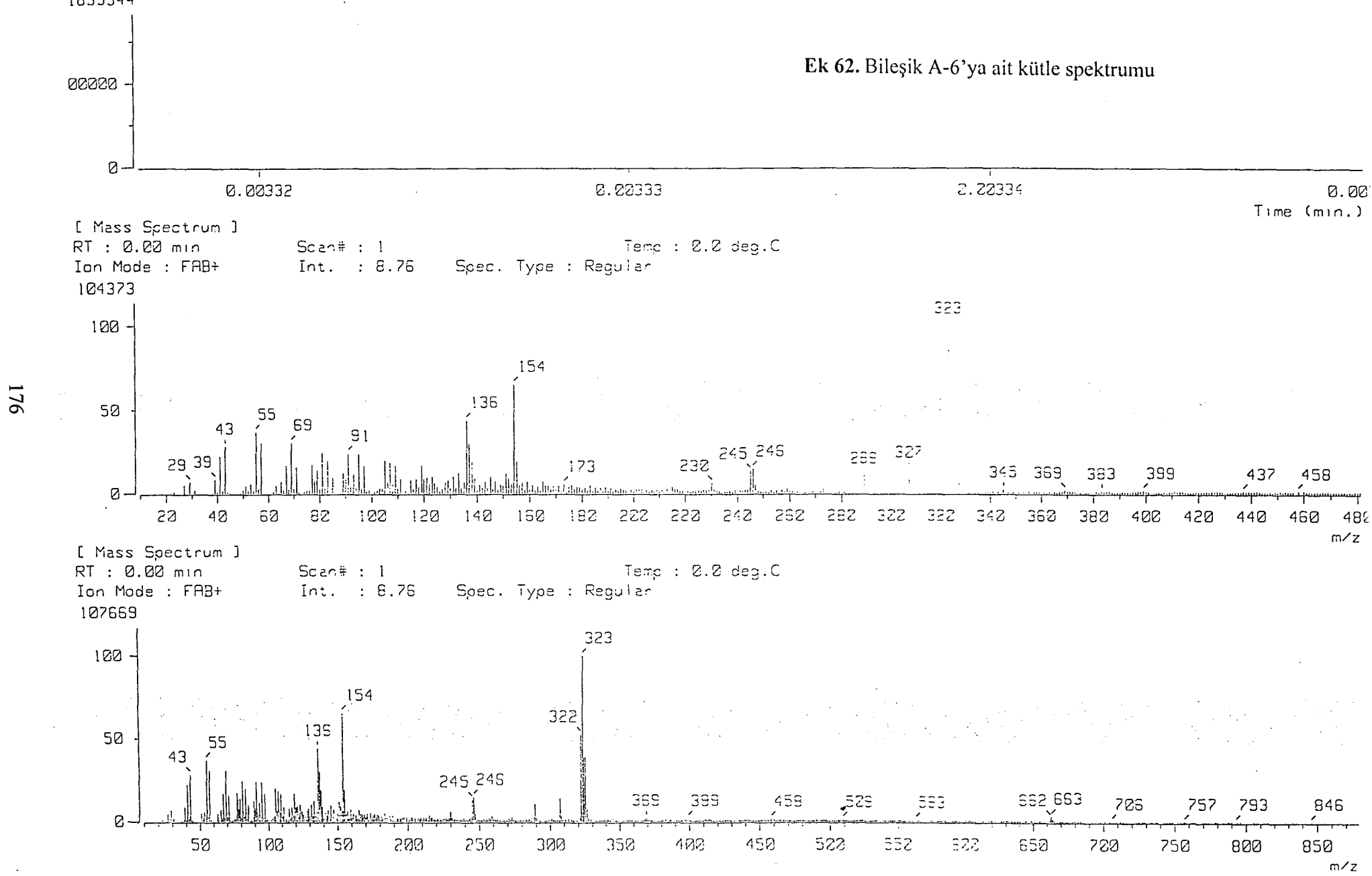


Ek 61. Bileşik A-4'e ait kütle spektrumu



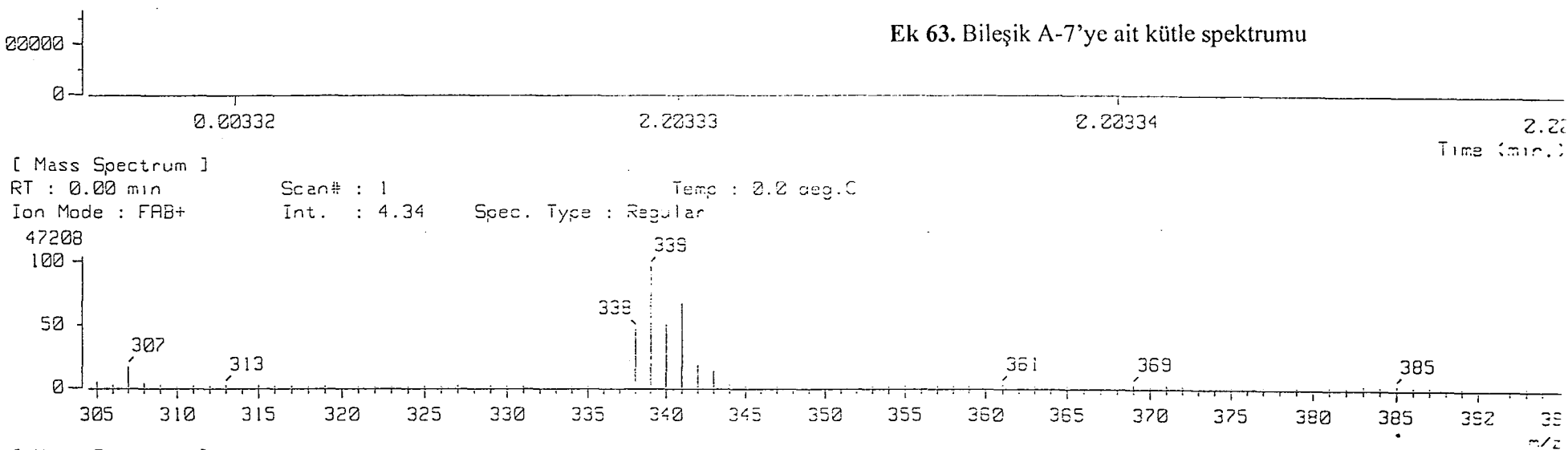
1835944

Ek 62. Bileşik A-6'ya ait kütle spektrumu

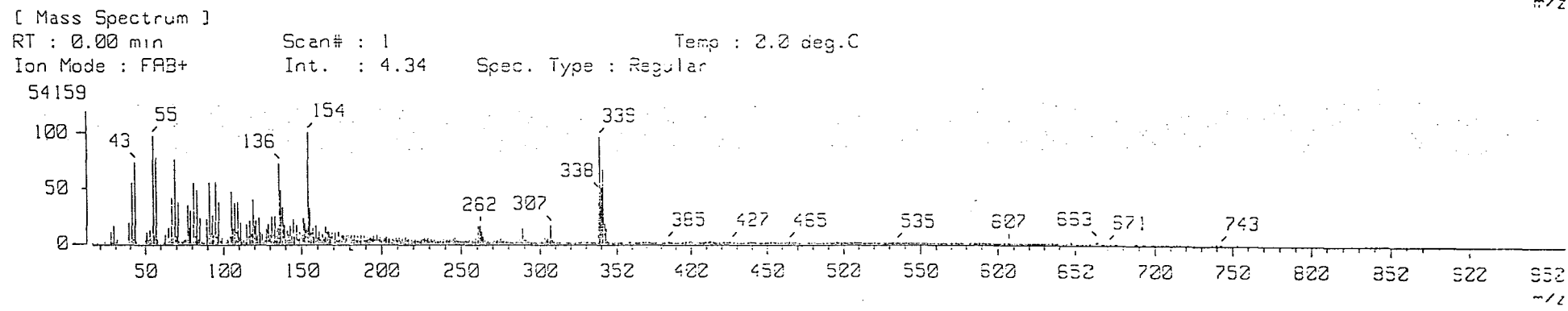
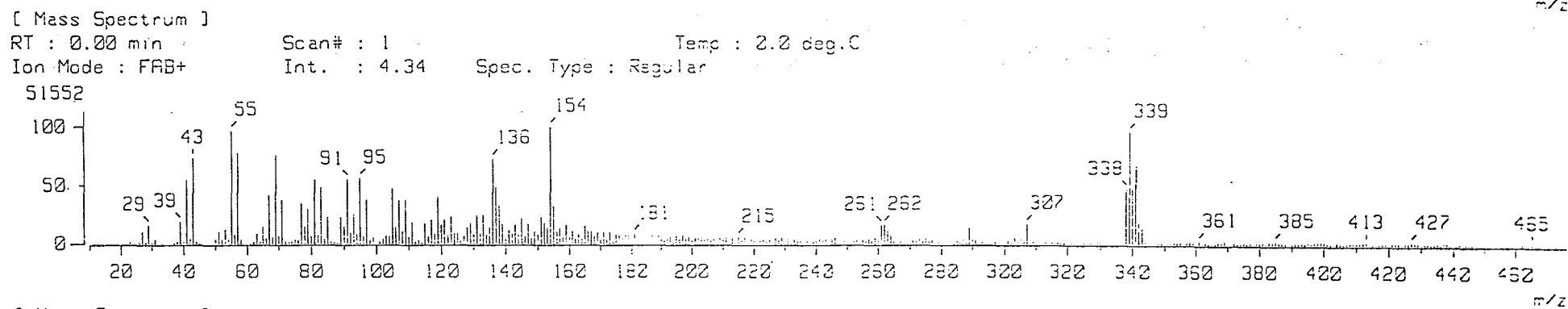


1673128

Ek 63. Bileşik A-7'ye ait kütle spektrumu

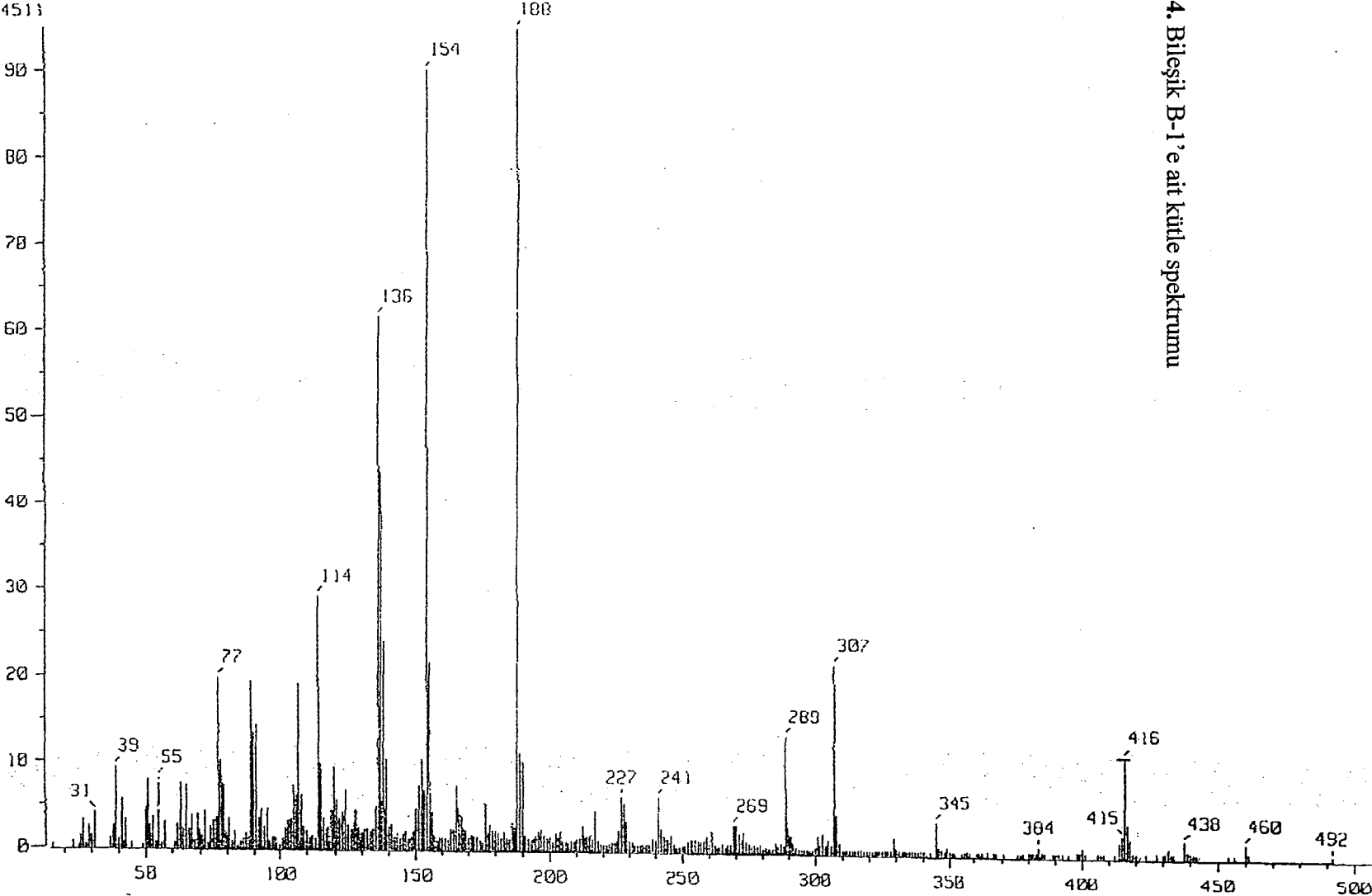


177

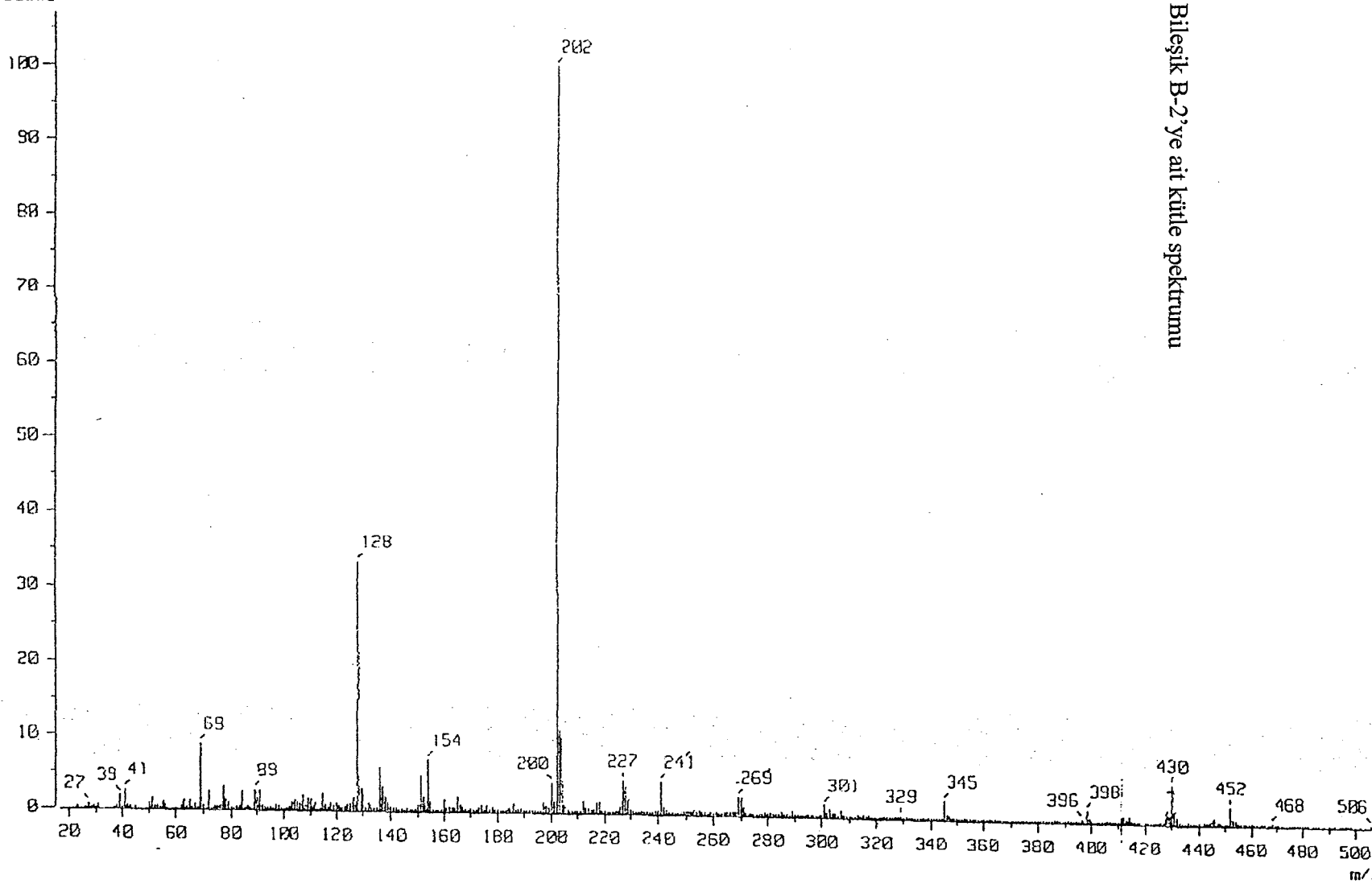


Ek 64. Bileşik B-1'e ait kütle spektrumu

Note : MR-SAT02
Inlet : Direct
Spectrum Type : Regular [MF-Linear]
RT : 0.00 min Scan# : 1
BP : m/z 188.0000 Int. : 6.48
Output m/z range : 14.3841 to 522.3120 Cut Level : 0.00 %
6451:



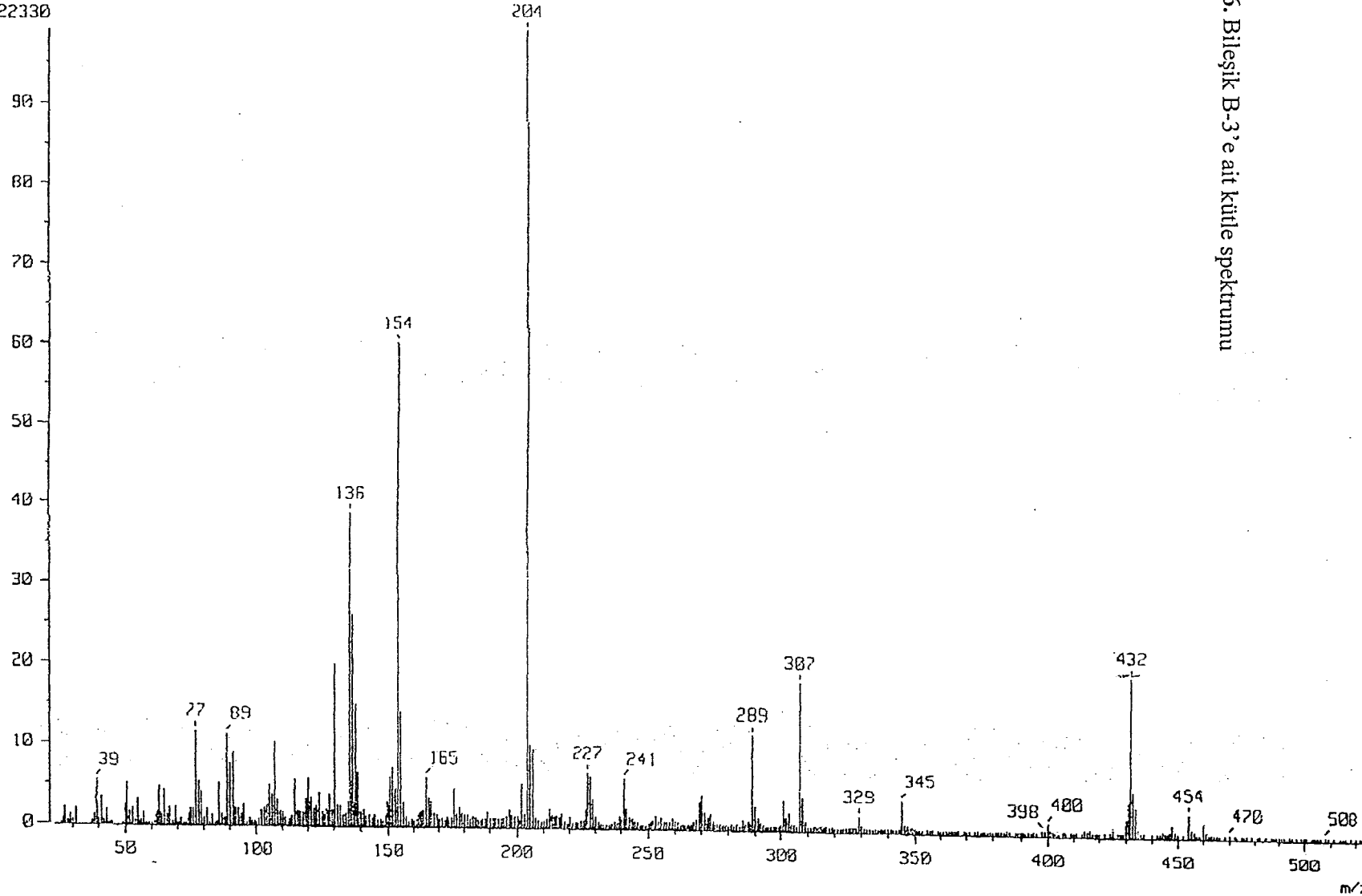
Sample ID :
Note : MR-SX102
Inlet : Direct Ion Mode : FAB+
Spectrum Type : Regular [MF-Linear]
RT : 0.00 min Scan #: 1 Temp : 0.0 deg.C
BP : m/z 192.0000 Int. : 41.14
Output m/z range : 16.7145 to 500.3130 Cut Level : 0.00 %
460956



Ek 65. Bilezik B-2'ye ait kitle spektrumu

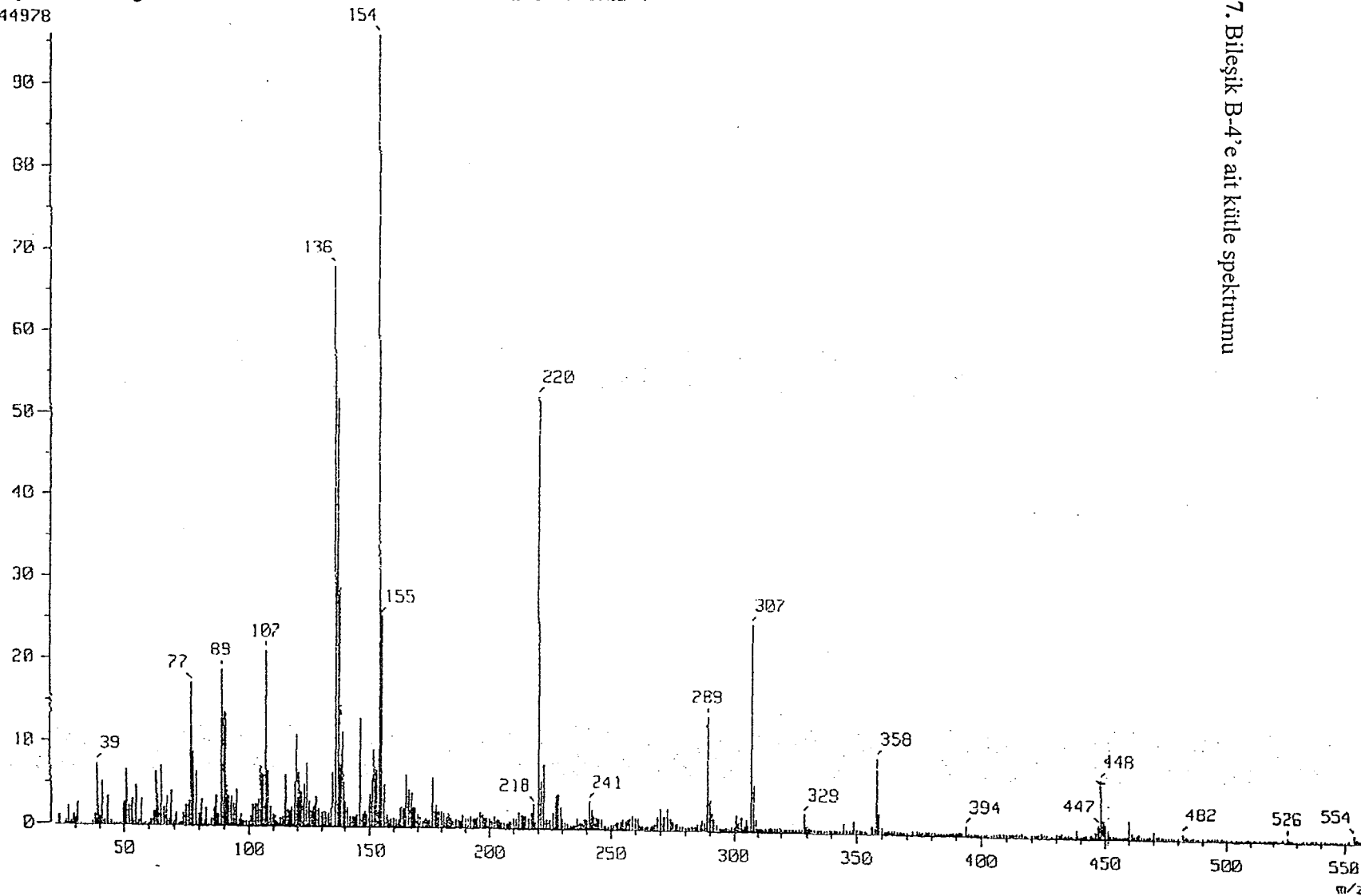
Ek 66. Bileşik B-3'e ait kütle spektrumu

Note : MR-SX102
Inlet : Direct Ion Mode : FPD+
Spectrum Type : Regular (MF-Linear)
RT : 0.00 min Scan# : 1 Temp . 0.0 deg.C
BP : m/z 194.0000 Int. : 21.43
Output m/z range : 23.0159 to 525.3450 Cut Level : 0.00 %
222330

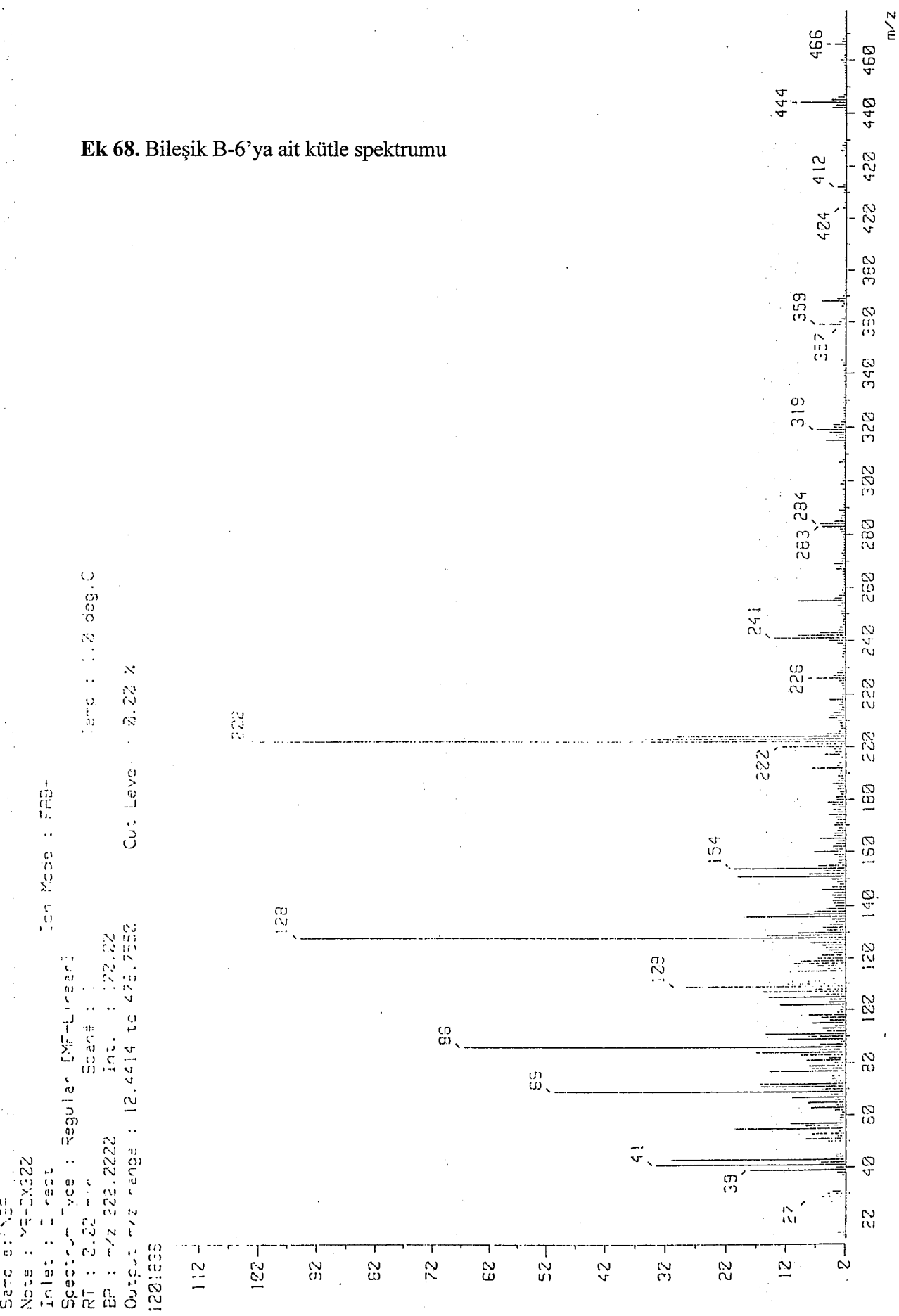


Ek 67. Bileşik B-4'e ait kütle spektrumu

Note : MR-SX102
Inlet : Direct
Spectrum Type : Regular [MF-Linear]
RT : 0.00 min Scan# : 1
BP : m/z 154.0000 Int. : 83.98
Output m/z range : 21.6062 to 558.9790 Cut Level : 0.00 %
B44978



Ek 68. Bileşik B-6'ya ait kütle spektrumu

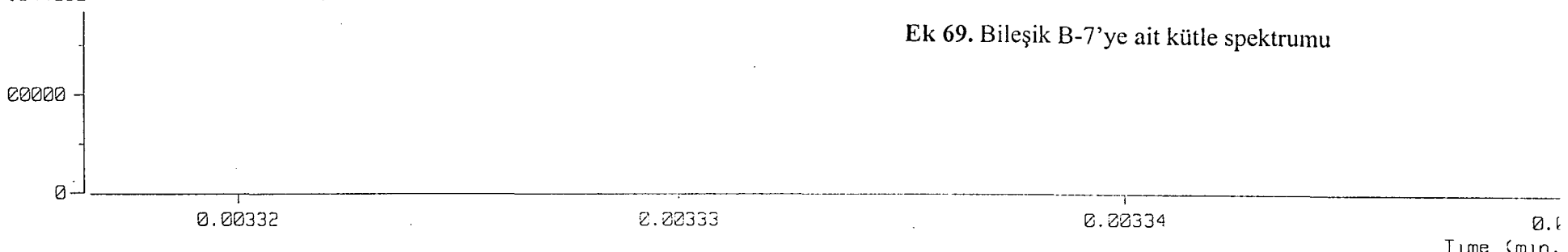


Inlet : Direct

Ion Mode : FAB⁺

1844062

Ek 69. Bileşik B-7'ye ait kütle spektrumu



[Mass Spectrum]

RT : 0.00 min

Scan# : 1

Temp : 2.2 deg.C

Ion Mode : FAB⁺

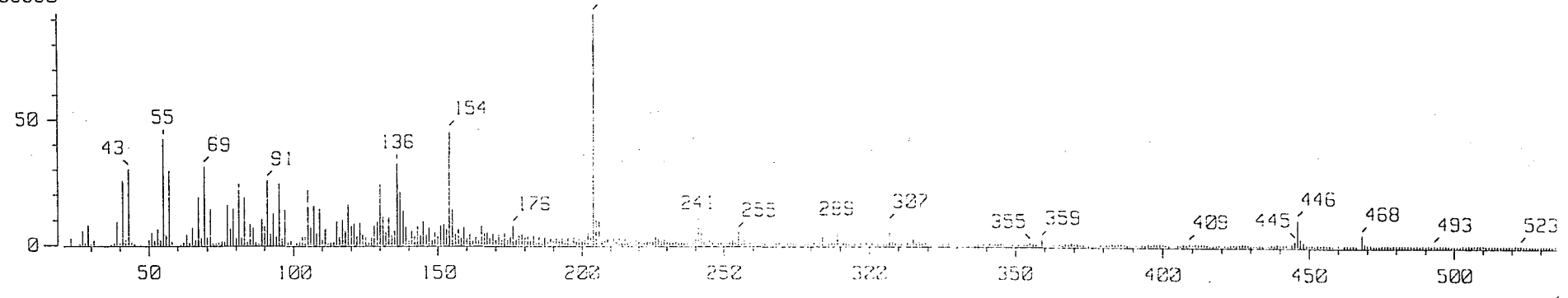
Int. : 9.93

Spec. Type : Regular

96390

284

183



[Mass Spectrum]

RT : 0.00 min

Scan# : 1

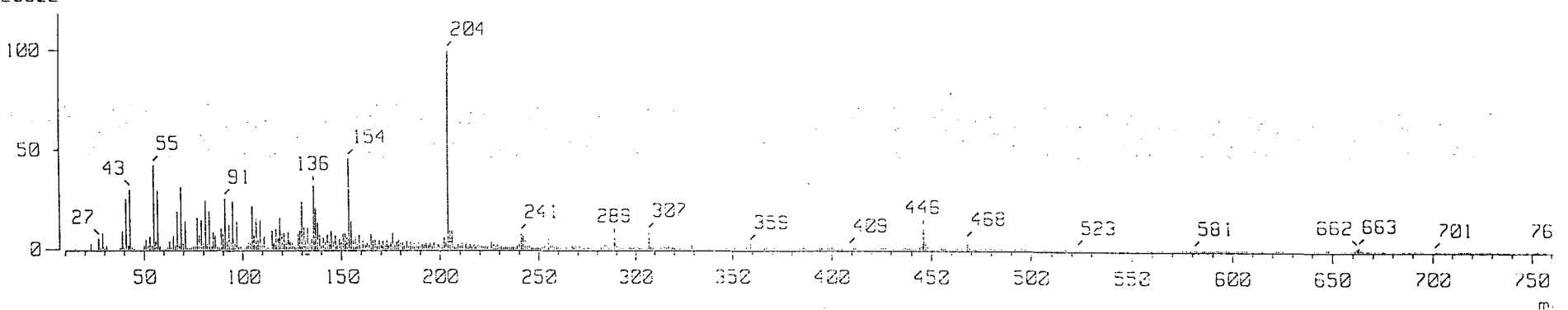
Temp : 2.2 deg.C

Ion Mode : FAB⁺

Int. : 9.93

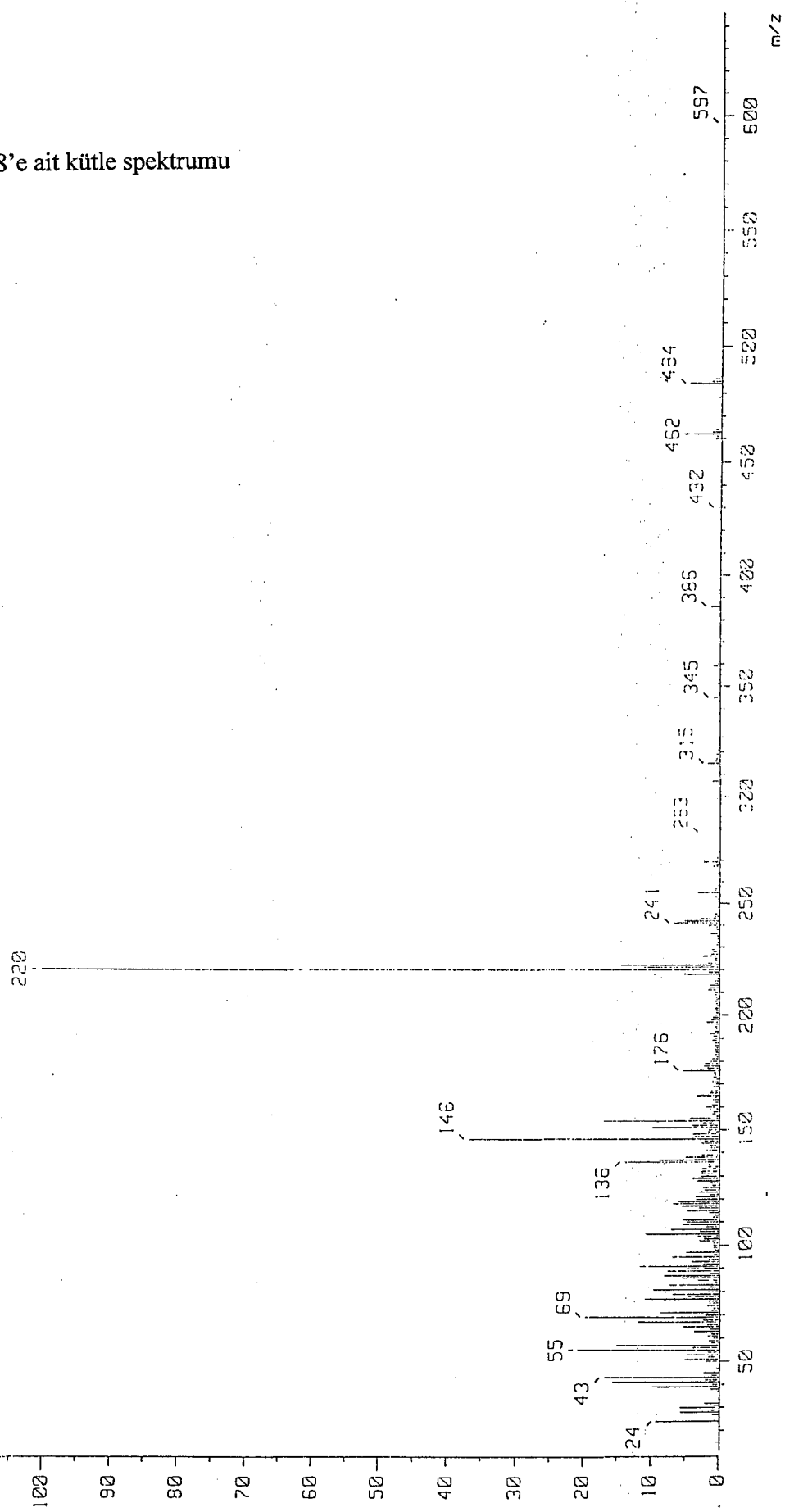
Spec. Type : Regular

123322



Ek 70. Bileşik B-8'e ait kütle spektrumu

Sample: NSS
Name : MR-DX-22
Inlet : Direct
Spectrum Type : Regular [MF-Linse]
RT : 2.22 min Scan# : 1
BP : m/z 222.0222 Int. : 43.63
Output m/z range : 11.2207 to 545.9932 Cut Level : 2.22 %
528857

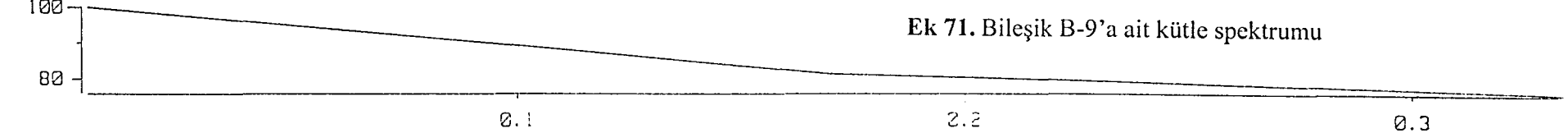


INLET : Direct

ION MODE : POSITIVE

1671412

Ek 71. Bileşik B-9'a ait kütle spektrumu

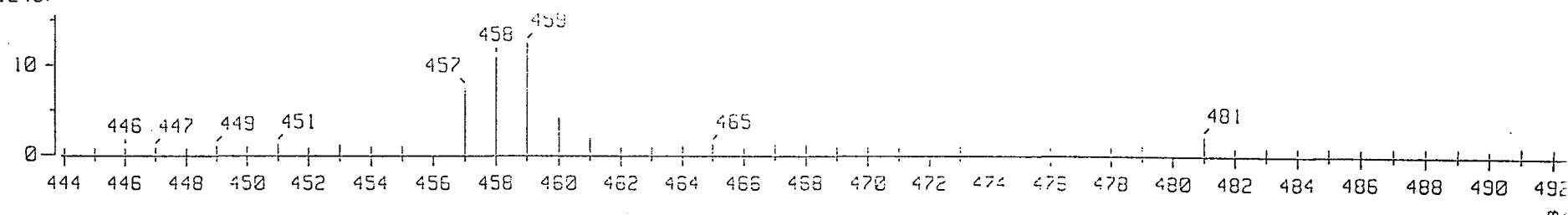


[Mass Spectrum]

RT : 0.00 min Scan# : 1 Temp : 0.0 deg.C

Ion Mode : FAB+ Int. : 7.63 Spec. Type : Regular

12467



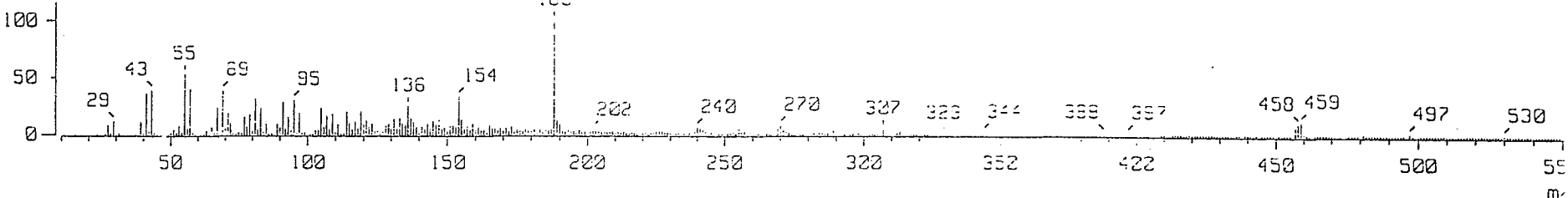
58

[Mass Spectrum]

RT : 0.00 min Scan# : 1 Temp : 0.0 deg.C

Ion Mode : FAB+ Int. : 7.63 Spec. Type : Regular

92737

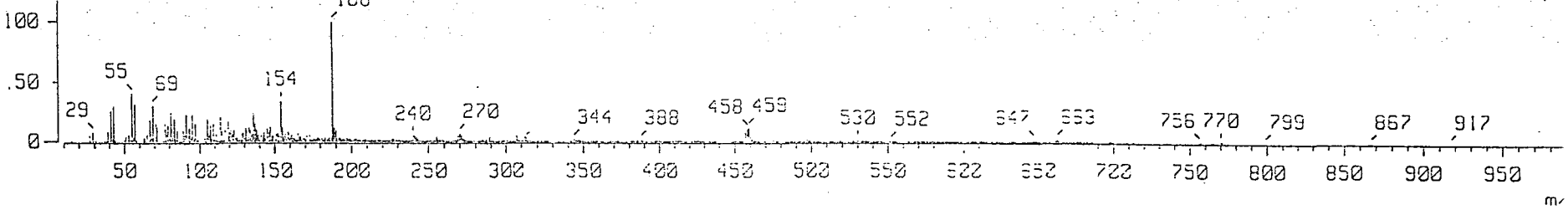


[Mass Spectrum]

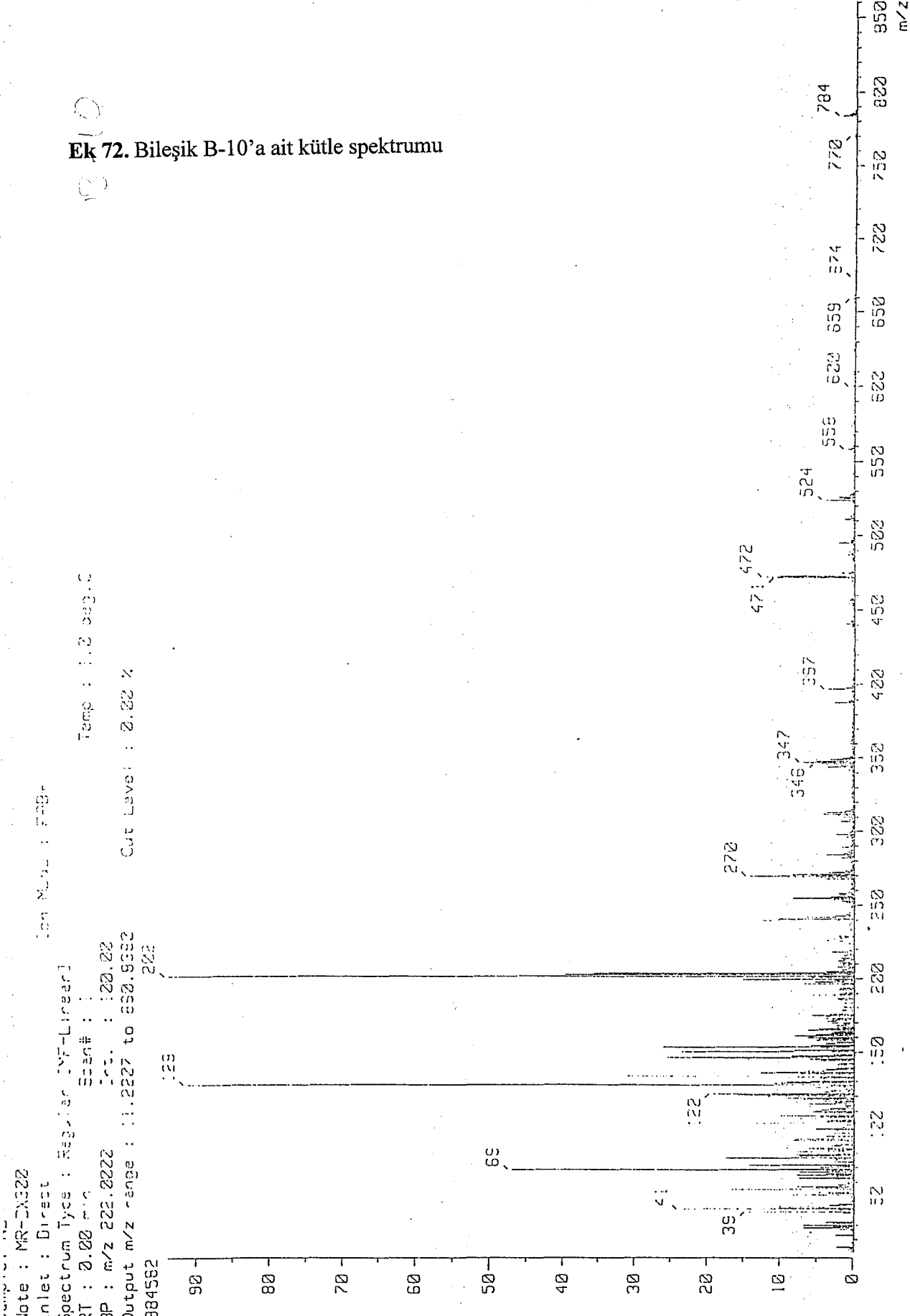
RT : 0.17 min Scan# : 2 Temp : 0.0 deg.C

Ion Mode : FAB+ Int. : 7.31 Spec. Type : Regular

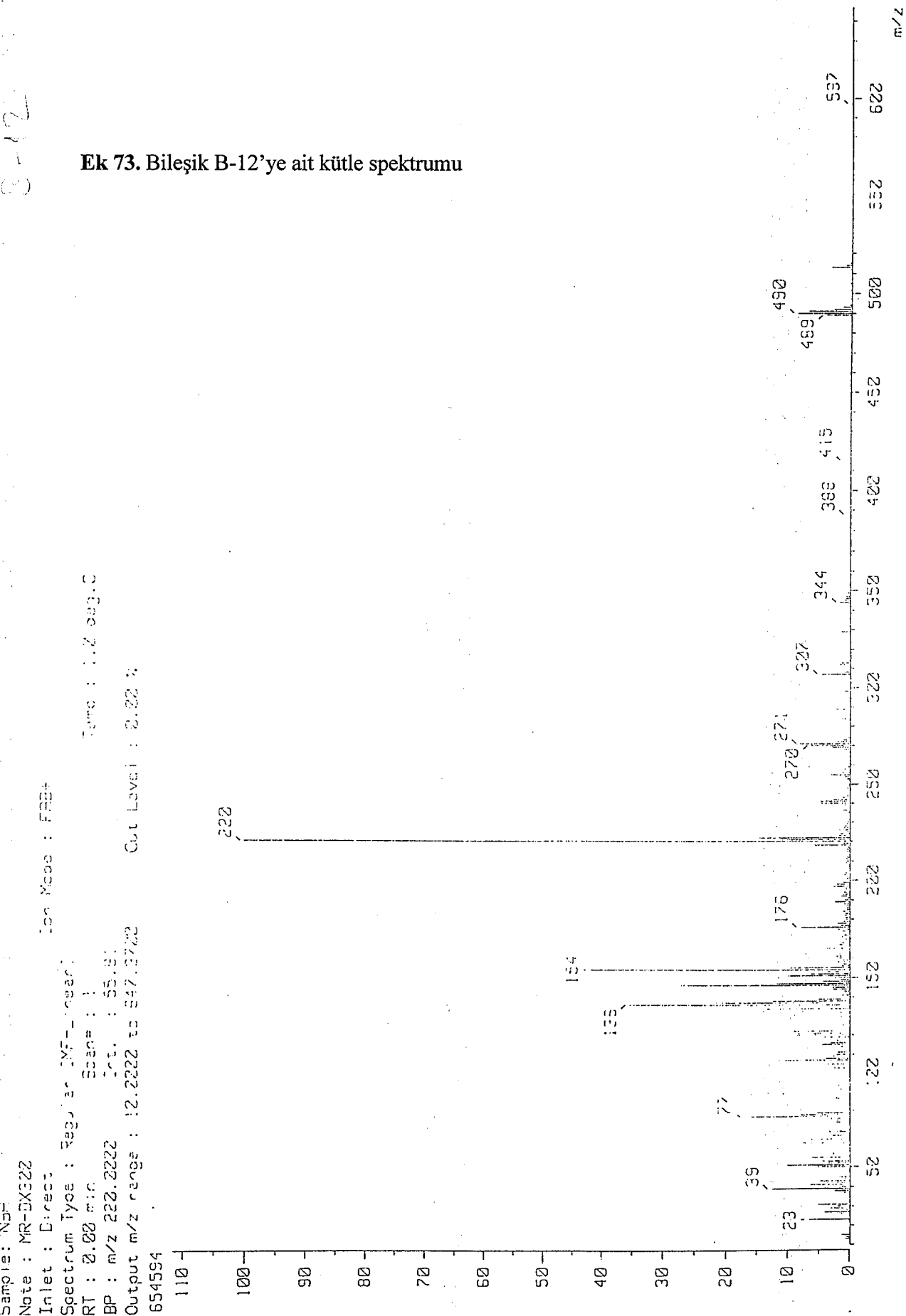
89780



Ek 72. Bileşik B-10'a ait kütle spektrumu



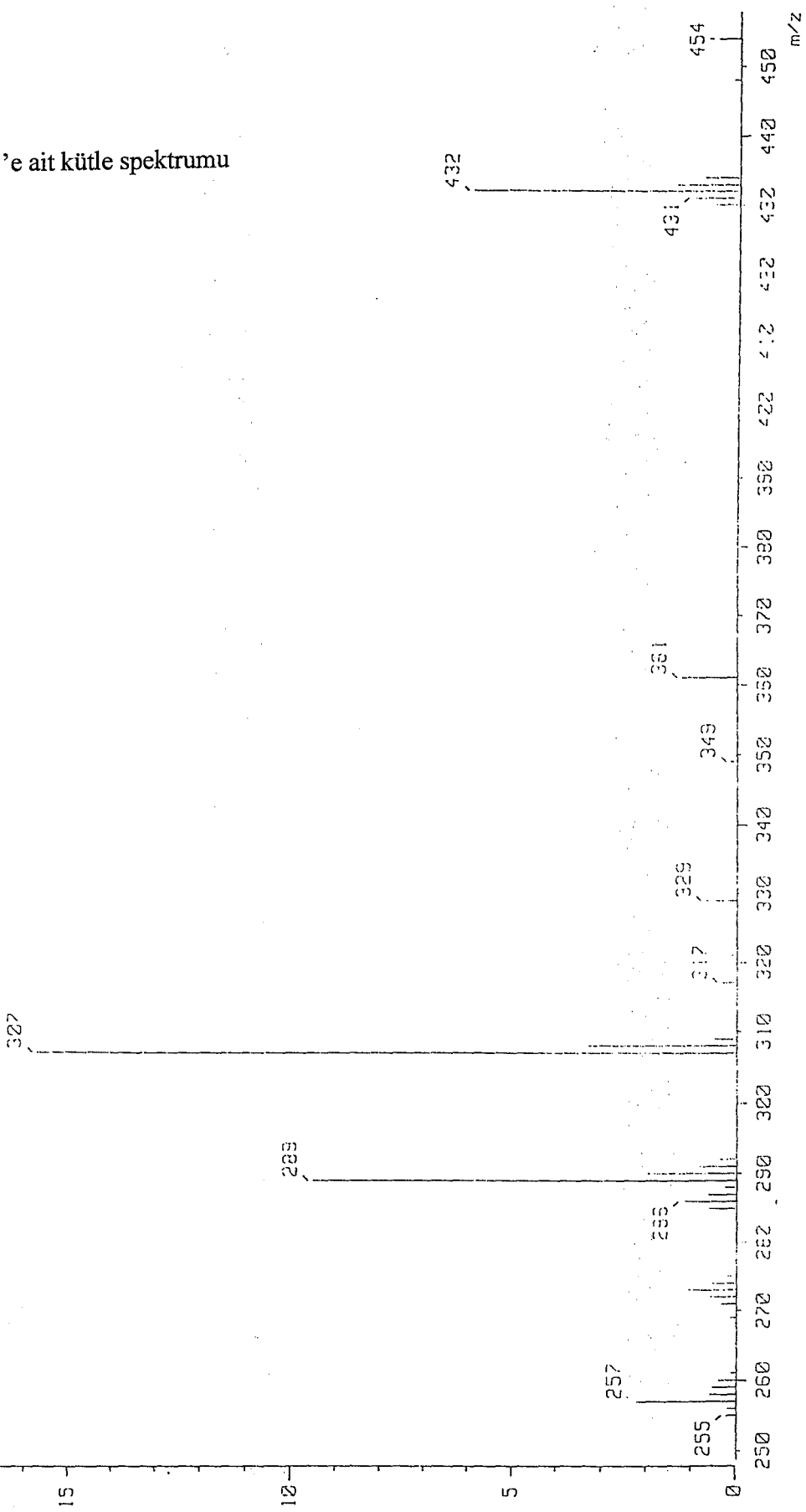
Ek 73. Bileşik B-12'ye ait kütle spektrumu



Ek 74. Bileşik B-13'e ait kütle spektrumu

Source: NBS
 Note : MR-DX322
 Inlet : Direct
 Spectrum Type : Regular [Linear]
 RT : 0.00 min
 SP : m/z 154.02222
 Output m/z range : 243.7272 to 457.5442
 35974

Ion Source : FID+
 Temp : 1.2 deg C
 Ret. : 21.22
 Cut Level : 0.00 %



Sample: NBF
 Note : MR-DX300
 Inlet : Direct
 Spectrum Type : Regular [Linear]
 RT : 0.00 min
 SP : m/z 154.2222
 Output m/z range : 12.2222 to 538.3652
 Cut Level : 2.22 %

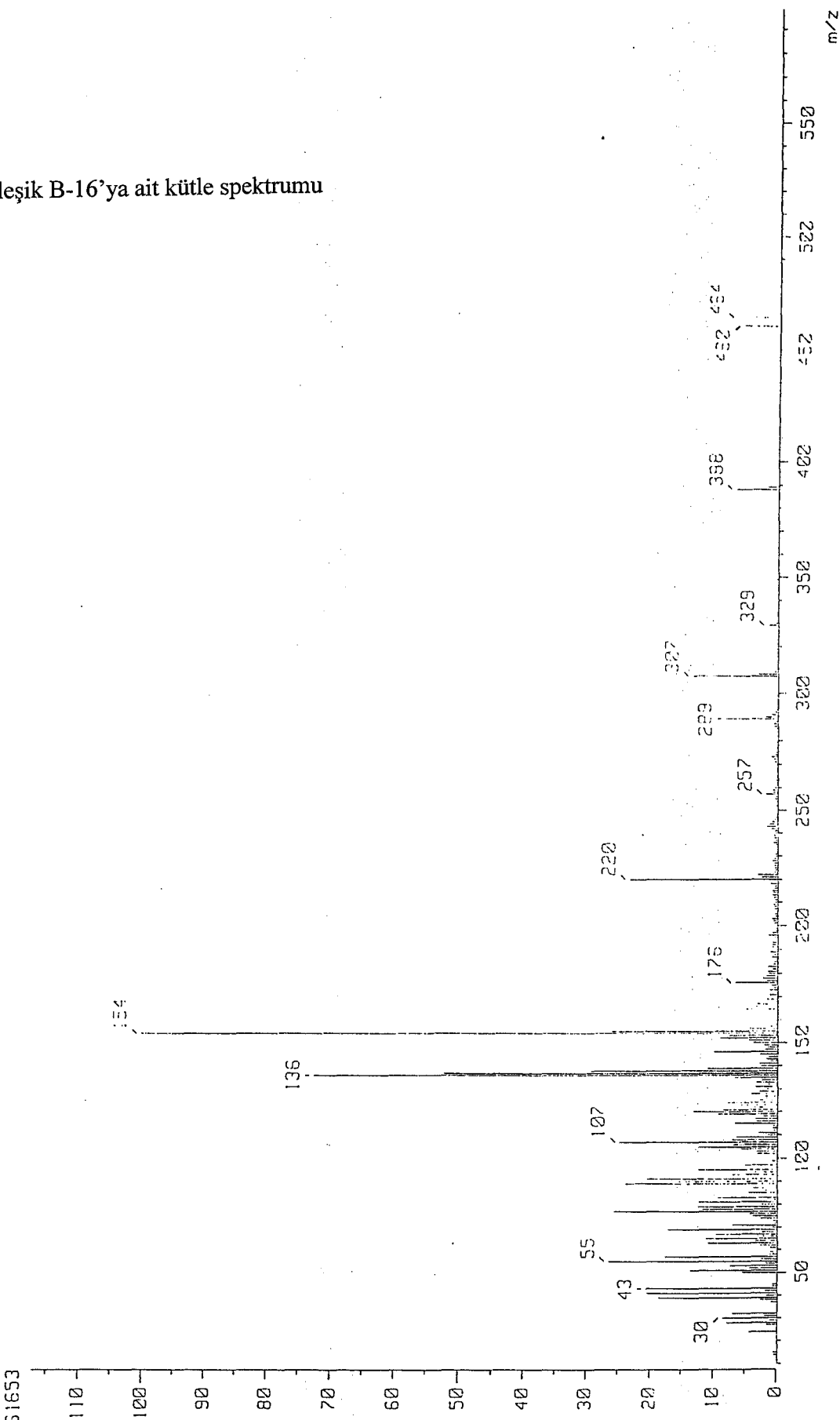
551653

Temp : 1.0 °C

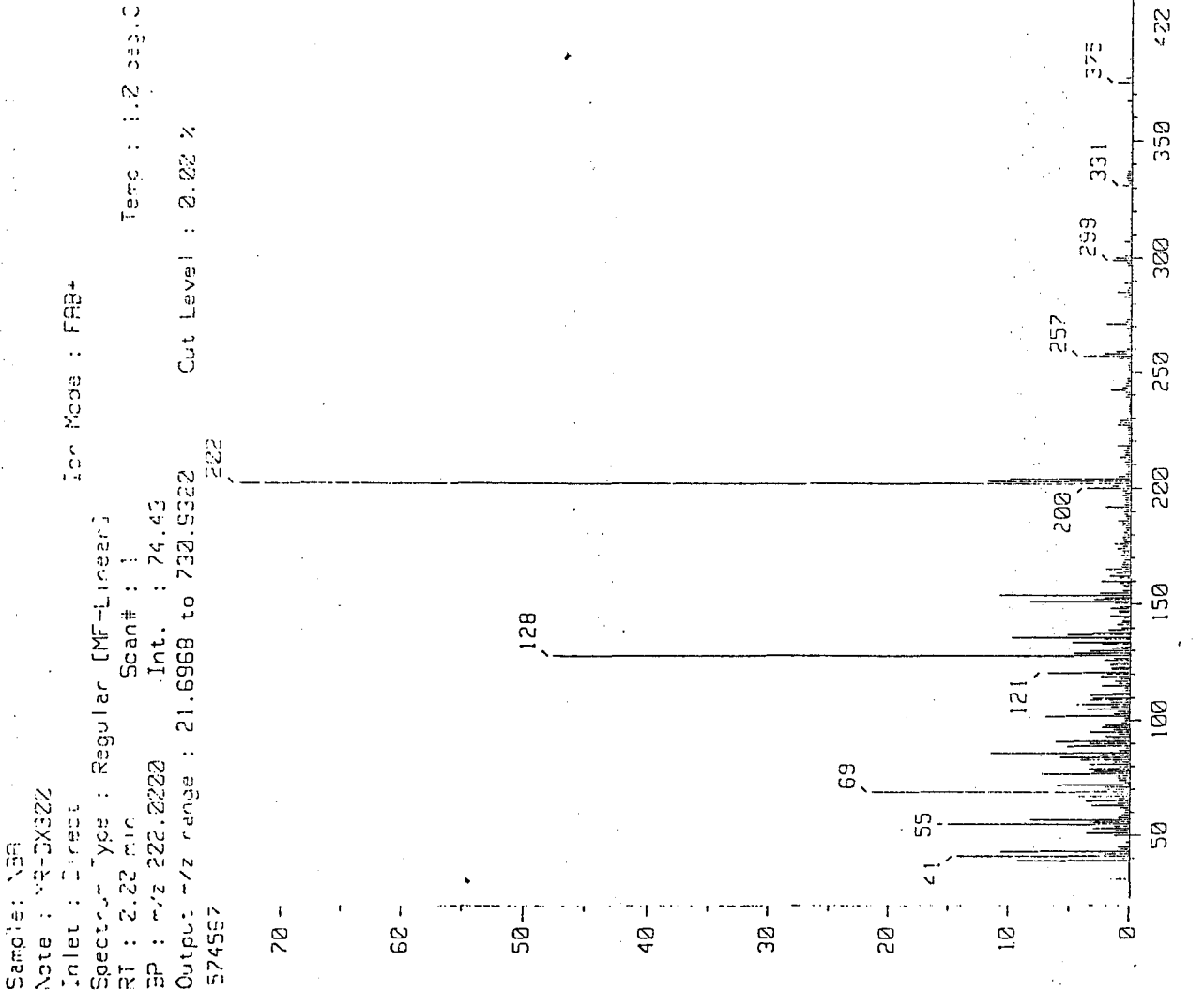
Temp : 1.0 °C

Cut Level : 2.22 %

Cut Level : 2.22 %

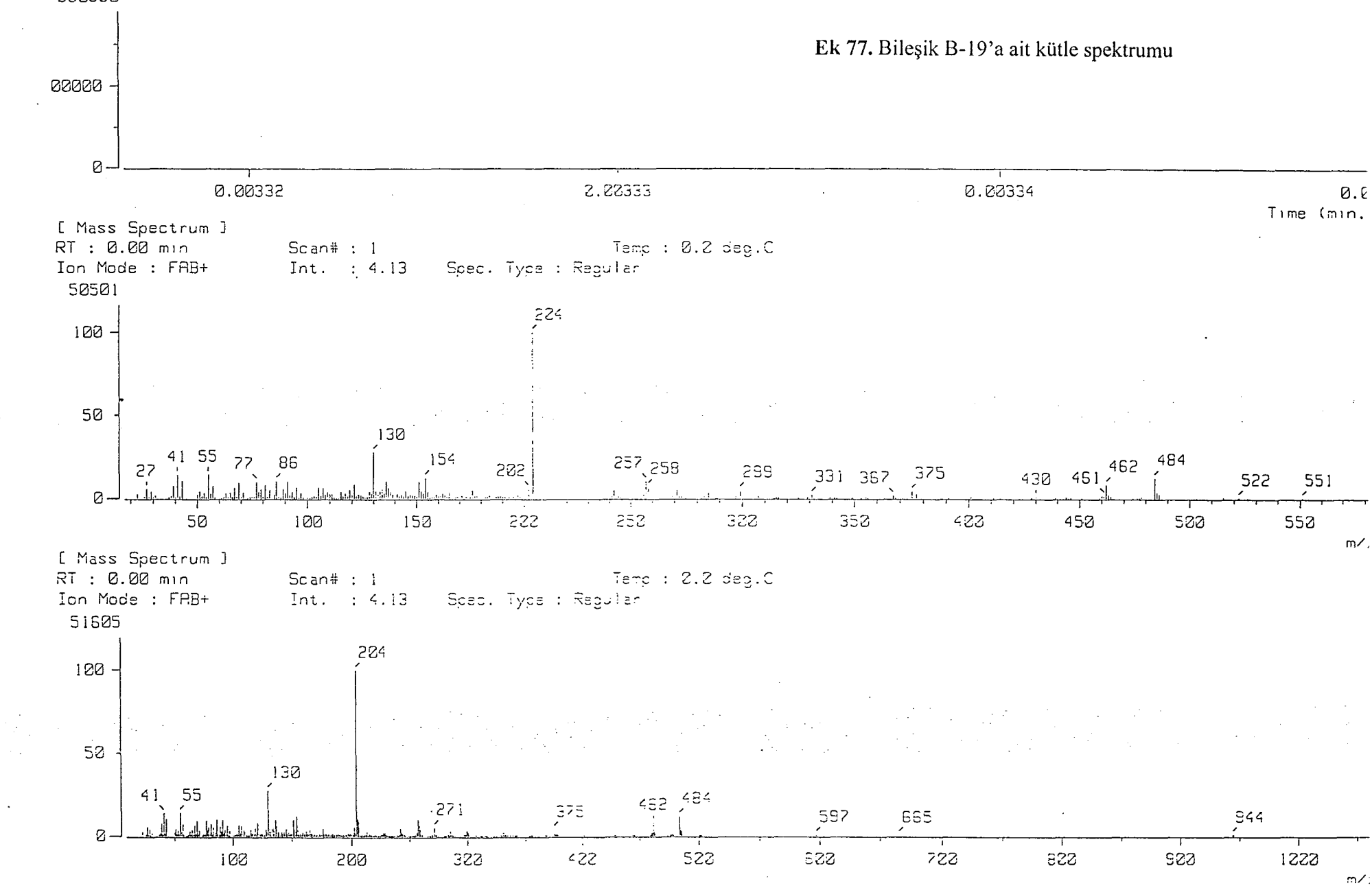


Ek 76. Bileşik B-18'e ait kütle spektrumu

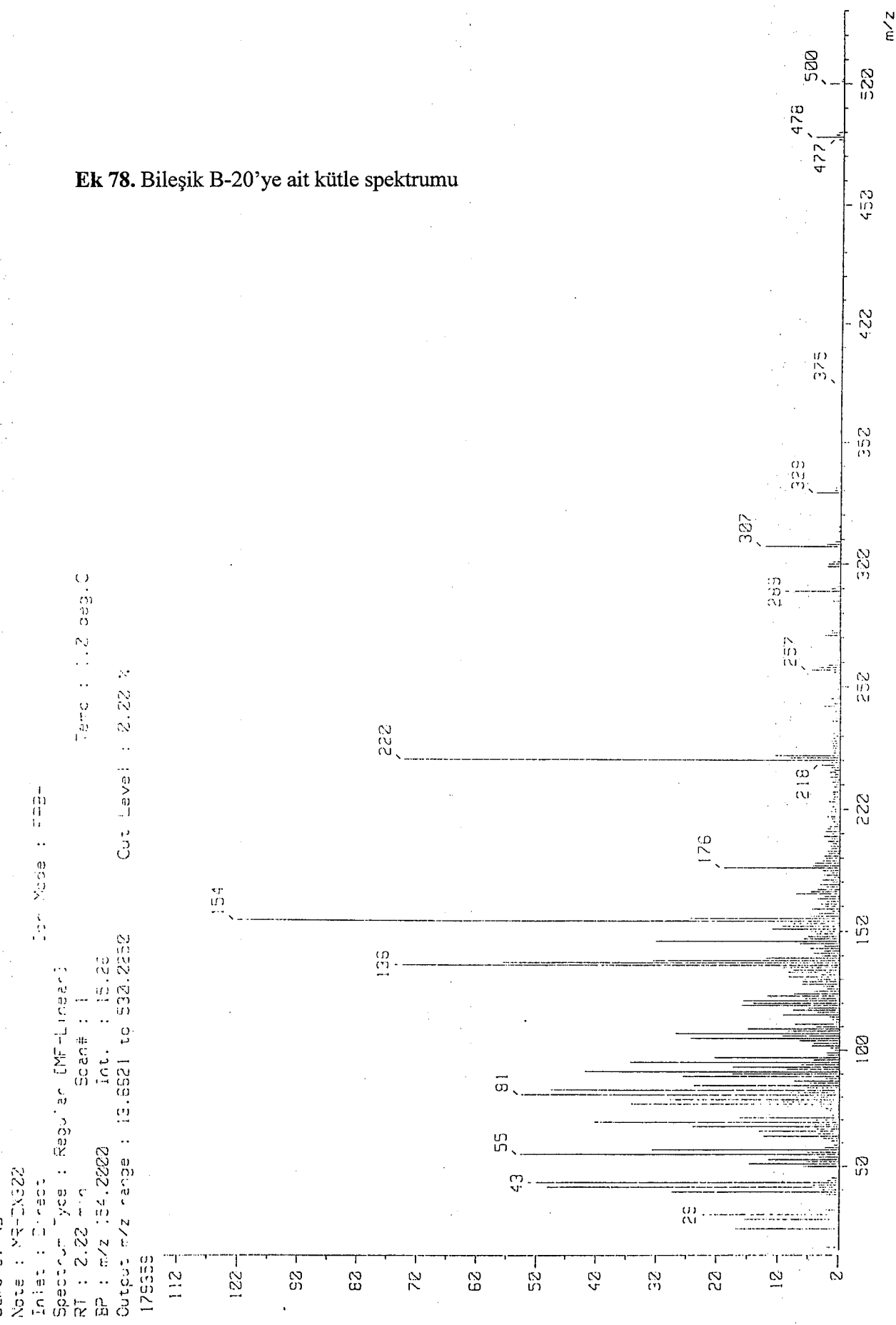


380990

Ek 77. Bileşik B-19'a ait kütle spektrumu



Ek 78. Bileşik B-20'ye ait kütle spektrumu

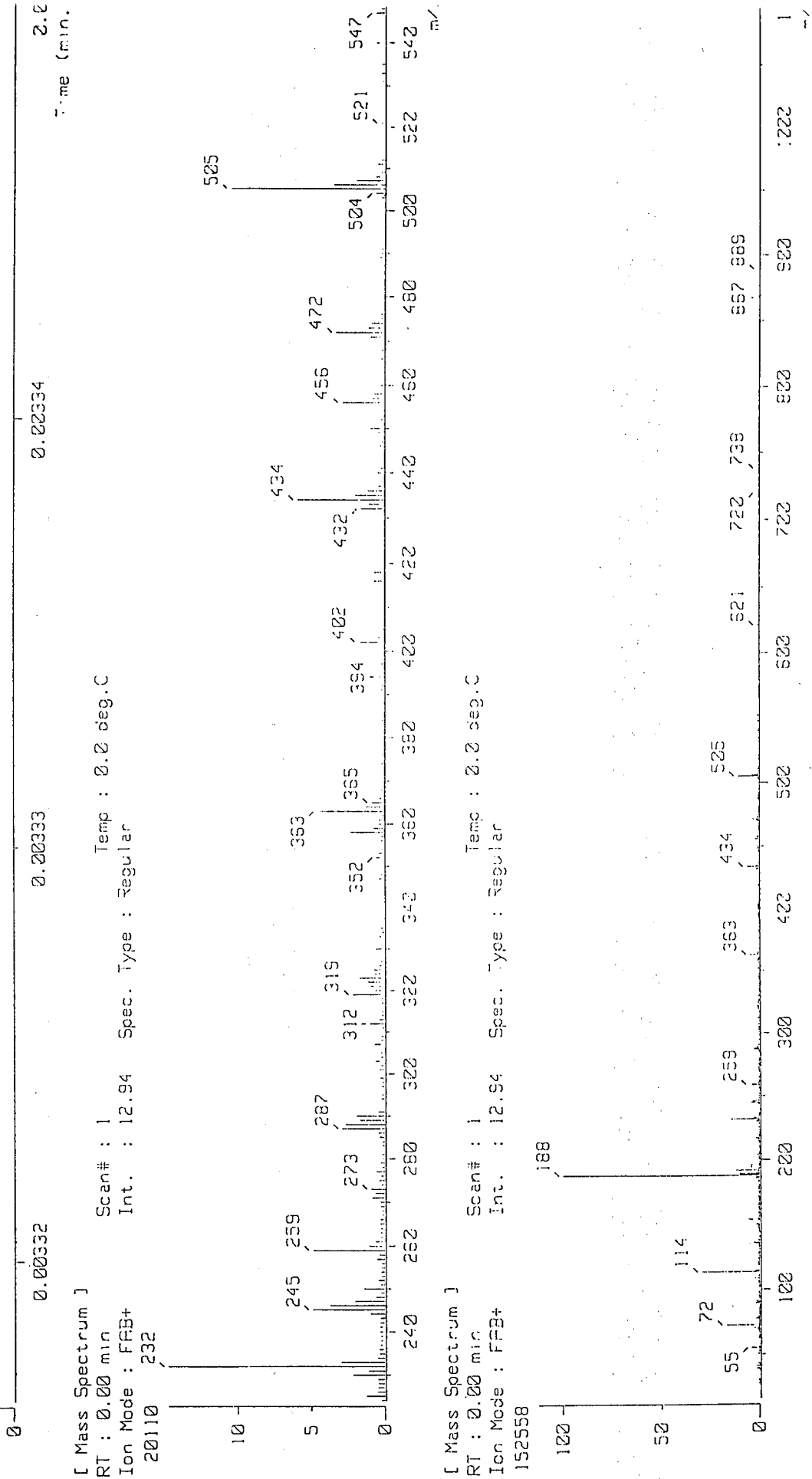


Inlet : Direct
0702430

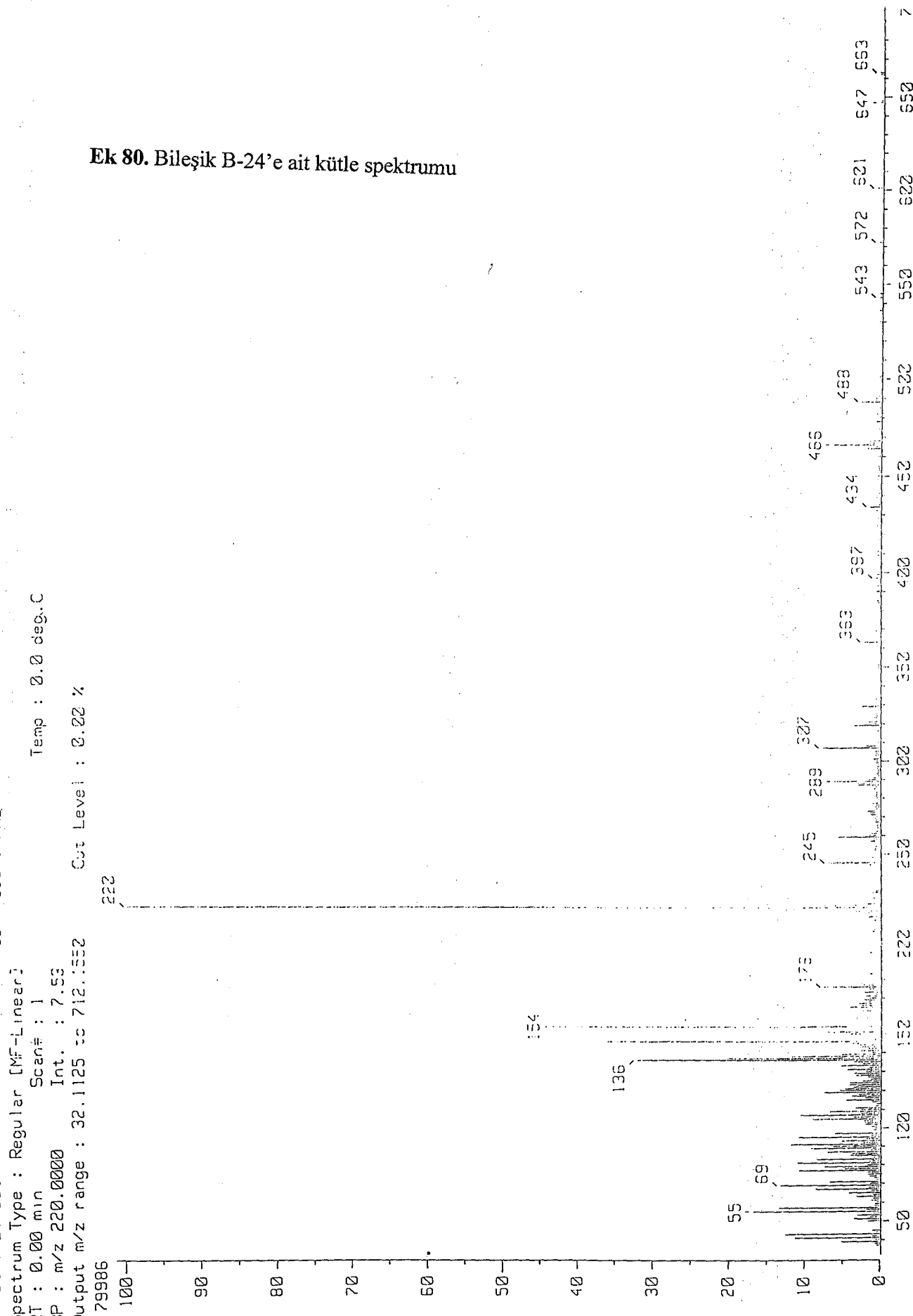
Ion Mode : FAB+

0000000

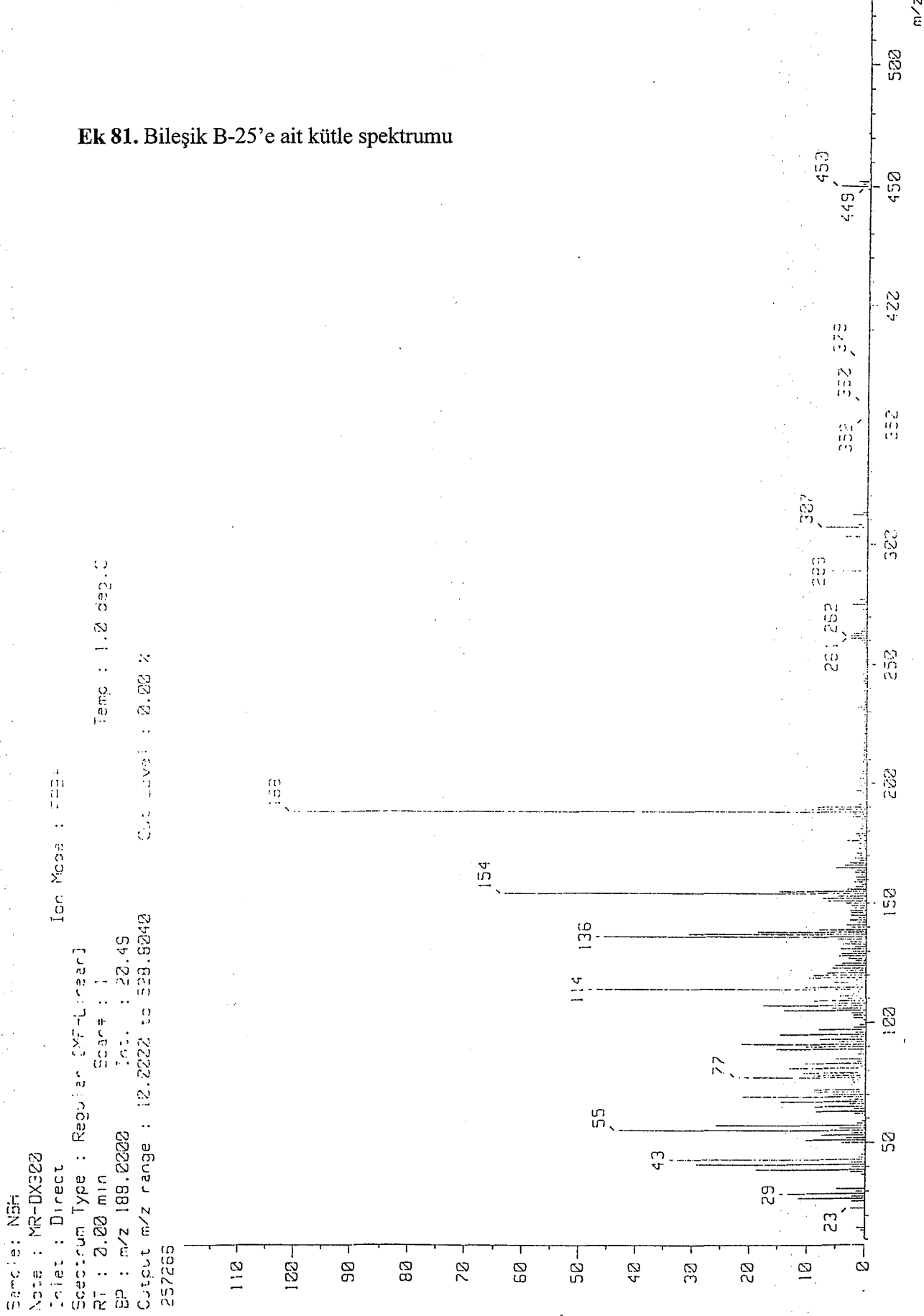
Ek 79. Bileşik B-21'e ait kütle spektrumu



Ek 80. Bileşik B-24'e ait kütle spektrumu

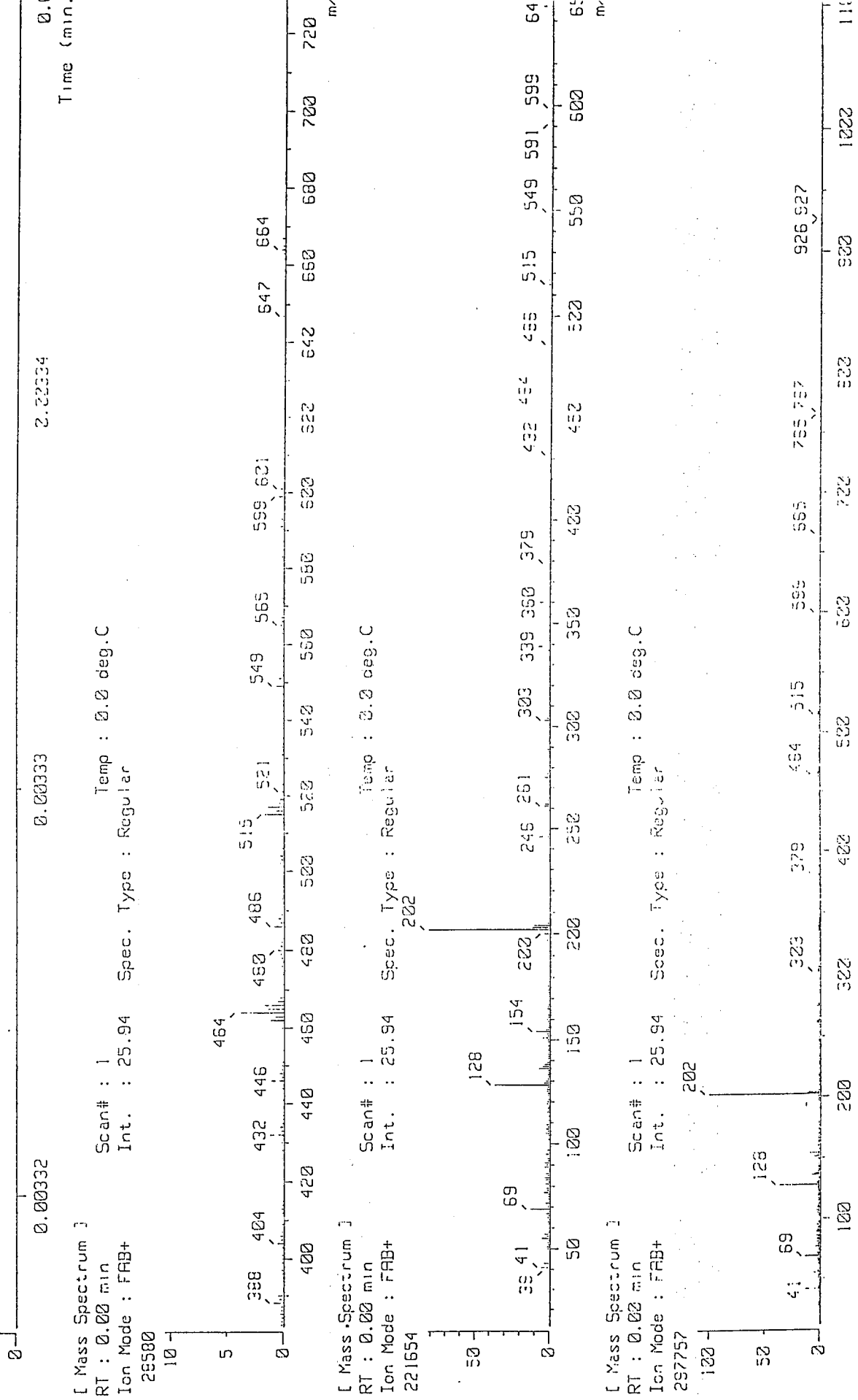


Ek 81. Bileşik B-25'e ait kütle spektrumu



Inlet : Direct
1252574
022222

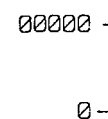
Ek 82. Bileşik B-26'ya ait kütle spektrumu



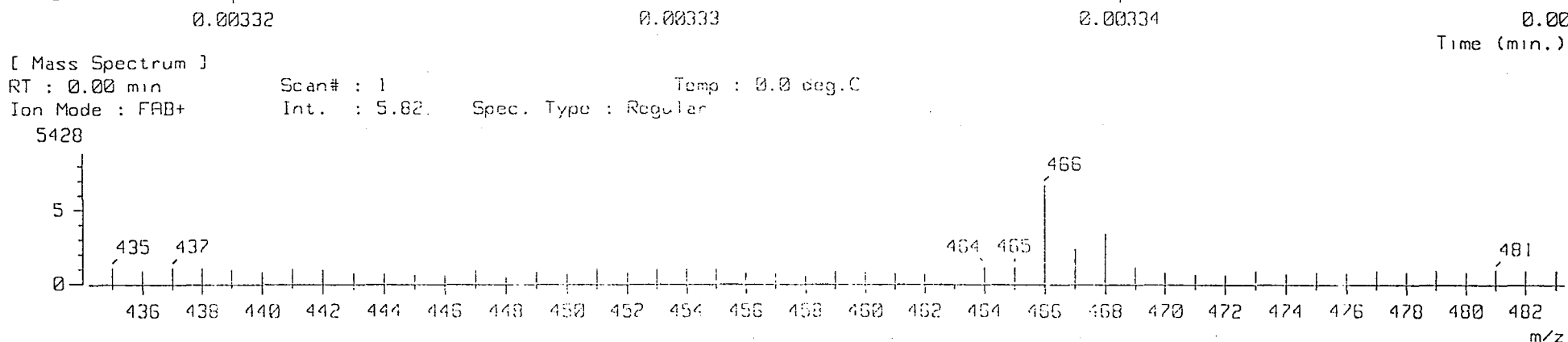
Inlet : Direct

1172596

Ion Mode : FAB+

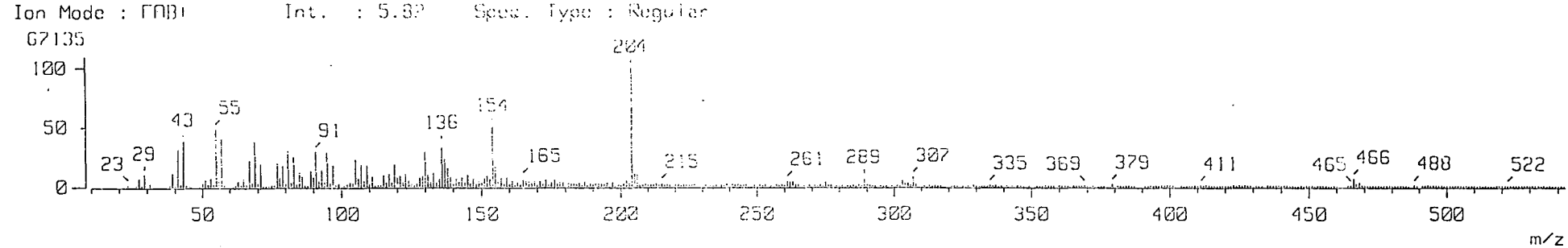


Ek 83. Bileşik B-27'ye ait kütle spektrumu

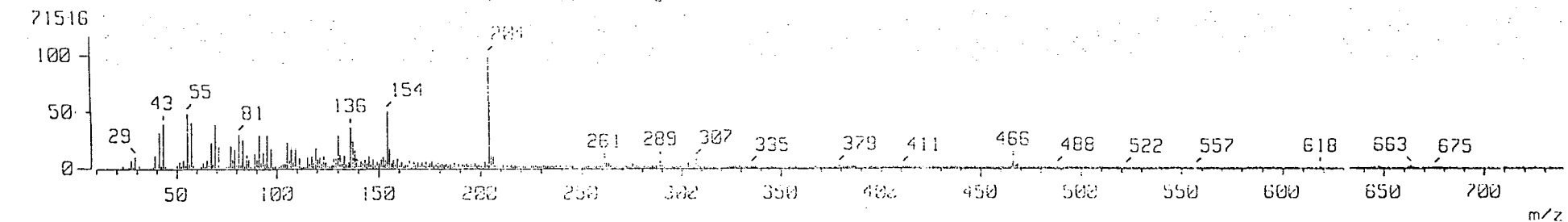


161

[Mass Spectrum]
 RT : 0.00 min Scan# : 1 Temp : 0.0 deg.C
 Ion Mode : FAB+ Int. : 5.82 Spec. Type : Regular



[Mass Spectrum]
 RT : 0.00 min Scan# : 1 Temp : 0.0 deg.C
 Ion Mode : FAB+ Int. : 5.82 Spec. Type : Regular



Inlet : Direct

Ion Mode : FAB+

1173476

00000

0

0.00332

0.00333

0.00334

0.003

Time (min.)

Ek 84. Bileşik B-28'e ait kütle spektrumu

[Mass Spectrum]

RT : 0.00 min

Scan# : 1

Temp : 0.0 deg.C

Ion Mode : FAB+

Int. : 3.72

Spec. Type : Regular

42592

100

50

0

50

100

150

200

250

300

350

400

450

500

550

550

m/z

43

55

55

136

154

178

220

261

289

307

355

360

397

441

441

465

479

482

507

523

537

549

552

577

591

861

[Mass Spectrum]

RT : 0.00 min

Scan# : 1

Temp : 0.0 deg.C

Ion Mode : FAB+

Int. : 3.72

Spec. Type : Regular

9630

20

0

355

360

385

387

424

413

439

441

465

479

482

507

523

537

549

552

577

591

m/z

[Mass Spectrum]

RT : 0.00 min

Scan# : 1

Temp : 0.0 deg.C

Ion Mode : FAB+

Int. : 3.72

Spec. Type : Regular

44692

100

50

55

95

136

154

322

289

307

325

350

413

482

523

549

577

552

663

720

816

m/z